

TOPOGRAPHISCH-ANATOMISCHER ATLAS.

NACH DURCHSCHNITTEN AN GEFRORENEN CADAVERN

HERAUSGEGEBEN

VON

DR. MED. WILH. BRAUNE,

o. ö. PROFESSOR DER TOPOGRAPHISCHEN ANATOMIE AN DER UNIVERSITÄT LEIPZIG.

DREIUNDREISSIG COLORIRTE TAFELN MIT ERLÄUTERNDEN, DURCH ABBILDUNGEN ILLUSTRIERTEN TEXT.

DRITTE, VERÄNDERTE AUFLAGE.



1563

LEIPZIG,
VERLAG VON VEIT & COMP.

1888.

ÜBERSICHT DER TAFELN.

- Taf. I. A. B. Medianschnitt durch den Körper eines 21jährigen Mannes.
- Taf. II. A. B. Medianschnitt durch den Körper eines etwa 25jährigen Weibes.
- Taf. III. Schräg verlaufender Transversalschnitt durch den Kopf eines 16jährigen Mädchens, in der Höhe der Augen.
- Taf. IV. Transversalschnitt durch das Gehörorgan am Kopfe eines jungen Mannes.
- Taf. V. Transversalschnitt durch den Kopf eines jungen Mannes.
Fig. I. in der Höhe der Kauffläche,
Fig. II. in der Höhe des oberen Schildknorpelrandes und V. Halswirbels.
- Taf. VI. Transversalschnitt desselben Cadavers durch den Hals, in der Höhe des Ringknorpels und VI. Halswirbels.
- Taf. VII. Transversalschnitt desselben Cadavers durch den Hals und die Schultern, in der Höhe des VII. Halswirbels.
- Taf. VIII. Transversalschnitt desselben Cadavers durch die Lungenkuppeln und Schultergelenke, in der Höhe des I. Brustwirbels.
- Taf. IX. Transversalschnitt durch den Körper eines älteren (50jähr.?) Mannes, in der Höhe der Schultergelenke.
- Taf. X. Transversalschnitt durch den Thorax eines jungen kräftigen Mannes, in der Höhe des III. Brustwirbels.
- Taf. XI. Transversalschnitt desselben Cadavers, in der Höhe des Aortenbogens und des IV. Brustwirbels.
- Taf. XII. Transversalschnitt desselben Cadavers, in der Höhe des Aortenbogens und des VII. Brustwirbels.
- Taf. XIII. Transversalschnitt desselben Cadavers, in der Höhe der Mitralklappe und des VIII. Brustwirbels.
- Taf. XIV. Transversalschnitt desselben Cadavers durch die Herzspitze und Zwerchfellkuppeln, in der Höhe des IX. Brustwirbels.
- Taf. XV. Transversalschnitt desselben Cadavers durch Leber, Magen, Milz, in der Höhe des XI. Brustwirbels.
- Taf. XVI. Transversalschnitt desselben Cadavers durch Pankreas und Nieren, in der Höhe des I. Lendenwirbels.
- Taf. XVII. Transversalschnitt desselben Cadavers durch Colon transvers., in der Höhe der Nabels und der Bandscheibe, zwischen III. und IV. Lendenwirbel.
- Taf. XVIII. Transversalschnitt desselben Cadavers, in der Höhe des Promontorium.
- Taf. XIX. Transversalschnitt desselben Cadavers, in der Höhe der *Spinae ili anteriores inferiores*, und der *Symphysis sacro-iliaca*.
- Taf. XX. Transversalschnitt desselben Cadavers durch das Becken, in der Höhe der Oberschenkelköpfe.
- Taf. XXI. Frontalschnitt durch das Becken eines kräftigen 85jährigen Mannes, in der Tiefe der Oberschenkelköpfe.
- Taf. XXII. Fig. I. Sagittalschnitt eines injizierten Kniegelenkes; weibliches Cadaver mittleren Alters.
Fig. II. Sagittalschnitt durch den rechten Fuß in der Nähe des inneren Randes. Von demselben Cadaver.
- Taf. XXIII. Fig. I. Transversalschnitt durch den linken Oberschenkel eines 21jährigen Mannes, denselben von dem Tafel I. genommen ist. Der Schnitt verläuft parallel und hart am Lig. Poupartii.
Fig. II. Transversalschnitt durch den linken Oberschenkel desselben Cadavers, hart am Trochanter minor.
- Taf. XXIV. Fig. I. Transversalschnitt des linken Oberschenkels etwas unter dem oberen Drittel, von demselben Cadaver.
Fig. II. Transversalschnitt des linken Oberschenkels durch die Mitte, von demselben Cadaver.
- Taf. XXV. Fig. I. Transversalschnitt durch das untere Drittel des linken Oberschenkels, von dem Cadaver eines kräftigen Mannes mittleren Alters.
Fig. II. Transversalschnitt durch das linke Knie. Dasselbe Cadaver.
- Taf. XXVI. Fig. I. Transversalschnitt durch den linken Unterschenkel in oberem Drittel. Dasselbe Cadaver.
Fig. II. Transversalschnitt durch die Mitte des linken Unterschenkels. Dasselbe Cadaver.
- Taf. XXVII. Fig. I. Transversalschnitt durch das untere Drittel des linken Unterschenkels. Dasselbe Cadaver.
Fig. II. Transversalschnitt durch die Malleolargegend desselben Extremität.
- Taf. XXVIII. Frontalschnitt durch den Thorax eines kräftigen jugendlichen Mannes.
- Taf. XXIX. Fig. I. Sagittalschnitt durch das rechte Ellenbogengelenk eines weiblichen Cadavers.
Fig. II. Sagittalschnitt durch die Hand in der Tiefe des 3. Fingers desselben Cadavers.
- Taf. XXX. Fig. I–IV. Transversalschnitte durch den linken Arm eines 40jährigen kräftigen Mannes in der Mitte, im unteren Drittel des Humerus, durch die Trochlea und das Köpfchen des Radius.
- Taf. XXXI. Fig. I–IV. Transversalschnitte durch den linken Unterarm desselben Cadavers, im oberen Drittel, Mitte und unteren Drittel, sowie durch das Handgelenk.

VORWORT.



Die Aufforderung der Verlagsbuchhandlung, eine dritte Auflage meines Atlas zu besorgen, glaubte ich nicht ablehnen zu dürfen, wenn auch die Tafeln nur die alten Bilder wiedergeben. Ich habe es aber, doch nicht unterlassen, die bessernde Hand hier und da anzulegen und neue Abbildungen in denselben einzufügen. Diese Revision des Textes ist mir besonders schwer geworden, weil mir die Präparate, die den Abbildungen zu Grunde liegen, fehlen. Die Schnittscheiben wurden bei der ersten Bearbeitung des Atlas durchpräparirt, um eine Täuschung in der Bestimmung des Details möglichst zu vermeiden. Dadurch wurden natürlich die Präparate vollständig zerstört und konnten auch nicht durch neugefertigte ersetzt werden, da selbst bei normalen Körpern völlig gleiche Bilder an Schnittserien nicht zu gewinnen sind. Ich kann daher der Aufforderung *Henke's* (*Festprogramm über die Lage des Herzens, Tübingen 1889*), Konstruktionsbilder aus den Präparaten noch nachzuliefern, nicht nachkommen. In diesem Programm behandelt *Henke* meine Durchschnitte sehr ausführlich und hebt hervor, dass der eigentliche Werth solcher Bilder erst gewonnen werde, wenn sie zu Konstruktionen nach der Methode von *His* benutzt würden; und das sei von mir unterlassen worden. Um zu zeigen, wie man eigentlich topographisch arbeiten müsse, gibt er drei Transversalschnitte des *Thorax*, bildet dieselben aber nur in ihren Hauptconturen ab mit den daraus gewonnenen Konstruktionsbildern des Herzens projicirt auf die Rippenwandungen. Er sagt s. a. O. S. 10: Ich habe nur an diesem Beispiele zeigen wollen, wie man diese Art von Präparaten und die daran knüpfenden Fragen meiner Meinung anfassen muss, wenn etwas dabei herauskommen soll.“

Ich habe darauf Folgendes zu erwidern. Die Konstruktion des Körpersaufbaues, wie sie durch *His* in die Embryologie eingeführt ist, war zunächst ein Nothbehelf, bedingt durch die Kleinheit (nicht Weichheit, wie *Henke* s. a. O. S. 10 sagt) der Objekte, die für die gewöhnliche Präparation nicht oder nur ungenügend zugänglich sind. Wenn ich auch darin mit *Henke* völlig übereinstimme, dass auch am ausgebildeten Körper durch Schnittserien und die daraus gewonnenen Konstruktionsbilder die Kenntniss der Gestalt der Organe und des Körpers sehr gefördert wird, so bin ich doch der Ansicht, dass auch ohne die Methode der Konstruktion, schon durch die Bearbeitung und Betrachtung guter Durchschnitte des erwachsenen Körpers, brauchbare Resultate gewonnen werden, und dass dabei etwas herauskommt.

Will man aber die Konstruktion aus Schnittserien anwenden, dann

darf man die Schnitte nicht so dick anlegen, wie dies *Henke* that, dann müssen dieselben vielmehr möglichst dünn ausgeführt werden, damit nicht wichtige Einzeleinheiten verloren gehen; und zwar richtet sich die Zahl der zur Formbeurtheilung notwendigen Schnitte nach der mehr oder minder complicirten Gestalt der Organe und nach dem Winkel, unter welchem dieselben getroffen werden. Zur Beurtheilung einer cylinderähnlichen Form genügen wenige Querschnitte, ein so complicirtes Organ aber wie z. B. das Herz wird zu seiner Beurtheilung viele in kurzen Abständen sich folgende Schnitte verlangen. So kommt es denn auch, dass das Herz, wie es *Henke* abbildet, kein richtiges Bild liefert, sondern Formen zeigt, die falsche Vorstellungen über die Gestalt dieses Organs erwecken müssen.

Ich weiss sehr wohl, dass mein Atlas nicht Alles bietet, was man durch Durchschnitte an gefrorenen Körpern erreichen kann. Meine Aufgabe hat sich aber darauf beschränkt, eine Reihe der hauptsächlichsten Durchschnitte abzubilden in einer Weise, wie sie bis dahin nicht geübt wurde.

Durchschnitte an gefrorenen Körpern sind schon seit langer Zeit gemacht worden. Die Methode selbst ist nicht neu, wie ich schon in der Vorrede zur ersten Auflage, unter Aufzählung einer Reihe von Namen, angegeben habe. Man besass aber noch nicht im Detail durchgearbeitete Durchschnittebilder normaler Körper, und dies herzustellen ist mir gelungen durch Anwendung einer Gefriermethode, die mich unabhängig von der Witterung machte und es mir gestattete, das Material beliebig auszuwählen und beliebig lange im erhärteten Zustande zu erhalten.

Den schon in der ersten Auflage des Atlas genannten Namen von Autoren, die lange vor mir schon Körper gefrieren liessen und schnitten, habe ich noch die Namen *Froriep* und *De Riener* hinzugefügt. Der Holländer *De Riener* benutzte die Gefriermethode sehr ausgiebig. Nach Angabe des Herrn *Donders*, dem ich die bezüglichen Notizen verdanke, machte *De Riener* bereits 1892 die ersten Demonstrationen an Durchschnitten gefrorener Cadaver. Sein grosses Werk darüber ist 1813 erschienen. Der Titel lautet:

„Exposition de la Position Exacte des Parties Internes du Corps Humain, tant par rapport à leur position mutuelle, que par leur contact aux parois des cavités où elles se trouvent placées, avec une description explicative y relative par *P. De Riener*, Docteur en Médecine, Professeur en Anatomie, Chirurgie et Art des Accouchemens à la Haye. La Haye, chez la Veuve J. Allart et Comp. MDCCXXVIII.“

Die Bedeutung der Methode ist von *De Riemer* vollständig erkannt worden, wie folgende Bemerkungen von ihm zeigen. Er sagt: „Considérant que la position et l'état des parties internes du corps humain pourraient être démontrés d'une manière plus exacte, par le moyen de la gélée, que par l'anatomie ordinaire effectuée avec tout le talent possible; je fus porté à en faire quelques épreuves, et le résultat surpassa de beaucoup mon attente. Excité par l'avantage que la Médecine et la chirurgie pourraient tirer de cette opération, qui ne fut jamais effectuée si exactement, je résolus de donner un effet plus utile et plus général à cette expérience, par la publication de quelques desseins.“

Für die Farbengebung in meinem Atlas habe ich vielfach die Nachsicht des Beschauers in Anspruch zu nehmen; sie entspricht durchaus nicht überall meinen Wünschen. Es ist überaus schwer mit den wenigen Farben, die dem Coloristen zu Gebote stehen, die einzelnen Felder so von einander zu trennen, dass nicht gar zu schreiende

Contraste entstehen. Die Zeichnung ist möglichst genau ausgeführt worden mit Zugrundelegung von Pausen, die unmittelbar auf dem Präparate abgenommen wurden. Dies hat enorme Zeit und Mühe gekostet. Ich lege aber gerade auf peinliche Sorgfalt bei Anlage anatomischer Zeichnungen grosses Gewicht, und kann die skizzenhafte und schematisierende Art mancher anatomischer Zeichnungen nicht für sachgemäss halten. Wenn es sich darum handelt, einen so fein ausgebildeten Mechanismus, wie ihn der menschliche Körper bietet, abzubilden, dann muss jede einzelne Linie mit der grössten Sorgfalt treu nach der Natur copirt werden. Die vollendetste Technik ist bei der Reproduktion gerade gut genug, um der hohen Aufgabe anatomischer Bilder gerecht zu werden. Es soll mich nur freuen, wenn nach diesen Grundsätzen weitergearbeitet wird und Bilder gewonnen werden mit noch besserer Durcharbeitung und vollkommener Technik als die von mir gebotenen.

Leipzig, im März 1886.

W. BRAUNE

TAFEL I. A. B.

Die auf Tafel I. A. B. vorliegende Abbildung stellt den Median-schnitt eines durch Frost gebärteten kräftigen, normalen, jugendlichen Leichnams dar. Es war der Leichnam eines völlig gesunden Soldaten, der sich im Alter von 21 Jahren durch Erhängen den Tod gegeben hatte. Durch den Sägesechnitt war im Gehirn der *Ventriculus septi pelucidi*, in der Brusthöhle das *Mediastinum* getroffen worden ohne Verletzung eines Pleurasackes; im Becken das obere Drittel der Harnröhre. Die Zeichnung wurde durch Pausen auf dem fest gefrorenen Präparat selbst angelegt und durch Präparation des inzwischen aufgetauten Körpers vervollständigt. Durch Abtragen dünner Schichten wurde das Präparat möglichst vervollkommen und zur sicheren Bestimmung der Einzelheiten der Körper durch eingehende Untersuchung schliesslich völlig zerstört. Auch muss hinzugefügt werden, dass mehrere Einzelheiten in der Zeichnung nach frisch angelegten Präparaten eingetragen wurden; jedoch ist dies an Ort und Stelle besonders bemerkt worden.

Was den Durchschnitte durch die Skelettheile betrifft, so ist als das Wichtigste die Wirbelsäule ins Auge zu fassen. Dieselbe ist an den Wirbelkörpern fast durchgängig genau in der Mittellinie getroffen worden; von den Bögen dagegen wurden die des Rückenmarks, wie aus der Zeichnung ersichtlich ist, etwas nach rechts von der Mittellinie zerschnitten.

Bei der Betrachtung der einzelnen Theile zeigte es sich, dass man es mit einer vollkommen normalen Wirbelsäule zu thun hatte. Es fanden sich nirgend Deformitäten an den Wirbelkörpern, wohl aber eine Beweglichkeit an den betreffenden Stellen, wie sie junge und gymnastisch ausgebildete Leute charakterisirt. Auch an dem Kreuzbeine war nichts Abnormes zu entdecken; dasselbe zeigte eine sehr schöne und gleichmässige Krümmung. Dass das Steissbein nur zwei Stücke auf der Abbildung zeigt, wird bei den Variationen, die dieser Skelettheil überhaupt bietet, nicht auffallen.

Bei der Betrachtung der Wirbelsäule im Allgemeinen ist es zunächst bemerkenswerth, dass die Krümmung derselben eine so bedeutende ist. Gerade bei horizontaler Lagerung ist man geneigt ihr eine flachere Krümmung zuzuschreiben, da die Wirbelsäule, wenn man sie nach der Ablösung des Brustkorbes und Herausnahme der Eingeweide auf den Präparatischen betrachtet, viel flachere Bögen in den einzelnen Abtheilungen zeigt.

Es hat aber schon *Parow* (*Virchow's Archiv*, Bd. 51, pag. 105 u. f.) nachgewiesen, dass die Entfernung der Eingeweide und des Brustkorbes einen grossen Einfluss auf die Verflachung der Wirbelsäule ausübt. Man braucht nur das Schema, welches nach Messung an einer isolirten Wirbelsäule von ihm bestimmt ward und a. a. O. Taf. V. Fig. 3 abgebildet ist, mit der von *E. Weber* (Mechanik der menschlichen Gehwerkzeuge) gegebenen Abbildung und der meinigen zu vergleichen, um den grossen Unterschied sogleich zu erkennen.

Vergleicht man die vorliegende Abbildung mit denen, welche *Pirogoff* (*Anatomie topographica*, 1859, fasc. I. A. Tab. 10, 11.) nach Leichen anfertigte, die ebenfalls unverletzt in horizontaler Lage zum Gefrieren gebracht und dann erst durchgesägt wurden, so findet man eine nahezu gleiche Krümmung. Beide unterscheiden sich aber gemeinsam dadurch von der Weber'schen, dass sie nicht eine so beträchtliche Concavität des Rückenmarkes zeigen. Da *Parow* bei seinen Untersuchungen fand, dass der Inhalt der Brusthöhle, wenn auch nicht in so hohem Grade als der *Thorax*, die Stellung der Wirbel beeinflusst, so wird man den Grund dieser kleinen Differenz in der vorausgegangenen Erection bei dem Weber'schen Präparate zu suchen haben. Wenn daher die Weber'sche Darstellung auch für die Feststellung der Form der Wirbelsäule mit ihren Bändern und Bandscheiben an sich nützlich ist, so ist sie nicht vollkommen bestimmend für die mit sämmtlichen Weichtheilen in Zusammenhang stehende Wirbelsäule und danach entsprechend zu modificiren.

Es wäre nun wünschenswerth, an der vorliegenden Wirbelsäule bestimmen zu können, welche Veränderung dieselbe in aufrechter Stellung des Individuums eingehen würde. Leider muss aber von einer solchen Bestimmung abgesehen werden. Wenn man auch eine Reihe

von Abbildungen geben würde, denen Leichen, die in aufrechter Stellung gefroren sind, zu Grunde liegen, so würde doch der Gewinn kein grosser sein. Man kann sich leicht davon überzeugen, dass es unausführbar ist, eine Leiche so im Gleichgewicht balancirend zu erhalten, wie es die Muskeln am lebenden Körper zu leisten vermögen. Der Rumpf hängt leicht nach einer Seite so über, dass die Wirbelsäule ihre ursprüngliche Krümmung zum Theil einbüsst und eine mehr einfache Curvenform annimmt. Es ist deshalb auch nicht zu verwundern, dass die Abbildung, welche *Pirogoff* a. a. O. Tab. 12 gibt, als nach einem in aufrechter Stellung gefrorenen Leichnam abgenommen, eine Curve zeigt, welche flachere Bögen bietet, als die in horizontaler Lage abgebildeten. Man würde somit einen grossen Fehler begehen, wenn man auf Grund der *Pirogoff'schen* Abbildungen den Satz aufstellen wollte, dass bei dem lebenden, aufrecht stehenden Menschen die Wirbelsäule weniger Krümmung zeigt, als bei dem Liegenden.

Nun hat zwar *Parow* mit Hilfe eines Coordinatenmessers zahlreiche Bestimmungen der Lage der *Processus spinosi* ausgeführt und danach die Krümmung der Wirbelsäule am Lebenden berechnet. So werthvoll aber auch diese Bestimmungen für den einzelnen Fall sind, und so sicher daraus hervorgeht, dass jede Veränderung der Stellung und der Belastung des Rumpfes Einfluss auf die Wirbelhaltung ausübt, so scheint mir doch bei der grossen Veränderlichkeit in der Form der Dornsätze kein absolutes Mass für die Lage der Wirbelkörper damit gegeben zu sein, ungenügender als gerade die Bestimmung des *Promontorium* nach besondere Messungen notwendig machte. Deshalb habe ich aus davon abgesehen, durch Vergleichung der *Parow'schen* Curven mit meiner Abbildung, die Aenderung, welche die Wirbelsäule in aufrechter Stellung eingehen würde, zu berechnen.

Von einer genauen Bestimmung der Schwerlinie an der Wirbelsäule meines Präparates muss ebenfalls abgesehen werden. Es ist nicht möglich, mit Sicherheit zu bestimmen, wie die Linie durch die einzelnen Wirbelschnitte läuft. Derartige Bestimmungen können nur am Lebenden vorgenommen werden. Bringt man aber die Abbildung in die aufrechte Stellung und denkt man sich den Kopf etwas nach vorn gehalten, wie es beim Balancieren auf der Wirbelsäule der Fall ist, so verflacht sich die übergrosse Halsconvexität etwas, und ein am Atlas-Occipitalgelenk fixirter Senkblech wird ungefähr die Wirbelschneitte, wie es von den Brüdern Weber angegeben wurde, schneiden. Er würde nahe hinter dem *Promontorium* und durch die Verbindungslinie der Schenkelköpfe herablaufen. Auch *Parow* ist bei seinen Messungen auf diesen schon von *Weber* ausgesprochenen Satz zurückgekommen. Dasselbe Resultat erhält man bei Betrachtung der *Pirogoff'schen* Abbildungen.

Der zur Wirbelsäule gehörende Bandapparat ist in der Zeichnung so genau wiedergegeben worden, als es möglich war. Lassen sich auch einzelne Parthien, wie der zusammengesetzte Bandapparat am Kopf-gelenke, die an den Wirbelkörpern herablaufenden Bänder der Vorder- und Hinterfläche, auf solchen Durchschnitten nicht detaillirt zur Anschauung bringen, so erkennt man doch deutlich am *Proc. odontoides* des 2. Halswirbels das *Ligamentum transversum* mit seiner Gelenkhöhle an der vorderen knorpeligen Fläche, gegenüber dem Gelenkspalt zwischen Atlas und Zahnfortsatz; ebenso die scharf abgegrenzten, durch gelbe Farbe bezeichneten elastischen *Ligamenta intervertebra*. Die *Ligamenta obturatoria postica*, welche zwischen Hinterkopf, Atlas und *Epiptrochaeus* des Spinalkanals schliessen, haben nicht die elastische Beschaffenheit der *Ligamenta fava*, sie sind wenig vom darüberliegenden Bindegewebe unterschieden, deshalb auch in der Zeichnung nicht besonders hervorgehoben worden. Soweit die Wirbelbögen genau in der Mitte getroffen wurden, sah man auch nichts von Muskeln bis auf die *M. interspinales* am Hals und einen *M. interspinalis* am Lendenrücken, wo der Schnitt etwas nach rechts zu abwich, Hess sich das fleischreiche Fleisch des *Multifidus* und *Scapulothoracicus* erkennen. Der Raum zwischen den Dornfortsätzen erschien an den übrigen Stellen von Bindegewebe ausgefüllt,

welches den *Lig. intercervicalis* und *apicinis* angehört, oben am Halse vom *Ligamentum nuchae* eingenommen. Der eine *M. rectus capitis posterior minor* lag frei. An dem unteren Ende der Wirbelsäule erkennt man das *Ligamentum sacrococcygeum posterius*, welches sich an das hier aus 2 Stücken bestehende Steißbein ansetzt und an die den *Hiatus conus* schließende Membran anlegt. Die Bandscheiben zwischen den einzelnen Wirbeln wurden genau so abgezeichnet, wie sie vorlagen. Man erkannte an einzelnen die Faserung und den Gallertigen ganz deutlich. Es zeigt sich auch, dass an den beweglichen Theilen, an der Hals- und Lendenwirbelsäule, die Scheiben vorn und hinten ungleiche Höhe haben, während sie am Rückentheile gleich stark sind. Während daher am Brusttheile die Wirbelkörper an ihren vorderen und hinteren Theile verschiedene Höhe haben und dadurch die Krümmung der Wirbelsäule bedingen, zeigen am Hals- und Lendenheile, als den beweglichen Theilen der Wirbelsäule, hauptsächlich die Bandscheiben sich nicht von gleicher Höhe bei fast gleich hohen Seiten der dazu gehörigen Wirbelkörper.

Ueber die Knochen des Brustbeins und des Schädels ist nichts besonderes hinzuzufügen. Sie sind durch die Zeichnung genügend charakterisirt. Die spongiöse Partielle ward genau nach dem vorliegenden Präparate in die einzelnen Knochen eingezeichnet.

Besondere Mühe erforderte es, die einzelnen Theile des Gehirns deutlich zur Anschauung zu bringen. Es mussten Durchschnitte an frischen Gehirnen dazu dienen, die Zeichnung innerhalb der schon festgestellten Conturen sauber und deutlich zu machen.

Man erkennt gut unter dem Balken des vom Wulst nach vorn und unten gehenden Fornix, die Richtung auf das an der Basis liegende *Corpus mamillare* einhaltend. Vor letzterem liegt der Trichter, zur *Glandula pituitaria* im Türkensattel führend; noch weiter nach vorn der Durchschnitte des *Chiasma v. optic.* Am vorderen Rande des unteren Ende des Fornix liegt die vordere weisse Commissur, hinter dem Fornix der schwarze Spalt des *Foramen Monroi*; dahinter die innere graue Fläche des Schlägels mit der grauen Commissur, von dessen oberer weissen Fläche ein Markstreifen zur *Glandula pinealis* führt, welche nach unten mit der hinteren weissen Commissur und den 4 Hügel in Verbindung steht.

Unter den 4 Hügel liegt der den 3. und 4. Ventrikel mit einander verbindende *Aqueductus Sylvii*, dessen vordere Hälfte von den 4 Hügel, dessen hintere von der *Valvula cerebri anterior*, mit grauen Windungen nach oben versehen, bedeckt wird.

Der Boden des 4. Ventrikels bildet eine fast senkrecht aufsteigende Linie auf dem Durchschnitte; dem entsprechend steigt auch die Medulla mit der sich anschliessenden Begrenzungslinie der Brücke ebenso wie der *Sinus quartus* sehr steil nach aufwärts. Die grossen Lymphräume am vorderen Rande der Brücke und am unteren Rande des Kleinhirns liessen sich auf der Zeichnung nicht deutlich machen.

Auch zeigt sich die *Arteria basilaris* nicht auf der Schnittfläche. Der eine geöffnete zuführende Ast, die linke *Arteria vertebralis*, ist nicht in die Zeichnung eingetragen.

Dagegen war die eine *Arteria corporis callosi* recht gut sichtbar und bis über das Balkenknie nach aufwärts zu verfolgen.

Es hat *Browning (The Veins of the Brain etc. Brooklyn, O'Connor, 1884)* durch eine sehr sorgfältige Untersuchung, die er zum Theil unter meiner Leitung ausführte, nachgewiesen, dass ein *Sinus longitudinalis inferior* nicht existirt, dass vielmehr nur Duralvenen am unteren Rande der grossen Hirnschale vorkommen, die einen *Sinus* vorstücken können. Eine derartige Vene ist auch auf der Abbildung wiedergegeben worden und ihr Abbiegen auf die Fläche der Dura in der Nähe des Hinterhauptlappens gut zu erkennen. *Browning* wies ferner nach, dass die *Vena magna Galei*, welche das Blut aus dem 3. Ventrikel unter dem Balkenwulst herausführt, durch das Wachstum der Grosshirnhemisphären und der Balkenmasse nach hinten zu einer Schlinge umgeformt wird, die, mit ihrer Concavität nach vorn gerichtet, den Balkenwulst förmlich umgreift und dadurch spitzwinklig, dem Strome entgegen, in den *Sinus quartus* einmündet.

Ein *Confluens sinuum* im Sinne der Alten habe ich ebenso wenig wie *Rüdinger* finden können. Der *Sinus quartus* speist den einen *Sinus transversus*, der *Sinus sagittalis* an der Schädelskapsel den anderen. Beide hängen wohl durch Anstomosen an der *Prouberaria occipitalis interna* mit einander zusammen, die in seltenen Fällen eine gewisse Grösse erreichen können; ein venöses Sammelgefäss existirt aber an dieser Stelle jedenfalls nicht.

Die Nasenhöhlen waren nicht symmetrisch gestellt. Der *Vomer* stark nach links abgelenkt, so dass ein Stück davon ausgelegt wurde und dadurch ein Stück der rechten Nasenhöhle mit einem Theile der oberen Muschel freigelegt wurde.

Da durch die Präparation die Theile völlig zerstört wurden, so dass es sich nicht mehr der Mühe lohnte alle die Reste aufzuheben, lässt sich auch nicht sagen, ob die Zeichnung die Einzelheiten vom *Vomer* correct wiedergibt und wie die Richtung der äusseren Nase sich zu der Stellung des *Vomer* verhält (*Wefeler*, die Asymmetrie der Nase und des Nasenknorpels. Beiträge zur Biologie. Festgabe für Bischoff. Stuttgart, Cotta 1882). Der Defekt im *Septum* wurde nachträglich noch erweitert, um das Bild brauchbarer zu machen. Ein Nasenpflöge fand sich nicht.

Der Rachenraum zeigt die Pharynxöffnung der *Tuba Eustachii* und dahinter die *Rosenmüller'sche* Grube. Der Weg, den der Catheter einzuschlagen hat, um in die Tubenöffnung zu gelangen, ergibt sich aus der Abbildung von selbst. Er muss auf dem Boden der Nasenhöhle hintergeleiten bis an die Pharynxwand und dann nach geschehener Auswärtsdrehung des Schnabels in die *Rosenmüller'sche* Grube sich einsenken, aus der er dann nach vorwärts gezogen wird, so dass er über den Tubenwulst, den starken medialen Knorpel, hinweggleitet und in die Öffnung hineingelangt.

Will man mit dem Kehltopfspiegel die oberen Theile des Schlundkopfes durchmustern, so muss das Zäpfchen nach vorn gezogen werden, da sonst nicht genügend Raum für die Instrumente vorhanden ist. Ueberhaupt ist der Raum enger als er vielfach angenommen wird, wie eine Reihe unabbruchbarer Instrumente für *Staphylophorie* zeigt, die viel zu gross angelegt sind.

Es ist richtig, dass die cadaverösen Verhältnisse diesen Raum noch mehr verengen, da die fehlende Spannung der Zungenbändchen das Zurückweichen der Zunge nicht verhindert. Jedenfalls ist die Tiefe des Rachenraumes vielfach zu gross angenommen worden.

Mundhöhle. Vor dem Frieren des Cadavers war Mageninhalt in den *Oesophagus* aufgestiegen und hatte so zu einer Erweiterung desselben und theilweisen Anfüllung der Mundhöhle geführt. Nach Entfernung der Eismassen liessen sich die entsprechenden Höhlungen in der Zeichnung wiedergeben. Bei dem geschlossenen Munde würde sonst die Zunge fast am Gaumen anliegen haben. Man sieht aber auch aus dem vorliegenden Präparate, dass die Zunge wie ein muskulöser Stempel gebaut ist, der in geeigneter Weise den Inhalt der Mundhöhle hin- und herschieben vermag. Man sieht ferner den Zusammenhang zwischen Zunge, Zungenbein und Kehltopf sehr deutlich. Will man bequem zum Kehltopf gelangen, so braucht man nur die Zunge aus dem geöffneten Munde weit herausziehen und wird dadurch den Kehldeckel und mit ihm den Kehltopf nach oben und vorn bewegen. Die hier vorliegende Stellung des Zungenbeins und seiner Nachbarorgane findet sich ebenso in den *Pirogoff'schen* Abbildungen, denen kein erhängtes Individuum zu Grunde lag; man kann sie deshalb als eine natürliche ansehen. Auch war die Schilgins schon lange vor dem Frieren vom Halse des Leichnams entfernt worden.

Der Kehltopf ist ziemlich gut in der Mitte getroffen worden, und bietet bei der Betrachtung keine Schwierigkeiten. Man erkennt die Durchschnittslinien des Ring- und Schildknorpels, und zwischen beiden den *Ventriculus Morgagni*, der sich durch das Auseinandergehen seiner Ränder nur wie ein Spalt ausnimmt. Von Muskeln erkennt man an der hinteren Wand des Kehltopfes den quer durchschnittenen *M. arytaenoideus*, vorn, zwischen Ring- und Schildknorpel, einen Streifen von dem hart neben der Mittellinie liegenden *M. thyreo-hyoidens*.

Von Bändern zeigen sich das *Ligamentum glottis-epiglotticum*, das *Lig. hyothyroideum medium*, weiter nach abwärts das *Lig. cricothyroideum medium*.

Da der Hals so gut in der Mittellinie getroffen war, so zeigen sich auch keine Gefässe auf der Schnittfläche, bis auf die eine Vene oberhalb *Manubrium sterni*, welche als *Vena communicans* die beiden subkutanen Jugularvenen mit einander verbindet. Sie liegt zwischen zwei Fascienblätter eingeschlossen, die durch Spaltung des vorderen Blattes der Halsfasien entstehen. Dahinter liegt der angeschnittene Rand des *M. sterno-thyroideus*. Zwischen diesem Muskel und der *Trachea* zeigt sich der durchgeschnittene mittlere Theil der Schilddrüse, welche völlig normale Verhältnisse darbot. Man erkennt aus der Abbildung den Weg, den das Messer bei der Tracheotomie zu verfolgen hat und die Wichtigkeit der Regel, nach welcher man genau in der Mittellinie des Halses operiren soll. Der Mangel an grösseren Arterien in der Mittellinie, sowie überhaupt die verhältnissmässige Gleichförmigkeit der Gewebe daselbst zeigen, dass man in der *Linea alba* des Halses viel weniger Blutung zu befürchten hat, als in den seitlichen Regionen. Nur die *Neubauer'sche Arteria thyroidea ima*, welche sich nach den Beobachtungen von *Gruber* bei jedem 10. Körper finden soll, würde in die Schnittebene fallen können. Doch lässt sich bei dem Ursprünge

derselben aus der *Anonymus* in fast allen Fällen erwarten, dass das Gefäss etwas nach rechts von der Mittellinie verlaufen wird.

Da die *Trachea* sich um so mehr von der Körperoberfläche entfernt, je weiter sie nach abwärts tritt, so ist die Tracheotomie auch um so leichter auszuführen, je näher dem Kehlkopf man operirt. Also wird man diese Operation, wenn sonst keine anderweitigen Indicationen dagegen sprechen, gern oberhalb der Schilddrüse machen. Nur ist hierbei zu berücksichtigen, dass die Schilddrüse sammt ihrer Kapsel mit stumpfen Instrumenten etwas abwärts geschoben werden muss, um die oberen Trachealringe frei zu legen, was bei der Beweglichkeit des Organs übrigens keine Schwierigkeiten bietet. Operirt man unterhalb der Schilddrüse, so hat man bis zur *Trachea* einen bedeutend längeren Weg zu durchmessen und besonders die grossen Halsgefässe dabei zu berücksichtigen. Die Lage derselben ist nicht so constant, dass man aus der vorliegenden Abbildung eine allgemein gültige Regel für ihre Entfernung vom obern Sternalrande geben könnte.

Die *Trachea*, deren Theilung in rechten und linken *Bronchus* im vorliegenden Falle zwischen dem 4. und 5. Brustwirbel erfolgt, zeigt ziemlich ähnliche Verhältnisse, wie sie *Luscha* (*Bursaryana*, *Tübingen 1857*) angiebt. Es zeigte sich übrigens bei weiteren Durchschnitten an anderen Cadavern, dass die Theilung nicht immer eine constante Höhe hat. Dem entsprechend finden sich auch hieüber verschiedene Angaben bei den verschiedenen Autoren. So gibt *Hentz* (*Anatomie, 1866, Bd. II, pag. 264*) an, dass die Theilung vor dem 5. Brustwirbel liegt. In einer Abbildung von *Proffog* (*fasc. I A, Tabula 14*) liegt sie sogar am 3. Brustwirbel.

Thorax. Auffallend ist die geringe Tiefe des Thorax. Und doch zeigt sich, wie man sich durch Messungen an Lebenden, sowie aus den *Proffog*'schen Abbildungen überzeugen kann, dass derselben keine abnormen Verhältnisse zu Grunde liegen.

Das *Mediastinum* war beim Schnitt so gut getroffen worden, dass kein Pleurasack eröffnet worden war. Von den Lungen war nichts zu sehen als ihr kleines Streifen der rechten Lunge, welches, noch von *Pleura* bedeckt, hinter dem Körper des Brustbeins abgebildet ist. Auch in mehreren *Proffog*'schen Abbildungen (*fasc. I A, Tab. 11 und 44*) ist nichts von Lungen zu sehen, ein Beweis für die ziemlich beträchtliche Breite des *Mediastinum* bei jugendlichen Individuen deren Thymusreste die Pleurasäcke eine Strecke weit auseinanderhalten.

Das Herz wurde so getroffen, dass vom Aortenbogen nur ein flacher Abschnitt in der rechten Körperhälfte liegen blieb, während der Stamm der *Arteria pulmonalis* mit der linken Seite entfernt ward; nur der rechte Ast derselben liegt querdurchschnitten vor. Oben und untere Hohlvene sind gar nicht zu Gesicht gekommen; sie lagen in der Tiefe, und mündeten von oben und unten her so in den weitgeöffneten rechten Vorhof ein, dass man ihre Eintrittsstelle nicht sichtbar machen konnte.

Die grössere Höhlung abwärts von der *Aorta* gehört dem Vorhof an, der zu seinem grössten Theile bis auf einen sehr kleinen Rest in der rechten Körperhälfte liegen blieb. Seine Höhlung erstreckt sich nach oben bis zum rechten Herzohr, von dem, wie aus der Zeichnung ersichtlich ist, nur ein kleiner Theil in die linke Körperhälfte hinübergratte, und nach hinten, der Wirbelsäule zu, etwas hinter den Vorhof. Von der Trienspidalklappe ist ein grosser Theil durch den Schnitt getroffen.

Vom linken Vorhof, der hinter dem rechten, zwischen diesem und der Wirbelsäule zu sehen ist, ist nur die rechte Hälfte zu sehen. Die andere Seite ward mit der linken Körperhälfte entfernt. Die beiden Öffnungen darin entsprechen den Eintrittsstellen der Lungenvenen. Am *Septum atriarum* ist derjenige Theil, welcher das *Foramen ovale* enthält, nicht besonders markirt. Vom rechten Ventrikel ward nur ein sehr kleiner Theil getroffen.

Da das Herz sehr gering gegen seine Oberfläche geschnitten wurde, so erscheint auch die Muskel- und Fettschicht auffallend stark. Es war übrigens auch in dem vorliegenden Falle ziemlich viel Fett auf dem Herzen vorhanden; das Herzhäutchen und die Klappen zeigten jedoch keine Anomalien. Das Verhältniss des Herzbettes ist aus der Zeichnung ersichtlich. Der nebensiehende Holzschnitt erläutert die Lage des Herzens zur Schnittlinie, wie sie im vorliegenden Falle gefunden wurde.



Die *Arteria pulmonalis* kommt mit ihrem rechten Aste, der auf der Tafel unrichtig roth gefärbt ist, vor die Höhe des 6. Brustwirbels zu liegen, also in ganz gleicher Höhe wie hier der Transversalschnitt auf Tafel XI. Beide Körper waren jugendlich; auf Tafel I handelt es sich um einen 21jährigen Mann, auf Tafel XI um einen 22jährigen. Es ist also ersichtlich, dass das Herz mit der *Arteria pulmonalis* verhältnissmässig

hoch liegt. Die jugendlichen gesunden Lungen haben sich nach dem Tode so beträchtlich zusammengezogen, dass dadurch ein hoher Stund des Zwerchfelles und des Herzens bedingt wurde, wie ihn ältere Leute nicht zeigen.

Die Zeichnung des Herzens selbst ist nicht besonders gelungen zu nennen. Es war die erste Zeichnung, die gemacht wurde, an ihr laffen noch viele Mängel, die auf den späteren Tafeln vermieden worden sind.

Die Speiseröhre lässt sich bei Mediänschnitten nicht immer in der ganzen Länge sichtbar machen, da sie stellenweise nicht unmittelbar von der Mittellinie abweicht. Bei diesem Präparate aber war sie durch aufgetretenen Mageninhalt so beträchtlich ausgedehnt worden, dass sie der ganzen Länge nach in die Schnittlinie fiel.

Bauchhöhle. Wie man an der Form der Bauchdecken sehen kann, zeigte der Cadaver keinen eingedrückten Unterleib; ebenso waren die Därme nur mässig angefüllt; und doch ist die geringe Entfernung des Nabels von der Lendenwirbelsäule im höchsten Grade auffällig. Die Tiefe der Bauchhöhle in der Mittellinie, so veränderlich sie auch ist, wird eben meistens viel zu gross taxirt.

Es ist aber hier ausdrücklich zu bemerken, dass die hier vorliegende Zeichnung nicht so ohne weiteres auf den lebenden Körper übertragen werden darf, da am Leichname die Lungen sich im Zustande der grössten Expiration befinden, das Zwerchfell einen hohen Stand einnimmt und damit im Zusammenhange die Lagerung der Därme, die Vertheilung des Blutes und die Vorwölbung des Unterleibes um etwas verändert ist. Es wird daher bei der Uebersetzung auf den lebenden Körper die Entfernung der Wirbelsäule von den Bauchdecken um etwas grösser angenommen werden müssen.

Aus diesem Verhältniss der Bauchdecken zur Lendenwirbelsäule erkennt man die Möglichkeit einer ergiebigen Compression der Baucharteria, die um so sicherer sein wird, je magerer das Individuum ist und je weniger voll die Därme sind. Es ergibt sich ferner die Regel, bei dieser Compression das Individuum so zu lagern, dass die Lendenwirbelsäule möglichst stark nach vorn gebogen ist. Da die Baucharteria am 4. Lendenwirbel sich theilt, so wird die Compression nicht tiefer, eher höher, also unmittelbar am Nabel anzubringen sein.

Därme. Die Lage der Därme in der Mittellinie wurde wiederholt mit anderweitigen Durchschnitten an gleichgrossen Cadavern verglichen und Einzelnes nachgetragen. Dabei fand sich in einem Falle eine solche Leere und eine so hochgradige Contraction des Magens vor, dass er anfangs völlig übersehen wurde und man, als er aufgefunden war, kaum den kleinen Finger in seine Höhlung hineinschieben vermochte.

Der Durchschnitt der Leber trifft den linken Lappen nahe am *Lobulus Spigelii* und dicht an der obliterierten Nabelvene.

Das *Pancreas* wurde nahe an seinem Kopfe durchschnitten, da, wo die *Vena mesenterica superior* nach der Leber zu sich hinzieht. Derjenige Theil desselben, welcher vom Kopfe der Drüse nach der Mittellinie zu, am untern Horizontaltheile des *Duodenum* sich hinwendet, das sogenannte *Pancreas minus*, liegt hinter der eben erwähnten Vene, so dass es auf Durchschnitten den Anschein hat, als ob diese Vene durch das *Pancreas* selbst hindurchginge.

Die Verhältnisse des Bauchfells wurden in der Zeichnung genau so wiedergegeben, wie sie sich in der Natur beim Aufthauen des Präparates vorfinden; nur ward der Deutlichkeit halber das Fett des grossen Netzes weggelassen und die Blätter desselben schematisch gezeichnet.

Da für das Verständniss des *Duodenum peritoneale* ein Sagittalschnitt in der Mittellinie des Körpers nicht der günstigste ist, sondern ein Schrägschnitt vom *Foramen Winslowi* aus, durch die Wurzel des *Mesenterium* nach der *Flexura duodeni* zu, viel mehr leisten würde, so habe ich in dem nachstehenden Holzschneide eine schematische Abbildung gegeben, welche nachstehend das Verhältniss des kleinen Netzes zum übrigen Theile des *Peritoneum* deutlich machen wird. Stämmliche einzelne Blätter, aus denen das *Mesocolum transversum* der Entwicklung nach zusammengesetzt ist, wurden auf dieser Zeichnung ebenso wenig als auf der grossen Tafel angegeben, da sie am erwachsenen Körper sich nicht präpariren lassen und ihre schematische Anlage nur das Verständniss der Zeichnung erschwert hätte.

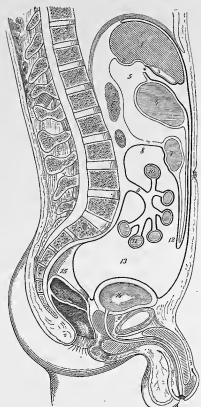
Ueber die Verhältnisse des Mastdarms ist nichts weiter hinzuzufügen; man erkennt die Entfernung des Peritonealesackes von der Mastdarmöffnung, welche gegen 3 Zoll betrug. Man erkennt ferner deutlich die Lage der sogenannten *Valvula recti*.

Da der Mastdarm beim Aufsteigen sich nach der linken Körperhälfte hinüber wendet, so ist auch nach aufwärts nur ein flacher Abschnitt desselben zu sehen, und es weicht dadurch die Abbildung von denen *Hentz*'s und *Kohlrausch*'s ab.

Hierbei ist zu bemerken, dass in der Höhe der *Valvula recti*, deren Vorsprung durch den *Sphincter ani tertius* bedingt ist, der Bauch-

fellack mit seinem untersten Abschnitt im Douglas'schen Raume liegt. Aus der Grösse der *Anguilla recti* kann man erkennen, dass eine ziemlich beträchtliche Verschiebung der Nachbartheile nach aufwärts durch den gefüllten Mastdarm stattgefunden hatte. Der Douglas'sche Raum ist durch diese Aufwärtsdrängung verflacht, die Urethra in die Länge gezogen, der Blasenfundus mit dem *Orificium urethrae internus* nach aufwärts verdrängt. Die Versuche von *Garson*, die er unter meiner Leitung anstellte, haben ergeben, dass die Lage des Bauchfelds, der Harnblase, die Länge und Form der Harnröhre abhängig sind von dem Füllungsgrade des Rectum (*Archiv für Anatomie u. Phys. Anat. Abth. 1878. p. 171*). *Garson* hat in seinem Aufsätze p. 178, Nr. 3 die Bedeutung der Rectumausdehnung für *Scitis* also ausdrücklich hervorgehoben. Es wäre nur gerecht, diese neue Operationstechnik die *Garson'sche Methode* zu nennen und nicht die *Petersen'sche*, welcher Name wiederholt nach dem Aufsatze von *Petersen* (*Langenbeck's Archiv 1880, p. 752*) in die Literatur eingetraten ist. Die ganz besonders auffällige Form der Harnblase und die hohe Lage des Eingangs zur Harnröhre wird man in Beziehung bringen müssen mit dem starken Füllungsgrade des Mastdarms.

Ebenso differirt die Zeichnung der Blase von den oben erwähnten Abbildungen. Sie wurde aber, genau nach dem Präparate abgepaust.



1. Leber, schief durchschnitten. 2. Glandula vesicalis. 3. Glandula prostatica. 4. Uterus. 5. Vagina. 6. Perineum. 7. Penis. 8. Urethra. 9. Blase. 10. Harnröhre. 11. Mastdarm. 12. Rectum. 13. Sigmoides Colon. 14. Colon descendens. 15. Harnblase.

den, mochte das Cadaver gestanden oder gelegen haben.

Die Lage der Eintrittsstelle der Harnröhre in die Blase entspricht den Abbildungen von *Heule* und *Kohlrausch* nicht völlig. Um eine absolute Gleichheit kann es sich hier nicht handeln, da schon *Langen* (*Medizinische Jahrbücher, Wien, 1862, 3. Heft*) wie später *Garson* gezeigt hat, dass in dieser Beziehung ziemlich grosse Variationen vorkommen.

Den Umhüllungen der Blase, welche die *Porta vesicae Retii* bilden, wurde besondere Sorgfalt zugewandt, da dieselben aus den von *Heule* und *Kohlrausch* gegebenen Darstellungen nicht recht ersichtlich sind. Man erkennt aus der Abbildung, dass von der Terminallinie der hinteren Wand der Rectumscheide, der sogenannten *Linea semilunaris Douglasii*, zwei Fascienblätter ihren Ursprung nehmen, welche dicht hinter einander zwischen *M. rectus* und *Peritoneum* herablaufen, wem die Blase nur mässig angefüllt ist wie im vorliegenden Falle; die aber einen Raum vor dem *Peritoneum* zwischen sich begrenzen, der von der aufsteigenden Blase bei noch wachsender Füllung eingenommen werden kann. Während das vordere Blatt als dünne Decke auf dem *Rectus abdominis* herunterragt und noch den Raum zwischen Blase und Schambeinsymphyse anspannt, geht das hintere Blatt hinter dem *Uterus* auf die Blase über, um dieselbe zu überziehen und sich an die Prostatakapel und die *Fascia pelvis* anzusetzen.

Der *Sphincter vesicae internus* liess sich in der Zeichnung andeuten; dagegen gelang es nicht, den *Sphincter externus* vollständig zur Darstellung zu bringen. Die *Prostata* selbst war nach allen Seiten hin deutlich abzugrenzen. Auch der vor der Harnröhre liegende Theil derselben war deutlich zu erkennen, während in den meisten Fällen diese mit Muskelfasern gemengte Drüsenmasse sich nicht bestimmt abhebt.

Vor der *Prostata* liegt das *Ligamentum pubo-prostaticum medium* mit den zahlreichen Venen, welche den *Plexus venosus Santorini* bilden. Darunter zeigte sich Muskulatur, die sich nicht vollständig analysiren liess. Sie wurde so abgezeichnet wie sie vorlag, und nach *Heule's* Vorgang mit dem Namen des *Transversarii perinaei profundus* zusammengefasst. Dazu gehört auch der von *Müller* sogenannte *Constrictor urethrae membranaceus*.

Das *Ligamentum triangulare urethrae* (*Colles*), welches mit dem *Ligamentum arcuatum* unter der *Symphyse* die Lücke für die *Vena dorsalis penis* begrenzt, und mit dem *Transversarii perinaei profundus* verbunden ist, lässt sich nicht deutlich auf solchen Durchschnitten zur Ansicht bringen. Es sind die weiss gehaltenen Stellen am vorderen Rande der eben erwähnten Muskulmasse darauf zu beziehen. Ueberhaupt sind Sagittalschnitte für das Verständniss der Beckenfasces und der Beckenmuskulatur nicht vortheilhaft. In dieser Beziehung leisten Frontaldurchschnitte viel mehr.

Die *Vena dorsalis penis* und die *Ligamentum suspensorium penis* lassen sich deutlich erkennen.

Die Krümmung der Harnröhre weicht etwas ab von der, welche *Kohlrausch* als die normale bezeichnet, und doch muss die vorliegende *Urethra* ebenfalls als eine normale angesehen werden, da sich weder an ihr selbst, noch an den benachbarten Organen pathologische Veränderungen nachweisen liessen. Man wird somit annehmen müssen, was auch aus den Abbildungen von *Pirogoff* und *Jarjavay* hervorgeht, dass die Harnröhrenkrümmung sich nur im Allgemeinen normiren lässt, und selbst im normalen Zustande mehrere Variationen darbietet. Es wurde schon oben der Einfluss der Mastdarmsfüllung auf der Krümmung des oberen Theiles der *Urethra* erwähnt. Ausserdem beweist die Leichtigkeit, mit welcher selbst geringe Instrumente bis in die Blase eingebracht werden können, dass es weniger darauf ankommt, dem Catheter eine bestimmte Krümmung zu geben, als die Hindernisse zu kennen, welche sich dem Einbringen des Instrumentes entgegen setzen. Die Ausbuchtung im Prostataantheile der Harnröhre entspricht dem *Sinus prostaticus*, neben dem *Colliculus seminalis*, welcher zugleich mit einem *Ductus ejaculatorius* getroffen wurde.

Die Eichel und die Schwellkörper sind in ihren Grenzen deutlich gezeichnet. Ebenso markirt sich auch die *Fossa navicularis*. Die übrigen Erweiterungen und Engen der Harnröhre, wie sie im normalen Körper regelmässig vorhanden sind, liessen sich nicht darstellen. Man muss, um sich eine klare Anschauung davon zu verschaffen, Abgüsse der *Urethra* an weichen Präparaten machen, so wie es *Langen* gethan hat.

Durchschnitte an erhärteten Präparaten leisten in dieser Beziehung weniger. Die Lage der *Cooper'schen Drüsen* in so beträchtlicher Tiefe, und unter der Muskulatur, macht es erklärlich, warum Entzündungen und Vergrößerungen derselben, die nach den Sektionsbefunden gar nicht so selten sind, so wenig am Lebenden berücksichtigt werden. Es müsste schon eine bedeutende Anschwellung eintreten, um eine von aussen her fühlbare Geschwulst zu geben.

Betrachtet man die vorliegende Abbildung in Beziehung auf die Operationen an *Perineum*, namentlich den Steinschnitt, so fällt zunächst die Engigkeit des Raumes auf, zwischen dem oberen Theile der Harnröhre und des Mastdarms. Es muss aber bemerkt werden, dass diese Engigkeit hier besonders gross ist, da der Mastdarm stark mit Koth angefüllt war. Es erhebt daraus die Wichtigkeit der Regel, vor dem Perinealansechnitte jedesmal den Mastdarm von Faecalmassen zu reinigen, um ihn möglichst weit aus dem Bereiche des Messers zu bringen. Dass dadurch dieser Raum wesentlich vergrössert wird, ist leicht ersichtlich; ergibt sich auch aus der Abbildung von *Kohlrausch*, wo ein weniger stark angeschnittener Mastdarm zu Grunde lag.

Man erkennt ferner aus den hier vorliegenden Verhältnissen, dass es recht gut ausführbar ist, bei dem Schnitt die Prostatakapel zu erhalten. Man kann durch Spaltung der *Pars membranacea* und *Pars prostatica urethrae* einen so geräumigen Zugang zur Blase gewinnen, dass selbst grössere Steine entfernt werden können, und kann durch Erhaltung der hinteren Partie der *Prostata* mit der Kapel gefährlichen Urinfistulationen vorbeugen.

Über den hohen Steinschnitt, oberhalb der *Symphyse*, ist nichts zu dem oben Gesagten hinzu zufügen, da schon aus der Abbildung ersichtlich ist, dass eine starke Anfüllung des Mastdarms selbst bei mässiger Füllung der Blase ausreicht, um die *praeconalis Falte* des *Peritoneum* hinreichend hoch über die *Symphyse* zu erheben.

TAFEL II. A. B.

Der vorliegende Sagittalschnitt wurde an dem durchaus normalen, sehr gut gebauten Körper eines etwa 25jährigen Weibes gemacht, welcher unmittelbar nach dem Tode (durch Erhängen) auf die Anatomie gebracht wurde. Die Arterien wurden mit Harzmasse injiziert und der Cadaver dann sogleich in genau horizontaler Lagerung auf dem Rücken zum Gefrieren gebracht, wie der männliche, Tafel I zu Grunde liegende Körper. Die Schnithälften wurden durch wiederholte Anwendung von Kältemischungen so lange im fest gefrorenen Zustande erhalten, bis die völlige Auszeichnung der Pansen vollendet war, was ungefähr 14 Tage in Anspruch nahm. Am aufgetauten Präparat ward dann erst das Einzelne vollendet. Ausserdem wurde nach frischen Schnitten die Detailzeichnung an einzelnen Stellen vervollständigt, wovon weiter unten genauere Rechenschaft abgelegt werden soll. Das ganze Beckenstück kam später in Spiritus, so dass sich die Schnittfläche successive mikroskopisch untersuchen liess, und die Grenzen der Schleimhaut, der glatten und quergestreiften Muskelmassen sichere Bestimmung erfahren. Aber auch bei diesem Leichnam wurde alles Einzelne so durchpräpariert, dass die Präparate völlig zerstört wurden und nicht aufbewahrt werden konnten.

Der Uterus befand sich im Zustande der Schwangerschaft und zwar am Anfang der 9. Woche. Stimmliche Organe erwiesen sich als normal. Magen und Därme waren ziemlich leer; das *Colon transversum* durch Luft mässig ausgedehnt, das *Rectum* nicht stark aber gleichmässig mit Koth gefüllt, die Blase contrahirt und leer. Auch bei dem Transport des Cadavers war kein Urin aus der Blase ausgeflossen, derselbe musste also schon vor dem Tode entleert worden sein.

Der Schnitt, welcher von unten nach aufwärts geführt wurde, um vornehmlich das Becken genau in der Mitte zu schneiden, war im Ganzen gut gelungen. Der Gelenkspalt der *Symphysis osium pubis* war geöffnet, sowie die Harnröhre und der unterste Theil des *Rectum*. Dagegen war der Uterus, der etwas nach links geneigt war, in seiner rechten Hälfte geschnitten, jedoch so nahe an der Mittellinie, dass ein nachträglich ausgeführter flacher Schnitt genügte, um die *Cavitas cervicalis* in seiner ganzen Länge frei zu legen.

Der Spinalkanal ward zwar durchgängig eröffnet, jedoch nicht der ganzen Länge nach in der Mitte getroffen. Man erkennt aus dem Verhalten des Rückenmarks, dass von dem unteren Ende des *Thorax* an die Wirbelsäule rechts neben der Mittellinie geschnitten ward, und aus dem Verhalten der grossen Gefässe des *Abdomen*, dass die Theilungsebene das Zwerchfell zwischen *Foramen quadrilaterum* und *Hilus aorticus* traf. Die untere Hohlvene ist mit der rechten Körperhälfte vollständig hinweggenommen worden, nur an dem Durchschnitte der *Vena iliaca sinistra* liegt noch ein flacher Abschnitt des Stammes; die *Aorta abdominalis* dagegen ist vollständig erhalten und nur die rechte *Arteria iliaca communis* abgeschnitten.

In der Brusthöhle und am Halse hielt die Säge genau die Mittellinie ein. Von den Lungen war nichts zu erkennen; keine von beiden Lungenblähen war eröffnet worden. Von der Zunge brauchte nur eine dünne Scheibe abgetragen zu werden, um die Mitte zu erhalten. Dagegen war das grosse Hirn nicht günstig getroffen worden, so dass noch ein $\frac{1}{2}$ Centimeter starkes Stück vom Schädeldache hinweggenommen werden musste, um den *Sinus sagittalis* zu finden, und das inzwischen mit Alcohol gehärtete Gehirn genau zu halbiren.

Ehe ich auf die Hauptache dieser Tafel eingehe und die Beckeneingeweide bespreche, will ich kurz die notwendigen Notizen über die allgemeinen Körperverhältnisse geben, und zunächst mit der Wirbelsäule beginnen.

Die Wirbelsäule zeigt eine sehr gleichmässige Krümmung, die sich von der auf Tafel I dadurch sehr vorteilhaft unterscheidet, dass in Folge der weniger stark hintenübergebogenen Kopfslage die Halswirbel

nicht so weit vortreten. Ebenso biegt die Rückenwirbelsäule nicht so bedeutend nach hinten aus, und geht daher auch allmählicher in die Convexität der Lendenkrümmung über. Zieht man eine Linie, welche der Längsachse des Körpers parallel geht und in der Gegend des Atlanto-Occipitalgelenkes, also etwa vom hinteren Rande des Zahnfortsatzes des 2. Halswirbels beginnt, so berührt dieselbe den letzten Halswirbel und den ersten Brustwirbel (während sie auf Tafel I die 3 letzten unteren Halswirbel traf) und schneidet weiter unten dicht hinter dem *Promontorium* durch. Es werden also durch dieselbe nahezu dieselben Punkte getroffen, wie bei der Weber'schen Bestimmung der Schwerlinie.

Die Beckenneigung beträgt 58°, also weniger als die des Mannes auf Tafel I, welche 60° hatte.

Charakteristisch für die weibliche Wirbelsäule ist die geringere Prominenz des *Promontorium* gegenüber der starken bei dem männlichen Rumpfe, sowie die bedeutend steilere Haltung der Schambeinsymphyse. Es ist klar, dass durch dieses Verhältnis die Bedingungen viel günstiger für die Austreibung des Kindes liegen, welches am *Promontorium* sowie an der stelleren Fläche der Schambeinsymphyse leichter abwärts gleiten kann, als bei der so horizontal gestellten Symphysenfäche, wie sie Tafel I zeigt. Es ist wiederholt bestritten worden, dass die Symphysenachse (darunter die grösste Fläche des Symphysengelenkes verstanden) beim Weibe steiler liege, als beim Manne, und gerade in der mehr aufrechten Stellung ein Geburtshindernis gesucht worden. Ich vermag nicht anzugeben, ob in dieser Beziehung ein constanter Unterschied zwischen männlicher und weiblicher Beckenform gegeben ist. An einer Reihe von Sagittaldurchschnitten gefrorener Körper habe ich aber dieses Verhältnis so wiedergefunden, wie es diese und die erste Tafel zeigen, ohne dass Abnormitäten sonst nachzuweisen waren; und ich möchte daher auf diesen Punkt gerade die Aufmerksamkeit der Gynäkologen richten, da ich bis jetzt keine Entscheidung geben kann.

Die *Conjugata* war sehr gross, sie hatte 120 Millimeter. Das Becken überhaupt war weit, aber sonst regelmässig gebaut.

Der Durchschnitt des Kopfes gibt eine gute Ergänzung zu dem Bilde auf Tafel I. Der *Sinus sagittalis* ist in seiner ganzen Länge frei gelegt. Ueber der schmalen Communicationstelle mit dem *Sinus quartus* befindet sich eine Erweiterung, welche auf die Fortsetzung in den *Sinus transversus dexter* hindeutet. Leider kann ich nichts Genaueres über diese Verhältnisse angeben. Soweit ich mich erinnern, ist damals nicht besonders auf den Übergang zum *Sinus transversus* untersucht worden. Die Abbildung könnte den Anschein erwecken, als ob das Blut des *Sinus sagittalis* direkt in den *Sinus quartus* sich ergösse hätte und nach aufwärts geflossen wäre. Die dunklere Stelle in der Zeichnung des hinteren Endes des *Sinus quartus* deutet vielleicht den Zugang zum *Sinus transversus* an. Ebenso ist auch die *Vena magna Galeni* nicht genau in der Zeichnung wiedergegeben. Dagegen sieht man sonst die Einzelheiten des Hirmschnittes ziemlich klar, jedenfalls besser als auf Tafel I und erbennt auch in dem *Lumen* des *Sinus sagittalis* die Einmündungsstellen der spitzwinklig gegen den Strom eintretenden Venen des Hirnmantels (*Browning, a. a. O.*).

Unter der Brücke liegt die weit aufgeschwammene *Arteria basilaris*. Die Injektion hatte die Arterie zugänglicher für den Schnitt gemacht. Vom sind die *Arteriae corporis callosi* in ziemlicher Ausdehnung sichtbar.

Keilbeinhöhle und Stirnhöhle sind weit geöffnet. Die Stirnhöhlen erscheinen viel geräumiger als bei dem Manne auf Tafel I. Die Grösse derselben ist aber überhaupt bei unseren Schädeln ausserordentlich wechselnd.

An der Nase ist das *Septum* intakt. Die Knochenfarbe ist im Coloret ein Stück zu weit nach abwärts geführt, so dass die Nasenknochen eine ungehörliche Länge erhalten haben.

Mandhöhle, Rachen und Kehlkopf waren recht glücklich ge-

troffen worden. Der Mund war festgeschlossen. Die zwei sichtbaren Schneidezähne greifen wie zwei Scherenblätter übereinander. Die Zunge schließt an den Gaumen wie ein muskulöser Stempel dicht an. Auch hier ist der weiche Gaumen mit der Uvula weit nach hinten gerückt, so dass das Zäpfchen an der hinteren Rachenwand dicht anliegt und nur ein schmaler Spalt übrig bleibt für die Passage von der Nasenhöhle zum Kehlkopf. Man braucht sich nur noch einen von unten her kommenden Druck dazu zu denken, wie ihn die Schlinge beim Erhängen hervorbringen vermag, um zu verstehen, wie auf dem Bilde, das *Eber* im Sagittalschnitt von einem Erhängten gegeben hat, das Zäpfchen nach aufwärts gefaltet förmlich in den Retroastrum hineingestopft liegt.

Es ist schon bei Besprechung der Tafel I hervorgehoben worden, dass die Räume hinter dem Kehlkopf und der Zunge beim Cadaver durchweg enger sind als beim Lebenden, weil die Zungenbeinmuskeln dem durch die aspirierenden Lungen bedingten Andrängen der Luft keinen Widerstand mehr leisten. Das Bild hier macht die Erstickenungsgefahr bei tiefer Chloroformnarkose verständlich, zeigt aber zugleich an, wie man dieselbe am besten beseitigen kann. Ein scharfer Haken, hinter das Zungenbein eingesetzt, würde durch einen kräftigen Zug nach vorwärts schneller die Passage zum Kehlkopf freimachen, als dies ein Zug der Kormazone an der Zungenspitze zu leisten vermag. Der *Oesophagus*, welcher stellenweise etwas Mageninhalt enthielt, liess sich zwar in ganzer Länge abziehen, ist jedoch durch die Schattierungen nicht genügend in seiner ursprünglichen Lage wiedergegeben. So ist am 3. Brustwirbel der Schatten nicht intensiv genug, um die tiefe Ausbuchtung an dieser Stelle zu bezeichnen. Dagegen erkennt man in der Höhe des 6. und 7. Brustwirbels an dem flachen und schmalen Abschnitte, dass er daselbst mehr in die rechte Körperhälfte hinüberträgt als höher oben, so dass sein Traktus eine flache S-förmige Krümmung in frontaler Ebene bildet.

Vor der *Trachea* erkennt man den Durchschnitt der ziemlich stark vergrößerten Schilddrüse, die auch eine schwache Vorwölbung der Hautfläche bedingt. Unterhalb derselben liegt die *Vena anonyma sinistra*, an die sich ein Rest der *Thymus* anschliesst; und hinter der Vene die aufsteigende Aorta, mit dem Abschnitt der *Arteria anonyma*. Diese Lage der *Arteria anonyma* zur *Trachea* bestimmt den Weg, den man zu nehmen hat, um die Arterie freizulegen. Ein Schnitt in der *Linea alba* des Halses wird zwischen Schilddrüse und oberem Sternalrande die Arterie auf der *Trachea* finden lassen. Zwar sind die Unterbindungen dieses Gefässes bis jetzt nicht glücklich gewesen, was bei der Kürze des Stammes von 2–3, selten 4 Centimeter, und der dadurch bedingten ungünstigen Thrombenbildung nicht zu verwundern ist; man wird sich aber zu merken haben, dass die Aufsuchung der *A. anonyma* dieselbe Wunde setzt wie die Tracheotomie unterhalb der Schilddrüse, und dass im unteren Winkel dieser Wunde nicht nur die *Vena anonyma sinistra*, sondern auch die *Arteria anonyma* liegt.

Die *Trachea*, welche in gestrecktem Verlaufe an der vorderen Wand des *Oesophagus* herunterzieht, theilte sich in beide *Bronchi* vor dem 4. Brustwirbel, also fast in gleicher Wirbelhöhe, wie bei dem männlichen Körper auf Tafel I, dessen Querschnitt auf Tafel XI abgebildet ist.

Als ich bei einem Cadaver, den ich mit nach vorn herabgedrücktem Kopfe hatte gefrieren lassen, den Medianalschnitt ausführte, war ich erstaunt, wie ausserordentlich verkürzt die *Trachea* sich zeigte, und wie bedeutet sie sich wieder ausdehnte, als ich beim Beginn des Aufhaltens den Kopf in die gewöhnliche Haltung zurück brachte. Durch diese Dehnbarkeit der *Trachea*, die als offenes Rohr den Verkürzungen und Verlängerungen des Vorderhalbes bei den extremen Kopfhaltungen gleichmässig folgt, und durch die federnde elastische Faserverbindung der einzelnen Knorpelringe sich verlängern und verkürzen kann, ist die Möglichkeit gegeben, den Kopf in weitgehende Beugung und Streckung zu bringen, ohne dass dabei die Lungenwurzel in gleichem Masse dislociert wird. Bestünde die *Trachea* aus gleichmässig solider Masse, so müsste sie bei jeder Vorbeugung des Kopfes in bedenklicher Weise auf die Lungen und den linken Vorhof des Herzens stossen und bei jedem plötzlichen Zurückwerfen des Schädels die Brustorgane beträchtlich zerreissen und nach oben dislocieren. Messungen ergaben, dass die Dehnbarkeit der *Trachea* vom Kehlkopf an bis zur Theilungsstelle der Bronchien bei Beugung und Streckung des Kopfes bis zu 2½ Centimeter betragen kann; und dabei zeigte sich keine grobe Faltung oder Knickung an der Innenfläche der Luftrohre. Diese federnde Beschaffenheit bewirkt auch das starke Klaffen aller queren Trachealwunden bei gestrecktem Kopfe.

Von praktischer Wichtigkeit ist, namentlich in Beziehung auf die Ausführung der Tracheotomie, die Veränderung der Lage der *Trachea* in Beziehung auf die Oberfläche des Vorderhalbes bei den verschiedenen Stellungen des Kopfes. Die *Trachea* wird bei stark nach hinten übergebeugtem Kopfe der vorderen Halsoberfläche bedeutend näher gebracht und zugänglich, sowie das Operationsfeld überhaupt vergrößert, als bei gewöhnlicher Haltung oder gar herabgesenktem Kinn. Der im Atlas von *Pirogoff* (I. A. 14, 1) gegebene Durchschnitt ist in dieser Beziehung besonders lehrreich. Es zeigt sich ferner, dass mit der Ausdehnung und Vordrängung der *Trachea* auch der Aortenbogen und die *Arteria anonyma* etwas höher rücken, und so für Verletzungen, aber auch für die Ligatur zugänglicher werden.

An dem Herzen, dessen linker Vorhof durch von den Lungen aus eingedrungene Injektionsmasse ziemlich stark ausgedehnt war, fand sich Alles normal. Man erkennt an der Speiseröhre anliegend den ovalförmigen Schnitt des ausgedehnten linken Vorhofes, davor die mehr dreieckige Oeffnung des rechten *Atrium*. Am letzterem ist noch ein kleines Stückchen vom rechten Ventrikel durch den Schnitt geöffnet. Man blickt von beiden Atrien aus durch das *Ostium atri-ventriculare* ein Stück weit in die dazu gehörigen Ventrikel hinein, und übersieht einen Theil der Klappen, die nach sorgfältiger Reinigung noch im erstarrten Zustande abgezeichnet wurden. Im *Atrium sinistrum* zeigen sich ferner die Eintrittsstellen der linken Lungenvenen, im *Atrium dextrum* die Mündung des *Sinus coronarius*. Derselbe liegt mit der *Valvula Thebesii* in dem unteren hinteren Winkel des Dreiecks, welches das rechte *Atrium* auf dem Durchschnitt hier bildet. Hinter dem aufgeschlizten Aortenbogen, in welchem man ebenfalls ein Stück des Klappenapparates erkennen kann, kommt der rechte Ast der *Arteria pulmonalis* aus der Tiefe hervor. Ein kleines Stückchen des rechten Herzohres, welches in der linken Körperhälfte mit zurückblieb, also übereinstimmend mit dem Durchschnitt auf Tafel I lag, ward hinweggenommen, sodass vor der *Aorta* innerhalb des Herzbeutels eine grössere Lücke geblieben ist. Bei Vergleichung des Herzens mit dem Medianalschnitt auf Tafel I und dem Querschnitt auf Tafel XII ergibt sich, dass die untere Grenze des Herzens, sowie sie durch den Spalt der Pericardialhöhle bestimmbar ist, bei dem Manne auf Tafel I bis in die Höhe des 10. Brustwirbels hinaufreicht, beim Weibe auf Tafel II nur bis in die des 9. Brustwirbels. Die Tricuspidalklappe liegt bei beiden so ziemlich in gleicher Höhe dem 8. Brustwirbel gegenüber. Ein nahezu gleiches Verhalten bietet der Transversalschnitt des jungen Mannes auf Tafel XII.

Ebenso liegt der linke Vorhof, so weit es aus den Zeichnungen ersichtlich ist, bei allen drei Cadavern in fast gleicher Höhe, etwa vor dem 8. und 7. Brustwirbel; nur bei dem Weibe auf Tafel II liegt er ausserdem noch vor dem 6. Brustwirbel, eine Ausbreitung, die wohl auf Rechnung seiner Ausdehnung durch die eingedrungene Injektionsmasse zu setzen ist. Damit hängt wohl auch die Verschiebung des rechten Astes der *Arteria pulmonalis* zusammen, der hier vor dem 5. Brustwirbel liegt, während er bei den Männern auf Tafel I und XII vor dem 6. Brustwirbel zu liegen kommt.

Die Aortenklappen liegen bei dem Weibe Tafel II, wie bei dem Manne auf Tafel XII, in der Höhe des 6. Brustwirbels.

Man darf also wohl sagen, dass eine ziemlich Uebereinstimmung in der Lage des Herzens bei allen drei gleichartigen Individuen herrscht, und dass somit *Henke's* Behauptung von der grösseren Verwertbarkeit seiner Schnitte und Konstruktion des Herzens (siehe Programm), die er an nur einem Leichnam und noch dazu einem nicht normalen machte, auch bei dieser Betrachtung hinfällig erscheint.

Vergleicht man den Durchschnitt des Thoraxraumes mit der auf Tafel I gegebenen Zeichnung eines jugendlich kräftigen normalen Mannes, so zeigt sich zunächst, dass der obere Rand des *Manubrium sterni* beim Manne um eine halbe Wirbelhöhe höher steht und ausserdem um einen halben Centimeter weiter von der Wirbelsäule entfernt ist als bei der Frau auf dieser Tafel, wo der obere Sternalrand der Höhe der Symphyse zwischen dem 2. und 3. Brustwirbel entsprach. Der bedeutend grössere Capacität des männlichen Thoraxraumes wird aber noch weiter dadurch ersichtlich, dass das Zwerchfell beim Manne die Höhe der Symphyse zwischen dem 9. und 10. Brustwirbel erreichte, während bei der Frau der höchste Punkt des Zwerchfells dem oberen Rande des 9. Wirbels entsprach, also noch um eine ganze Wirbelhöhe höher stand. Und zwar handelt es sich hier um nahezu gleichartige, sehr gut gebaute, normale, für ihr Geschlecht grossgewachsene Individuen, die also ganz besonders gut sich in dieser Beziehung vergleichen lassen. Das Herz nahm bei beiden eine nahezu gleiche Lage zur Mittellinie

des Körpers ein. Beiderseits fielen die Vorhöfe, das rechte Herzohr und ein kleines Stückchen vom rechten Ventrikel in die Schnittfläche.

Von den Lungen ist nichts zu sehen; dieselben erreichen bei jugendlichen Individuen, in Folge der noch vorhandenen Thymusreste, in Expirationszustände nirgends mit ihren vorderen Rändern die Mittellinie, sodass Sagittalschnitte, die genau in der Mittellinie des Körpers geführt werden, nichts vom Lungengewebe freilegen. Erst bei älteren Leuten, in Folge des Schwundes der Thymusreste, und der geringeren Kontraktionsfähigkeit, stoßen sie auch nach dem Tode in der Mittellinie aneinander, und zwar so, dass die rechte Lunge regelmäßig in die linke Körperhälfte hineinergreift.

Die Bauchhöhle zeigt bei der geringen Dürrenaffektion keine starke Vorwölbung, aber auch nicht die Einziehung der Bauchdecken, wie man sie bei Durchschütteln an Cadavern sieht, die durch vorübergehendes langes Sichhocken abgemagert sind. Ebenso dokumenten die Stärke des Fettpolsters unter der Haut sowohl, sowie die Fettmassen im Abdomen, das ein normaler guter Ernährungszustand vorlag. Auch in dieser Beziehung sind die Verhältnisse denen auf Taft I fast gleich; während dagegen eine beträchtliche Differenz hinsichtlich der Tiefe der Bauchhöhle vorhanden ist. In Folge der starken Anfüllung des Magens und der Därme bei dem Manne, die sich schon durch die grössere Ausdehnung der Darmdurchschüttelung kenntlich macht, beträgt trotzdem, das bei der Frau die Arterien injicirt waren und der schwangere *Uterus* einen Theil der Dünndarme nach aufwärts drängte, der Bauch bei der Frau eine beträchtliche Einziehung, während bei dem Manne die Dünndärme sich nach unten drängten. Die Brustdrüsen auf der linken Seite sind einige Centimeter weniger, während die auf der rechten Seite etwas mehr vergrößert sind. Die Brustdrüse ist in der Gegend des Nabels die Größe einer Brust bei einem Kind, ist nämlich etwas über 8 Centimeter messbar. Die ist theilweis dabei im Auge zu behalten, dass bei der männlichen Wirbelsäule der Uebergang der Cervicalliste des Rückenheiles tiefer unten beginnt und letzterer selbst stärker ausgeprägt ist als bei der hier vorliegenden; dass ferner die Harnblase bei diesem Ovarer leer, bei jenem, müsste gefüllt war.

in der Bauchhöhle nicht sich der Schnitt, welcher das Zwerchfell zwischen *Platus costalis* und *Foramen quadrilaterum* traf, mehr auf der rechten Hälfte der Wirbelsäule, sodass die Baucharterie nicht geteilt wurde wie bei Tafel I, sondern intakt an der Oberfläche liegen blieb. Um die Arterie für die Zeichnung deutlicher zu machen, ward nur eine dünne Zellgewebsschicht hinweggenommen. Daraus erklärt sich das plastische Aussehen derselben. Ihr unterer Ende trägt die abgeschnittene *Arteria iliaca communis* destra, während von der unteren Hohlvene, die in der rechten Körperhälfte liegen blieb, nichts zu sehen ist, als ein Zipfelchen an der *Vena iliaca communis sinistra*. In gleicher Weise aber wie auf Tafel I ist der breite Stamm der *Vena mesenterica superior* bis zu der Stelle hin aufgeschnitten, wo sie nach Aufnahme der *Vena lienalis* sich jenseits des *Pancreas* rechts hin wendet, um nun als *Vena portae* zur Leber zu ziehen. Vor dem unteren Ende dieser Vene liegt die *Arteria mesenterica superior* eine Strecke weit frei.

Das *Pancreas* zeigt, wenn auch nicht die gleiche Breite wie auf Tafel I, doch die gleiche Lage in der Höhe des 1. Lendenwirbels. Die *Vena meseraica superior* trennt das *Pancreas parvum* von dem Haupttheile der Drüse.

Das Duodenum, welches vollständig leer und durch die injicirten Gefäße comprimirt und abgeplattet war, erscheint als schmaler Spalt vor dem 2. und 3. Lendenwirbel, am unteren Ende des kleinen *Pancreas*. Auf Tafel I lag es, vielleicht in Folge der stärkeren Entwicklung des *Pancreas parvum*, etwas tiefer.

Von der Leber ist noch ein Stückchen vom *Lobulus Spigelii*, mit seiner Umhüllung durch den Netzbeutel in der linken Körperhälfte liegen geblieben und deshalb auf dem Schnitte hier zu sehen. Man wird die complicirten Verhältnisse des Bauchfelds an dieser Stelle leicht verstehen, wenn man Tafel XV zu Hilfe nimmt, die einen Querschnitt in der Höhe des 11. Brustwirbels abbildet, also ungefähr dem Schnitte entspricht, der hier beide Blätter der Tafel trennt.

Der Magen war leer und eng zusammengezogen, während das *Colon transversum* durch Gas mässig ausgedehnt wie eine Schlinge weit herunterhing und deshalb in grosser Länge eröffnet wurde. Ueber die Dünndärme ist nichts zu bemerken. Ein Theil des *Ileum* ist durch den *Uterus* aus dem Becken herausgehoben und es füllten daher die Darmlumina den Bauchraum höher hinauf als bei Tafel I.

Dagegen muss auf die Verhältnisse des Mastdarms etwas näher eingegangen werden. Derselbe war gleichmässig mit gefrorenen Fäcalmassen ausgefüllt und zeigte ein mässiges Caliber. Die Auföfthung ist also nach hinten gerichtet, bei der aufrechten Stellung; eine Richtung, die durch die Perinealströmung gegeben ist. In ätzender Stellung dagegen, wo das Balancement des Rumpfes auf den Sitzknorren

stärksten, erreicht, auch die Symphyse so bedeutend, dass die *Conjugata* fast horizontal steht; und damit in Zusammenhang erhält der After eine Querfalte, die nach abwärts. Oberhalb der Endkürmmung liegt eine Querfalte, in der Höhe der Steißschwanz, der Anfang der *Valvula recti* mit dem *Sphincter ani tertius*. Weiter nach aufwärts zieht allmählich das *Rectum* nach links hinüber, um dann wieder unter scharfer Umbiegung die Mittellinie zu kreuzen und somit wieder in die Schamfalte zu kommen. Von diesem querschnittsen Darnalmen aus, welches dem 3. und 4. Kreuzbeinverbritle gegenüberliegt, zieht sich das *Rectum* dann wieder mehr der Mittellinie entlang, in der Höhlung des Kreuzbeins nach aufwärts, um zuletzt in die *Fleura vesicae* einzubiegen. Das *Rectum* zeigt somit eine doppelte S-förmige Krümmung. Die eine liegt in der mittleren Sagittalebene des Körpers, die andere in frontaler Richtung. Beide dienen dann, den Apparat der Schließkreier bei den Andringen der Fäcalmassen zu unterstützen, so dass sie bis zum Zeitpunkt der regelmäßigen Entleerung genfigenden Widerstand leisten können, was bei jeder gerade nach abwärts fihrenden Anlage des *Rectum* nicht möglich sein würde. Man sieht also auch aus diesem Beckenschnitt, dass der Name *Rectum* für diesen Darmteil sehr unglücklich gewählt ist, und nur den älteren falschen Darstellungen am aufgeblasenen Darne im weichen und herauspräparierten Zustande seinen Ursprung verdankt.

Vor dem *Rectum*, zwischen diesem und der contrahirten Harnblase, liegt der vergrößerte *Uterus*, der ganz besonders das Interesse dadurch in Anspruch nimmt, dass er sich im schwangeren Zustande befindet, entsprechend dem Ende des 2. Monats.

Wohin es kam, das er mit dem Körper gegen den Hals geknickt und hinterturbeliegen liegt, soll weiter unten besprochen werden. Nach einer Angabe von *Hold (Beiträge zur Geburtskunde, 1. Heft, Tübingen 1908, p. 162)* liess man für diese Art der Schwangerschaft eher eine Attenuation als eine retroflexierte Stellung erwarten können. Es soll auch gleich hier erwähnt sein, wovon weiter unten noch die Rede sein wird, dass *Jossel* einen Schnitt durch einen Körper führte, bei dem sich der *Uterus* im 2. Monat der Schwangerschaft befand und dasselbst den *Uterus* in ausgeprägter Anteflexion vorfand. Hier muss ich mich auf die Angabe beschränken, dass das Gewebe des *Uterus* sich durchaus normal erwies und die Muskulatur gleichmässiges Gefüge zeigt, dass ferner das Cadaver in der Rückenlage erhalten ward und in völlig fröhlichem Zustande auf die Anatomie gebracht wurde. Nirgends fanden sich ferner die Zeichen einer schon früher überstandenen Schwangerschaft.

Die Verhältnisse der Därme bieten nichts Abnormes. Es finden sich weder zwischen *Uterus* und *Rectum*, noch zwischen ersterem und der Blase Darmschlingen.

Der tiefe Stand des *Orificium uteri externum*, aus dem ein fester Schleimpfropf hervorragte, entspricht der frühen Zeit der Schwangerschaft. Beim weiteren Wachstum hebt sich dann der Uterus aus dem Becken heraus und zieht die *Portio vaginalis* mit nach aufwärts, so dass der äussere Muttermund einen höheren Stand einnimmt.

Der Uterus selbst hing mit seinem Körper etwas nach links hinüber, so dass der Schnitt schief zu seiner Längsachse hindurehging und nur ein kleines Segment von ihm zugleich mit der rechten Körperhälfte entfernte. Von dem Cervix, dessen hintere Lippe wie verstrichen erscheint, brauchte nur eine dünne Scheibe noch nachträglich abgeschnitten zu werden, um den schon angeschnittenen Cervikalkanal in seiner ganzen Länge freizulegen.

Da die Blase des *Amnion* vollständig unverletzt vorlag und auf demselben sich das Nabelbläschen deutlich präsentirte, so trug ich mit dem Messer noch von der Wand des *Uterus* successive so viel ab, dass die einzelnen Theile des Eies gut sichtbar wurden.

Man erkennt nach innen von der Muskulatur des *Uterus* die deutlich davon abgesetzte *Decidua vera*, bestehend aus Uterindrüsen, Bindegewebe und Gefäßen. Die Drüsenausgänge münden auf der inneren Oberfläche mit punktförmigen Öffnungen, die schon mit unbewaffnetem Auge gut erkennbar waren. Nach oben hin, von der vorderen Wand des *Uterus* ausgehend, wird die Schicht der *Decidua* ausserordentlich dünn, setzt sich aber an der Innenwand des *Uterus* kontinuierlich fort, bis sie wieder an der Mutterscheid desselben allmählich wieder dick und unterhin bis in die Gegend des *Oryfium interius* dünner wird. Überall setzt sie dasselbe Gewebe. An der oberen dünnsten Stelle, der Mitte des *Fundus uteri* entsprechend, bildet sie einen *Ussachus* (*Decidua reflexa*) und zieht als eine schmale membranöse Umhüllungsseicht des Eies bis über den drückigen Bluterguss, der hier dunkelroth gefärbt ist, herab.

Von der Stelle des Blutergusses aus, der vielleicht auf dem Trans-

port des Cadavers zu Stande kam, so wie er sich vorfindet abgezeichnet wurde, verläuft wellenartig eine zarte weisse Grenzlinie nach oben hin, die das eigentliche *Chorioepithel* von der *Decidua vera* abgrenzt. Der Choriontheil, der in der Zeichnung zu deutlich sich absetzt, enthält nur Zotten und Gefässe und bezeichnet die Stelle der späteren Placentarbildung. In dieser Richtung verläuft auch der in der Tiefe noch erkennbare Nabelstrang des Embryo. Innerhalb des Chorion lag eine viscidöse Flüssigkeit und trennte dasselbe theilweise von der Amnionblase und von dem darauf folgenden Dottersack und Nabelbläschen. Deutliche Membranen zwischen Chorion und Amnion waren in dieser eiviscartigen Flüssigkeit nicht nachzuweisen.

Der Embryo zeigte die gewöhnliche Krümmung des Stammes mit vom übergebogenem Kopfe. Seine Länge betrug vom Stoisie bis zum Kopfe, ohne dass er aus seiner ursprünglichen Lage gebracht worden war, 22, die des ausgestreckten Stammes etwa 28 Millimeter. Der Kopf war zu undurchsichtig, als dass man die einzelnen Abtheilungen des Gehirns deutlich hindurchschimmern sehen konnte. Die Nase war klein, aber doch schon vorhanden; die seitlichen Wandungen der Mundhöhle, Wangen und Lippen, schon so deutlich gebildet, dass der Mund sich als ungeschlossener Spalt zeigte. Oberarm und Unterarm befanden sich als ungeschlossener Spalt zeigte. Oberarm und Unterarm befanden sich zu einander in gebeugter Lage, waren aber beide von einander geschieden. Ebenso waren die Hände bereits deutlich unterscheidbar. Dasselbe galt von den unteren Extremitäten.

Diese Bildungen entsprachen also einer Entwicklung in der 9. Woche, und stimmen überein mit den von *Erll* (*Die Entwicklung des Menschen und Hühnchens im Eie*, Leipzig 1845) gegebenen Abbildungen auf Tafel III Fig. 6, T. IV Fig. 18, T. IX Fig. 3 und 4, sowie mit der von *His* Tafel X, Fig. 24 gelieferten Zeichnung.

Das Nabelbläschen ist von dem Zeichner fälschlich zu prall und gross gezeichnet worden.

Die Vagina, in der *Columna rugarum anterior* und *posterior* getroffen, zeigte sich als schmaler Spalt, und setzte sich oben in die hintere Lippe des äusseren Muttermundes fort. Man erkennt an den Faserdurchschnitten dieser Stelle, dass hier die Theile des *Ligamentum uteri sacrum dextrum* vorliegen. Die Faserbündel desselben liessen sich von den Fasern der übrigen Muskulatur des Uterus nicht scharf abgrenzen, sondern markirten sich nur als querdurchschnittenen Bündel, deren Fortsetzung in der *Plica Douglasii* den Mastdarm beiderseits umgreifend sich bis zum Kreuzbein erstreckte. Auch liess sich nicht genau angeben, an welcher Stelle die Vagina aufhörte und der Uterus anfang. Die glatten Muskelbündel beider Organe lagen so fest aneinander und waren so miteinander verstrickt, dass ein continuirlicher Zusammenhang gegeben war.

Schon aus der Zeichnung ist es ersichtlich, dass das Bauchfell sich hinter dem Uterus weiter nach abwärts erstreckte als vorn, und selbst noch ein Stück der hinteren Vaginalwand überzog. An dasselbe schloss sich nach abwärts ein dünner Fascienzug mit lockerem Gewebe an, der eine Verschiebung des Rectum und der Vagina bei wechselnder Ausdehnung dieser Organe ermöglichte.

Die Clitoris ist in ihrem hängenden Theile auf der Schnittfläche gut zu erkennen. Der rechte Schenkel desselben ist abgeschnitten. Hinter ihr und vor der Urethra liegen die Gefässlumen des *Bulbus vestibuli*; die Harnröhre selbst klappte nach dem Aufhauen des Präparates und ist in diesem weitgeöffneten Zustande abgezeichnet worden. Hinter der Harnröhre, sowie vor derselben fand sich bei der Durchmusterung der Gewebe unter dem Mikroskope eine Schicht quergestreifter Muskelfasern, die einen analen Sphinkter der Harnröhre bilden.

Auf diesen Befund möchte ich besonders Gewicht legen, da sowohl *Hendle* als *Luschna* davon abweichende Angaben machen. Nach *Hendle* sowohl (*Hendle*, *Anatomie, Eingeweidelehre*, 2. Auflage, S. 461) wie nach den Angaben von *Luschna* (*Die Anatomie des menschlichen Beckens*, Tübingen 1864, S. 387 u. 388) findet sich keine quergestreifte Musculatur zwischen Vagina und Urethra, während nach meinem Befunde eine solche unweifelhaft vorhanden ist. Nach meiner Ansicht ist also der *Constrictor cervi profundus* zu trennen von dem quergestreiften Sphinkter *vesicae externae*, der selbstständig, ohne Anpressung an die Vaginalwand, die weibliche Harnröhre zu schliessen vermag.

Es ist oben von der retroflectirten Lage des Uterus die Rede gewesen; ebenso wurde erwähnt, dass *Holtz* für diese Periode der Schwangerschaft die Antelexion als typische Stellung annimmt. Nach Angabe von *Rayer* (*Freund, gynäkologische Klinik*, Strassburg 1885, S. 441) besitzt auch *Joessel* ein Präparat, welches den in 2. Monat der Schwangerschaft befindlichen Uterus antelexirt zeigt. Mit der Verschiebung der Stellung in meinem und *Joessel's* Präparat mag vielleicht die verschiedene Dicke der muskulösen Uteruswandung zusammen-

hängen. Denn während *Joessel* angibt, dass die hintere Corpuswand in ihrem untersten Theile die bei weitem dünnste ist, weit dünner als alle übrigen Partien, und die vordere Wand einen ausgeprägten Sporn bildet, ist auf meiner Abbildung die hintere Wand die stärkste und bildet am Uterusgang zum Cervix einen mächtigen Vorsprung.

Ich vermag nicht anzugeben, wodurch diese Lage des Uterus in meinem Falle bedingt war. Es sieht freilich so aus, als ob in Folge der Rückenlage das vergrösserte Organ nach rückwärts gesunken wäre und die spezifisch leichteren Darmschlingen ausgewichen seien, so dass das *Corpus Uteri* schliesslich fest auf dem Rectum aufliegend die Kreuzhöhle fast ausfüllte. Dann wäre aber, wenn der Cadaver nicht auf dem Bauche gelegen hätte im *Joessel'schen* Falle die Antelexion nicht zu verstehen; es müsste denn dieselbe eine dauernde pathologische Antelexion sein, was sich ja erst nach dem Berichte von *Joessel* selbst wird erkennen lassen.

Sicherlich ist in meinem Falle die Stellung keine pathologische, dauernde, gewesen, sonst hätte das Gewebe an der Knickungsstelle eine andere Beschaffenheit zeigen müssen. Auf keinen Fall aber möchte ich die hier vorliegende Stellung als eine typische, klinisch gültige, erklären, sondern eher für eine cadaveröse halten.

Dass der schwangere Uterus übrigens weich und biegsam ist und je nach der Lage des Körpers Form und Lage ändert, ist schon früher von mir und *Ahlfeld* durch Messungen an Lebenden nachgewiesen worden. (Universitätsprogramm. *De uteri gravidi situ*. Leipzig. 1872.) Die Messungen wurden an hochschwangeren Frauen in verschiedenen Stellungen gemacht und ergaben, dass bei horizontaler Rückenlage der Uterus sich auf die Wirbelsäule legt und im Längsdurchmesser zunimmt, dass er sich beim Aufrechtstehen vorn auf die Bauchdecken aufstützt, diese vorwölbt und selbst messbar um 3–4 Centimeter kürzer wird.

Diese Biegsamkeit und Nachgiebigkeit wird natürlich auch für den Uterus in den früheren Schwangerschaftsmonaten, wenn auch mit nützlicher Einschränkung, gelten müssen, und somit die oben gemachte Angabe gerechtfertigt erscheinen.

Auch der puerperale Uterus zeigt regelmässig eine Knickung, die man wohl auf ähnliche Ursachen zurückzuführen hat. Warum freilich hier die antelexirte Stellung die typische Form bildet (vergl. die Abbildungen von *Le Gendre*, *Bühner*, *Prigog* u. A.), ist noch zu untersuchen. Jedenfalls zeigt auch nach der Geburt das Organ noch eine Nachgiebigkeit der Wandungen, die es in Folge von noch genauer zu bestimmenden Druckwirkungen zu einer vorübergehenden Flexion kommen lässt.

Wie steht es nun mit der Biegsamkeit des Uterus ausser der Zeit des Puerperium und der Schwangerschaft; besonders bei gut entwickelten Jungfrauen? Hier gehen die Meinungen der Untersucher direkt auseinander. Während *E. Schultze* dem Uterus besonders bei Jungfrauen eine grosse Biegsamkeit zuschreibt, die sich namentlich bei den Füllungen der Harnblase geltend macht, spricht sich *Kölliker* gegen die physiologischen Antelexionen bei Blasenentleerung aus und nimmt beim normalen nicht schwangernen Uterus ein festes Gefüge an, als das *Schultze* thut. (*Kölliker*, über die Lage der weiblichen inneren Geschlechtsorgane. *Schrift zu Henle's Jubiläum*, S. 64 etc.). *Kölliker* sagt S. 64 No. 5: „Der Uterus von geschlechtlich entwickelten Individuen, die nicht geboren haben, ist, wenn seine Wandungen normale Beschaffenheit und Dicke haben, weder bleibend noch vorübergehend in stärkerer Weise antelexirt, sondern gerade und steht in der Regel in der Achse des kleinen Beckens, ändert jedoch seine Lage mit der Füllung und Entleerung des Mastdarms und Blase innerhalb gewisser massiger Grenzen.“

Bei der Wichtigkeit, die diese Frage namentlich in klinischer Beziehung hat, halte ich es für angezeigt, auf dieselbe wenn auch nur kurz hier einzugehen, und ein Bild zu geben von einem älteren Präparat aus meiner Sammlung, das schon früher mit Rücksicht auf die Verhältnisse des Beckens von *Fürst* in eingehender Weise herbeigeführt und publicirt wurde (*Archiv für Gynäkologie* 7. Band, 1875. Ein einfach plattes nicht richtiges Becken mit doppeltem Promontorium. Tafel II u. III, S. 407 u. ff.). Das Präparat, welches damals keine Bearbeitung des Uterus zulies, der nur seitlich vom Schitze gestreift wurde, ist neuerdings von mir wieder in Angriff genommen und so von Neuem geschnitten worden, dass die Verhältnisse des Uterus nun völlig zu übersehen sind.

Ist der ausgebildete Uterus normaler Weise so biegsam, dass er den Volumsänderungen der Blase leicht folgen kann, so wird die Schwierigkeit, eine Uteruslage bei leerer Blase und beim leeren Mastdarm in den Medianabschnitt eines Beckenschemas einzuziehen, verschwinden. Der Uterus wird dann nicht mehr wie frei in die Beckenhöhle hineingelenkt,

sondern wird der hinteren Blasenwand folgen, bei Entleerung der Blase nach vorn umknicken, und mit Füllung der Blase sich wieder aufrichten und mit seiner Achse sich mehr der Richtung der Scheidenachse nähern. Es werden somit vorübergehende physiologische Ausstellungen des Uterus zu statuieren sein, die man zu trennen hat von bleibenden pathologischen. Und zwar wird man letztere als solche auch an den Gewebsänderungen zwischen Corpus und Cervix Uteri erkennen.

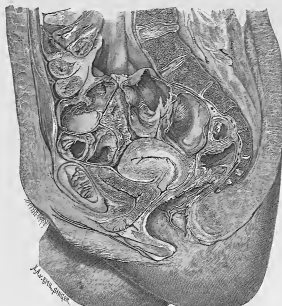


Fig. 1. Medianschnitt durch das Becken eines jugendlichen jungfräulichen Körpers, bei leerer Harnblase und nur mäßig gefülltem Rectum.

Ich stehe nicht an, die Uteralage, welche hier im Holzschnitte abgebildet vorliegt, als normale zu bezeichnen und stütze diese Annahme auch auf den histologischen Befund, der keine Gewebsveränderungen an der Knickungsstelle nachweist. Ich komme also zu demselben Resultate wie *His*, der frische Cadaver benutzte, die durch Chromsäure gehärtete waren, (*Archiv für Anatomie* 1878, S. 53); *Schultze*, (*Archiv für Gynäkologie* Bd. IV, S. 415, Bd. VIII, S. 136); und *Hasse*, (*Archiv für Gynäkologie* Bd. VIII, S. 402 u. ff.). Während *Hasse* den untersuchten Körper in aufrechte Stellung brachte, hat *His* seine Beobachtungen an in der Rückenlage befindlichen Cadavern angestellt, was ausdrücklich bemerkt werden soll, da *Henke* in seinem Lehrbuch der topographischen Anatomie p. 421 die durch nichts begründete Vermuthung ausspricht, dass *His* das Becken aufrecht gestellt habe. Handelt es sich um frische noch in Starre befindliche Cadaver, so glaube ich nicht, dass die nachträgliche Aufrichtung des Körpers, wenn sie nicht zu gewaltthätig erfolgt, grossen Einfluss auf die Haltung des Uterus ausüben wird. Man kann häufig beobachten, dass der Uterus nicht schwangerer, jugendlicher, kräftiger normal gebauter Jungfrauen nach der Eröffnung der Bauchhöhle durch die starren Fettmassen des umgebenden Bindegewebes ziemlich fest in seiner Lage gehalten wird, fester jedenfalls als während des Lebens, wo das flüssigere Fett keinen solchen Widerstand zu leisten vermag. — Dass der normale Uterus sehr biegsam ist, davon habe ich mich wiederholt überzeugen können. Normale Uteri lassen sich an der Stüle zwischen Corpus und Cervix wie in einem Charniergelenk ohne grössere Gewalt biegen; eine Beobachtung, die auch durch eine Bemerkung von *Fritsch* (*Handbuch der Frauenkrankheiten* von *Bilroth* u. *Lücke*, 1885, S. 613) bestätigt wird, welcher sagt: „Wie man einen schwangeren Uterus eindrücken kann, so kann man einen leeren biegen. Die gesunde Gebärmutter ist in sich beweglich. Am besten überzeugt man sich von der leichten Biegsamkeit bei einem dem Lebenden frisch entnommenen Uterus bei der Total-exsorption. Einen solchen Uterus kann man zusammendrücken, so dass er ganz kurz wird; man kann ihn so leicht knicken und biegen, dass wohl Niemand, der solchen Uterus in der Hand gehabt hat, die leichte Biegsamkeit der lebenden Gebärmutter leugnen kann.“

Ich habe es wiederholt, namentlich bei der Lagebestimmung des Herzens ausgesprochen, dass bei topographisch-anatomischen Darstellungen die Befunde an der Leiche durch Untersuchungen am Lebenden vervollständigt werden müssen, um für den Kliniker brauchbare Bilder zu liefern. Dies gilt ganz besonders für die Verhältnisse des Uterus. Gende hier besitzen die Untersuchungen an der lebenden Frau, be-

sonders die bimanuelle Untersuchung des Uterus einen sehr grossen Werth. Und so möchte ich der im Holzschnitte beigegebenen Abbildung auch deshalb eine besondere Bedeutung zuerkennen, da sie sehr gut mit den Befunden am lebenden Körper übereinstimmt (Fig. 1, S. 695 *Fritsch*) und nicht die Verhältnisse zeigt, wie sie *Fritsch* S. 609 als cadaveres abbildete.

Ich schliesse mich nach den Gesagen an die Darstellungen von *Schultze* im Allgemeinen an. Nur seine Darstellung der Blasenform kam ich nicht für richtig halten. Eine normal entleerte Blase zeigt bei jugendlichen gut gebauten Individuen nie den eingesunkenen Scheitel und nie die langgestreckte Fundusgegend. Schon an der entsprechenden Dicke der Wandungen kann man erkennen, ob die Blase normal entleert ist oder erst *post mortem* eine künstliche Entleerung erfahren hat.

Das Bindegewebe hat besonders im weiblichen Becken eine grosse Bedeutung in physiologischer wie pathologischer Hinsicht. Es bildet in den Fascien und Bändern stützende Skeletteile für die voluminösen Organe, und bahnt die Wege für Blut, Lymphgefässe und Nerven in seinen lockeren Ausbreitungen, die zugleich die Beweglichkeit der Organe vermitteln, wie sie zu den grossen Volumsänderungen derselben erforderlich ist. Diese Bindegewebsmassen sind es auch, in denen Blut- und Eiterergüsse sich ausbreiten, deren Kenntniss daher für den Kliniker bei Behandlung der Krankheiten und Verletzungen im Becken unerlässlich ist.

Leider eignen sich Medianschnitte, wie der vorliegende, für die Darstellung des Bindegewebes im weiblichen Becken weniger als die übrigen Schnittrichtungen. Nur die Verhältnisse des Bindegewebes vor und hinter dem Uterus in seinen Beziehungen zu Blase und Mastdarm liessen sich schematisch angeben. Um anzudeuten, dass lockeres verschiebbares Bindegewebe zwischen Uterus und Blase so wie zwischen Uterus und Mastdarm liegt, dadurch also eine Beweglichkeit der Organe zu einander bis zu gewissem Grade ermöglicht wird, wurde eine Doppel-Linie angebracht und zwar unter den Aussackungen des Peritoneum, getrennt von diesem. Es darf diese nicht mit den Linien des Peritoneum selbst verwechselt werden.

Im Uebrigen muss auf die eingehende Darstellung von *Frend* verwiesen werden, der in seiner gynäkologischen Klinik, Strassburg 1885, S. 203 dem Bindegewebe im weiblichen Becken einen besonders sehr inhaltreichen Abschnitt gewidmet hat. Wie ich meine, hat *Frend* bei dieser seiner Untersuchung mit Recht die gute Methode der Alkohol-härtung angewandt, anstatt durch Injektionen gefärbte Massen einzutreiben, bei denen man es nicht in der Hand hat, wie weit sie dringen und wohin sie laufen.

Es folgen noch einige Abbildungen nach *Le Gendre* und *Pirogoff*, im verkleinerten Maassstabe copirt, um die Lageveränderungen des Uterus bei den verschiedenen Füllungsgraden der Blase und des Rectum zu zeigen.

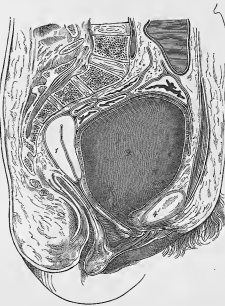


Fig. 2. Cadaver uulteris. Vesica urinaria et urethra liquore angustulo extensus. Pirogoff, III. A. 52, Fig. 20. 1/2.
1. Uterus. 2. Vesica. 3. Rectum. 4. Vagina.

Leider ist von *Pirogoff* nichts weiter zu der Abbildung (Fig. 2) bemerkt worden, als dass Urimhase und Urethra stark ausgedehnt worden seien, um die anatomischen Verhältnisse für den hohen Steinschnitt und

Vestibularschnitt zu demonstrieren. Die mächtig ausgedehnte Blase hat das Peritonaeum 35 mm weit von der Symphyse abgehoben, und unter Ausdehnung der Wände der Vagina den Uterus nach aufwärts und rückwärts gedrängt. Die Conjugata mass 102 mm. Das Rectum ist leer und contrahirt. Wie beträchtlich der Uterus mit der Anfüllung und Entleerung der Blase seine Lage ändert, ist an den folgenden Figuren

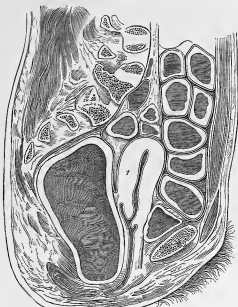


Fig. 3. Cadaver mulieris, 35 annorum, normale. Vesica vacua. Rectum extensum. Pirogoff, III. A. 21, Fig. 3, $\frac{1}{2}$.

1. Uterus. 2. Vagina. 3. Rectum. 4. Sphincter.

gut zu sehen; wie er bei der Urinenleerung sich vom überlegend herabstößt und bei der Füllung die entgegengesetzte Bewegung ausführt, kann man auch an Cadaver deutlich machen, wenn man in dem Becken, aus welchem die Dünndarmschlingen genommen sind, einen leichten Zeiger am Fundus uteri anbringt und dann die Blase abwechselnd entleert und wieder anfüllt. An dem lebendigen Individuum fühlt man beim Abnehmen des Urins mit dem eingebrachten Finger ganz deutlich wie der Uterus herabsteigt.

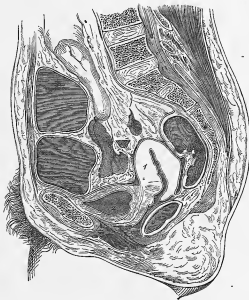


Fig. 4. Cadaver mulieris aetatis incertae, multiparae, normale.

Pirogoff, III. A. 22, Fig. 1, $\frac{1}{2}$.

1. Uterus. 2. Vagina. 3. Rectum. 4. Sphincter.

Der Schnitt bei Fig. 3 ist zwar nicht genau durch die Mitte des Skelets gegangen, hat auch nicht die Afteröffnung und Urethra getroffen, dafür aber den Uterus halbiert.

Man hat hier das Gegenstück zu Fig. 2, nämlich eine leere Blase bei stark ausgedehnten Mastdarm. In Folge davon nimmt auch der Uterus zur Vagina eine andere Stellung ein. Während er in Fig. 2 mit seiner Richtung der Achse der Vagina folgte, bildet er hier mit derselben einen stumpfen Winkel, ohne jedoch antevertirt zu sein. Zwischen Uterus und Rectum lagen keine Dünndarmschlingen. Die Conjugata betrug 110 mm.

Der Uterus (Fig. 4) mit den dazu gehörigen Theilen war normal, und lag zwischen mässig ausgedehnten Rectum und Blase. Auch hier fanden sich keine Dünndarmschlingen hinter dem Uterus. Man sieht daher, dass bei den verschiedensten Füllungsgraden von Blase und Mastdarm der Uterus stets von beiden Organen in die Mitte genommen wird, und seine Lage auch ziemlich beträchtlich ändert, je nach dem Volum derselben.

Der Uterus selbst liegt auf dieser Abbildung bedeutend tiefer als bei den vorhergehenden. Die Conjugata betrug 105 mm.

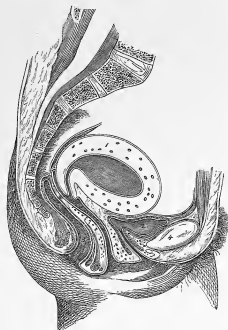


Fig. 5. Cadaver mulieris, 35 annorum, puerperae. Antelexio uteri.

La Gendré, XIX. $\frac{1}{2}$.

1. Uterus. 2. Vagina. 3. Rectum. 4. Sphincter.

Die Frau (Fig. 5) war unmittelbar nach der Geburt gestorben, die Antelexion war also eine ganz frisch entstandene, hervorgerufen durch die Last des schweren Corpus uteri, dessen Höhlung noch eine Capacität von 127 Kubikcentimeter hatte. Die Knickung ist eine so bedeutende, dass Corpus und Collum uteri nahezu unter einem rechten Winkel aufeinander stossen und an der vorderen Wand eine deutliche Knickungsfalte gebildet ist. Die hintere Wand des Uterus ruht auf dem Rectum, und drückt auf dessen Lichtung. Die Vagina ist lang ausgezogen und mass in der Länge 90 mm. Die Entfernung des Peritonaeum an der hinteren Wand des Uterus vom Peritonaeum betrug 95 mm.

Bemerkenswerth ist auch die Lage des Fundus uteri auf der Blase, welche dadurch stark zusammengedrückt erscheint; sowie die Stellung des Peritonaeum zwischen Uterus und Blase zur vorderen Wand der Vagina. Während bei normalem Stande des Uterus das Ende der Vagina dem Peritonaeum am nächsten liegt, ist es hier die Mitte.

Es ergibt sich aus der Abbildung ferner, dass die Anheftung des Blasenfundus an dem Collum uteri nicht eine so innige und feste sein kann, wie sie Cowry annimmt; denn sonst hätte Blase und Harnröhre, fest am Uterus anliegend, viel weiter nach aufwärts gezerrt sein müssen. Jedoch ist das Gewebe zwischen beiden Organen auch wieder nicht so nachgiebig, dass Lageveränderungen des Uterus ohne allen Einfluss auf die Blase bleiben. Man erkennt deutlich, dass der Blasenfundus etwas nach aufwärts gezogen ist, was eine Behinderung der Sphincteraction, also eine Incontinentia urinae zur Folge haben musste.

Die Conjugata war sehr gross; sie mass 125 mm, übertraf also noch die grosse Conjugata auf der Tafel II um einige Millimeter.

TAFEL III.

Um beide *Bulbi* im Zusammenhange mit den Sehnerven und deren Fortsetzung durch den *Tractus* möglichst weit nach aufwärts freizulegen, wurde der Schnitt schräg aufwärts von vorn nach hinten geführt, wie dies schon früher *Sömmering* in seiner Monographie (*De oculorum hominis sectione commentatio*. Göttingae, 1818), angegeben hat.

Trotz wiederholter Versuche gelang es nicht, den *Tractus opticus* in seiner Gesamtlänge mit dem *Nervus opticus* zugleich freizulegen; es musste, um vorliegendes Bild zu gewinnen, noch nachträglich eine flache Scheibe von den vorderen Hirnlappen hinweggenommen werden, bis das *Chiasma* vollständig frei lag. Ebenso musste eine dünne Fettschicht aus der Augenhöhle noch entfernt werden, um den Sehnerven in seiner ganzen Breite sichtbar zu machen, da der Schnitt an seiner oberen Grenze verlaufen war.

Es muss ferner erwähnt werden, dass, wenn auch die äussere Form des *Bulbus* festgehalten wurde, doch das Verhältniss der Linse zur Iris nach weiteren Schnitten eingetragen ward. Die feinen Späune, die jede auch so dünne Säge erzeugt, lassen sich nur schwer entfernen, ohne an einzelnen Organen des Auges Lageveränderungen hervorzurufen. Ich liess daher frische Augen mit der *Orbita* freisen, sägte die Knochenlinien vor und vollendete dann den Schnitt durch den *Bulbus* mit einem Rasirmesser. In allen Fällen war vorher das Auge mit der von *Thiersch* angegebenen Carminleimmasse vollständig injicirt worden, um dem *Bulbus* die nöthige Spannung zu geben. Und zwar ward die Injektion von der *Ophthalmica* aus vorgenommen, während bei dem Schädel, der im Ganzen zerschnitten ward und Tafel III zu Grunde liegt, von der *Carotis* aus die Arterien und von der *Jugularis* aus die Venen mit verschieden gefärbter Masse vollständig injicirt worden waren.

Der Kopf gehörte zum Leichnam eines 16jährigen Mädchens, welches sich erkältet hatte. Es fand sich nirgends pathologische Veränderungen; auch kam der Leichnam noch im frischesten Zustande auf die Anatomie.

Man erkennt schon aus den Verhältnissen des Gehirns die schräg nach hinten aufsteigende Richtung des Schnittes. Während vorn durch die Entfernung der dünnen Scheiben vom vorderen Lappen ein Stückchen vom Boden der vorderen Schädelgrube bis zur Gegend der *Ostia galii* zu sehen ist, und dahinter das *Chiasma nervorum opticorum* mit noch einem Stück der schräg abgeschnittenen *Tractus n. optici*, erblickt man hinten den Balken in der Nähe seines Vorderrandes durchschnitten. Die oberen Ausläufer desselben, die sich in die weisse Marksubstanz des Gehirns verlieren, stellen die kleine Zange dar; die schnabelförmigen Ansätze nach unten zu gehören dem *Forix* an. Nach aussen zwischen beiden zeigen sich dunkler gefärbt die nach den unteren Hörnern ziehenden *Plexus chorioidei*. Unter der weissen Masse des Balkens liegt ein mit Gefässen angefüllter Spalt, welcher in der Mitte die *Glanula pinealis*, seitlich, davon die Schilddrüse abgrenzt. In diesem Spalte zieht die gefässtragende *Via lateralis* unter dem Balken weg nach den Centraltheilen des Gehirns. Man erkennt in der Mitte zwei starke Venenlumen, den grossen inneren Hirnvenen (*Vena magna Galeni*) angehörig, die sich mit der Sonde unter dem *Splenium corporis callosi* hinweg zu dem grossen Venenlumen hinter dem Balken verfolgen lassen, dem Anfange des *Sinus quartus*, und dort mit den beiden sichtbaren Öffnungen einmündeten. Die grosse Hirnschale fixirt mit dem Tentorium zusammen den *Sinus quartus*. Die Einmündung der *Vena magna Galeni* in den *Sinus quartus* erfolgt gerade an der Stelle, wo vom Rande des Kleinhirnstelles der Übergang stattfindet zu dem Rande des Grosshirns, eine Öffnung die mit dem *Foramen magnum* des Schädels verglichen werden kann, einen schmalen Bogen bildet und heissen *Foramen magnum internum* genannt wird. Die Einmündung der inneren Hirnvenen erfolgt aber nicht in der direkten Fortsetzung des *Sinus quartus*, sondern unter starker Winkelnbildung.

Nach vorn zu präsentirt sich das freigelegte *Chiasma nerv. opticorum* und die durch den Schnitt schräg getrennten *Tractus optici*, die demnach noch steiler anstiegen als die Schnittebene. Direct an sie grenzen die grau markirten *Nuclei lentiformes*; hinter denselben liegen die leicht grauen, mit weisser Masse durchsetzten Schnittflächen der Sehhügel. Zwischen ihnen in der Mittellinie befindet sich der Spalt des dritten Ventrikels.

Zu beiden Seiten des *Chiasma* steigen die Enden der *Arteriae carotides internae* auf; die *Ophthalmicae* sind nicht sichtbar, sie treten unter den Sehnerven in das *Foramen opticum* ein. Den Abgang der *Arteria corporis callosi* kann man auf der einen Seite noch wahrnehmen, auf der anderen ist er mit hinweggenommen; die *Lamina* gehören somit den *Arteriis fossae Sylvii* an.

Die Augenhöhlen wurden von der Mitte ihrer Basis aus nach rückwärts so geschnitten, dass die Säge über das *Foramen opticum* hinweglief, dasselbe mithin nicht eröffnete. Die Augulider waren ziemlich vollständig geschlossen, so dass von den oberen an beiden Enden nur ein Stück in die Schnittfläche fiel und das untere vollständig unberührt blieb. Der *Bulbus* ward fast genau in der Mitte getroffen. Die Säge trat an beiden Augen an der oberen Grenze der Sehnervenspille aus. In der *Orbita* brauchte nur eine dünne Schicht von Bindegewebe und Fett nachträglich durch vorsichtig geführte Schnitte mit dem Messer entfernt zu werden, um die Sehnerven sichtbar zu machen. Dieselben liegen somit nicht im Durchschnitte vor uns. Sie zeigen eine schwache Krümmung, die, wie die weitere Untersuchung zeigte, auch mit einer Abbiegung nach abwärts verbunden war, so dass sich eine schwach spiralförmige Form herausstellte, die Form der Erschlaffung beim ruhenden Auge. Letztere macht es möglich, dass die ziemlich ausgiebigen Drehungen des *Bulbus* stattfinden können, ohne den Sehnerven in schädlicher Weise anzuspannen. Eine Zerrung des Sehnerven würde unbedingt eintreten müssen bei einer Reihe von Augenbewegungen, wenn die Sehnerven ohne Schlingelung zum *Foramen opticum* sich hinzögen, so wie dies in vielen Abbildungen wiedergegeben ist. Es mag dahin gestellt bleiben und späteren Untersuchungen überlassen sein, ob durch eine Spannung der Sehnervenscheide eine Lymphbewegung eingeleitet werden kann in den Bahnen, wie sie durch die Untersuchungen von *Schwabe* festgestellt worden sind. Ebenso möchte ich hier nur darauf hinweisen, dass die verschiedenen Anspannungen der *Tenon'schen* Kapsel bei der Action der Augenmuskeln vielleicht in gleichem Sinne wirken können.

Die Sehnerven, welche in der Zeichnung etwas zu breit wiedergegeben worden sind, hatten eine Breite von 4 mm, waren also beträchtlich schmäler als ihr in der Schädelhöhle liegender Theil, welcher eine Breite von 5 und 6 mm hatte. Die *Orbita* war nicht völlig bis zu ihrem hinteren Ende geöffnet, und ausserdem dem jugendlichen Schädel entsprechend verhältnissmässig klein. Ihre Länge vom *Foramen opticum* bis zum Eintritt in den *Bulbus* beträgt nach *Heule* etwa 30 mm, nach der Abbildung von *Sömmering* (*De oculorum sectione horizontali*, Göttingae 1818) 35 mm. Auf der dieser Tafel zu Grunde liegenden Originalpauze mass man nur 28 mm.

Die Theile des *Bulbus* selbst, welche möglichst genau nach dem Präparate abgezeichnet wurden, bedürfen keiner weiteren Erläuterung. Auffallend erscheint an demselben die symmetrische Gestalt, während nach den Angaben von *Erbsche* eine nicht unbedeutende Asymmetrie vorhanden sei, welche sich dadurch charakterisirt, dass die durch Iris, Linse und *Opt. serrata* gelegten Äquatorialebenen nach der Nasenseite zu convergiren. Davon war bei dem hier abgebildeten Präparate nichts zu sehen. Der *Bulbus* stellte vielmehr sammt *Cornea* auf dem Durchschnitte in den horizontalen liegenden Meridiane einen Kreis dar, bei welchem der Längsdurchmesser nur unmerklich den Querdurchmesser an Länge übertrifft.

Es ist aber nicht ausser Acht zu lassen, dass Präparate, wie das vorliegende, in dieser Beziehung nicht massgebende Bestimmungen liefern können. Da mit einem starken Injektionsdrucke die Gefässe gefüllt wurden und aus den Capillaren dabei Flüssigkeit in grösserer Menge ausgestrichen werden musste, so füllte sich der *Bulbus* in gleicher Weise, wie wenn man durch den *N. opticus* in das Innere des Auges Flüssigkeiten gewaltsam eintreibt, und nahm in Folge des starken intraoculären Druckes Kugelform an.

Hierzu ist ferner zu bemerken, dass das Gefrieren gerade bei dem Auge nicht der zweckmässigste Erhärtungsmodus zu sein scheint. Es werden hierbei Einflüsse zur Geltung gebracht, welche bei dem wasserreichen Inhalt des *Bulbus* nicht unwesentliche Volumensänderungen bedingen können. Gleichwohl konnte ich nicht anders verfahren. Es kam ja hier nicht so sehr darauf an, die Formen und Lage der einzelnen Theile im *Bulbus* festzustellen, als vielmehr das Verhältniss des Auges zur *Orbita* und den übrigen Theilen des Schädels im Durchschnitt wiederzugeben.

Vor dem *Bulbus* erkennt man den schwarzen Spalt, welcher die Ausdehnung und Faltung des *Conjunctivalesackes* naturgetreu wiedergibt. Dahinter liegen die Ansätze der beiden *M. recti, externus und internus*, die ziemlich weit vorn am *Bulbus*, jenseits der Drehungsachse, sich inseriren; Verhältnisse, die in der *Sommering'schen* Abbildung nicht richtig wiedergegeben sind. Es ist auch ersichtlich, dass der innere der Augenmuskeln noch weiter vorwärts sich ansetzt, als der äussere oder laterale.

In der inneren Ecke, am Thränenbeine, liegt der weiss gehaltene Durchschnitt des Thränensackes. Im äusseren Winkel, zwischen Muskel und Knochen ein kleiner Abschnitt der Thränenrüse. Beides ohne besondere Bezeichnung, um nicht durch zuviel eingetragene Linien die Zeichnung zu schädigen.

Die Verhältnisse der *Tenon'schen* Kapsel konnten bei der Kleinheit der Abbildungen nicht herücksichtigt werden. Es hätte durch die Menge der eingetragenen Linien die Klarheit des Gesamtbildes leiden müssen. Zudem sind auch die Verhältnisse dieser Membran noch nicht endgültig festgestellt. Es lässt sich zwar nachweisen, dass diese Membran in Zusammenhang steht mit der *Membrana tarsea* und eine Pfanne bildet, sammt den dahinter liegenden Fettmassen, in der sich der *Bulbus*, durch die darauf lastende äussere Luft angedrückt, bewegt wie der Schenkelpfopf in seiner Pfanne, wobei die Flüssigkeiten in den Lymphräumen die Rolle der *Synovia* spielen. Es ist aber noch nicht festgestellt, wie die *Tenon'sche* Kapsel sich fortsetzt an den Stellen, wo die Sehnen der Augenmuskeln durch sie hindurch hindretreten, ebenso wenig wie die Bindegewebehöhlen der Augenmuskeln damit in Verbindung stehen. Namentlich würde eine solche Darstellung ausser Anderem auch für die Frage der Ausbreitung der Blutergüsse in der *Orbita* von praktischer Wichtigkeit sein.

1563 In dem zehnten Bande des *Archives für Anthropologie* hat *Heffler* die topographischen Beziehungen der Hirnoberfläche zum Schädel in einer Reihe von Abbildungen wiedergegeben, aus denen sich erkennen lässt, welche Theile der Hirnoberfläche getroffen werden müssen, wenn die Hirnschale von Verletzungen durchbrochen wird.

Es würde zu weit führen, alle die Resultate aufzuzählen, welche die *Heffler'sche* Untersuchung ergeben hat; nur einiges möge hier erwähnt sein, was aus der *Heffler'schen* Arbeit und meinen Untersuchungen über den gleichen Gegenstand resultirt. Die Theilungsstelle der Sylvischen Grube im aufsteigenden und horizontalen Schenkel und damit die Insel wird getroffen, wenn das *Pterion* durchbrochen wird, etwa 4 cm über der Mitte des Jochhogens. Unter dem *Pterion* ist die Vereinigung des grossen Keilheflügels mit der Schuppennaht zu verstehen. Der horizontale Schenkel der Sylvischen Grube läuft nur anfangs hinter der *Sutura squamosa*, weiterhin liegt er etwas höher.

Der *Sulcus centralis Rolando* läuft hinter der *Sutura coronaria* nach abwärts und wird durch eine Linie geschnitten, die man in frontaler Ebene über den Scheitel hinweg von einem Ohre zum anderen zieht. Damit ist auch ungefähr die Lage der *Gyri centrales* gegeben. Das *Tuber parietale* liegt über dem *Gyrus supra marginalis*.

Fig. 1 ist eine Abbildung, die schon früher angefertigt und erst nach dem Erscheinen der *Heffler'schen* Untersuchungen mit Benutzung derselben vervollständigt wurde.

Die Ansicht von vorn her, welche die Stirnlappen auf das Stirnbein projectirt darstellt, wurde gleichfalls von mir neu hergestellt.

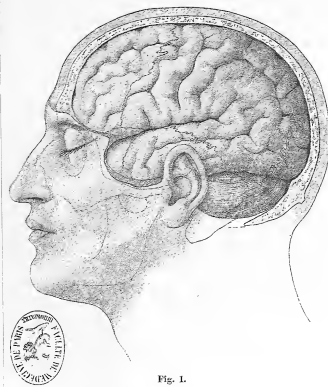


Fig. 1.

Fig. 2 stellt die Lage der Theile hinter dem *Frontale* dar. In der Darstellung von *Heffler* ist die Lage des *Gyrus rectus* im Orbitalthethe zu tief angegeben.

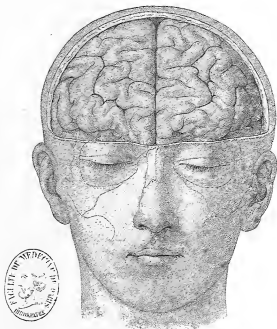


Fig. 2.

Eine Verletzung, die in die *Pars nasalis* des Stirnbeines eindringt, 1 cm über dem oberen Rand der Nasenknochen, eröffnet nicht die Schädelhöhle, sondern gelangt in die Zellen des Siebheins. Das *Tuber frontale* bestimmt die Lage der 1. und 2. Stirnwundung.

TAFEL IV.

Der auf der vorliegenden Tafel abgezeichnete Durchschnitt ist nicht ein reiner Transversalschnitt, sondern ein Schrägschnitt. Er verlief, um die Verhältnisse des Gehörganges möglichst gut zur Ansicht zu bringen, in schräger Richtung nach hinten und oben. Er begann hart unter der Nase und traf auf seinem Wege nach der äusseren Ohröffnung die unteren Muschel, den obersten Theil des Schlundkopfes, die rechte *Tuba Eustachii*, die Paukenhöhle und den äusseren Gehörgang, schnitt die Brücke und die obere Hälfte des Kleinhirns und trat oberhalb der *Protuberantia occipitalis externa* durch die hinteren Lappen des Grosshirns aus. Der Kopf war von dem frischen Cadaver eines jungen Mannes genommen, der sich erhängt hatte, und zeigte keine Abnormitäten. Dass der Schnitt in der hinteren Hälfte links höher verlief als rechts, so dass er nahe an der Decke der linken Paukenhöhle durch-

auch den Einblick des Arztes bei der Untersuchung erschwerte. Man muss die Ohrmuschel nach rückwärts und aufwärts ziehen, um eine Streckung des Ganges, so weit dies möglich ist, zu erzielen. Die Krümmung ist auf dem Präparat nicht sehr gross gewesen, sie variiert individuell, wie die tägliche Beobachtung zeigt, ziemlich bedeutend. Sie wird aber auch beträchtlich vergrößert bei Schnitten an welchen Präparaten durch die Retraction der Weichtheile.

Man vergleiche hierbei die Schnitte von *Pirogoff* (a. a. O. fasc. I. Tab. VI.), sowie die Abbildungen in den gebräuchlichen Handbüchern der Anatomie.

Man kann den äusseren Gehörgang in einen knöchernen, häutigen und knorpeligen Theil zerlegen, wenn man die fibröse Masse, die *Heule* als *Ligamentum annulare meati auditorii externi* beschrieben hat, die

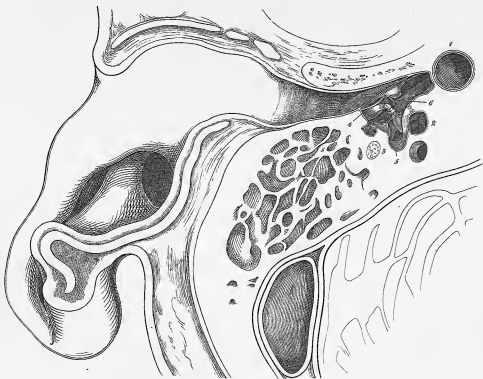


Fig. 1. Vergrösserte Copie des Gehörgangsschnittes.

1. Arteria carotis interna, 2. Tuba Eustachii, 3. Nervus facialis, 4. Chorda ligamenti, 5. Musculus digastricus, 6. Musculus tensor tympani.

ging, während er sich rechts dem Boden derselben näherte, hatte seinen Grund zum Theil mit in der Siegführung.

Das rechte Gehörgang wurde so gleichlich getroffen, dass nicht nur der äussere Gehörgang mit der Paukenhöhle, sondern auch der Anfangstheil des Eustachischen Kanals in die Schnittfläche fiel. Da das Hauptziel oberrhalb des Schnittes lag, so wurde, abweichend von dem in den übrigen Abbildungen herrschenden Prinzip, die obere Schnithälfte abgezeichnet, so dass man von unten nach oben in den Schädel hinein sieht; daher denn auch die vom Beschauer rechts liegenden Theile der linken Körperhälfte angeben, und umgedreht. Bei der Beschreibung der einzelnen Organe werden daher das linke Ohr, die linke Nasenhöhle u. s. w. auf der rechten Seite der Abbildung aufgeführt werden müssen.

Bei der Betrachtung des rechten Gehörganges sieht man die obere Hälfte des *Meatus auditorius externus*. Der Gang ist spiralig gewunden, was auf dem Schnitt nicht deutlich hervortritt. Man sieht aber die Krümmung in der Horizontalebene nach vorn, so dass ein nach vorn offener Winkel gebildet wird, der den Eingang für fremde Körper aber

die Beweglichkeit des knorpeligen gegen den knöchernen Theil vermittelt, als besondere Abtheilung auffassen will.

Der Knorpel des äusseren Ganges bildet eine Fortsetzung des Ohrknorpels, ist aber keine geschlossene Knorpelröhre, sondern eine Rinne, welche die untere Wand des Ganges bildet und durch 2 Spalten, *Incurvae Saccorhinianae* durchbrochen wird, daher auf der Abbildung scheinbar isolierte Knorpelstücke in der vorderen Wand liegen.

Der knöcherne Gang ist auf dem Durchschnitte oval, die grosse Axe des Ovals steht im äusseren Theile senkrecht, im inneren Theile schräg.

Die engste Stelle des Kanals liegt im knöchernen Antheile. Das Trommelfell wurde in seiner unteren Hälfte zerschnitten, daher die Gehörknöchelchenkette unversehrt erhalten.

Die Membran schneidet den *Meatus externus* schief, so dass sie in der Richtung der oberen Wand verläuft, und somit die untere Wand des *Meatus* länger ist als die obere. Ausserdem ist die Fläche des Trommelfells nach vorn gerichtet. Diese Lage ist zu beachten bei der Extraktion fremder Körper, mag man die Curette oder einen Wasserstrahl anwenden. Jedenfalls muss man von hinten und oben auf das

Trommelfell übergehen; um nicht das Trommelfell unter einem spitzen Winkel zu treffen.

Man sieht den Streifen des Hammerhandgriffes und die nablige Einziehung der Mitte des Trommelfells, was nicht verhindert, dass die Fläche nach dem Rande hin convex nach aussen vorgewölbt ist.

Die Gehörknöchelchen lassen sich nur sehr schwer wiedergeben; es wurde daher in 3mal vergrössertem Maassstabe eine genaue Zeichnung angefertigt, und dieselbe hinzugefügt (vergl. Fig. 2 unten).

In der Tiefe der Paukenhöhle sieht man von vorn nach hinten einen knöchernen Wulst verlaufen der dem *Semicanalis* mit *M. tensor tympani* und *Canalis Fallopii* angehört; nach hinten zu vom Steigbügel sieht man im Knochen den Durchschnitte des letzteren Kanals und darin den *Nervus facialis*. Dieses starke Vorspringen des Kanals an der Decke der Paukenhöhle ist ein charakteristisches Merkmal für jugendliche Individuen, die sich überhaupt für die Untersuchung des Gehörorgans besonders gut eignen.

Medienwärts vom Steigbügel liegt das geöffnete *Vestibulum*. Von der Schnecke war auf dieser Seite nichts zu erkennen; sie lag oberhalb des Schnittes.

Die Eröffnung der Zellen des *Proc. mastoideus* bei chronischer Paukenentzündung durch den Perforationsvorgang erfordert grosse Vorsicht, um nicht den Sinus zu treffen. Man gelangt am sichersten in das *Antrum mastoideum*, wenn man die äussere Wand des knöchernen *Meatus* hoch oben, nahe am Eingange anbohrt.

Nach innen und vorn von der geöffneten Paukenhöhle liegt die *Arteria carotis interna*, vor dem Uebergang zur ersten Krümmung getroffen, daher auch quer geschnitten. Vor der *Carotis* zeigt sich der Eustachische Kanal; vorn nach beginnend, nach hinten zu in die Tiefe gehend. Er verlief demnach noch steiler nach hinten zu aufwärts als die vom Naseneingange nach dem Ohrloche schräg angelegte Schnittebene. Der Schnitt traf sein *Ostium pharyngeum*, legte seine Höhlung eine Strecke weit frei, traf aber nicht mehr seinen knöchernen Antheil. Daher ist von dem lateralen Tubenknorpel, dem *Rüdinger'schen* Haken, nur ganz vorn ein Stüchchen geschnitten, während der grössere Medianknorpel eine längere Strecke weit frei liegt. Die laterale Begrenzung des Kanals bildet daher auch zum grössten Theile nur die drüsenreiche Schleimhaut, Bindegewebe und ein Theil des *Musculus tensor veli palatini*, dessen Ansatz nach hinten zu bis zur *Spina angularis* des Keilbeins verfolgt werden konnte. Von dem *M. levator veli palatini* war nichts zu sehen. Der Schnitt war oberhalb desselben durch den Tubenknorpel hindurchgegangen.

Dass der *M. tensor veli palatini* auch zugleich ein *Dilatator tubae* ist und beim Schlingen jedesmal den lateralen Knorpel abhebt und dadurch den Kanal öffnet, ist von *Rüdinger* angegeben worden. Man kann beim Schlucken ein Geräusch wahrnehmen, welches durch den Eintritt der Luft hervorgerufen wird. Die Art und Weise aber, wie die Eröffnung erfolgt, ist noch nicht völlig klar; ein einfaches Abziehen des lateralen Knorpelhakens durch den Muskel ist bei dessen Richtung kaum anzunehmen (vergl. *Rüdinger, Atlas des menschlichen Gehörorgans, München 1897*).

An der Medianseite der *Tuba*, die etwa 15 mm von der hinteren Wand des Schlundkopfes nach vorn zu vorspringt, erkennt man deutlich die nach innen zu vorspringende Lippe, den Tubenwulst, und hinter derselben die *Rosenmüller'sche* Grube (*Recessus infundibularis, Tournal*). Die an Driisen reiche Schleimhaut des Schlundkopfes hängt continuirlich mit der Schleimhaut der *Tuba* sowie der Nasenhöhle zusammen, und zeigt vor dem Hinterhauptsbeine oft zahlreiche blinde Aussackungen und Vertiefungen, die auf der Zeichnung nur angedeutet werden konnten. Die Schleimhaut wurde beim Uebergange zur Decke des Schlundkopfes getroffen, oberhalb der *Musculi recti capitis antici*.

Aus der Lage der *Tuba* zu dem *Proc. pterygoides* und der unteren Muschel ist ersichtlich, dass Anschwellungen der Schleimhaut daselbst den Eingang zur *Tuba* leicht verlegen können. Schleimhaut-

anschwellungen wie sie beim Schnupfen vorkommen können, auch Nasenpolypen sind daher im Stande Schwerhörigkeit hervorzurufen.

Von dem linken Gehörorgan ist bei dem vorliegenden Durchschnitte nicht viel zu sagen, da die Säge hier beträchtlich höher durchging als auf der anderen Seite. Die Paukenhöhle ist nahe ihrer Decke freigelegt und nach vorn zu ihr Zusammenhang mit dem hinteren Theile des Eustachischen Kanals ersichtlich, an dessen medialer Seite eine eingebrachte Sonde den *Semicanalis* des *Musculus tensor tympani* markirt. Weiter nach vorn zu liegt der oberhalb des Kanals durchschnitene Knorpel.

Dagegen erkennt man in dem freigelegten linken *Meatus auditorius internus* sehr gut den *Nervus acusticus*, dessen nach der Schnecke zu gehender Theil, *Nervus cochleae*, abgeschnitten ist. Die durchschnitene Schnecke, die Richtung ihrer Basis zum *Meatus*, sowie das freigelegte *Vestibulum* sind deutlich zu sehen.

Ueber das Gehirn ist wenig hinzuzufügen. Man erkennt die durchschnitene Brücke mit den durchtretenden Pyramidenfasern. Vom 4. Ventrikel ist der vordere, zum *Aqueductus Sylvii* führende Theil getroffen, dahinter ein Stück des unteren Wurms.

Da der Schnitt oberhalb des *Foramen jugulare* durch den Schädel ging, so kamen auch die *Vena jugularis interna* so wenig als die Nervenfasern des *Glossopharyngeus*, *Vagus*, *Accessorius*, *Hyoglossus* zu Gesicht. Dagegen erkennt man am vorderen Rande der Brücke die durchschnittenen Bündel des *N. abducens*. Von *Nervus quintus* wurde beiderseits der 3. Ast nahe unter dem *Foramen ovale* getroffen. Von seinen weiteren Verzweigungen zeigt sich der *Ramus maxillaris* und *auriculo-temporalis*.

Die Zweige des 2. Astes des *Quintus*, welche in den Schnitt fielen, sind der *Nervus palatinus* unterhalb des *Foramen sphenopalatinum* und der *Ramus dentalis* am *Tuber maxillae*.

Die aus Bindegewebe und Endothelschicht gebildeten Sinus sind der Deutlichkeit halber mit doppelten Linien versehen, so dass es gedeutet werden könnte, als ob eine völlig ausgebildete Vene in der *Dura duplicata* läge, was nicht der Fall ist.

Anders die Carotiden, welche Arterien darstellen, die mit ausgebildeten Wandungen in den Knochenkanälen stecken, so dass sie, in ihren Bewegungen gehindert, wie gefesselt liegen. Die grossen Arterien müssten starke Störungen im Hirn hervorbringen, wenn sie direct in das zarte Hirngewebe eindringen.

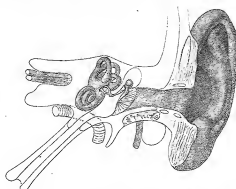


Fig. 2. Schematische Darstellung des Gehörorgans.

Die beigefügte Abbildung gibt ein Schema des Gehörorgans. Man sieht in frontalem Schnitte den Gehörgang in seinem knorpeligen, häutigen und knöchernen Antheile. Die Lage des Trommelfelles, das den Gang schief abschneidet mit etwas nach vorn gewendeter Fläche, ist zur Hälfte zu sehen. Darin eingefügt liegt der Handgriff des Hammers mit den kurzen Fortsätze. Die Gehörknöchelchenkette und das knöcherne Labyrinth sind voll gezeichnet. Die Paukenhöhle und die *Tuba Eustachii* sind in Umrisen angegeben; *Carotis* und *Facialis* an der Austrittsstelle des *Foramen stylomastoideum* sind angedeutet.

TAFEL V.

Die vorliegende Tafel, sowie die folgenden, No. VI., VII., VIII., enthalten Abbildungen, welche die Durchschnitte eines und desselben Cadavers wiedergeben. Die Halsgegend wurde in 5 Scheiben zerlegt, von denen die obere Seite abgebildet und analysirt worden ist, so dass man von oben nach unten in den Körper hineinsieht und zur rechten Seite der Abbildung auch die rechte Seite des Präparates hat. Durch dieses Zerlegen in Scheiben war allerdings die Deutung der einzelnen Umrisse bedeutend schwerer geworden, als wenn man an verschiedenen Cadavern die Schnitte gemacht hätte. Bei sehr dünnen Scheiben namentlich liess sich die Nackenmuskulatur schwer verfolgen und bestimmen. Dagegen gewährte dieses Verfahren den grossen Vortheil, dass die untere Fläche jeder Scheibe stets auf die obere der nächst folgenden passte, und dass auch die einzelnen Organe, wie Schilddrüse und Kehlkopf, welche ziemlich grosse individuelle Verschiedenheiten in Bezug auf Grösse und Lage zeigen, in entsprechende und auf einander passende Querschnitte zerlegt werden konnten.

Der Cadaver war ganz frisch, zeigte keinerlei Abnormalitäten, hatte vielmehr gute Proportionen und eine stark entwickelte Muskulatur. Der Mann stand im Alter von 25 Jahren, als er sich durch Ertrinken selbst den Tod gab. Nachdem die Arterien injicirt worden waren, ward der Rumpf, von dem nur die unteren Extremitäten abgenommen wurden, in möglichst horizontaler Lage mit glatt an die Seiten gelegten Armen, in den Eiskasten gebracht, und 3 Tage und Nächte lang einer Temperatur von -18° R. ausgesetzt. Darauf wurden die Scheiben mit einer feinen Blattsäge geschnitten und so lange im hartgefrorenen Zustande erhalten, bis die Auszeichnung vollendet war. Die Ausführung ward in gleicher Weise durchgeführt, wie oben beschrieben worden ist.

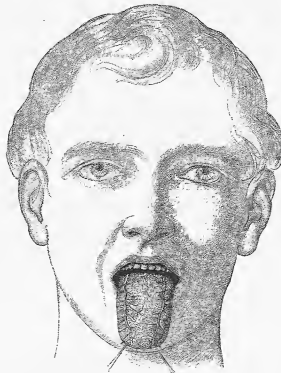
Da das Individuum in Folge der kräftigen Muskulatur einen sehr hohen Stand der Schultern hatte, so war dem entsprechend der Hals verhältnissmässig kurz. Man wird sich daher nicht wundern, dass die Durchschnitte bei gleicher Wirbelhöhe ganz andere Bilder in Beziehung auf die Schultergegend zeigen, als die Abbildungen von *Pirogoff*, fasc. I, Tab. 11, denen weniger kräftige Individuen zu Grunde lagen.

Figur 1 entspricht ungefähr den Abbildungen von *Pirogoff*, fasc. I, Tab. 9. Fig. 1; und *Henke* Tafel 70, Fig. 2. Der Schnitt ging durch den Mund, verlief etwas oberhalb der Kaufläche der Zähne, traf den weichen Gaumen und weiter nach rückwärts den *Processus odontoides* des zweiten, sowie die Seitenmassen des ersten Halswirbels; trennte ferner am hinteren Rande des *Foramen magnum* noch dünne Platten vom Schädel und Kleinhirn ab. Man sieht bei Vergleichung mit Tafel I, dass der Schnitt ein wenig schräg nach hinten und oben verlief, was dadurch zu Stande kam, dass der Kopf durch die Lagerung des Rumpfes etwas nach hinten übergebogen war. Man wird demnach diese Verhältnisse bei Übertragung auf den Lebenden zu berücksichtigen haben. Bei gewöhnlicher aufrechter Haltung führt eine durch die Kaufläche gelegte Horizontale durch den 2. Halswirbel und trifft gar nichts vom Schädel.

Nach Reinigung des Präparates, wobei auch die abgesägten Kronen der oberen Zahnreihe mit entfernt wurden, zeigte sich, dass von dem Zungenrücken ein flaches Segment entfernt worden war. Die Zungenspitze war vorn hinter den Zähnen liegen geblieben. Nach hinten war der Schnitt 3 Centimeter vor dem *Foramen cecum* ausgetreten. Die Papillen, welche an der hinteren Schnittfläche zu sehen sind, gehören demnach dem mittleren Theile an. In der Mittellinie verlief von vorn nach hinten in Form eines Streifens das *Septum linguae*, von dem nach beiden Seiten hin die Faserzüge des queren Zungenmuskels gehen; in dem hinteren Drittel präsentiren sich die Fasern des oberen Lingualmuskels. Der Schnitt verlief zu nahe am Zungenrücken, um die *Arteriae linguales* in ihren Hauptstämmen zu treffen. Schneidet man etwas tiefer so kann man sehr schön, wie beifolgende Abbildung zeigt, die Lage der Zungenarterien zur Anschauung bringen. Sie liegen beide ziemlich weit von der Mittellinie entfernt und zeigen keine stärkeren

Anastomosen zwischen ihren Aesten, so dass eine Exstirpation der einen Zungenhälfte möglich erscheint ohne nennenswerthe Blutung. Die Unterbindung der *Arteriae linguales* im *Triangulum submaxillare* macht zwar keine Schwierigkeiten mehr, seitden *Pirogoff* und *Gutrin* gezeigt haben, dass man den Hauptstamm der Arterie sicher findet, wenn man zwischen dem *N. hypoglossus* und der Sehne des *M. digastricus*, ohne letzteren aus seiner Zungenbeinverbindung zu lösen, den *M. hypoglossus* breit einschneidet. Immerhin wird man es vorziehen müssen nur auf einer Seite die *Lingualis* zu unterbinden, anstatt beide Arterien zu schliessen, wenn es sich darum handelt einen Tumor zu entfernen, der nicht die ganze Breite der Zunge eingenommen hat. Nach den Angaben von *W. Krause* (*Prager Vierteljahrsschrift* 1870, I., 97) finden weder zwischen den Aesten beider Seiten noch zwischen den Endästen beider *Aa. linguales* in der Zungenspitze Verbindungen statt. Nur über dem oberen Ansatz des *Frenulum* bilden feine Aeste eine bogenförmige Anastomose. Dass die *Rami hyoidei* und die *Sublinguales* anastomosiren ist leicht nachzuweisen, ebenso zeigte *Hyrtl* die Anastomose der *A. dorsalis linguae*; doch sind alle diese Anastomosen derart gering, dass keine nennenswerthe, schwer zu bändigende Blutung aus der *Lingualis* selbst eintreten wird, in Folge einer rückläufigen Bewegung des Blutes in diesen Aesten, wenn in dem Gebiete der einen *Lingualis* operirt wird.

Nachstehende Figur zeigt die Lage der Zungenarterien zur Mittellinie.



Das Bild wurde nach einem frischen Präparate mit sehr gut gelungener Injektion der Zungenarterien angefertigt. Es soll die beträchtliche Entfernung der Arterienstämme von der Mittellinie demonstrieren, um deutlich zu machen, wie gross das Operationsfeld ist, welches durch Unterbindung oder auch durch Umstellung der einen Arterie in der Zunge selbst blutlos gemacht ist. Die beträchtliche Entfernung der Arterien von der Mittellinie ist für die Umsechung günstig; man wird sicheres nach der Mittellinie vordringen können bei der Kleinheit der dort liegenden Arterienzweige, als wenn die Hauptstämme nahe an dem *Septum* verliefen.

Bei dem Präparat war keine Anomalie der *Rhinæ* wahrnehmen, jedoch ist ein einzelnes Präparat nicht entscheidend. Ferner wurde die Zeichnung so gehalten, als ob die Zunge durchsichtig wäre, was nicht so recht in der Darstellung gelungen ist. Die Arterien liegen der unteren Zungenfläche in Wirklichkeit viel näher als dem Zungenrücken.

In die Furchen, welche auf dem Zungenrücken nach abwärts in die Tiefe führt, lagerte sich das Zäpfchen ein, welches in seiner ganzen Länge erhalten blieb, da der Schnitt oberhalb seiner Wurzel den weichen Gaumen etwa 1 Centimeter über der Stelle traf, wo sich *Arcus glossopalatinus* und *Arcus pharyngopalatinus* mit einander vereinigen. Von den Mandeln ist nur der oberste Theil getroffen worden. Vor ihnen und hinter der starken Drüsenfläche der Gaumenschleimhaut liegt ein quer herüber gehender Muskelstreifen, der dem oberen Rande der im *Arcus glossopalatinus* eingebetteten Muskelmasse (*M. glossopalatinus*) sowie dem *M. aryepiglotticus* angehört. Hinter den Mandeln hing damit eine Parthie zusammen, welche als *Musculus palatopharyngeus* dem gleichnamigen Schleimhautbogen angehört. Von einer genauen Trennung der Muskeln konnte natürlich nicht die Rede sein, jedoch schien es, als ob die querschnittenen Fasern hinter den Mandeln, namentlich hinter der linken, dem *M. levator palati molli* angehört. Dagegen zeigte sich sehr gut der Theil des *M. constrictor pharyngis superior*, welcher durch das *Lig. pterygomandibulare* mit dem *Musculus buccinator* zusammenhängt, und demgemäss als *M. buccopharyngeus* bezeichnet wird. Innerhalb dieser Muskelzüge befindet sich die nach abwärts enger werdende Lichtung des Schlundkopfs. Man ist gewohnt, sich diesen Raum grösser vorzustellen, weil man ihn am Lebenden im schrägen Durchchnitt, der durch die hintere Gaumenbogen gebildet wird, betrachtet, und weil bei den Sagittalschnitten, an welchen Präparaten gefertigt, der Abstand des Zäpfchens von der hinteren Schlundwand meistens viel zu gross abgebildet wird. Man wird deshalb bei der *Staphylographie* durch die Engigkeit der Lokalität oft sehr unangenehm überrascht, und muss entsetzt viele kunstreiche Nüppchen wegen Mangel an Spielraum wieder bei Seite legen.

Hinter der Muskulatur des Schlundes, durch lockere Bindegewebe davon getrennt, welches sich auf der Abbildung nur durch eine weisse Linie wiedergeben liess, liegen die Muskeln *Longus colli*, *Rectus capitis anterior major*, und weiter nach aussen an den *Processus transversi* des *Atlas* die sehnigen Ansätze der *Recti capitis laterales*.

Von besonderer Wichtigkeit für die Operationen an Mandeln und Schlundkopf erscheint die Lage der *Arteria carotis interna*. Man sieht, dass dieses grosse arterielle Gefäss in grosser Nähe der Schlundkopfmuskulatur liegt, ebenso wie am Lebenden leicht die Pulsation dieser Arterie vom Schlund aus fühlen kann. Man wird daher nur mit besonderer Vorsicht tiefere Incisionen dieser Stelle vornehmen.

Die Lage der Arterie zu den Tonsillen dagegen erlaubt schon grössere Freiheit bei der Exstirpation derselben, und es haben auch die zahlreichen Operationen daselbst gezeigt, dass die Besorgniss *Hyrtis* (*top. Anatomie I, 380*) in dieser Beziehung übertrieben ist. Jedoch ist namentlich bei dem gewaltsamen Hervorziehen der Drüsen aus ihrer Nische stets die Nähe der *Carotis* im Auge zu behalten, und bei der Gutartigkeit der meisten Tonsillargeschwülste gar nicht darauf hinzuwirken, möglichst tief und möglichst vollständig den Tumor zu entfernen, sondern es heisst vollständig Genüge, wenn nur die Hauptmasse der Geschwulst entfernt worden ist. Da die meisten der hier gebräuchlichen Instrumente nur eine Abtragung, keine Ausrottung der Tonsillen erlauben, so liegt schon darin eine Art Garantie gegen die Verletzung der *Carotis*.

Die Lage des *Nervus mandibularis* zum Unterkiefer und die des *Nervus lingualis*, zwischen Kiefer und Mundhöhle, ist auf der Abbildung gut ersichtlich. Ueber letzteren ist hierbei zu bemerken, dass Verletzungen desselben bei rohen Zahnextraktionen durch das Ausgleiten des scharfen Hakens bereits mehrfach beobachtet worden sind. Die Aufsuchung und Zerschneidung von der Mundhöhle aus bei Neuralgie, wie sie *Roser* empfohlen hat, ist gut ausführbar, aber auch selbst ohne Durchtrennung der Wange. Man kann nach Exsection des letzten oberen Backzahns den Nerven mit Sicherheit auf dem Aste des Unterkiefers mit einem Messer zerschneiden, ohne dass man nöthig hat, ihn erst durch Präparation frei zu legen.

Das Gelenk zwischen *Epithropheus* und *Atlas* ist so getroffen worden, dass die Säge unter dem vorderen Bogen des *Atlas* eintritt, den Zahnfortsatz und die Seitenmassen des *Atlas* schneidet und in schräger Richtung nach hinten zu aufsteigt, über dem hinteren Bogen des *Atlas* das Hinterhauptbein traf. Dem entsprechend macht sich hinter dem Zahnfortsatz das starke quer herüberziehende *Ligamentum transversum Atlantis* geltend, vom Knochen durch einen Schleimbeutel getrennt, und hinter diesem, nach dem Spinalkanale zu, die breite Band-

masse des *Apparatus ligamentosus* (*Lig. epist. lat.*), welches am Körper des *Epithropheus* endigt, zum Theil aber auch in das hintere Längsband übergeht. Den von *Laschka* erwähnten Schleimbeutel zwischen beiden Bändern habe ich an dem vorliegenden Präparate nicht auf finden können.

Leider sind in der Zeichnung die beiden Bänder nicht deutlich genug von einander abgezogen worden, namentlich sind die Seitenpartien des *Lig. latum* etwas zu streng wiedergegeben.

An der Vorderseite des Zahnfortsatzes liegt die ausfüllende Bandmasse zwischen Körper des *Epithropheus* und vorderem Bogen des *Atlas*, *Ligamentum epistropheo-atlant.* ant. prof. (*Barlow*). Das diese Band ein Stück unterhalb des vorderen Bogens des *Atlas* getroffen wurde und die vordere Gelenkhöhle nach oberhalb des Schnittes liegt, so erscheint auch dieselbe fest mit dem Knochen verwachsen.

Man sieht aus der Breite der Bandmasse, dass die Lage des Zahnfortsatzes eine gesicherte ist selbst gegen gewaltige Einwirkungen, und dass die grossen Seitenmassen des *Atlas* den starken Bändern genügende Ansatzpunkte gewähren. Bedeutend lockerer ist dagegen die Bindegewebsmasse, welche den Raum zwischen hinterem Bogen des *Atlas* und Hinterhauptbeins verschliesst, und welche hier, weil unter sehr spitzem Winkel getroffen, einen so grossen Platz einnimmt, *Lig. obervatorium post. atlanto-occipitale*. Unmittelbar darunter liess sich der hintere Bogen des *Atlas* durchfühlen. Diese Stelle ist es auch, wo die *Arteria vertebralis* durchdringt, um dann weiter nach innen auch die *Dura mater* zu durchbrechen und an die Seite der *Medulla oblongata* zu gelangen. Die Arterie ist dreimal getroffen worden, entsprechend ihren Krümmungen. Der erste Durchchnitt liegt im Seitenkanale des *Atlas* da, wo die Arterie nach senkrecht aufsteigt; das 2. Mal wurde sie da getroffen, wo sie nach ausgeführter Krümmung nach hinten unter einer flachen Bogenbildung quer nach der Mitte zu umbiegt. Durch diese Krümmungen, die den Windungen eines locker niedergelegten Tapes gleichen, werden die Bewegungen der 2 oberen Halswirbel ihren freien Spielraum erhalten, ohne Zerrungen und Dehnungen der Arterie zu veranlassen.

Vom Schädelabschnitte und den dünnen Platten des Kleinhirns ist nichts Besonderes zu bemerken. Da der Schädel ganz flach getroffen wurde, so treten auch die Hervorragungen in grösserer Ausdehnung hervor und gehen demselben, ohne dass Abnormitäten vorhanden waren, eine so bizarre Form.

Die Muskeln, Arterien und Nerven dieser Gegend sind nach den Bezeichnungen leicht zu erkennen, und bieten nichts, was besonders bemerkenswerth wäre. Nur ist die *Arteria occipitalis* zu erwähnen, von der rechts der Verlauf in ziemlicher Länge zu sehen ist. Die Arterie geht vom hinteren Umfang der *Carotis externa* aus, geht anfangs steil in die Höhe, kreuzt sich mit der *V. jugularis interna*, um an die innere Seite des hinteren Bauchs des *M. digastricus* zu gelangen, und läuft von da horizontal nach hinten in die obere seitliche Nackenregion, bedeckt von *Trachelomastoides* und *Splenius*. Am medialen Rande des *Splenius* angekommen, durchbohrt sie den oberen Ansatz des *Ocularis* und verläuft nun ganz oberflächlich am Schädel. Auf der linken Seite war von der Arterie nur wenig zu sehen. Zwischen *Splenius* und Hinterhauptbein kam ein Muskelast vom Vorschein, der in der Tiefe auf den horizontal verlaufenden Hauptstamm führte.

Nervus glossopharyngeus, vagus, accessorius, hypoglossus sind an der Bezeichnung zu erkennen.

Von chirurgischer Interesse ist besonders die *Glandula parotis*, eingehüllt in eine straffe Fascienschicht, welche sie nach allen Seiten hin umgibt, und in das Innere der Drüsenabstanz eine Menge von Schweißwinden entsendet, die auf dem Schnitt das gelappte Aussehen der Drüse bedingen. Da die Fascie die ganze Nische, in welcher die *Parotis* eingebettet liegt, ausstapelt, so ist dadurch nicht nur eine Abgrenzung gegen die *Vena jugularis interna* gegeben, welche vorzugsweise bei den Exstirpationen der Drüsenamoren zu berücksichtigen ist, sondern es finden auch dadurch die Nervenbündel des *Vagus, Accessorius* und *Hypoglossus* einen Schutz, welche sich in unmittelbarer Nähe der grossen Vene befinden. Besonders stark ist der Theil der Fascie entwickelt, welcher die Aussenhaut der *Parotis* überzieht. Seines Zusammenhanges wegen mit der Fascie des *Mastereus* heisst dieser Theil *Fascia mastero-parotidea*. Er ist es vorzugsweise, der die Anschwellung der Drüse bei Entzündungen nach aussen hin beschränkt und die Geschwulst gegen die Nerven und Gefässe presst. Da die *Parotis* von dem Endstück der *A. carotis externa* und der *Vena facialis posterior* durchbohrt wird, so ist auch eine Exstirpation derselben ohne gleichzeitige Verletzung dieser Gefässe nicht ausführbar, es müsste denn, wie auf der rechten Seite des vorliegenden Präparates, die *Carotis* so

peripherisch gelagert sein, dass sie sich aus der Drüsenmasse herausgraben lässt. Bei den vielfachen Anastomosen der Arterien am Schädel wird wenig darauf ankommen, die *Carotis externa* zu erhalten; jedenfalls wird es besser sein, die Aufmerksamkeit bei einer vollständigen Exstirpation vorzugsweise auf die Erhaltung der *Vena jugularis interna* zu richten.

Figur 2 bildet die obere Fläche einer 2 Centimeter starken Scheibe ab, welche mit der unteren Fläche auf Tafel VI passt. Der Schnitt, welchen die Abbildung wiedergibt, ging durch die *Iscursa thyroidea sup.* horizontal nach hinten und traf den 5. Halswirbel hart an seinem unteren Rande. Da der Schnitt unmittelbar unter dem Kinn und Unterkiefer nach hinten verlief, so musste er den Hals an seinem sogenannten cylindrischen Theile treffen. Man sieht aber, dass bei gut entwickelter Muskulatur selbst in dieser Höhe die natürliche Form des Halses keine eigentlich cylindrische ist, da der Durchschnitt keinem Kreise entspricht, sondern einem Fünfeck ähnelt. Unmittelbar unter diesem Durchschnitt beginnt die seitliche Ausbreitung des *M. cucullaris*, durch den die Durchschnittsfläche weiter unten beträchtlich vergrößert wird.

Entsprechend der Krümmung der Halswirbelsäule nach vorn, liegt der Durchschnitt des 5. Halswirbels weit von der Nackenseite entfernt. Ebenso wie bei der folgenden Abbildung liegt der Wirbelkörper in der vorderen Hälfte der Figur. Von dem Wirbel ist gerade die Stelle getroffen, wo der Bogen sich rechts mit dem Körper verbindet, so dass man die Lichtung des knöchernen Spinalkanals im Durchschnitte sieht. Auf der linken Seite erkennt man den obersten Theil des *Processus articularis* des 6. Halswirbels, und kann an dieser Stelle den Verlauf des 6. Halsnerven eine Strecke weit nach aussen hinter der *Arteria vertebralis* verfolgen. Die Nervendurchschnitte, welche in die Gabel des *Processus transversus* hineingelagert erscheinen, gehören dem 5. Halsnerven an.

Der Kehlkopf ist so getroffen worden, dass man sowohl Taschenbänder wie Stimmbänder mit dem dazwischen liegenden *Ventriculus Morgagni* erkennt. Die Schleimhaut, welche nach hinten zu sich an

die durchschnittenen Giesbeckenknorpel anlegt, ist hier ziemlich drüsenreich. Von den Muskeln wurden der *Thyro-arytaenoides sup.* und der *Interarytaenoides* an ihrem oberen Ende getroffen. Man erkennt deutlich aus der Anlage der Muskeln die Zusammensetzung zu einem *Sphincter*. Hinter dieser Muskelschicht liegt der mächtige Drüsenwall des *Pharynx*.

Von besonderer Wichtigkeit ist die *Arteria carotis communis*, welche gerade an der Stelle freiliegt, welche sich vorzugsweise für ihre Unterbindung eignet. Es ist dies die Stelle, wo nach oben zu der *M. omohyoideus* und *sternocleidomastoideus* von einander abweichen und so den Weg zur Gefässscheide freilegen. So mangelhaft sich auch die Fascienverhältnisse auf solchen Abbildungen wiedergehen lassen, so erkennt man doch deutlich, dass man sich bei der Aufsuchung der Arterie an den vorderen Rand des *Sternocleidomastoideus* zu halten hat, und dass man nach Durchtrennung der hinteren Scheide dieses Muskels sogleich in den Raum der grossen Gefässe und Nerven eingedrungen ist. Vor der Arterie sieht man den *Ramus descendens n. hypoglossi* herablaufen. Lateralwärts von ihr und etwas nach hinten liegt die zusammengefallene grosse Jugularvene, zwischen Vene und Arterie der *Vagus*, hinter der Arterie der *Sympathicus*. Da innerhalb der Gefässscheide noch Bindegewebsblätter die Arterie von der Vene und dem *Vagus* trennen, so kommt Alles darauf an, nur die Loge der Arterie zu eröffnen, die unmittelbar vor dem *M. scalenus anticus* liegt. Geschieht dies recht genau, so entgeht man nicht nur der Gefahr einer Verletzung des *Vagus*, sondern es wird auch die Vene ferngehalten, welche nach Verletzung ihrer Scheide oft colossale Ausdehnungen erhält und dann das ganze Operationsfeld überlagert.

Das Bild zeigt ungefähr die Verhältnisse wie sie am Cadaver bei der Einübung mit dem Kehlkopfspiegel gesehen werden. Sie weichen von den Befunden am Lebenden beträchtlich ab. Beim ruhigen tiefen Athmen weichen die Stimmbänder viel weiter auseinander und gestatten einen Einblick tief hinab in die *Trachea* bis zur Theilungsstelle. Beim Ausstossen hoher schriller Töne dagegen tritt alles in starke Spannung, die Stimmbänder treten straff und hart aneinander, so dass die *Glossis* nur wie ein feiner Strich erscheint.

TAFEL VI.

Der hier abgebildete Durchschnitt wurde an demselben Cadaver des jungen, kräftig gebauten, völlig normalen Mannes gemacht, von dem die übrigen Halsdurchschnitte genommen wurden. Nach vorausgegangener Injection der Arterien war der Leichnam zum vollständigen Durchfrieren mittels künstlicher Kältemischung gebracht worden und blieb in dem gleichen Härtegrade erhalten, bis die Zeichnung in der früher schon erwähnten Weise vollendet war.

Der Schnitt verlief durch den Kehlkopf, sollte eigentlich die Ebene der Stimmbänder einhalten, ging aber etwas unterhalb derselben in horizontaler Richtung nach hinten und traf den 6. Halswirbel in seiner unteren Hälfte.

Da der Cadaver einen vorzüglich gut gewölbten Thorax, und bei der sehr kräftig entwickelten Muskulatur einen hohen Stand der Schultern darbot, so erschien die Länge des Halses trotz der normalen Anzahl von Wirbeln gering, entsprach somit in hohem Grade dem männlichen Typus der Halsformation. Es findet sich weder bei diesem noch bei dem höher oben angelegten Durchschnitte ein kreisförmiger Contour, sondern es ähnelt derselbe mehr der Querschnittsfläche eines prismatischen Körpers. Man erkennt leicht, dass diese Form vornehmlich durch die starke Muskulatur bedingt wird; vor besonders durch die *Musculi sternocleidomastoidei*, hinten durch die *Cervicales*.

Da der nächst folgende Schnitt nicht durch den Kopf des Humerus, sondern höher oben durch das Gelenk des *Acrorion* und der *Clavicula* ging, so traf er auch nicht die Schultern an der Stelle ihrer größten Breite, sondern löste eine Scheibe ab, die den Übergang der Halsregion zur Schulter bildet. Daher stellen die Seitenparthien der vorliegenden Zeichnung auch nur den obersten Theil der Schulterwölbung dar und finden erst durch die folgenden Abbildungen ihre Ergänzung. Man kann die vorliegende Zeichnung aus dem Papiere ausschneiden und auf die nächst folgende wie einen Deckel legen; man bekommt dann eine bessere Ansicht des Rumpfes von oben, die weiter noch durch Zusammenlegen mit Tafel VIII vervollständigt werden kann. Die geringe Incongruenz der Ränder, welche man dabei finden wird, rührt von dem Substanzverlust durch das Sägen her.

Hat man weibliche Individuen oder schwach gebaute männliche Cadaver vor sich, so zeigt auch die Scheibe, wenn sie, wie die hier vorliegende, ebenfalls nur die Stärke von 1 Centimeter erhält, eine total andere Form; sie füllt bei dem tieferen Schulterstande noch in den sogenannten cylindrischen Theil des Halses und bietet daher nicht die seitlichen Ausbreitungen zur Schultergegend dar. Aber auch die obere Schnittfläche an sich zeigt dann eine andere Gestalt; sie nähert sich mehr der Kreisform. Man braucht nur den Atlas von *Pirogoff*, *face 1*, *Tab. X*, *Fig. 5* und *6* zu betrachten, um sich davon zu überzeugen; man wird dabei bemerken, dass eben die schwach entwickelte Muskulatur es ist, welche die Kreisform möglich macht. Auch gibt *Pirogoff* im Texte an, dass der Durchschnitt einem *Juvenis macilentus* angehöre. Ebenso erhielt ich bei früheren Durchschnitten an einem 50jährigen Manne, demselben, von dem *Taf. IX* genommen ist, in der Höhe des 6. Halswirbels noch ziemlich kreisrunde Scheiben.

Demnach wird man die hier vorliegende Gestalt als typisch für den Hals eines jugendlichen kräftigen Mannes ansehen müssen, und Abweichungen davon nach der Kreisform zu bei Lebenden auf Muskelschwäche zu beziehen haben.

Durchschnitte an weichen, nicht erhärteten Cadavern geben natürlich keine festen, den ursprünglichen Verhältnissen entsprechende Formen. Bei ihnen geben die Theile so weit nach, dass sie ebenso, wie man dies beim Anfhauen der geformten Skelette beobachten kann, eine Kreisform allmählich annehmen. Dies mag wohl auch der Grund sein, warum die Abbildungen von *Bérard* und *Nuhn*, die fast gleiche Regionen des Halses in Durchschnitten wiedergeben, so wesentlich von der

meinigen in Beziehung auf die äussere Form abweichen. Wenigstens ist daselbst von einer Abnormität wie bei *Pirogoff* nichts erwähnt. Die Abbildung von *Bérard* findet sich in dessen *Atlas d'anatomie chirurgicale*, Paris, 1862, planche 37. Die Zeichnung von *Nuhn* (*Atlas*, *Tafel IV*, *Fig. 2*) ist von *Henke*, in seiner Muskellehre pag. 131 und von *Henke* (*Atlas der topographischen Anatomie*, *Tafel 69*) wieder gegeben worden.

Was die einzelnen Theile auf der vorliegenden Abbildung betrifft, so ist zunächst der Kehlkopf zu betrachten, welcher nahe unter den Stimmbändern getroffen wurde. Man sieht vorn den Bogen, welchen die Durchschnittsfläche des Schilddrüsenkörpers bildet, und nach hinten zu ihm gegenüber die durchschnittene Platte des Ringknorpels. Von den Giesbeckknorpeln sind nur die Muskelfortsätze getroffen worden; von den Stimmfortsätzen ist nichts mehr zu sehen. Dieselben lagen höher oben. Der Raum zwischen Schild- und Ringknorpel ist so ziemlich ausgefüllt durch das Muskelfleisch des *M. thyreo-arytaenoides inferior* und *M. crico-arytaenoides lateralis*. Lateralwärts von beiden liegen Streifen von *M. thyreo-aryt. sup.* und *M. thyreo-epiglotticus*. Hinter diesen, an der Vorderfläche der *Musculi crico-arytaenoides postici* zeigt sich der *Nervus laryngeus inferior* und die *Arteria laryngea inferior*.

Aus der Form des querschnittenen Luftweges erkennt man ebenfalls, dass man sich nicht weit unterhalb der Stimmritze befindet. Man erkennt noch die schräg nach vorn abwärtsgehende Fläche der Ringknorpelplatte. Weiter nach abwärts erweitert sich der Raum immer mehr, geht aus einer seitlich comprimierten Form in die eines Cylinders über, da wo der Ringknorpel ihm allseitig einschliesst, und nimmt endlich in der *Trachea* auf dem Durchschnitte die Gestalt eines Kreissegmentes an.

Da der vorliegende Schnitt für die Verhältnisse des Kehlkopfes kein grosses Interesse bietet, so habe ich an einem in Alkohol gehärteten Präparate einen Schnitt genau in der Ebene der Stimmbänder angelegt und dessen Abbildung noch hier beigefügt (Fig. 1). Man sieht deutlich, wie die *Processus vocales* sich unmittelbar in die elastischen Fasern der Stimmbänder fortsetzen. Es lässt sich leicht nachweisen, dass an der Uebergangsstelle, die sich makroskopisch nicht scharf begrenzt, Netzknorpel liegt. Nach vorn zu gehen die Stimmbänder in eine Bindegewebswulst über, von welcher auch die *Musculi thyreo-arytaenoides inf.* ihren Ausgangspunkt nehmen. Die Schleimhaut, welche an den Stimmbändern kein Faltenspitzen zeigt, überzieht dieselben straff und fest angezogen.

Drüsen finden sich unter derselben in dieser Ebene nur vom im Winkel zwischen den vorderen Enden der Stimmbänder, und hinten zwischen den Giesbeckknorpeln. Lateralwärts von den Stimmbändern liegen die Schichten der *Musculi thyreo-arytaenoides*. Hinter den Durchschnittsflächen der Giesbeckknorpel liegen, quer von dem einen zum andern hinuntergehend, die *M. inter-arytaenoides* im Durchschnitt vor. Diese Muskelmasse umgibt wie ein Splinter den Einzug zur Stimmritze.

Auf der grossen Abbildung zeigt sich hinter dem Ringknorpel und hinter dem Querschnitt des *M. crico-arytaenoides posticus* der quere Spalt des *Pharynx*, angehängt an den Schilddrüsenkörper, wie die Sehne an einen Bogen. Da er sich im leeren Zustande beim Durchschneiden befindet, so berühren sich seine vordere und hintere Wand. Hinter ihm sieht man die mittlere Parthie des unteren Schlundschneiters, von *M. constrictror pharyngis infimus* des *M. thyreo-pharyngeus*.

Da der Schlund nach hinten zu unmittelbar an die Wirbelsäule, und die auf derselben liegenden Muskeln *Longus colli* und *Rectus capitis anticus major* angelegt ist, so muss der Raum, welchen der hinabgleitende Bissen beim Passiren an dieser Stelle erfordert, durch



Fig. 1. Durchschnitt des Kehlkopfes in der Höhe der Stimmritze.

Vordrängen der vorderen Wand des Schlundes geschäft werden und dadurch der Kehlkopf nach vorn rücken. Da derselbe beim Schlucken ausserdem noch gehoben wird, so resultirt aus beiden Richtungen eine Bewegung nach dem Kinn zu, welche leicht beim Schlingen beobachtet werden kann. Das lockere Bindegewebe, welches zwischen Schlund und Wirbelsäule liegt, bildet auf dem Durchschnitte einen ganz schmalen Saum, ist daher nicht im Stande, genügenden Platz zu schaffen. Es macht aber seine ausserordentliche Lockerheit die Bewegungen des Schlundes an der Wirbelsäule möglich. Diese Lockerheit ist es aber auch, welche Blutungen derselben eine grosse Ausdehnung verschafft und Eiterentkungen so sehr begünstigt.

Hinter der Spalte des Schlundes liegt der Durchschnitt des 6. Halswirbels, der in seiner unteren Hälfte getroffen wurde. Da derselbe auf der rechten Seite an der Stelle gerade in den Schnitt fiel, wo der Wirbelkörper mit dem Bogen zusammenhängt, so bekommt man ein deutliches Bild von der Lichtung des Wirbelkanals. Derselbe stellt sich als ein gleichschenkeliges Dreieck dar, und ist so geräumig, dass bei der grossen Beweglichkeit der Halswirbelsäule doch das Rückenmark freien Spielraum behält, um Zerrungen zu vermeiden zu können.

Bemerkenswerth erscheint die Lage des Wirbels zu den umgebenden Weichtheilen insofern, als derselbe auffallend weit nach vorn gerichtet erscheint. Nimmt man nämlich die Hälfte des Durchmessers von vorn nach hinten, so zeigt es sich, dass der Wirbelkörper vollständig in die vordere Hälfte des Schutzes zu liegen kommt. Man wird bei vergleichenden Messungen an dem auf Tafel I gegebenen Durchschnitte, so wie an anderen Abbildungen erkennen, dass diese Lage des Wirbels eine normale und zwar durch die Halskrümmung der Wirbelsäule bedingte ist, und dass für gewöhnlich die Bestimmung der *Modulus* in ihrer Entfernung von der Nackenoberfläche am Lebenden viel zu gering ausfällt. Ein fast ganz gleiches Verhältnis wie bei der vorliegenden Zeichnung findet sich bei *Proegoff*, *fasc. I. Tab. 3. Fig. 2; Tab. 2. Fig. 1. — Fasc. I. Tab. 10. Fig. 6.*

Da der Wirbelkörper nahe an seinem unteren Ende durchgeschnitten wurde, so ist auch der Zusammenhang desselben mit dem *Processus transversus* gut ersichtlich. Man erkennt die durch Injectionsmasse ausgefüllte *Arteria vertebralis* mit der daraneinander zusammengefallenen Vene im Knochenkanale auf beiden Seiten. Da auf der linken Seite der Schnitt etwas tiefer fiel, so ist hier der *Canalis transversalis* nach hinten zu nur durch Bandmasse geschlossen, und es ragt der *Processus articularis* des 7. Halswirbels mit seiner Gelenkspalte in die Schnittfläche hinein. Da ferner gerade der 6. Halswirbelkörper im Zusammenhange mit dem *Processus transversus* getroffen wurde, so ist diese Abbildung vorzugsweise geeignet, den von *Chassaignac* sogenannten *Carotidenhübel* in seiner Lage zur *Arteria carotis communis* zu beleuchten. Es ist dieser Knochenvorsprung unter den Chirurgen auch als *Chassaignac'scher Hübel* bekannt, und gilt nach den Angaben des Autors für einen vorzugsweise guten Wegweiser bei Aufsuchung der Arterie, wenn deren Unterbindung durch Anschwellung der Gewebe oder durch Tumoren erschwert ist.

Man sieht nun auch ganz deutlich, dass die vordere Zinke der Knochenabel, welche von der Seite des Wirbelkörpers ausgeht und den 6. Halsnerven in sich fasst, diesen von *Chassaignac* angegebenen Vorsprung darstellt, und wie ein Wegweiser direkt auf die unmittelbar daran liegende *Arteria carotis communis* hinführt. Da ferner dieser Vorsprung, der die morphologische Bedeutung einer rudimentären Rippe hat und besser *Processus costarius* heisst, am 6. Wirbel stärker vorspringt als an den oberen Wirbeln und besonders am 7., so kann er auch am Lebenden sehr leicht gefühlt werden, wenn man von unten her unter leichtem Drucke an der Seite des Wirbelkörpers den Finger bis zur Kehlkopfhöhe hinaufführt.

Wenn es nun aber auch erlaubt ist, zur Demonstration und Orientierung für Anfänger diesen Knochenvorsprung bei Aufsuchung der Arterie zu benutzen, so erscheint es nicht zweckmässig für Chirurgen von Fach, solche Hilfsmittel zu gebrauchen, besonders in complicirten Fällen. Ganz abgesehen von der Frage über die Zweckmässigkeit der Carotisunterbindung gerade an dieser Stelle, ist es entschieden besser, den sicheren Weg, den die Muskeln und Fascien bestimmen, Schritt für Schritt zu durchschreiten. Man läuft dabei weniger Gefahr, Theile zu verletzen, die geschont werden müssen, und wird auch sicherer auf die Arterie geführt. Die Arterien sind in ihrer Lage durch Muskeln und Fascien bestimmt, und können aus ihrer Lage zu solchen Knochenpunkten leicht verdrängt werden. Liegen sie dagegen so fest und unbedinglich in Knochenkanäle eingeschlossen wie die *A. vertebralis*, so ist dadurch allerdings die Bestimmung ihrer Lage erleichtert, aber der Weg zu ihnen im gleichen Grade verheut. Dass aber die *Arteria*

carotis aus ihrer Lage von *Chassaignac'schen* Tuberkel leicht weggedrängt werden kann, also dieses Unterstützungsmittel gerade für eine Reihe von Fällen nicht passt, ergibt sich schon aus der Betrachtung der normalen Schildrüse, welche auf der Abbildung mit ihren oberen Lappen zwischen Arterie und Schildknochen eingelagert ist. Anschwellungen derselben müssen die Arterie von diesem Knochenvorsprunge seitlich abdrängen, vermögen sie dagegen nicht aus der fibrösen festen Scheide zu lösen, die von den Hüllen des *M. sternocleidomastoideus*, *scalenus* und der Schildrüse selbst gebildet werden. Bei einem Schnitte, den ich in gleicher Höhe des Halses an einem festgefahrenen, mit Kopf behafteten Cadaver machte, zeigte sich denn auch die *Carotis* 1 Centimeter weit nach auswärts von dem *Chassaignac'schen* Tuberkel entfernt, das Verhältnis zu den Muskeln und Fascien aber natürlicherweise unverändert.

Betrachtet man die Abbildung näher, so wird man auch das Verhältnis der Fascien zur Arterie erkennen. Freilich reichen solche Darstellungen nicht aus, um das Verhältnis sämtlicher Fascien klar zur Anschauung zu bringen. Man ist gezwungen, dieselben als weisse Linien einzuzichnen und dabei nicht im Stande, das Zusammentreten von mehreren Blättern genügend zu markiren. Ausserdem lassen sich dadurch nicht wirkliche Fascien von einfachen Zellgewebelagen gehörig unterscheiden. Ich verweise deshalb für das genauere Verständnis dieser Theile auf die Arbeiten von *Diell* und *Proegoff*, ebenso auf das reichhaltige Handbuch von *Henle*, und füge nur noch hinzu, dass die Conturen der Muskeln, welche die Fascienlagen hauptsächlich bestimmen, ganz genau nach dem Präparate wiedergegeben sind und deshalb doch auch in dieser Beziehung sichere Anhaltspunkte abgeben.

Nach aussen und etwas nach hinten von der Arterie liegt die zusammengefallene mächtige *Vena jugularis interna*, zwischen beiden der *Nervus vagus*, der bei der Unterbindung besondere Vorsicht erfordert. Man vermeidet ihn am sichersten, wenn man nach Spaltung der fibrösen Scheide mit einer feinen Sonde durch das Zellgewebe hart um die Arterie den Weg bahnt und dann erst unter Anspannung der Fascienränder mittels 2 Pinacetten die Unterbindungsnadel heraufführt. Man kann dabei sowohl von innen wie von aussen eingehen. Hinter und nahe an der Arterie liegt der *Nervus sympathicus*, der bei diesem Verfahren ebenfalls gespart wird, was kaum möglich sein würde, wenn man nur die alte Regel befolgt, mit Rücksicht auf den *Vagus* von aussen nach innen um die Arterie den Haken zu führen. Die Spitze fängt sich nämlich dabei im Zellgewebe und muss gewaltsam durchgehoben werden. Hinter dem *Vagus*, auf dem *M. scalenus*, liegt der *Nervus phrenicus*.

Hinter der *Vena jugularis*, zwischen den *Mm. sternocleidomastoideus* und *scalenus medius* finden sich *Nervi supraclaviculares* vom 4. Halsnerven. Zwischen *M. scalenus anterior* und *medius* erkennt man ferner die Durchschnitte des 5. und 6. Halsnerven, welche gemeinsam auf der Abbildung als *Plexus brachialis* bezeichnet wurden, um nicht durch zu viele Einzelheiten die Klarheit des Bildes zu stören. Der 7. Halsnerv geht von der *Modulus spinalis* im Kanale der Wirbelsäule ab und schlägt eine Richtung nach aussen und abwärts ein, hinter der *Arteria vertebralis*.

Es wurden oben die Abbildungen von *Nuhn* (*Chirurgisch-anatomische Tafeln, Taf. IV. Fig. 2*) und von *Bérard* (*Atlas d'anatomie chirurgicale, planche 37, Fig. 2*) zur Vergleichung herangezogen, als es sich darum handelte, nachzuweisen, dass die Abbildungen von Halsdurchschnitten, wenn sie genau die natürlichen Verhältnisse wiedergeben, nicht runde, sondern polygonale Figuren bilden. Es ist hier auch ein Wort hinzuzufügen über die Verhältnisse dieser Durchschnitte zur Wirbelsäule, damit keine Missverständnisse entstehen. In dem Durchschnitte von *Nuhn* ist nämlich der Kehlkopf fast in gleicher Höhe wie bei meiner Abbildung getroffen, während in der Abbildung von *Bérard* die *Trachea* unterhalb des Ringknorpels, von dem nichts mehr zu sehen ist, im Querschnitte vorliegt; und beide Autoren geben an, dass der dahinterliegende Wirbel der vierte Halswirbel sei, während auf meiner Tafel der sechste Halswirbel zu sehen ist. Man könnte daher leicht auf den Gedanken kommen, dass ich einen falschen Wirbel angegeben habe, ein Fehler, den man in der That beim Ausziehen der Wirbel leicht begehen kann, wenn man einen Cadaver in mehrere einzelne Scheiben zerlegt hat.

Ich muss daher ausdrücklich betonen, dass ich gerade bei den Wirbelbestimmungen sehr genau zu Werke gegangen bin, und glaube, nicht auch bei den vorliegenden Durchschnitten nicht geirrt zu haben. Die Vergleichung der Längsschnitte auf Tafel I und II, sowie der Höhenlinien Abbildungen ergibt, dass der vierte Halswirbel in die Höhe der *Epiglottis* zu liegen kommt, und der sechste Halswirbel an seiner Vorderseite die Platte des Ringknorpels hat, dass also in dieser Beziehung Uebereinstimmung mit meiner Abbildung herrscht. Dass

übrigens Variationen in dieser Beziehung bis zu einer Wirbelhöhe vorkommen, soll nicht bestritten werden; sie sind ausser Anderem schon gegeben durch die verschieden starke Halskrümmung der Wirbelsäule. Jedoch glaube ich nicht, dass sich dieser Lagewechsel bis über zwei Wirbelhöhen erstrecken kann. Im *Beraud'schen* Atlas selbst findet sich übrigens auf Tafel 26, Fig. 2 ein Sagittalschnitt, welcher mit meinen Angaben übereinstimmt, so dass man annehmen muss, dass beim Schnitt des weichen Präparates die Theile aus ihrer Lage verschoben wurden.

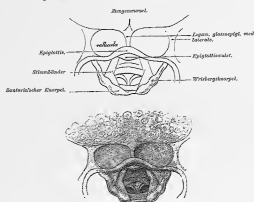


Fig. 2. Bild bei ruhigem Athmen.

Die *Pérogoff'schen* Querschnitte der Halsgegend, (*fasc. I, Tab. 10*) stimmen ebenfalls mit meinen Angaben überein. Der Ringknorpel liegt auch hier vor dem sechsten Halswirbel.

Die Lage der Wirbelsäule zum Gesichtsskelet, welches vor den oberen Halswirbeln zu liegen kommt, macht es erklärlich, dass bei der queren Abtrennung des Kopfes vom Rumpfe der Schnitt die unteren Halswirbel treffen muss. Bei mehreren durch das Fallbeil Hingerichteten, die auf unsere Anatomie gebracht wurden, war es der 5. Halswirbel, der getroffen wurde.

Der Schnitt verlief glatt durch die Knochenmasse des Wirbels.

Nicht einmal an den feinen Fortsätzen, die bei ungeschicktem Sägen so leicht abbrechen, war eine Splitterung zu bemerken. Nimmt man an, dass die Schnelligkeit, die schräge Richtung der Schnittführung, das Gewicht und Schärfe des fallenden Messers die Glätte des Schnittes zu Stande gebracht haben, so wird man daraus Regeln sich bilden können, wie bei Operationen zu schneiden ist, warum manche Operateure so glatte und gut vertheilende Schnitte fertig bringen, andere nicht.

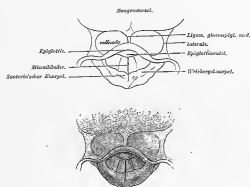


Fig. 3. Bild bei höchsten schrillen Tönen.

Ich füge zwei Zeichnungen bei, die nach *Czermak'schen* Bildern angelegt sind, um die Theile wiederzugeben, wie sie sich bei der Betrachtung durch den Kehlknorpel darstellen. Das eine Bild, Fig. 2, gibt die Verhältnisse wieder beim ruhigen Athmen. Man kann hier durch die weit geöffnete Glottis tief hinab in die Trachea blicken und erkennt sogar bei guter Beleuchtung mitunter die Theilung der Trachea in beide Bronchien.

Fig. 3 zeigt die Theile bei höchsten schrillen Tönen. Hier sind die Stimmbänder straff gespannt und die Glottis bis auf einen feinen Spalt geschlossen, welcher keinen Einblick in die tiefer gelegenen Theile gewährt.



TAFEL VII.

Die hier abgebildete Scheibe gehörte demselben Cadaver an wie die vorhergehenden und folgenden Abbildungen, und besaß eine Stärke von 2 cm. Da, wie aus der Bezeichnung ersichtlich ist, die obere Fläche abgezogen wurde, und der äussere Contur nach dem Umfange der unteren Fläche gezogen ward, so kann man die Zeichnung auf die Schnittfläche der nächst folgenden Abbildung einpassen und bekommt dann eine vollkommene Ansicht von oben her auf Schalter und Anfangstheil des *Thorax*.

Der Schnitt ging durch den untersten Rand des Ringknorpels, begann also unmittelbar unter dem Kehlkopf, traf die Seitenlappen der Schilddrüse, die untere Fläche des 7. Halswirbelkörpers sowie ein Stück der darunter liegenden Bandscheite und hielt sich seitlich in der Höhe des Gelenkes zwischen *Acrorion* und *Clavicula*. Wie man sich durch Messung überzeugen kann, sind die beiden Seitenhälften von gleicher Länge, ebenso zeigen dieselben eine grosse Symmetrie in der Anordnung der einzelnen Theile, so dass die genau horizontale Siegführung schon hieraus ersichtlich ist; und doch finden sich manche Differenzen beider Seitenhälften. Während rechts das Gelenk zwischen *Clavicula* und *Acrorion* geöffnet ward, ein Stückchen vom Schulterblattwinkel im Muskeltheile des *Serratus ant.* vorragte, und selbst das Köpfchen der ersten Rippe bereits sichtbar wird, ist links der Schnitt unterhalb der Gelenkverbindung zwischen *Clavicula* und *Acrorion* durchgegangen, und weder von Rippe noch von *Angulus scapulae* daselbst etwas zu sehen. Man erkennt daraus, dass selbst bei normalen und unbedeutend gebogenen Körpern Abweichungen von der seitlichen Symmetrie vorkommen, welche es nicht gestatten, bei Durchschnittszeichnungen nur die eine Hälfte aufzunehmen und auf die andere Seite einfach zu übertragen.

Da der Schnitt durch die Verbindungsstelle der Hals- und Brustwirbelsäule ging, so gibt er die Grenzfläche zwischen Nacken und Rücken wieder, hält sich dagegen vorn, vor der Wirbelsäule, noch vollständig im Bereiche des Halses, der viel weiter hinunter geht als hinten der Nacken, und erst seine Begrenzung durch die Schlüsselbeine findet, die sich in ziemlich Länge noch durch die Bedeckungen hindurch erkennen lassen. Man wird daher das Verhältniss im Auge behalten müssen, wenn es sich darum handelt, tief gehende Schnitte und Stichwunden in dieser Gegend zu untersuchen. Namentlich Anfänger suchen den Beginn der Brustwirbelsäule viel tiefer am Halse als am unteren Rande des Kehlkopfes.

Von den Knochentheilen der Wirbelsäule, welche hier vorliegen, hat man zunächst, wie schon oben erwähnt, den untersten Theil des 7. Halswirbelkörpers vor sich. Zu diesem Wirbel gehören ferner der lang durchschnittenen *Proc. spinosus*, der von aussen leicht durchgefühlt werden kann und als Ausgangspunkt für das Ausziehen der Brustwirbel benutzt wird. Zum 7. Halswirbel gehören ferner noch die unteren Abschnitte der *Proc. obliqui*, die in ihrer Gelenkverbindung getroffen wurden. Vor diesen liegen die *Processus obliqui* und *transversi* des 1. Brustwirbels, und auf der rechten Seite sieht man auch bereits das Köpfchen der ersten Rippe hervorstehen.

Vor der Wirbelsäule liegt beiderseits das Fleisch des *Musculus longus colli*, und neben demselben im Bogen nach dem *Processus transversus* zu das Muskeltheil des *Scaleni*. Der *Scalenus anticus* wird vom *Scalenus medius* abgetrennt durch die Querschnitte des *Plexus brachialis*, von den vorderen Aesten der unteren Halsnerven und des ersten Brustnervens gebildet. Von den hinteren Aesten der Halsnerven konnte im Präparate nichts Deutliches dargestellt werden. Dagegen zeigte sich ganz deutlich auf der vorderen Fläche des *Scalenus anticus* der Durchschnitt der *Nervus phrenicus*.

Zwischen *M. longus colli* und *Scalenus anticus* liegt die *Arteria cervicalis* mit ihrer Vene, welche auf dem Wege nach dem *Canalis*

vertebralis getroffen worden war. Unmittelbar vor ihr befindet sich auf der rechten Seite das untere Halsganglion des *Nervus sympathicus*. Auf der linken Seite liegt der *Symphathicus* weiter nach aussen, zwischen *Scalenus* und *Coracis*, ausserdem macht sich aber noch ein Ast auf der innern Seite der *Arteria thyroidea inferior* bemerkbar, der sich auch auf der rechten Seite findet, und dem *Nervus cardiacus longus* entspricht.

In der Mitte, vor der Wirbelsäule, sieht man die Lufttröhre schräg nach abwärts und hinten gehend, an ihrer Schnittfläche noch Reste des Ringknorpels und des *Constrictor pharyngis inferior* (*crio-pharyngus*); hinter ihr der Anfangstheil des *Oesophagus* im leeren zusammengefallenen Zustande, so dass vordere und hintere Wand sich heften und die Lichtung einen Querspalz darstellt. Im weiteren Verlaufe weist derselbe von der Mittellinie nicht unbedeutend ab und schon auf Tafel VIII, welche sich noch in der Höhe des ersten Brustwirbels hält, findet man ihn mehr auf der linken Seite herüber gezogen, auf die er sich weiter abwärts eine Strecke weit vollkommen hinüber begibt. Zwischen *Trachea* und *Oesophagus* zeigen sich zu beiden Seiten die Durchschnitte des *Nervus laryngeus recurrens* von *Vagus*, und weiter nach aussen die Seitenlappen der völlig normalen Schilddrüse. Gerade zu dieser Stelle kann man scheinbar vier Arterien dieser Drüse und die Schwierigkeit einer Unterbindung derselben erkennen. Während die *A. thyroidea superior* bereits in die vordere Drüsenpartie eingetreten ist, zeigt sich die *A. thyroidea inferior* beiderseits noch ausserhalb derselben. Man findet auf der rechten Seite zwischen *Coracis* und tiefer Halsmuskulatur zwei starke Arterienramen, welche dieser Arterie angehören. Sie entspringt bekanntlich von der *Arteria subclavia*, steigt eine Zeitlang aufwärts, um dann mit einem Bogen hinter der *Coracis* und dann wieder nach abwärts zur Schilddrüse zu gelangen. Gerade unterhalb des Bogens ist die Arterie getroffen worden, so dass sowohl der aufsteigende wie der absteigende Theil zu Gesicht kam. Auf der linken Seite hatte sich der absteigende Theil der Arterie bereits in zwei Aeste getheilt.

Der mittlere Schilddrüsenlappen war in dem vorliegenden Cadaver nicht stark ausgebildet; auf der Schnittfläche des Präparates war kaum etwas davon zu sehen. Nach dem Vorhandensein einer *Glandula suprathyroidea*, *prathyroidea*, wie sie am Zungenbein von *Zuckerwandl* und *Kodly* beschrieben sind, wurde nicht untersucht. Es sind diese accessorie Schilddrüsenlappen welche zu Cysten verschiedener Grösse degeneriren und Gegenstand chirurgischer Eingriffe werden können.

Es hat *His* (*Anatomie menschlicher Embryonen* III, 1885, pag. 101) gezeigt, dass der *Ductus thyroglossus*, von dem diese accessorie Schilddrüsenlappen stammen, sich öfter in grösserer Länge erfüllt. Man findet gar nicht so selten gleichzeitig ein mittleres Schilddrüsenhorn, das, in seinem unteren Abschnitte drüsig, oben in ein hütiges Rohr ausläuft das für eine starke Sonde leicht passierbar sich nach aufwärts bis hinter den Zungenbeinkörper fortsetzen kann, dort aber seine Begrenzung durch das *Lig. hyothyroideum medium* findet. Und zwar endigt dieser Gang in der Mittellinie auch dann, wenn der *Coracis medius*, von dem es abgeht, seitlich von der Mitte liegt.

Obt hält sich der obere Zungen-Teil des *Ductus thyroglossus* (*Ductus linguatis*) gleichzeitig, und reicht dann vom *Foramen cecum*



Cipile nach His.

Entstehung des Schilddrüsen- und des Zungenbein-Drüsenapparates, die in der Drüsenkapsel auf dem von oben liegenden Zungenbein abhängen.

der Zungenwurzel nach abwärts für eine Sonde passirbar bis in die Nähe des *Ductus thyroideus* herab, so dass der obere Theil, *Ductus lingualis*, und der untere *Ductus thyroideus* nur durch wenige Millimeter Zwischengewebe, durch die *Ligamenta hyocricoglotticum* und *thyrochyoideum* von einander getrennt bleiben.

Es wurde schon früher erwähnt, dass auf solchen Durchschnittszeichnungen die Wiedergabe der Fascien grosse Schwierigkeit findet, und dass deshalb alle die feineren Blätter, welche sich noch zwischen die einzelnen Gefässe hineinschieben, weggelassen worden sind. Es erscheint daher der Raum, in welchem *Carotis*, *Vena jugularis interna*, *Nervus vagus* eingeschlossen sind, einfach, mit Bindegewebe zwischen den einzelnen Theilen ausgefüllt. Die Begrenzungen desselben im Ganzen sind aber genau wiedergegeben worden, und so erkennt man, dass nach vorn die Gefässscheide von der mittleren Halsfasie mit dem *Omochoyoides*, nach innen durch die Hülle der Schilddrüse, nach hinten durch das Fascienblatt der tiefen Halsmuskeln und nach aussen durch die Scheide des *Sternocleidomastoideus* gebildet wird. Innerhalb derselben nach aussen und etwas nach hinten von der Arterie liegt die Vene, zwischen beiden der *Vagus*, vor ihnen der *Ramus descendens n. hypoglossi*. An dieser Stelle beginnt bereits der *M. omochoyoides* die grossen Gefässe zu kreuzen und sehnig zu werden, was namentlich links gut ersichtlich ist.

Es ist bekannt, dass die Ausführung der Tracheotomie oberhalb der Schilddrüse, zwischen dieser und dem Ringknorpel, vorzugsweise gern ausgeführt wird. Die Abbildung zeigt, wie ausserordentlich nahe die Lufttröhre in dieser Gegend der Oberfläche liegt, und wie leicht eine Operation bei dem vorliegenden Körper wegen der völlig normalen Schilddrüse und der geringen Entwicklung ihres Mittelfeldes auszuführen gewesen wäre. Man könnte durch die Verhältnisse auf der Abbildung verführt werden, die Ausführung der Operation in einem

Tempo für empfehlenswerth zu halten. Jedoch ist trotzdem vor dieser Methode zu warnen und das methodische Vorgehen, Schicht für Schicht, als allein statthaft festzuhalten, weil sich nie im Voraus bestimmen lässt, in wie weit das Mittelstück der Schilddrüse das Operationsfeld verlegt und Blutungen derselben ausserordentlich schwer zu stillen sind.

Die Muskelmasse, welche die hintere Hälfte des Mittelstückes ausmacht, ist so genau wie möglich analysirt worden und durch die Bezeichnung hinreichend kenntlich. Es ist hierbei nur zu bemerken, dass auf der linken Seite der Schnitt oberhalb des *Mus. serratus antic. major* hinwegging, während der obere Rand dieses Muskels auf der rechten Seite getroffen ward und mit dem *Levator anguli scapulae* daselbst so zusammenhing, dass keine scharfe Grenzlinie zwischen beiden gezogen werden konnte. Auf der linken Seite ist daher auch in dem Zwischenraume zwischen *Levator anguli scapulae* und *Cucullaris* die über den oberen Rand des *Serratus antic. major* nach hinten gehende *Arteria transversa colli* gerade in ihrem Bogen getroffen worden. Man erkennt deutlich ihren Weg auf der äusseren Seite des *Scalenus medius*, und ihre Lage zur oberflächlichen *Arteria cervicalis superficialis*, bis sie sich nach hinten zum *Cucullaris* und *Levator ang. scap.* wendet, um in der Gegend des Schulterblattwinkels in ihre Endäste zu zerfallen. Auf der rechten Seite ist dieselbe Arterie nur auf dem Querschnitte zu erkennen.

Die grösste Schnittfläche bildet der *Musculus cucullaris*, der gerade an der Stelle seiner fächerförmigen Ausbreitung getroffen wurde. Während die hinteren Faserbündel, die zum *Acromion* und Akromioclaviculäre der *Clavicula* gehen, mehr quer verlaufen und deshalb parallel den Faserzügen geschnitten wurden, verlaufen die am vorderen Rande liegenden Fleischbündel mehr senkrecht nach dem Mittelstücke der *Clavicula* zu und zeigen auch daher mehr die querdurchschnittenen Fasern. In dem Muskelstücke selbst erkennt man beiderseits noch den *Nervus accessorius Willisii*.

TAFEL VIII.

Die Abbildung auf dieser Tafel stellt die obere Fläche der letzten Scheibe dar, die von dem injicirten Cadaver genommen wurde, welcher auch den vorhergehenden Blättern zu Grunde lag. Es ist daher nicht nöthig, über den Cadaver selbst etwas zu erwähnen, da bereits bei Tafel V das Wesentliche hierüber bemerkt worden ist.

Der Schnitt wurde so geführt, dass er gerade beide *Arteriae subclaviae* in der Höhe ihres Bogens traf, den sie über die Lungenkuppel beschreiben, und war zufällig so glücklich ausgefallen, dass der Stamm der linken Schlüsselblutarterie selbst unverletzt blieb, während derselbe auf der rechten Seite sammt der darunter liegenden Lunge angeschnitten wurde. Er hielt sich ausserdem in der Ebene des unteren Randes vom 1. Brustwirbel, sowie der *Processus coracoidei* und der Oberarmkuppel oberhalb der Rollhügel. Eine Folge der hohen Schulerstellung ist es, dass die seitlichen Parthien des Schultergelenkes schon auf diesem Schnitte sich zeigen, während sie bei milder kräftigen Körpern erst in der Höhe der Sternoclaviculargelenke gefunden werden.

Was zunächst die Verhältnisse der Wirbelsäule betrifft, so erkennt man an der vorderen Seite derselben ein Stückchen Wirbelkörper, welches der unteren Fläche des 1. Brustwirbels angehört, dahinter aber die Symphyse zum 2. Brustwirbel, welche in Folge der Wirbelsäulenkrümmung ebenso wie der Wirbelkörper bei der horizontalen Sägeführung schräg getroffen wurde. Hinter der Bandscheibe ragt ein kleines Stückchen des 2. Brustwirbels hervor, dem auch die beiden *Processus transversarii* angehören. Die beiden Rippen, welche sowohl an diesen Fortsätzen als auch an den Wirbelkörpern selbst sich inseriren, sind demnach die zweiten. Vor ihnen, in der Muskulatur, liegen die Durchschnitte der ersten Rippen. Vom Brustbeine und vom Sternalende der Schlüsselbeine ist nichts zu sehen. Beides liegt bedeutend tiefer, wie sich schon aus der Betrachtung der Schüldrüse ergibt. Die Durchschnitte der Schlüsselbeine selbst betreffen so ziemlich deren Mitte und sind mit dem darunter liegenden *Musculus subclavius* leicht zu finden. Man sieht also, dass der obere Theil des Thorax durch den Schnitt bereits geöffnet ist, während man sich nach vorn zu noch vollkommen in der Halsregion befindet.

Da die linke Lunge durch ihre zwar freigelegte, jedoch noch unverletzte *Pleura* deutlich hindurchscheint, die rechte aber sammt der *Arteria subclavia* durch den Schnitt getroffen wurde, so könnte man vielleicht glauben, dass die Säge überhaupt schief, auf der rechten Seite weiter nach abwärts, geführt worden sei. Allein dem ist nicht so. Abgesehen davon, dass bei ganz gleicher Schulerhaltung, soweit sich dieselbe herstellen liess, möglichst genau die Horizontalebene eingehalten wurde, findet sich sogar der rechte Oberarmkopf bedeutend höher getroffen als der linke. Man kann demnach annehmen, dass die rechte Lunge bei dem vorliegenden Cadaver höher hinausgeragt habe, als die linke. Da diese Differenz, wie aus der Abbildung deutlich hervorgeht, nicht unbedeutend ist, und einen völlig normalen unadelhaften jugendlichen Cadaver betrifft, so erscheint dieses Verhältniss für die Untersuchung, namentlich für die Percussion der Lungenspitzen nicht unwichtig.

Bei der Untersuchung auf beginnende Lungenphthisis wird von den Klinikern ein Hauptgewicht auf die Percussion der Lungenspitzen in der unteren Halsregion gelegt, und ein kürzerer Ton „rechts oben“, selbst wenn der Klangunterschied nur gering ist, diagnostisch verwertet. Man sollte meinen, dass die anatomische Basis, auf die diese Diagnostik beruht, eine absolut sichere sein müsste. Und doch war dem bis vor Kurzem nicht so. Die Angaben der Anatomen darüber, welche Lungenspitzen am Halse höher hinausragen, die rechte oder die linke, lauten verschieden. Der leider so früh verstorbene ausgezeichnete Forscher Dr. Hans Stadel aus Zürich hat deshalb die Frage über den Stand beider Lungenspitzen bei normalen Verhältnissen zum Gegenstand seiner Untersuchungen gemacht und die Resultate im *Archiv für Anatomie und Physiologie* 1886, p. 5 v. ff. veröffentlicht. Nach seinen Untersuchungen an einer grösseren Anzahl von gesunden Lungen auf unseren Präparirsaale in Leipzig (die benutzten Cadaver waren sämtlich Selbstmördern), die ich durch eine Reihe weiterer Messungen noch vermehren könnte, steht die rechte Lungenspitze bei normalen Körpern stets höher als die linke. In zwei Fällen, in denen die Höhenunterschiede nach Millimetern

gemessen wurden, fand sich das eine Mal ein Höhenunterschied von 1 cm, das andere Mal ein Höhenunterschied von $\frac{1}{2}$ cm zu Gunsten der rechten Lungenspitze.

Die Messungen wurden in der Weise angestellt, dass an den Rumpfen, denen der Kopf abgeschnitten worden war, die untere Halsregion bei Erhaltung der Pleurakuppel und der gesammten übrigen Thoraxwand mit einem System von genau senkrecht zur Längsachse des Körpers gestellten und gespannten Fäden überspannen wurde. Darauf wurden die Lungen von der *Trachea* aus aufgeblasen, so dass die ausgedehnten Lungen unter der freigelegten aber intakten Pleurakuppel gut sichtbar wurden. Es zeigte sich dabei regelmässig bei normalen Verhältnissen, dass die rechte Lungenspitze weiter nach aufwärts aber auch weiter nach vorwärts sich erhob, als die linke; also ein beträchtlich grösseres Volumen bot, selbst in den Fällen, in denen das Aufwärtssteigen keinen bedeutenden Grad erreichte. Die Messung der Volumszunahme war überaus schwierig. Wir haben uns deshalb darauf beschränkt, nur das Ueberviegen des Volums der rechten Lungenspitze zu constatiren und haben es absichtlich unterlassen, ein grösseres aber unsicheres Zahlenmaterial beizubringen. Nur in zwei Fällen, wie oben bemerkt, sind Zahlenangaben über die Höhenunterschiede beider Lungenspitzen gemacht worden.

Zu beiden Seiten des Muskelfleisches des *Longus colli*, zwischen diesem und der Lunge, sieht man das 2. Brustganglion des *Nervus sympathicus*; vor und über der Lungenkuppel die *Arteria subclavia*, seitwärts von dieser die grosse Fläche des schräg getroffenen *Pleura brachialis*. Während die Arterie nicht die höchste Höhe der Lungenkuppel überschreitet, sondern mehr auf dem vorderen Abhange der *Pleura* aufliegt, bildet der *Pleura brachialis* mit der Wirbelsäule eine Art Nische, welche die oberste Spitze der Lunge aufnimmt, überdeckt dieselbe somit noch höher, als die vor im liegende grosse Arterie.

Namentlich auf der linken Seite lässt sich dieses Verhältniss recht gut erkennen.

Die linke *Arteria subclavia*, im Stamme unverletzt, zeigt nach oben die Durchschnitte von vier starken abgehenden Aesten. Von diesen gehört der innere der *Arteria vertebralis*, der äussere dem *Truncus thyrocervicalis*. Vorn, um den *Scalenus anticus* und *Nervus phrenicus* herum schlingt sich die *Arteria cervicalis superficialis*, um schräg aufsteigend über den *Pleura brachialis* nach aussen und hinten zum Nacken zu gelangen. Man sieht sie noch im Anfange ihres Verlaufes abgeschnitten, unmittelbar unter dem sie nach aussen bedeckenden hinteren Bauche des *M. omohyoideus*, von dem nur ein Stückchen abgeschnitten wurde. Fast der ganze Muskel fand sich in der nächst höheren Scheibe.

An der hinteren Wand der *Subclavia* liegen zwei kleine Arterienhöhlen, die sich nicht genauer bestimmen liessen. Die *Arteria transversa colli*, welche auf der vorhergehenden Tafel in ihrer Endtheilung zu sehen ist, entspringt von dem starken Stamme am *Scalenus anticus*, gemeinsam mit der *A. thyroidea inferior*. Man sieht die Fortsetzung ihres Stammes, die *Dorsalis scapulae*, gedeckt vom *M. rhomboideus* in die Tiefe gehen.

Die *Arteria transversa scapulae* liegt hinter dem *Musculus subclavius*; man erkennt sie wieder hinter der Bandmasse des *Lig. conoidum* und *trapezoidum*, am *Proc. coracoideus*, da wo sich in der Tiefe die *Incisura scapulae* find. Sie ging über das *Lig. trans. scapulae* hinweg zur *Fossa supraspinata*, während der sie begleitende *Nervus suprascapularis* unter demselben hindurchging.

Von der rechten *Arteria subclavia* ist die obere Wand eine Strecke weit durch den Schnitt entfernt worden, so dass man bequem in ihre Leichtung hineinschauen kann. Man sieht an dem medialen Ende des Ausschnittes eine Aushöhlung der Wand, welche dem Abgange des *Truncus thyrocervicalis* entspringt, und erkennt die Abgangsstelle der sich um den *M. scalenus anticus* herumwindenden *A. cervicalis superficialis*. Weiter nach aussen, zwischen *Mus. subclavius* und *scerratus anticus major* liegt die *A. transversa scapulae*, welche mit der gleichnamigen Vene und dem *Nervus suprascapularis* nach der *Incisura scapulae* sich hinzieht, um über das Ligament hinwegzugehen, während der Nerv unter demselben liegt.

Bei Vergleichung beider Schlüsselblutarterien stellt sich heraus, dass ausser der höheren Lage der rechten, an ihrem Bogen über die

Lungenkuppel, der Anfangstheil beider eine sehr verschiedene Richtung hat, bedingt durch den verschiedenen Ursprung. Während der aufsteigende Theil der linken *Subclavia* vom Aortenbogen kommend, weiter nach hinten sich befindet und ein beträchtliches Stück der *Pleura* anliegt, wendet sich die rechte *Subclavia*, wenn man sie in entgegengesetzter Richtung des Bruststromes betrachtet, nach vorn hin, um mit der *Carotis communis* zum *Truncus aorticus* zusammenzutreten.

Das hier vorliegende Stück beider Arterien gehört der inneren und zum Theil der mittleren Portion derselben an. Die direkte Nähe der Lungen und Pleuren sprechen schon deutlich genug, um vor einer Unterbindung an dieser Stelle zu warnen, die denn auch bis jetzt fast in allen Fällen nur mit unglücklichem Erfolge vorgenommen wurde.

Beiderseits vor der *Subclavia* liegt die *Carotis communis*, darzwischen der gemeinsame Stamm der *Vena vertebralis* und *V. cervicalis profunda*; medianwärts von dieser der *N. cardiacus longus*.

Die *Vena vertebralis* zeigt vielfache Abweichungen in ihrem Verlaufe. Abgesehen davon, dass sie im Vertebralekanale nicht immer einen einfachen Stamm besitzt, sondern sich oft in ein Geflecht auflöst; dass sie ferner in seltenen Fällen gemeinsam mit der *Vena cervicalis profunda* einen langen, hinter den Gelenkfortsätzen herunterlaufenden, Stamm bildet, der das Blut aus den Venenplexus des Spinalkanals aufnimmt, zeigt ihre Einmündungsstelle mehrere Veränderungen. Sie mündet meistens in den Anfangstheil der *Vena anonyma* ein, kann aber dabei hinter oder vor der *Arteria subclavia* herunter gehen.

In dem einen Falle an der linken Körperseite fand sich, dass sie als Stamm im Vertebralekanale vor der synonymen Arterie herunter lief und nach Austritt aus dem Kanale nach vorn abbog, um über die *Arteria subclavia* hinweg an deren Vorderseite in den Anfang der *Vena anonyma sinistra* unmittelbar unter dem Ende der *Vena jugularis interna* einzumünden. Dadurch bildete sie mit dieser mächtigen Vene an der inneren Seite der *Arteria vertebralis* eine Venengabel, in welche sich der *Ductus thoracicus* wie auf eine Stütze hineinlegte, um nach Ueberschreitung des Anfangstheiles vom Bogen der *Arteria subclavia* in die Schlüsselbeinvene einzumünden.

In einem zweiten Falle kam die *Vena vertebralis sinistra* hinter der *Arteria subclavia*, zwischen ihr und der *Pleura* zu liegen und ging dann nach vorn, um in die *Vena jugularis* an ihrem unteren Ende einzumünden, so dass man vom Thoraxraume aus, nach Wegnahme der *Pleura*, das mit der Schlüsselbeinarterie sich kreuzende Gefäss von hinten nach vorn zu frei verlaufen sehen konnte. In diesen horizontalen Theil der *Vena vertebralis* mündete von oben herabkommend, vor der *Arteria subclavia* noch ein Venenstamm ein, der der *Vena cervicalis profunda* entsprach.

In einem dritten Falle verlief sie auf der rechten Seite ebenfalls hinter der *Arteria subclavia* zur Einmündungsstelle, während sie auf der linken Seite vor dieser Arterie herging.

In einem vierten Präparate endlich gingen beiderseits beide Vertebrales vor der *Arteria subclavia* herab.

Diese Verhältnisse sind insofern nicht unwichtig, als immer noch von der Unterbindung der aufsteigenden Partie der *Arteria subclavia* gesprochen wird und Methoden dazu aufgeführt werden, ohne etwas von der *Vena vertebralis* und dem auf der linken Seite direkt an ihr liegenden *Ductus thoracicus* zu erwähnen, die dabei leicht zerschnitten werden können.

An der äusseren Seite der *Carotis*, dicht hinter dem *M. sternocleidomastoideus* hat man die *Vena jugularis interna*, zwischen ihr und *Carotis* den *Nervus vagus*.

Die *Vena jugularis externa* zeigt sich links zwischen *Clavicula* und *M. omohyoideus*. Rechts mündete sie in die aufgeschnittene *Vena transversa scapulae* ein. Von der *Vena subclavia* war beiderseits nichts zu sehen, dieselbe lag intakt noch unterhalb der Schnittfläche.

Trachea und *Oesophagus* sind auch ohne Bezeichnung schon durch ihre Form leicht zu erkennen. Vor ersterer liegt die Schilddrüse, welche zugleich mit ihrem mittleren Theile getroffen worden ist. Sie erwies sich als vollkommen normal sowohl in Beziehung auf Struktur als auf Grösse, eine Erscheinung, die hier zu Lande verhältnissmässig selten ist. Weit aus der grösseren Theil der Leichen zeigt Vergrösserungen dieser Drüse.

Der *Oesophagus* beginnt bereits in dieser Höhe die Mittellinie zu verlassen, um sich nach der linken Seite hinüberzuziehen.

Auf Tafel X, welche in der Höhe des Sternooclaviculargelenkes die einzelnen Theile wiedergibt, liegt er bereits vollständig zur linken Seite der *Trachea*. Wenn aber auch diese seitliche Abweichung des *Oesophagus* Regel ist, so scheint doch die Höhe zu variiren, in welcher diese Abweichung den stärksten Grad erreicht. Wenigstens finde ich in *Pirogoff's* diese vollkommen seitliche Lage bereits auf *Taf. I. Fasc. 2* abgebildet, wo der Schnitt zwischen 1. und 2. Brustwirbel durchging, also in gleicher Höhe wie bei der vorliegenden Abbildung.

Der linke Oberarmkopf ist so ziemlich in seiner Mitte getroffen worden; man sieht vorn etwas vom *Tuberculum majus*, welches gleich unter dem Schnitte zu finden war. Auf dieses hin geht auch die Sehne des *M. infraspinatus*, welcher sich im Bogen ein Stück um den Kopf herumzieht. Unter dieser Sehne, in der Nähe ihres Ansatzes, zeigte die Kapsel sich am zweiten. Der *M. supraspinatus*, dessen Fleischmasse zwischen den drei Knochenstreifen der *Scapula* liegt, ist an seinem vorderen Ende abgeschnitten, da wo er aufsteigt, um über den Kopf zum *Tuberculum majus* zu gelangen. Seine Sehne liegt mit in der Bandmasse an der vorderen Seite des Gelenkkopfes.

Der *M. deltoideus* mit seinen inneren Sehnenmassen ist schön entwickelt und leicht zu erkennen. Zwischen ihm und den Ansätzen der Rollmuskeln am *Tuberculum majus* fand sich ein Schleimbeutel, dessen Höhlung durch eine schwarze Linie bezeichnet worden ist.

Da die *Cavitas glenoidale* so ziemlich in der Mitte geschnitten worden ist, so liegt auch die Sehne des langen Kopfes vom *Biceps* frei auf dem Durchschnitte in der Gelenkhöhle. Unten fand sich noch ein dünnes *Mesenterium* ihres Schleimbeutels; oben war die Sehne völlig frei. Auf der vorderen Seite des *Proc. coracoideus* liegen die sehnigen *Ansätze des Biceps* und *Coracobrachialis*, weiter nach innen zu sieht man das Muskelkleid des *Pectoralis minor*. An der hinteren und inneren Seite des *Proc. coracoideus* dagegen liegt die durchgeschnittene starke Bandmasse, welche die Verbindung mit der *Clavicula* vermittelt, das *Ligamentum conoideum* und *trapezoideum*.

Der rechte Oberarmkopf ist bedeutend höher getroffen als der linke, nämlich in der Höhe des oberen Randes der *Cavitas glenoidale*. Man sieht daher den Knorpelüberzug vollständig um den Knochen herumgehen und die Kapsel allseitig frei. Aus der Tiefe tritt die Sehne des *Biceps* hervor, um sich mit der sehnigen Masse der Gelenkfaune am *Tuberculum supraglenoidale* zu inseriren. Da an den Sehnenheilen die Faserung nur im Allgemeinen wiedergegeben werden konnte, so darf man in dieser Beziehung nicht zu viel von der Zeichnung erwarten. Man wird deshalb die Faserzüge der Sehne des *M. infraspinatus* nicht um den Oberarmkopf herum bis zur Sehne des *Biceps* verfolgen dürfen, wie es auf der Zeichnung den Anschein hat; dieselben verlieren sich vielmehr in die Tiefe nach dem *Tuberculum majus* zu, und hängen innig zusammen mit dem Ansätze des auch hier abgetrennten *Mus. supraspinatus*.

Unterhalb des *Deltoideus* fand sich auch auf dieser Seite ein Schleimbeutel.

Vergleicht man die Zeichnung des hier vorliegenden Durchschnitte mit dem auf Tafel IX gegebenen, also den Durchschnitt eines jungen, muskelkräftigen Mannes, mit dem eines 50jährigen, so fällt gleich die massivere Anlage des Ganzen in die Augen. Im einzelnen aber sind nur die Muskellagen durchgehends breiter, während die Skeletteile durchaus nicht grösser und stärker erscheinen. So zeigt sich daher auch der Unterschied der Längen- und Dickendurchmesser gar nicht in der Weise, als man bei oberflächlicher Betrachtung zu erwarten geneigt ist. Nimmt man nämlich die Masse von dem unteren Contour der vorliegenden Zeichnung, welcher genau nach dem Umrisse der unteren Fläche der Scheibe geführt wurde, und somit fast derselben Ebene entspricht wie Tafel IX, so bekommt man die Schulterbreite nur um $2\frac{1}{2}$ cm grösser als bei dem alten Manne, dagegen den Dickendurchmesser in der Mittellinie, von vorn nach hinten, beim alten um 1 cm noch grösser als bei dem jungen Manne.

Es ist schon oben bei Besprechung der Lage der *Arteria carotis* zum 6. Halswirbel besprochen worden, dass die Lage der Arterien nicht durch die Knochen, sondern durch die Muskeln und Fascien bestimmt ist, dass man demnach auch nicht die Knochenprominenzen als Orientierungspunkte beim Aufsuchen der Arterien gelten lassen darf, sondern sich nach den Muskeln und Fascien zu richten hat. Ein Gleiches gilt für die Venen, Nerven, die *Trachea* und den *Oesophagus* in der Halsgegend. Sie sind so beweglich in dem Raum der vorderen Halsgegend eingebettet, dass bei Bewegungen des Rumpfes sowohl, wie bei Druck von benachbarten Tumoren ihre Lage in ziemlich grossem Masse wechseln können. Dies ist namentlich ersichtlich durch Tafel IX, sowie durch die Verhältnisse auf der vorliegenden Tafel berechenbar. Die Möglichkeit dieser Verschiebbarkeit auf dem Skellet ist durch, das lockere Bindegewebe gegeben, welches diese Theile einhüllt. Unveränderlich dagegen bleibt ihre Lage zu den sie umgebenden Muskeln und Fascien. Wenn man daher eine Exstirpation von Tumoren am Halse oder die Tracheotomie und Oesophagotomie ausführen will, so hat man sich bei dem eröffnenden Schnitte in ähnlicher Weise nach den Muskeln und Fascien zu orientiren, wie dies nach *Pirogoff's* Lehre bei den Arterienaufsuchungen geschehen muss.

TAFEL IX.

Der Cadaver, welchen ich für diesen Durchschnitt benutzte, war der eines etwa 50jährigen Mannes. Derselbe hatte eine Vergrößerung der Leber und der Schilddrüse, ebenso mehrfache Anheftungen der Pleuren, zeigte aber sonst weder in Bezug auf das Herz noch auf die übrigen Organe eine Abnormität. Er kam fest gefroren auf die Anatomie, in einer Lage, bei der Oberarme und Oberschenkel leicht erhoben waren, was für die Beurtheilung der betreffenden Gelenke bemerkt werden muss.

Der Schnitt, welcher auf der vorliegenden Tafel abgebildet ist, ward durch das Sterncostalergelenk in horizontaler Richtung geführt, so dass zugleich die Schultergelenke und die Bandscheibe zwischen drittem und viertem Brustwirbel getroffen wurden.

Beide Lungen sind ziemlich symmetrischer Form; nur zeigt sich die linke von vorn her eingedrückt, und in die Einbiegung der aufsteigenden Theil der linken *Arteria subclavia* eingelagert. Es ist wahrscheinlich, dass diese Einbiegung durch die vergrößerte nach links gelagerte untere Schilddrüsenpartie hervorgerufen wurde. Um die Lungen herum sind durch weisse Conturen die Pleuren angedeutet und zwar so, dass durch einen schwarzen Strich, welcher die Pleurahöhle wiedergeben soll, das parietale Blatt von dem visceralen getrennt wird. An das letztere bitte dann noch eine Fascie angelegt werden müssen, welche die Innenseite der Intercostalmuskeln auskleidet. Sie wurde weggelassen, um nicht Unklarheiten hervorzubringen. Schon das Anlegen der Hauptfascien hat Schwierigkeit, da sie sämtlich viel stärker gezeichnet werden müssen als sie sich in der Wirklichkeit ausnehmen. Will man nun sämtliche Blätter auf einem Durchschnitt zur Anschauung bringen, so wird dadurch ein Raum in Anspruch genommen, welcher die ursprünglichen Conturen zu sehr aus der Lage bringt.

Die nahe Lage der beiderseitigen aufsteigenden *Arteriae subclaviae* zur Pleura und Lunge, macht hier die Schwierigkeit ihrer Unterbindung recht deutlich. Man begreift die Möglichkeit einer dabei gesetzten Pleuraerletzung. Der absteigende Theil derselben Arterie ist dagegen bereits durch die Intercostalmuskeln und Rippen von der Lunge getrennt. Er hat seine Lagerung zwischen *Pleura brachialis* und *Vena subclavia* eingenommen.

Die Venen sind, da sie nicht injicirt waren, zusammengefallen, wie sie vorlagen, abgezeichnet worden. An der linken *V. subclavia* sieht man in die Einmündungsstelle der *Vena cephalica* hinein, die noch nicht vom Schnitte getroffen worden ist. Unmittelbar vor beiden Venen liegt die Sehne des *Mus. subclavius*, angeheftet an die erste Rippe. Derselbe war auf der rechten Seite viel deutlicher als auf der linken, da hier nur noch die untersten Fasern geblieben waren. In der Umgebung des grossen Nerven- und Gefässbündels liegen die *Arteriae thoracicae* mit den entsprechenden Venen.

In den Räumen, der, als Beginn des *Mediastinum*, von hinten durch den Körper des dritten Brustwirbels, vorn durch Sternum und Schlüsselbeine, seitlich durch die Pleuren begrenzt wird, liegt zunächst am Wirbel der *Ductus thoracicus*. Erst weiter oben verlässt er diese Stelle, um sich zur linken *Vena subclavia* zu begeben. Vor ihm lag der durch gefrorenen Mageninhalt erweiterte Oesophagus. Die Masse, welche wahrscheinlich beim Transporten des Leichnams heraufgetreten war, ist herausgenommen worden. Vor dem Oesophagus liegt die durchschnittene Luftröhre; seitlich derselben, etwas nach hinten gerückt, so dass sie in die Furche zwischen Speise- und Luftröhre zu liegen kommen, die zurücklaufenden Keilkopfäste des *Nervus vagus*. Links neben der Luftröhre sieht man die unterste Partie der *Struma thyroidea*, an welche sich vorn und rechts zwei Venen, die das Blut von der Schilddrüse herab- leiten, und demgemäss in diesem Falle vergrößert sind, anschliessen.

Rechts neben denselben, und links neben der vergrößerten Schilddrüse liegt die *Arteria coevis*, beiderseits mit dem Stamme des *Nervus vagus* an der Aussenseite; noch weiter nach aussen die Anfangstheile der *Venae anonymae*, neben diesen die beiden *Nervi phrenici*, sowie die *Arteriae mammae internae*.

W. Braune, Atlas. S. 40.

Durch schwarze Linien sind die Gelenkspalten angedeutet, welche dem Sterncostalergelenk angehören, zwischen ihnen erkennt man den Zwischenknorpel.

Während vom Sternum zu beiden Seiten der *Incisura semilunaris* nur die obersten Spitzen abgetragen sind, liegen dahinter die grösseren Durchschnittsflächen der Schlüsselbeine. Hinter dem Sternum sieht man die Durchschnitte der *Musculi sternothyroidei*, hinter den Clavikeln, mehr nach aussen, die der *Musculi sternohyoidei*.

Die hintere Grenze des oben beschriebenen Raumes bildet der untere Abschnitt des dritten Brustwirbels, hinter diesem die gleichfalls mit getroffene Bandscheibe; zu beiden Seiten unter der Pleura, befinden sich Intercostalvenen, die zur Azygos und Hemiazygos führen, und der *Nervus sympathicus*.

Der Bogenstheil des vierten Brustwirbels mit einem Theile des scharf markirten *Lig. intercostale* schliesst nach hinten den Spinalcanal ab, dessen Inhalt auf dem Durchschnitte sehr klar die Lage der *Dura mater*, sowie die Begrenzung der grauen Substanz im Rückenmark erkennen liess. Der Schnitt durch das Mark erschien so glatt und scharf, als ob er mit dem Rasirmesser gemacht worden wäre.

Sehr deutlich zeigt sich die Gelenkverbindung zwischen Wirbel und vierter Rippe, ebenso der dazu gehörige Bandapparat auf der rechten Seite, *Lig. costal costae*.

Hinter dem Spinalcanale erkennt man das *Lig. intercostale*, von dem sich die Fasern des *Lig. interspinale* scharf absetzen.

Ueber die Rückenmuskeln, welche, so gut als es bei der schwachen Scheibe ausführbar war, isolirt und bestimmt wurden, ist hier nichts hinzuzufügen, da sie auf der Abbildung selbst ebenso wie die übrigen Theile bezeichnet sind. Bei der grossen Symmetrie, welche sich in Folge der genau horizontal ausgeführten Durchschneidung zeigte, war es nicht nöthig, das, was schon auf der einen Seite bezeichnet worden war, auch noch auf der andern zu markiren. Man wird leicht den *Mus. levator anguli scapulae*, nachdem man ihn rechts bezeichnet gefunden hat, auch links an der Form erkennen, ebenso wie den *Rhomboideus* und die übrigen. Von *Splenius colli* ward nur noch das untere sehnige Ende gefunden, ebenso liess sich auch der *Serratus postic. sup.* noch deutlich mit seiner Zacke an der dritten Rippe beiderseits isoliren.

Eine sehr klare Übersicht gewinnt man über den *M. serratus anticus major*, der in seinem oberen Theile fast parallel seiner Faserichtung durchschnitten ward. Auf der innern Seite ist er durch eine Fascie von den Intercostalmuskeln getrennt, auf der äusseren Seite von dem *M. subscapulari*, dessen oberer Rand eben noch von dem Schnitte getroffen wurde. Zwischen beiden liegt der *Nervus thoracicus longus*.

Die Wirkung des *M. serratus a. major* ist eine verschiedene, je nachdem er im Gausen sich contractirt, oder je nachdem seine einzelnen Theile thätig sind. Wenn alle seine Fasern sich verkürzen, so presst er die *Basia scapulae* fest an den Thorax an und verhindert dadurch ein Abheben der Scapularfläche. Es wird dadurch dem Arme eine Festigkeit bei aller seiner sonstigen Beweglichkeit gesichert, und so die Benützung der oberen Extremität als Locomotionsapparat bei den Bewegungen des Kletterns und Schwimmens ermöglicht. Die Luft kann dabei nicht die Haut unter den Scapularrand eindrücken und denselben abheben, wie das bei flügelartigem Abheben der Schulterblätter geschieht in Folge von Lähmung des *Serratus*. Bei der Thätigkeit der einzelnen Portionen des Muskels, wirkt die obere Partie, die sich am *Angulus scapulae* ansetzt, antagonistisch nur unten, die an der Scapularspitze inserirt. Letztere hebt durch Drehung der *Scapula* im Acromialgelenke den Arm aus der horizontalen Haltung zur verticalen, was durch Bewegung im Humeralgelenke allein nicht möglich ist. Die obere Partie, unterstützt durch die Wirkung des *Pectoralis minor*, zieht den erhobenen Arm wieder herab. Beide Muskelportionen functioniren also alternirend beim wiederholten Einhaufen. Sie haben auch verschiedene Nerven. Die obere Abtheilung erhält ihren Nerven vom 5., die untere

vom 7. Cervicalnerven. Beide Nerven, die übrigens auch vom 6. Cervicalnerven Zuwachs erhalten, treten mit einander in Verbindung bevor sie in die Muskelmasse eintreten.

Zwischen den *Mm. subscapularis*, *levator ang. sc.* und *serratus postic. sup.*, in einer kleinen dreieckigen Lücke, welche mit Bindegewebe ausgefüllt war, liess sich die *Art. dors. scap.* erkennen. Da an derselben Stelle der *Nervus d. scap.* liegt, so wurde er hier mit eingezeichnet, trotzdem es mir nicht gelang, in dem Bindegewebe ein Nervenästchen zu erkennen.

Weiter nach innen, zwischen den *Rhomboidei* und den tiefen Rückenmuskeln, fand sich ebenfalls ein Gefässbündelchen, das sich aber nicht bestimmen liess. Es ist deshalb auf der Zeichnung ohne Benennung so wieder gegeben worden, wie es im Präparate gefunden ward.

Während die Durchschnitte der Skelettheile in der Mitte wenig Schwierigkeit bei der Deutung machen, hat man in Bezug auf das Verhältniss der getroffenen *Scapula* grössere Noth. Man sieht an beiden Seiten, abgesehen vom Oberarmkopfe, drei Stücke vor sich, von denen das hakenförmig nach vorn gebogene dem *Processus coracoideus* mit dem *Condylus scapulae* angehört.

Unmittelbar dahinter, nur durch eine schmale Furche, die *Incisura scapulae*, davon getrennt, liegt der schmale Streifen des Schulterblattkörpers, und hinter diesem mehr nach der Körperoberfläche zu der stärkere Streifen der durchschnittenen *Spina scapulae*. Wenn man daran denkt, dass die Arme in etwas erhobener Stellung sich beim Durchsägen befanden, dass somit auch die Schulterblatt nach vorn rotirt sein musste, so wird man die Schnittlinie leichter verfolgen können. Dieselbe verlief von hinten her durch die *Fossa supraspinata*, traf dann die *Spina scapulae*, ging durch die *Incisura scapulae*, durch die Wurzel des *Processus coracoideus* und die Gelenkpfanne, um dann den Oberarmkopf nahe seiner Mitte zu durchschneiden. Wir befinden uns daher weit unter dem *Acromion* und haben von der *Spina scapulae* nur den schräg durchschnittenen mittleren Theil vor uns. Glücklicherweise traf es sich, dass eine so symmetrische Schulterhaltung vorlag. Es wäre sonst, selbst wenn man es beabsichtigt hätte, kaum möglich gewesen eine so gleichmässige Figur des *Processus coracoideus* auf beiden Seiten zu erhalten.

Diese Zeichnung der Durchschnittsfläche des *Processus coracoideus* durch seine ganze Länge mit dem *Condylus scapulae* giebt eine gute Uebersicht der topographischen Schulterverhältnisse. Man erkennt die Leichtigkeit mit welcher Luxationen des Oberarmes denselben unter den *Processus coracoideus* führen. Man erkennt aber auch die Schwierigkeiten, die sich bei der *Extirpation scapulae* dem Herauslösen der *Processus coracoideus* wegen der Nähe der grossen Gefässe und Nerven entgegenzusetzen müssen.

Das obere Ende des Humerus ist so getroffen worden, dass der

Schnitt durch das *Tuberc. majus*, aber oberhalb des *Tuberc. minus* durch die Knorpelfläche des Kopfes hindurch ging. Ein Weg der sich durch die erhobene Stellung des Armes erklärt. Man sieht daher auch auf der Abbildung deutlich den *M. infraspinatus* an den Humerus selbst gehen, während der *M. subscapularis* unter dem *Processus coracoideus* in der Tiefe verschwindet.

Die Gelenkspalte des Oberarmgelenkes ist durch einen schwarzen Strich angegeben worden, in der Stärke wie sie sich in der Natur vorfindet. Ebenso sind die Knorpelgrenzen genau so angegeben, wie sie sich zeigten. Dagegen hatte es mit einer eingehenden Analyse der zerschnittenen Bandmassen grosse Schwierigkeit. Es stand zu befürchten, dass bei weiterem Präparieren das Bild wie es ursprünglich sich darstellte, zerstört werden würde, und wurde deshalb auch soeben als möglich hinein gezeichnet, sondern nur das angegeben was sich dem Auge darstellte.

Der Raum zwischen *Proc. coracoideus* und Oberarmkopf enthält ausser dem Bindegewebe über der Kapsel auch das *Lig. coracohumerale*, das man freilich aus der Zeichnung kaum erkennen wird.

An der vorderen Fläche des Knochens sieht man die durchschnittenen Bicipitsehne. Die Höhle des Schleimbeutels wurde genau untersucht und abgezeichnet. Man sieht, dass der Schleimbeutel rechts ein schmales *Mesenterium* bildet, während auf der linken Seite keins vorhanden ist, somit die Höhle allseitig um die Sehne herumgeht. Man kann sich leicht bei Durchschnitten durch das Schultergelenk von diesen verschiedenen Verhalten der Schleimbeutel überzeugen. Am *Processus coracoideus* liegen die sehnigen Ansätze der *Mm. biceps*, *coracobrachialis* und *pectoralis minor*. Fleischfasern liessen sich an ihnen nicht entdecken, soweit sie hier freilagen.

Um das Schultergelenk herumgelagert erkennt man den querdurchschnittenen *M. deltoideus* mit seinen sehnigen Stellen im Innern der Fleischmasse. Unter ihm nach hinten zu liegt der mehr parallel seinen Fasern durchschnittenen *Supraspinatus*, ebenfalls mit einer sehnigen Stelle im Innern. Zwischen *Spina scapulae* und Körper der *Scapula* befindet sich der hintere Theil des *Supraspinatus*. Zwischen diesem und dem *Subscapularis* erscheint die *Arteria transversa scapulae*, welche noch nachträglich in die Zeichnung eingetragen wurde. Das kleine Gefäss zwischen *M. supra* und *infraspinatus* ist dieselbe Arterie, in ihrem weiteren Verlaufe zur *Fossa infraspinata* durchschnitten.

Was die Darstellung der Fascien betrifft, so ist nur zu bemerken, dass dieselben so aufgezichnet wurden, wie sie sich vorfinden und dass die Breite der Linien etwas vergrössert werden musste, um sie überhaupt zu Gesicht zu bringen. Eine strenge Scheidung zwischen Bindegewebsstreifen und wirklichen Membranen war in der Zeichnung nicht möglich. Beide mussten einfach weiss gehalten werden.

TAFEL X.

Die vorliegende Tafel gibt einen Schnitt an der Grenze zwischen Brust und Hals von einem 22jährigen jugendlichen, kräftigen völlig normalen Körper, der ganz frisch, noch in Todtenstarre, auf die Anatomie gebracht wurde. Von demselben Körper wurde auch die folgende Reihe der Durchschnitte bis zum Becken herab genommen.

Die hier vorliegende Scheibe hatte eine Stärke von $3\frac{1}{2}$ cm und zeigt wie die übrigen die obere Fläche, so dass man von oben in den Körper hineinblickt. Die Arterien blieben uninjiziert. Der Schnitt traf vorn das *Manubrium sterni*, hart unter seinem oberen Rande, und hinten den 3. Brustwirbel nahe seiner oberen Grenze, mit einem Theil der darauffolgenden Bandscheibe. Von den übrigen Knochenstücken sieht man vorn neben dem Brustbeine die Durchschnitte der Schlüsselbeinenden, und zwischen beiden den Gelenkapparat mit dem Zwischenknorpel. Seitlich von den Sternalenden der Schlüsselbeine liegen die Durchschnitte der ersten Rippen, hinter diesen die der zweiten, und weiter nach rückwärts und einwärts die der dritten. Letztere sind nicht ganz gleichmässig getroffen worden. Während nämlich auf der linken Seite die dritte Rippe ein zusammenhängendes Stück darstellt, im Gelenk am *Processus transversus* und unmittelbar unter dem Gelenk am Wirbelkörper getroffen, ist von der rechten Rippe das mediale Ende fast vollständig entfernt worden, und nur noch ein Stückchen vom Köpfchen geblieben. Die Schulterblätter sind durch die Gelenkflächen geschnitten. Die Oberarmköpfe zeigen beide Rollhöfen und den unteren Theil der Gelenkflächen.

Vergleicht man Tafel IX mit der hier vorliegenden, also die Lage der Theile bei einem 50jährigen mit der an einem 22jährigen Manne, so last man dort den 3. Brustwirbel an seinem unteren Ende, hier an seinem oberen Ende getroffen, also bei dem jungen Manne ziemlich um eine Wirbelhöhe höher geschnitten als bei dem alten, und trotzdem das Brustbein an einer tieferen Stelle erreicht. Dies zeigt, da der Schnitt genau horizontal verlief, dass bei dem jugendlichen Körper das Brustbein höher stand als bei dem alten. Vergleicht man die Quer- und Tiefendurchmesser beider Brustschnitte mit einander, so findet man bei dem alten Manne den Tiefendurchmesser grösser, dagegen den Querdurchmesser geringer als bei dem jüngeren. Es ist nicht unmöglich, dass die vergrösserte, bis in den Thoraxraum hineinragende Schilddrüse zum Theil mit die Ursache dieser Verschiedenheit ist.

Ebenso fordert die Schulter zur Vergleichung auf, die in Folge der überaus kräftigen Muskulatur bei dem jüngeren Manne viel höher stand und deshalb bedeutend tiefer von der Säge getroffen worden ist. Man erkennt gleich an den grösseren Flächen, welche *Mm. pectoralis major, deltoideus, subscapularis* darbieten, dass hier eine stark entwickelte Muskulatur vorliegt. Zum Theil wird auch durch diese Muskelmassen die vordere Begrenzungslinie der Haut bedingt, die bei beiden so differirt; zum grossen Theile aber auch durch die verschiedene Schulterhaltung. Während nämlich der alte Mann mit leicht erhobenen Armen gefunden ankam, wodurch die Schultern etwas nach vorn gerückt waren, lagen die Arme bei dem hier abgebildeten Cadaver gestreckt neben dem Thorax.

Dagegen differirten auffallender Weise die Tiefen- und Querdurchmesser der Cadaver selbst in gleicher Höhe auffallend wenig, was sich auch schon durch Messung der hier vorliegenden Scheiben erkennen lässt. Der Querdurchmesser auf dieser Tafel beträgt 2 cm mehr als der auf Tafel IX, was zum grossen Theil auf Rechnung der Muskulatur kommt, da die Knochencontouren grosse Uebereinstimmung zeigen.

Was den mittleren Theil auf der vorliegenden Tafel anbetrifft, so ist die Lage der Gefässe und Nerven viel einfacher und verständlicher, als auf dem Schnitte durch den Körper des älteren Mannes, wo durch den bis in den Thorax hineinragenden Kropf wichtige Lageveränderungen hervorgebracht worden waren.

Hinter dem Sternum liegen die Durchschnitte der *Musculi sternothyroidei*, neben ihnen, hinter den Klavikeln, die der *Sternohyoidei*. Vor dem Sternum sieht man noch die sehnigen Ansätze der *Mm. sternomastoidei*. Geht man weiter nach innen, so zeigt sich hinter dem Muskelstreifen, welcher sich hinter Sternum und Klavikeln im Bogen quer von einer Seite zur andern zieht, durch die starke mittlere Halsfaszie davon getrennt, der obere Theil der *Thymus* und unmittelbar hinter dieser die sehr schräg von links nach rechts und unten verlaufende und deshalb sehr weit aufgeschnittene *Vena anonyma sinistra*. Den Stamm dieser Vene kann man noch ein Stück nach rechts hin verfolgen, fast bis zu dem Venenlumen, welches der senkrecht in sie hinabsteigenden *Vena thyroidea inferior* angehört. Jenseits dieser Vene lag der Stamm tiefer und schimmerte nicht mehr durch das Bindegewebe hindurch, daher erscheint auch die querschnittene *Vena anonyma dextra* davon isolirt.

Bei genauerer Betrachtung erkennt man in der weit aufgeschlitzten *Vena a. sin.* zwei kleine Oeffnungen. Die vordere davon gehört der linken *V. mammaria interna* an, die hintere dem *Ductus thoracicus*. Der *Ductus* mündete in diesem Falle etwas weiter nach innen als gewöhnlich, also in die *Vena anonyma* anstatt in die *Subclavia*; er konnte an der inneren Pleurawand der linken Lunge direkt nach hinten verfolgt werden, wo er dann nach abwärts umbog, um sich in die Wirbelsäule anzulegen.

Hinter der grossen Vene, die ziemlich mit Blut angefüllt war, und noch im erstarrten Zustand ihrer Wandungen, nach Wegnahme des Blutes, genau abgezeichnet wurde, liegen vier verschiedene grosse Arterienöffnungen, eine Reihe einhaltend, die schräg nach vorn und rechts bis zur Mittellinie verläuft. Dieselben entsprechen, von links angefangen, der *A. subclavia sin.*, *A. vertebralis sin.*, welche hier selbstständig aus dem Aortenbogen entspringt, der *A. carotis sin.*, und dem *Truncus anonymus*. Der Aortenbogen fand sich unmittelbar unter der Schnittfläche.

Die *Arteria anonyma* ist in Beziehung auf ihre Länge und ihre Ursprungsstelle vielfach variirend, jedoch stets so zur Mittellinie gelagert, dass sich zu ihrer Aufsuchung am meisten der von *Piragoff* vorgeschlagene Schnitt in der Mittellinie der *Excavatio jugulotrachealis* empfiehlt. Nach Versuchen an der Leiche habe ich mich überzeugt, dass das von ihm angegebene Verfahren am sichersten auf die Arterie führt.

Man wendet den Kopf nach links, drückt die rechte Schulter abwärts, und dringt mit dem Messer bis auf die vom Zungenbein und Kehlkopf zum Sternum herabgehende Muskelgruppe ein. Hier glitt es, genau in der Mittellinie zwischen beiden *Mm. sternothyroidei* einzuschneiden, und darauf die starke Halsfaszie zu trennen, mit welcher die grossen Venen fest verwachsen sind. Ist dies geschehen, so kann man bereits den Arterienstamm in dem lockeren Zellgewebe auf der *Trachea* isoliren und die Ligatur darum führen, nur hat man dabei zu bedenken, dass unmittelbar daneben die grosse *Vena anonyma sinistra* liegt, und quer über den *Truncus anonymus* verläuft; dass aber an der rechten Seite des *Truncus*, von hinten her gerechnet, der *Nervus vagus* herabzieht, wie auch aus der Abbildung ersichtlich ist. Der *Vagus* war hier unterhalb seiner Abwiegung des *Ramus recurrens* getroffen worden, liegt deshalb auch weiter nach rückwärts als höher oben; auf der linken Seite ist der *Ramus recurrens* zwischen *Oesophagus* und *Trachea* zu finden, der Stamm des *Vagus* aber vor der *Arteria subclavia*.

Aus der Lage der *A. anonyma* ist ersichtlich, dass Eitersackungen in das *Mediastinum* nach einer solchen Operation sehr leicht eintreten können; ebenso müssen die relative Kürze des Arterienstammes und der starke Druck im Aortenbogen die Bildung eines resistenten *Thrombus* ausserordentlich erschweren. Es ist daher vollkommen begründlich, dass selbst kunstgerechte Ausführungen dieser Ligatur von schlechten Erfolge begleitet sind. Die Lage der *A. anonyma* ist aber auch bei

Ansführung der Tracheotomie unterhalb der Schilddrüse zu berücksichtigen. Man wird sich darauf gefasst machen müssen, hierbei mitunter auf ein schräg über die *Trachea* verlaufendes arterielles Gefäß zu stoßen, wie es Fälle in einem Falle begegnete, und wird dieses Gefäß auf die *Asymmetria* zu beziehen haben.

Ueber die Unterbindung des aufsteigenden Theiles der *Arteria subclavia* und deren Gefahren ist schon oben gesprochen worden. Dagegen muss hier noch besonders hervorgehoben werden, dass auch bei normalen Verhältnissen, so wie sie hier vorliegen, die linke *Subclavia* in einer Einkerbung der *Pleura* liegt, dass somit dieselbe, so wie es auf dem Schnitt durch den Körper des älteren Mannes (Tafel IX) scheinen könnte, nicht erst durch den Druck der vergrößerten Schilddrüse gegen die *Pleura* angedrängt wird, sondern regelmässig dieses Verhältnis einhält.

Dagegen zeigt sich auf dieser Abbildung recht deutlich, dass durch Anschwellungen der Schilddrüse der *Oesophagus* sehr leicht aus seiner Lage gebracht und hinter die *Trachea* verschoben werden kann. Normalerweise weicht in der Gegend der oberen Brustapertur die Speiseröhre aus der Mittellinie nach links ab, und es erreicht diese Abweichung den höchsten Grad an der Gegend des 2. und 3. Brustwirbels. Ein ganz gleiches Verhalten fand ich bei Durchschnitten an einem anderen normalen männlichen Cadaver. Ebenso bildet auch *Pirogoff* auf *Taf. I, fasc. 2*, wo er einen Querschnitt in der Höhe zwischen 1. und 2. Brustwirbel an einem erwachsenen kräftigen Manne gibt, den *Oesophagus* seitlich zur Luftröhre ab. Daher kann auch nur bei stark ausgedehntem *Oesophagus* ein Abschnitt desselben in die Mittellinie hineinragen, wie sich auf dem von mir gegebenen Längsschnitt auf *Tafel I* zeigt. Bei zusammengezogener Speiseröhre lässt sich bei einem genauen Medianschnitt das *Continuum* desselben nicht darstellen. Dieses Lagerungsverhältnis macht es deutlich, dass man bei Ausübung der *Oesophagotomie*, vorausgesetzt, dass sich nicht linksseitige Anschwellungen der Schilddrüse vorfinden, auf der linken Seite der *Trachea* die Speiseröhre zu suchen hat, und aus der Abbildung allein schon ist es erklärlich, dass der Gang der Operation ähnlich sein muss, wie bei Aufsuchung der linken *A. carotis communis*, und *A. vertebralis*. Besondere Rücksicht ist hierbei auf den naheliegenden *Ramus recurrens nervi vagi* zu nehmen.

Ausserhalb der Brusthöhle, unter dem *M. pectoralis major* und *minor* liegt der *Plexus brachialis* und die *Vena subclavia*; zwischen beiden die *Arteria subclavia*. Nimmt man in dieser Gegend den *Pectoralis major* weg mit den Muskelfasern der *Arteria thoracicaocervicalis*, so kommt man auf eine dünne Faser, welche über den kurzen Kopf des *M. biceps*, den *M. coracobrachialis* und *M. pectoralis minor* wegzieht, sich medianwärts bis zum Sternoclaviculargelenk erstreckt, und mit dem *Mus. subclavius* verbindet.

Nach aufwärts zu, an der Verbindungstelle mit der scharfzahnigen, nach der 1. Rippe sich hinziehenden *Fascia coracoclavicularis*, hört die *Fascie* mit sichelförmigen Rande auf, und bildet so eine Öffnung nach aussen und oben zu, analog der *Fossa ovalis* am Schenkel, wodurch der Eintritt der *Vena cephalica* und *Arteria thoracicaocervicalis* in die Tiefe ermöglicht wird. Unterhalb dieser, in der *Mohrenheim'schen* Grube gelegenen Öffnung, ist der Schnitt zu dieser Abbildung verlaufen, so dass die Continuität dieser *Fascie* auf der Abbildung nicht unterbrochen ist, sondern sich durch eine weisse Linie wiedergeben liess. Die *Fascie* bildet mit ihrer hinteren Wand eine Scheide für *Pectoralis minor* und *Coracobrachialis* und stellt demnach die vordere Blatt der Gefässscheide für die Achselgefässe dar. Als solche heftet sie auch weiter oben die *Vene* an den *M. subclavius* und die *Clavicula* und verhindert dadurch deren Zusammenfallen, was bei Verletzungen der *Vene* an dieser Stelle Veranlassung zu gefährlichem Lufteintritt geben kann.

Das hintere Blatt der Gefässscheide wird von der *Fascie* des *M. serratus anticus major* und der Interkostalmuskeln, das äussere von der des *M. subscapularis* gebildet. Am Schultergelenk erkennt man durch schwarze Linien angedeutet die Höhle der Gelenkkapsel. Man sieht aber auch gut die Faltungen derselben, welche eine Dehnung des Kopfes ermöglichen und sich dabei auf der einen Seite ausgleichen, während sie auf der entgegengesetzten noch weiter sich zusammenlegen müssen. Die Verstärkungen der Kapsel durch die Ansätze des *Subscapularis* und *Teres minor* sind auf der Abbildung gut zu sehen. Ebenso war der Schleimbeutel zwischen der Sehne des *Subscapularis* und der Kapsel auf der rechten Seite gut erkennbar und durch eine schwarze Linie markiert worden. Auf der linken Seite war ein solcher nicht zu entdecken.

Um die Verhältnisse zu zeigen, wie sie hochgradige, pathologische Veränderungen der Lunge und Pleuren auf solchen Durchschnitten bedingen, habe ich aus dem grossen *Pirogoff'schen* Atlas zwei Abbildungen in linearen Umrissen copirt, und so umgedreht, dass sie mit

meiner Tafel correspondirende Seiten zeigen, also ebenfalls von oben nach abwärts in den Körper hineinblicken lassen. Sie sind auf halbe Grösse reducirt, ebenso wie der Holzschnitt *Fig. 1*, welcher das Mittelfeld meiner Abbildung, der besseren Vergleichung halber, darstellen zeigt. Die römischen Ziffern beziehen die Wirbel und Rippen; die arabischen die Gefässe, Luftröhre und Speiseröhre. Die umgebenden Muskeln und Abschnitte der oberen Extremitäten sind hinweggelassen worden, um die Holzschnitte vergleichbar zu machen.

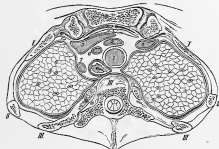


Fig. 1. Cadaver A. *Thorax viri adulti, 22 annorum, normalis. Tab. X. 1/2.*
1. Trachea. 2. Oesophagus. 3. V. cava superior. 4. V. cava inferior. 5. A. thoracica. 6. A. costalis etc. 1. A. subclavia etc.

Fig. 2 betrifft ein tuberkulöses Individuum von 18 Jahren mit grossen Cavernen im oberen Lappen der linken Lunge, und ist aus dem Atlas von *Pirogoff* genommen, aus einer Reihe von Durchschnitten, welche auch die Dislocationen des Herzens erläutern, und durch die Bezeichnung, Cadaver B, als zusammengehörig erkennbar sind.

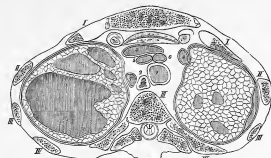


Fig. 2. Cadaver B. *Thorax juvenis, 18 annorum. Cavernae tuberculosae. Pirogoff, II, 2, 2. 1/2.*
1. Trachea. 2. Oesophagus. 3. V. cava superior. 4. V. cava inferior. 5. A. thoracica. 6. A. costalis etc. 1. A. subclavia etc.

Der Schnitt verlief ziemlich in gleicher Höhe wie der meinsige, gibt also ein gut vergleichbares Bild. *Pirogoff* liess beide Schnittflächen abbilden, da die Säge so viel Masse hinweggenommen hatte, dass die Linien auf beiden Schnittflächen nicht unverschieden von einander differirten. Von diesen wurde das passende Bild herausgenommen und genau auf halbe natürliche Grösse verkleinert. *Pirogoff* gibt im *Texte, fasc. II, p. 10*, an, dass nach dem Erhitzen des Körpers die oberen Extremitäten mit den Schulterblättern hinweggenommen worden seien. Die *Pulmonopleura* war mit dem Costalblatte dicht verwachsen. Die Cavernen, welche durch Schrumpfung im Lungenbezirk leicht erkennbar sind, besaßen eine enorme Grösse. Die linke Seite des *Thorax* war an Cadaver bedeutend eingesunken gegenüber der rechten. Betrachtet man aber die Durchschnittezeichnung, so fällt diese Einziehung weniger auf. Nur zwischen dem I. und II. Rippen durchschnitten ist eine schwache Einbiegung des äusseren Contours zu bemerken. Dagegen ist der quere Durchmesser des linken Thoraxraumes nicht unbedeutend grösser als der der rechten Hälfte. Es ist leider nicht von *Pirogoff* angegeben worden, ob weiter nach abwärts sich vielleicht ein abgesehenes pleuritisches Exsudat vorfindet, welches die Ursache dieser Verbreiterung hätte sein können. Es lässt sich deshalb auch über die veränderte Form des Mediastinalraumes und deren Ursachen wenig Erhebliches sagen. Der Schnitt selbst ist fast um eine Wirbelhöhe tiefer gefallen als der meinsige.

Fig. 3 zeigt einen Schnitt, der genau in derselben Höhe geführt wurde, als der meinsige. Er wurde an einem erwachsenen Manne gemacht, der einen linksseitigen *Pneumothorax* hatte, erst kurz vor dem Tode entstanden. Die linke Lungenspitze lag tiefer, comprimirt durch die Luft- und Eitermenge, und war deshalb auf diesem Schnitt gar nicht sichtbar. Auf der rechten Seite war die Lunge nahe an ihrer Kuppel durchgeschnitten worden.

Es ist deutlich ersichtlich, dass die Ausdehnung der linken Thoraxhälfte nicht nur durch Erhebung der Rippen zu Stande gekommen war, sondern auch durch Einwärtsdringung des Mittelfells, wodurch die Theile im oberen Mediastinalraume ziemlich bedeutend aus ihrer Lage gerückt erscheinen.

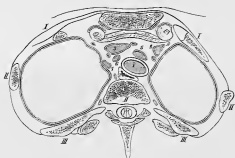


Fig. 3. Cadaver C. Thorax viri adulti Pneumothorax lateris sinistri. Pirroff, II, 2, 3, 1/2.

1. Trachea. 2. Oesophagus. 3. V. superior d. 4. V. superior s. 5. Arteria superior. 6. A. aorta d. 7. A. aorta sin. 8. A. subclavia d. 9. A. subclavia sin.

In dieser Gegend bildet die Clavicula mit der 1. Rippe eine bewegliche Zwinge, welche bei bestimmten Bewegungen der Arme im Stande ist, nicht nur die Arteria, sondern auch die Vena subclavia an der Passage über der 1. Rippe wasserdicht zu verschliessen. Der Werth einer solchen Compression bei Verwundungen des Armes wie der Achselhöhle ist so augenfällig, dass er nicht erst noch weitläufig auseinander-gesetzt zu werden braucht. Herr Dr. Herzog hat über dies Verhält-niss unter meiner Leitung auf hiesiger Anatomie eingehende Unter-suchungen angestellt und dieselben in der Deutschen Zeitschrift für

Chirurgie, 1882, XVI. Band veröffentlicht. Die beifolgende Figur ist eine Copie seiner daselbst gegebenen Abbildung.

In sehr eingehender und klarer Weise hat Herzog aber auch die Fascienverhältnisse dieser Gegend behandelt, und nachgewiesen, dass

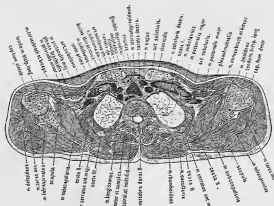


Fig. 4.

dieselben sehr kräftig wirkende Saugapparate bilden, welche nicht nur für die Bewegung des Venenblutes, sondern auch für die der Lymphe und des Chylus von hervorragender Bedeutung sind.

Die Herzog'sche Arbeit ist so unfinglich und werthvoll, als dass sie hier in Kürze mitgetheilt werden könnte. Ich verweise daher auf das Original selbst.



TAFEL XI.

Die hier abgebildete Scheibe zeigt die obere Fläche und gehört zu demselben normalen Körper wie die übrigen. Ihre Stärke betrug $3\frac{1}{2}$ cm. Der Schnitt geht durch den unteren Rand des Aortenbogens, einen halben Centimeter oberhalb der Theilung der *Trachea* in beide Bronchien, schneidet den 4. Brustwirbel etwas unter seiner Mitte und theilt das *Sternum* unmittelbar unter dem Ansatz der 1. Rippe, so dass auf der rechten Seite noch ein Knorpelstreifen derselben zu erkennen ist. Das Schulterblatt wurde unter der *Spina*, und der *Humerus* unter den Rollhügeln getroffen. Der Schnitt traf gerade den oberen Rand des *M. teres major* und legte den Verlauf der *Arteria circumflexa humeri posterior* mit dem *Nervus axillaris* ein Stück weit frei. Nerv und Gefässe gehen in direkter Richtung auf den *M. deltoideus* zu. Der Schnitt macht es klar, dass beide hinter dem *Humerus* vorbei gehen müssen, um zur Mitte des *Mus. deltoideus* gelangen zu können.

Die Achselgefässe und Nerven liegen auf dem *M. subscapularis* und unter dem *M. coracobrachialis*. Ihre Lage zu einander ist eine andere geworden, als auf der vorhergehenden Schnittfläche. Die Arterie liegt nämlich nicht mehr zwischen Nerv und Vene, sondern wird von den Wurzeln des *Medianus* so umstrickt, dass sie durch eine ziemlich grosse Nervenmasse von der Vene abgedeckt erscheint.

Der *Thorax* ist hart an dem unteren Rande der 1. Rippe quer durchgeschnitten worden. Man erkennt noch auf der rechten Seite des *Sternum* ein Stüchken vom Knorpel der Rippe, und hat der Lage entsprechend eine breitere Durchschnittsfläche vom Handgriffe des Brustbeins als auf der vorhergehenden Tafel. Hinter dem *Sternum* zeigt sich als dunkler Streifen der Ansatz der *Mm. sternothyroidei*, und seitlich davon schliessen die Interkostalmuskeln den Brustkasten nach aussen ab, um sich zu den zweiten, dritten und vierten Rippen ansetzen. Nach hinten schliesst den Raum der Durchschnitt des vierten Brustwirbels, welcher so nahe an seinem unteren Ende getroffen wurde, dass bereits die Gelenkfortsätze des nächstfolgenden Wirbels in die Schnittfläche heraufragen, und auf der rechten Seite ein Streifen von der 5. Rippe zu sehen ist, während auf der linken Seite die *Parsia endothoracica* die Abgrenzung bildet.

Die Form des Thoraxdurchschnitts hat die Gestalt eines Kartenherzens, hervorgebracht durch das Vorspringen des Wirbelkörpers und das Zurückweichen der Rippensauflage. Es hat Hyrtl, *topogr. Anatomie*, 1860, I, 492, bemerkt, dass diese Form mit der Haltung des Menschen beim aufrechten Gange zusammenhänge, da bei dieser Form der Schwerpunkt der Brustgeweide näher an die Stütze des Stammes rücke. Bei Thieren fehle diese Vorsprung. Man kann aber nicht behaupten, dass diese Form erst in Folge der aufrechten Stellung entstehe; denn beim neugeborenen Menschen, dessen Wirbelaukrümmung fast null ist (Pirogoff, *de m. a. o. fasc. I. A. Tab. 16, Fig. 2*), ist diese Kartenherzform des Brustkastendurchschnitts schon vorhanden, wie ich aus eigener Beobachtung sowohl, als auf Grund der von Pirogoff gegebenen Querschnitte neugeborener Kinder, *fasc. II, Tab. 20*, angeben kann. Dagegen fand ich das Verhältniss der Breite zur Tiefe in gleicher Höhe beim kindlichen *Thorax* sehr verschieden von dem im *Thorax* des erwachsenen Menschen. Während nämlich beim neugeborenen Kinde der Tiefendurchmesser sich ungefähr zum Querdurchmesser verhielt wie 1:2, zeigt sich beim Erwachsenen auf der vorliegenden Tafel das Verhältniss wie 1:3. Bei einem älteren pathologischen Individuum zeigte sich dagegen ein dem kindlichen Habitus sich annäherndes Verhältniss, nämlich 1:2.5.

Beide Lungen befinden sich im Zustande der Expiration, und zwar in einem so hohen Grade derselben, wie er im Leben beim gewöhnlichen Athembolen während der Respirationspause nie erreicht wird. Das Zusammenziehen der Lungen nach dem Tode von ihrer Elasticität abhängig ist, so wird auch der Raum, den sie allmählich einnehmen, um so kleiner werden müssen, je jünger, gesünder, elastischer die betreffenden Lungen sind; und die Zusammenziehung der Lungen in gleichem Masse tabe ein Aufwärtzrücken des Zwerchfells und damit des Herzens und der Leber und Milz bedingt, so werden wir bei jungen und

kräftigen Individuen einen höheren Stand des Zwerchfells und seiner Nachbarorgane nach dem Tode vorfinden als bei älteren oder kranken.

Vergleicht man nun Durchschnitte von älteren Individuen mit dem hier vorliegenden, so findet man dasselbe Bild erst bei einer tieferen Wirbelhöhe (bei einem 50jährigen Manne am 6. Brustwirbel). Man wird demnach bei Bestimmung der Lage des Aortenbogens, der Luftröhrentheilung u. s. w. jedesmal das Alter des Individuums mit in Betracht ziehen müssen, und wird nicht eine bestimmte Wirbelhöhe für die Details der Brusteingeweide als die normale allgemein hier aufstellen dürfen.

Die Lungen selbst wurden am unteren Ende ihrer oberen Lappen geschnitten, so dass links bereits ein Streifen von unteren Lappen in die Schnittfläche hineinragt, welches, wie die Zeichnung auch erkennen lässt, nach abwärts an Grösse rasch zunimmt. Vorn, zwischen den Lungen, liegt die *Thymus*, die sich fast stets bis in die 20er Jahre hinein vorfindet, und deshalb Medianschnitte an jüngeren Individuen ohne Eröffnung der Pleurahöhlen möglich macht. Bei älteren Leichen liegen nach dem Schwunde der *Thymus* die beiden Lungen so dicht aneinander, dass bei solchen Schnitten die Eröffnung der Pleurahöhle unvermeidlich wird.

Ich unterlasse es, über die Einzelheiten der Form des *Mediastinum* zu sprechen, da bereits von Hyrtl, *top. Anat. I, 547*, und von *Lucaschka in Virchow's Archiv*, XV, 364, vorzügliche Darstellungen dieses Raumes gegeben sind. Es ist der Mediastinalraum ausserordentlich veränderlich, da er nur vorn und hinten von festen Grenzen eingeschlossen wird, zu beiden Seiten aber die beweglichen Mittelfelle hat. Die Volumenveränderungen der Lungen durch Athmen, durch Gesehveränderungen, müssen auch die Lage der Mittelfelle verändern. Dem kommt ferner, dass der Inhalt des Mittelfellraumes schon an sich ein beweglicher und veränderlicher ist. Die Speiseröhre nimmt im gefüllten Zustande einen anderen Raum in Anspruch, als wenn sie leer und zusammengefallen ist. Dasselbe gilt von den grossen Gefässen, die nach jeder Herzcontraktion ihre Grösse nicht unbedeutend verändern.

In der Höhe des *Manubrium sterni*, in der wir uns auch auf der vorliegenden Abbildung befinden, ziehen die Mittelfelle von aussen, der Gegend des Sternoclaviculargelenkes, nach einwärts und abwärts herab, so dass der Raum nach unten zu sich trichterförmig verengert. Dadurch ist es möglich, auf die *Thymus*, den oberen Rand des Aortenbogens mit den drei abgehenden Arterien, die *Vena cava superior* mit den beiden ungenannten Venen zu gelangen, ohne dass eine *Pleura* geöffnet zu werden braucht. Ebenso können Perforationen der hinter dem *Manubrium sterni* liegenden Partie der Luftröhre von der vorderen Brustwand aus stattfinden, ohne dass die *Pleura* dabei getroffen wird. Um in gleicher Wirbelhöhe die Verhältnisse bei pathologischen Veränderungen vergleichen zu können, habe ich einige Abbildungen aus

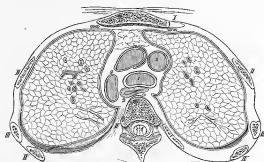


Fig. 1. *Coluber A. Thorax viri subiti, 22 aetatis, normalis. Tab. XI, 1/2.*
1. Trachea. 2. Oesophagus. 3. Vena cava superior. 4. Arteria aorta.

Pirogoff's Atlas entnommen, sie auf halbe Grösse reducirt und umgekehrt, damit sie von oben nach abwärts den Blick in den Körper gestatten und die rechte Seite der Abbildung sich somit auch zur rechten Hand des Beschauers findet, ebenso wie bei meiner Tafel, die der

besseren Vergleich halber ebenfalls in halber natürlicher Größe hier in Figur 1 beigegeben wurde.

Von der *Pirogoff'schen* Abbildung, welche denselben Cadaver mit linksseitigem *Pneumothorax* betrifft, welcher zu Tafel IX. mit abgebildet wurde, wurde das Spiegelbild genommen, um so die Seiten meiner Abbildung correspondierend zu erhalten. Der Schnitt ging nach *Pirogoff's* Angabe vorn durch den 2. Intercostalraum, traf dann die 3., 4. und 5. Rippe am unteren Rande des 4. Brustwirbels, so dass bei dem *Pirogoff'schen* Cadaver C. das *Sternum* bedeutend höher gestanden haben muss als bei dem meinigen. Denn während die hinteren Skeletpartien ganz gleiche Verhältnisse zeigen, differieren die Schnitte am *Sternum* um die ganze Höhe einer Rippe und eines Intercostalraumes. Man kann wohl diesen hohen Stand des *Sternum* aus dem *Pneumothorax* und dem rechtsseitigen Lungenemphysem erklären. Die linke Lunge liegt zusammengedrückt hinten an der Wirbelsäule, durch einen

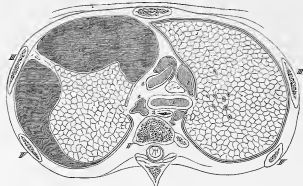


Fig. 2. Cadaver C. Thorax viri adult. Pneumothorax lateralis sinistri. *Pirogoff, II, 6, 2. 1/2.*

1. Sternum. 2. Oesophagus. 3. Vena cava superior. 4. Aorta. 5. Vena cava inferior.

pseudomembranösen Strang an die Thoraxwand angeheftet. Die rechte Lunge, durch sekundäres Emphysem gewaltsam ausgehöhlt, zeigt die Ausdehnung aller Pleuraflächen, die auf meiner Abbildung zu sehen sind, und zugleich auch die obere Hohlvene, 3, zusammengedrückt. Der ganze Thorax zeigt in Folge der Ausdehnung eine andere Form als bei Fig. 1. Entsprechend dem stärkeren Drucke in der linken Brusthöhle sind auch die im *Mediastinum* liegenden Theile, *Trachea*, *Oesophagus*, *Aorta* um ein bedeutendes Stück nach rechts hinüber geschoben worden. *Pirogoff* hat von jedem Körper mehrere Schnitte abnehmen lassen und abgebildet, so dass ich mich veranlasst sah, die einzelnen Cadaver mit Buchstaben besonders zu bezeichnen, so dass jeder Leser im Stande ist, denselben Cadaver auf den verschiedenen Durchschnittsabbildungen wieder zu finden. Das Cadaver A. gehört dem kräftigen Manne, von dem meine Haupttafel abgenommen sind; Cadaver B., C., D. gehören zu den *Pirogoff'schen* Darstellungen. Cadaver C. stammt nach den Angaben *Pirogoff's*, *Text* pag. 23, *fasc. II.*, von einem Manne mittleren Lebensalters, welcher im Hospitale starb und beträchtliche pleuritische Ergüsse hatte. Ausserdem fand sich noch eine *Hydropneumothorax* und Insufficienz der Semilunarklappen an der *Aorta*.

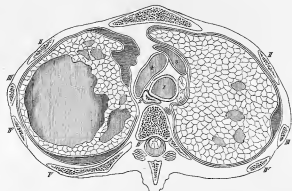


Fig. 3. Cadaver D. Thorax juvenis, 20 annorum. Cavernae tuberculosae; Pleuritis. *Pirogoff, II, 5, 1. 1/2.*

1. Sternum. 2. Oesophagus. 3. Vena cava superior. 4. Aorta.

Der Schnitt in Fig. 3, welche ebenfalls mit Umkehrung der Flächen aus dem *Pirogoff'schen* Atlas genommen wurde, zeigt dieselben Skeletverhältnisse wie meine Abbildung. Ebenso hat die rechte Lunge,

welche verhältnissmässig wenig afficirt war, nahezu dieselbe Form wie die auf meiner Tafel. Nur die vordere Spitze der Lunge ist in Folge der Verwachsung beider Pleuren vorn an Stelle der *Thymus*, etwas nach links herüber gezogen worden. Dagegen zeigt die linke Lunge hochgradige Veränderungen in Folge der Infiltration mit Cavernenbildung. Dass die linke Seite des Thorax nicht mehr eingesunken erscheint, ist wahrscheinlich durch den pleuritischen Erguss bedingt worden. Nach Angabe *Pirogoff's* pag. 15, *fasc. II.*, war das Bindegewebe im *Mediastinum* durch vorausgegangene Entzündungen wesentlich verändert. Es zeigen sich feste Verwachsungen der Pleuren sowohl an den Rippenflächen, wie im Innern des *Mediastinalraumes*, und damit im Zusammenhange Verlöthungen der daselbst liegenden Organe untereinander, die auf den Abbildungen begrifflicherweise nicht wiedergegeben werden konnten. Der Kranke war ein junger Mann von 20 Jahren, der im Hospitale starb.

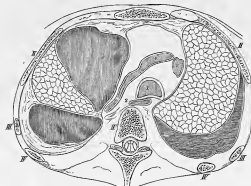


Fig. 4. Cadaver E. Thorax viri. Empyema lateris sinistri. Accumulatio seri in cavo pleur. dext. *Pirogoff, II, 10, 1. 1/2.*

1. Sternum. 2. Oesophagus. 3. Vena cava superior. 4. Aorta.

Die Abbildung, Fig. 4, stammt ebenfalls aus dem Atlas von *Pirogoff*, und wurde von dem Körper eines Mannes gewonnen, der nach *Pirogoff's* Angabe an einer „*acrobatischen Pleuritis*“ mit starken Eiter- und Bluterguss in der linken Pleurahöhle starb. Der vordere Rand der linken Lunge war so mit der verdickten Pleura verwachsen, dass die Pleurahöhle dadurch in 2 Kammern getheilt wurde, von denen jede eine beträchtliche Quantität Jauche und Blut enthielt. Die linke Lunge selbst war comprimirt und verwachsen. Die Höhle des Herzbeutels zeigte in Folge der Compression, welche sie durch das starke pleuritische Exsudat erlitt, eine winklige Gestalt. Das linke Herz war stark hypertrophirt, die *Valvula mitralis* mit Excresezen besetzt. Der Schnitt, welcher in gleicher Höhe wie der meine verlief, nämlich durch die Mitte des ersten Intercostalraumes hindurchgehend, die 2., 3., 4. Rippe traf und den 4. Brustwirbel in seiner unteren Hälfte schnitt, zeigt eine gewaltige Verschiebung des *Mediastinum*. Mit dem *Mediastinum* ist die *Trachea* durch den Druck der grossen Flüssigkeitsmenge in der linken Pleurahöhle weit nach rechts hinüber geschoben worden, wie der Vergleich mit den normalen Verhältnissen in Fig. 1 ergibt. Ebenso liegt der *Oesophagus* um eine halbe Wirbelbreite zu weit nach rechts, so dass die Deglutition sicherlich dadurch beeinträchtigt sein musste. Namentlich zeigt sich aber die nach rechts gehende Dislocation an der *Vena cava superior*, welche nahezu bis an die Mitte der rechten Thoraxhälfte hinübergerückt ist. Der Aortenbogen ist in Folge vorausgegangener Entzündungen im *Mediastinum*, welche eine Menge von Verwachsungen der daselbst liegenden Organe hervorgebracht hatte, so dislocirt und im Lumen verknüpft, dass er sich wie eine enge Spalte ausnahm; Veränderungen, die ihren Einfluss bis auf das Herz geltend machen mussten, von denen leider in dem *Pirogoff'schen* *Text*, pag. 60, *fasc. II.*, nichts erwähnt wird. Die Lageveränderung der rechten Lunge war hauptsächlich mit durch die Organisation des daselbst vorhandenen pleuritischen Exsudates hervorgebracht worden. Ganz besonders deutlich springt auch die Einsenkung der linken Thoraxhälfte in die Augen, welche besonders an der Durchschnitthälfte der 2. Rippe hervortritt. Es wird wohl nicht in Abrede zu stellen sein, dass das ursächliche Moment dazu in dem langbestehenden Exsudat auf dieser Seite gegeben ist, mit den narbigen Massen, welche durch die Striche auf der Abbildung allerdings nur schwach wiedergegeben werden konnten; ohne dass damit gesagt sein soll, dass alle Einsenkungen der Thoraxwand auf narbige Contractionen zu beziehen seien.

TAFEL XII.

Die vorliegende Abbildung stellt die obere Fläche einer $3\frac{1}{2}$ cm starken Scheibe dar, und schneidet den Rumpf unmittelbar unter dem Sternalanats der zweiten Rippen sowie der oberen Fläche des 6. Brustwirbels; nach aussen ging die Säge durch das Fett am Boden der Achselhöhle und traf die Oberarmknochen am Ansatz des *M. teres major*.

An den Oberarmknochen sieht man die schrägen Ansätze der grossen Pektoralismuskeln, welche durch das Anlegen der Arme an den Rumpf so gefaltet worden waren, dass sie einen flachen Bogen nach aufwärts bildeten und somit zwei mal von der Säge getroffen wurden. Unter der Sehne derselben liegt der *M. biceps* und *M. coracobrachialis*, dicht unter letzterem erscheint das Gefäss- und Nervenbündel, und zwar in solcher Anordnung, dass die *Arteria axillaris*, bedeckt vom Nervegelecht, zunächst am Muskel gefunden wird. Will man daher die *Axillaris* zum Zwecke ihrer Unterbindung aufsuchen, so muss man bei stark erhobenen Armen die Fascie des *Coracobrachialis* einschneiden und von der Scheide des Muskels aus, der sich leicht nach aussen ziehen lässt, auf die Arterie eingehen. Man vermeidet so am sichersten verletzende Quetschungen der Vene und der Nerven.

Wichtiger aber als die Verhältnisse der Arme, sind auf dieser Tafel die Partien des Rumpfes, der im zweiten Intercostalraume genau horizontal durchschnitten vorliegt. Man erkennt, dass der Schnitt die grossen Herzarterien unmittelbar über ihren Klappen getroffen hat, und dass der linke Vorhof des Herzens mit dem obersten Rande des Herzohres bereits in die Schnittfläche hineinragt. Das Herzohr des rechten Vorhofs liegt etwas tiefer, lässt sich aber vor der aufsteigenden *Aorta* eben noch erkennen.

Vorn, hinter dem Sternum, stossen die beiden Lungen mit ihren Pleurasäcken beinahe zusammen, so dass nur ein schmaler Raum übrig bleibt, welcher zu der von den vorderen Mittellappen eingeschlossenen *Thymus* führt. Man sieht somit, dass an diesem Cadaver ein Medianschnitt den rechten Pleurasack hätte eröffnen müssen.

Die Conturen des Herzbeutels sind durch die Zeichnung deutlich markiert. Derselbe erstreckt sich in dieser Höhe links bedeutend weiter nach hinten, als rechts, entsprechend der höheren Lage des linken Herzohres. Rechts schliesst er vor der oberen Hohlvene ab, erstreckt sich aber zwischen dieser und der *Aorta* nach hinten bis zum rechten Aste der Pulmonalarterie, und vermittelt dadurch wie ein Schleimbeutel die zur Funktionirung nöthige Beweglichkeit beider Gefässe gegeneinander.

Da die Gefässstämme, welche aus den Lungen in den linken Vorhof und aus dem rechten Ventrikel in die Lungen führen, in horizontaler Richtung verlaufen, so sind auch bei dem Horizontalschnitte durch die Lungenwurzel viele von ihnen mehr der Länge nach getroffen worden, während die mehr senkrecht vom Herzen und zum Herzen gehenden Körpergefässe des grossen Kreislaufes quer geschnitten erscheinen.

Von den Gefässen des kleinen Kreislaufs ist besonders die Lungenarterie ins Auge zu fassen, welche in einem grossen Theile ihres Verlaufes frei gelegt ist. Sie ist unmittelbar über ihrem Ursprunge getroffen, und in der ganzen Länge ihres rechten Lungenastes aufgeschnitten. Der linke Ast wurde abgeschnitten, da er nicht in gleicher Ebene lag, sondern etwas nach aufwärts stieg, um im Bogen über den linken *Bronchus* und das *Atrium sinistrum* hinweg zur linken Lunge zu gelangen. Es verlief aber auch sogar der Stamm der Lungenarterie selbst etwas nach links, hinten und aufwärts, wie aus der oberen Fläche des Schnittes erkannt werden konnte, und wie sich auch aus dem hohen Stande des linken Herzohres auf der vorliegenden Abbildung selbst schliessen lässt.

Denklich sichtbar ist die Fixirung der *Aorta* an die *Pulmonalis*, und die bewegliche Lage der ersten zur *Vena cava*. Wichtig erscheint die Lage der *Aorta* vor dem rechten Aste der *Pulmonalis*, welche bei aneurysmatischen Erweiterungen des Anfangsstückes der *Aorta* eine Compression der rechten Pulmonalarterie erwarten lässt.

Die Lage der Klappen der *Pulmonalis* und *Aorta* zur Thoraxwand wurde noch im festen Zustande des Präparates genau bestimmt, und lässt sich auch aus der Abbildung annäherungsweise erschliessen. Das *Ostium pulmonale* lag an dem linken Sternalrande unter dem oberen Rande des Knorpels der dritten Rippe; das *Ostium aorticum* hinter der linken Hälfte des Sternum, in der Höhe des dritten Rippenknorpels, also etwas tiefer, hinter und rechts zur Öffnung der *Pulmonalis*. Die Krümmung der *Aorta* hinter dem Anfangstheil der *Pulmonalis* ist auf der Zeichnung möglichst genau wiedergegeben worden; ebenso die Lage der Aortenklappen. Es muss aber bei solchen Bestimmungen ausdrücklich betont werden, dass man nicht damit die Verhältnisse am Lebenden genau wiedergibt. Abgesehen von dem Einflusse, den die Füllung und Spannung der Gefässe geltend macht, wird die Lage des Herzens und seiner grossen Gefässe hauptsächlich durch die umgebenden Lungen und durch das Zwerchfell bestimmt; und somit auch durch jede Ortsveränderung dieser so beweglichen Organe mit verändert. Es wird im Texte zur nächsten Tafel dieses Verhältniss noch weiter besprochen werden.

Die beiden *Bronchi* sind deutlich zu erkennen. Während der linke in Folge seiner weniger steilen Richtung mehr schräg und in zämilicher Strecke seiner Verzweigung getroffen wurde, ist der steil herabgehende rechte *Bronchus* mehr quer geschnitten und mehrere seiner Aeste bereits völlig abgetrennt worden. Zwischen ihnen liegen die der Lungenwurzel eigenthümlichen zahlreichen schwarz tingirten Bronchialdrüsen.

Nähezu in der Mitte vor dem 6. Brustwirbel liegt der *Oesophagus*; links hinter und neben ihm die absteigende *Aorta*, die bereits ihre Richtung nach der Mitte zu nimmt; zwischen beiden, grau markirt, der hier doppelte *Ductus thoracicus*. Der *N. vagus* lag rechts neben der Speiseröhre und der dahinter liegenden *Vena azygos*; links, zwischen *Bronchus* und *Aorta descendens*.

Es ist für den praktischen Arzt von Wichtigkeit, die Veränderungen zu sehen, welche pathologische Zustände auf solchen Durchschnitten bedingen. Deshalb habe ich zwei Abbildungen aus *Pirogoff's* Atlas, welche von erkrankten Individuen abgenommen wurden, hier beigegeben. Fig. 1 zeigt die Verhältnisse bei massenhaften pericardialen Exsudat in gleicher Rippenhöhe mit meinem Durchschnitte.

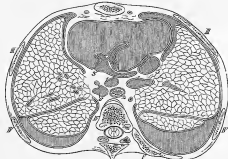


Fig. 1. Thorax viri adulti. Hydropericarditis. Bronchiectasis valv. aortae.

Pleuritis. Pirogoff, II, 6, I. $\frac{1}{2}$.

1. 2. Bronchus. 2. Oesophagus. 3. Arteria pulmonalis. 4. Aorta ascendens. 5. Vena cava superior. 6. Aorta descendens.

Man erkennt die colossale Ansdellung, welche der Herzbeutel an der Wurzel der grossen Gefässstämme erhalten hat; beide Pleurasäcke sind weit auseinander gedrängt worden, namentlich hat der rechte eine starke Einbiegung erhalten. Die *Arteria pulmonalis* mit ihrem rechten Lungenaste hat ihre Lage zur Mittellinie nur wenig verändert; die stark vergrösserte, aber gefaltete *Aorta* liegt dagegen bedeutend weiter nach rechts hinüber als im normalen Zustande, und ist ziemlich weit von der *Vena cava* abgedrängt. Ausserdem sind sämmtliche Gefässe durch das Exsudat, welches eine deutliche Percussionsdämpfung bis in den 2. Intercostalraum hinauf erzeugen musste, ziemlich weit nach der Wirbelsäule zu verschoben.

Der Schnitt *a-f*, wie *Proffoy* im Texte zu seinem Atlas (*fase. II, pag. 22*), zeigt, durch den oberen Rand des 2. Intercostalraumes, theilweis die 3., 4. und 5. Rippe auf beiden Seiten, und traf den 4. Brustwirbel in der Nähe seines oberen Randes. Das Alter des Mannes, welcher längere Zeit im Hospitalge heilte, und daselbst starb, ist nicht genau bezeichnet, als durch die Angabe „mittleres Lebensalter“. Es war auf jeden Fall höher, als das des Individuum, von welchem meine Zeichnung genommen wurde. Bemerkenswerth ist, dass während in der Nähe des *Sternum* beide Schnitte in fast gleicher Höhe der Rippen bogenförmig, sie hinten in verschiedener Wirbelhöhe austraten. In dem *Proffoy*'schen Bilde wurde der 4. Brustwirbel getroffen, bei meiner Tafel der 6. Da die Bestimmung der Herzlage vom Kliniker nach den Knochen der vorderen Brustwand getroffen wird, so habe ich trotz dieser Wirbelhöhenunterschiede das *Proffoy*'sche Bild zur Vergleichung ausgewählt, weil es in gleichem Intercostalraume wie das meine angelegt wurde. Man muss nur in Auge behalten, dass bei dem *Proffoy*'schen Cadaver durch die Excostastrassen im *Pericardium* und in den Pleurahöhlen die Rippen oberer waren, mit ihren vorderen Enden um 2 Wirbelhöhen höher standen als die bei meinem Cadaver.

Die folgende Abbildung, Fig. 2, zeigt die Lageverschiebung der Theile auf gleichem Durchschnitte bei linksseitigem pleuritischen Exsudate und *Pneumothorax*. Das Cadaver ist dasselbe, von welchem Fig. 2 im Texte zu Tafel X genommen worden ist. Man erkennt deutlich die Ausdehnung der linken Thoraxhälfte und die Verschiebung der

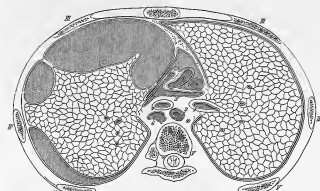


Fig. 2. Cadaver C. Thorax viri adulti. Pneumothorax lateris sinistri.
Diseas. II 7 2 31.

1. I. Boudak. 2. Ouzghagias. 3. Arteria pulmonalis. 4. Aorta ascendens. 5. Vena cava superior. 6. Aorta descendens.

grossen Gefässstämme nach rechts und hinten. Der Anfang der *Arteria pulmonalis* liegt hinter dem rechten Sternalrande, der der *Aorta* hinter dem Ansätze des rechten 3. Rippenknorpels.

Der *Protopharynx* des Schnitt (verg. Text zu p. Adas, fasc. II, pag. 29) verläuft in genau horizontaler Richtung durch den oberen Rand des 8. Rippenknorpels, theilte die 3., 4. und 5. Rippe auf beiden Seiten, und ging durch den oberen Rand des 5. Brustwirbels. Also auch hier wurde ein höher liegender Wirbel getroffen als bei meinem Cadaver, was sich durch die Ausdehnung des *Thorax* und die dadurch bedingte Inspirationstellung der Rippen erklärt. Auffallend bleibt es, dass zugleich mit der linken Seite auch die rechte sich soweit hob, so dass zugleich mit dem Durchschnitte ein fast symmetrisches Bild der Ripperdurchschnitte zu Stande kam. Ausser der schmalen pleuräischen Adhäsion, welche in Form eines Stranges von der Rippenwand zur Lunge verläuft (vergleiche den Holzschnitt auf p. 97) fanden sich hier weitere Adhäsionen, welche das Pleuraum in drei Abtheilungen zerlegten, die übrigen unter sich communicirten. Die linke Lunge war sehr geringe fast völlig comprimirt und mehrfach mit der Costalpleura verwachsen, so dass sie auf dem Durchschnitte das rothvorne Aussehen erhielt.

Da die normalen Verhältnisse der Brustorgane auch von *Henke*, *Luschka*, *Henle*, *Meyer* u. A. eingehend behandelt worden sind, so verweise ich des Näheren auf die betreffenden Werke, und füge nur noch die Resultate einiger Beobachtungen über Herzdilatation bei Flüssigkeitsansammlungen in den Pleurahöhlen hinzu.

Fig. 3 stellt die normalen Lageverhältnisse des Herzens zur vorderen Thoraxwand dar, so wie sie von nach zahlreichen Leichenuntersuchungen als für das jugendliche Mannesalter geltend bestimmt wurden. Nach Bestimmung der einzelnen Punkte war das Herz in den *Thorax*, der wie aus unendlicher Entfernung gesehen dargestellt wurde, im gefüllten Zustande eingetragen. In Folge der Anfüllung des Herzens mit Injectionsmasse, die unter einem nur mäßigen Drucke erfolgte, ist das linke Herzrohr weiter sichtbar geworden, als es im leeren Zustande der Fall zu sein pflegt.

W. BRUNN, *Assoc. S. Asst.*

Fig. 4 stellt eine hochgradige Verschiebung des Herzens nach rechts dar, hervorgerufen durch ein grosses linksseitiges pleuritisches Exsudat. Das Herz wurde bei Rückenlage durch 6 lange Stahlnadeln an die vordere und hintere Thoraxwand fixiert, und danach die Lage der einzelnen Theile zur vorderen Thoraxwand möglichst genau bestimmt. Man erkennt, dass das Herz an der Spitze bedeutend mehr dislocirt



Fig. 3. *Situs cordis normalis*. $\frac{1}{c}$



Fig. 4. *Dislocatio cordis.*
Exsudat. pleurit. lat. sinistr. 1/2.

ist, als an der Basis, und dass zugleich auch eine Rotation nach rechts um die Längsaxe stattgefunden hat, welche den linken Ventrikel mehr hervortreten lässt. Die hier vorliegende senkrechte Achsenstellung des Herzens wurde nach genauen Messungen festgestellt.

Es folgen noch zwei Abbildungen, Fig. 5 und 6, welche ebenfalls die Dislokation des Herzens bei Ergüssen in die Pleurahöhlen zeigen.

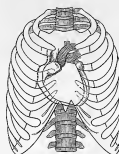


Fig. 5. *Dislocatio cordis.*



Fig. 6. *Dislocatio cordis*

Hydrothorax lat. sin. artefactus. $\frac{1}{4}$. *Hydrothorax lat. dextr. artefactus*. $\frac{1}{4}$.

Diese Abbildungen geben die Resultate von Experimenten, welche an frischen normalen Cadavren von mir angestellt wurden. Die Cadavren wurden in verticale Stellung gebracht, und dafür gesorgt, dass die *Trachea* offen blieb. Nachdem festgestellt war, dass alle Theile normale Verhältnisse zeigten, unter Verwerfung derjenigen Versuche, bei denen die nachträgliche Section Abnormalitäten nachwies, wurde ohne Luftzutritt ein linksseitiger künstlicher *Hydrothorax* hergestellt, Fig. 5; sowie dann an einem anderen Cadaver ein rechtsseitiger, Fig. 6.

Nach Beendigung der Anfüllung der Pleurahöhle mit physiologischer Kochsalzlösung wurde die *Trachea* geschlossen, um bei der Öffnung des *Thorax* ein weiteres Zusammenfallen der Lungen unmöglich zu machen, das Herz dann mit langen Schnädeln aus der vorderen und hinteren Brustwand ritz und nachher die Interkostalräume geöffnet, um die Herzhäute an Skelette bestimmen zu können. Es zeigte sich, daß die Spitze des Herzens bedeutend weiter rückt, als die durch die Gefäßstämme an der Lungenwurzel befestigte Basis, und daß ausser der seitlichen Verschiebung noch eine Rotation um die Längsachse stattfindet, deren Wiederpaß auf diesen Abbildungen freilich mangels geblieben ist. Die Neuge der zu Fig. 5 eingelassenen Salzlösung befeuchtet die Lungenoberfläche, so daß die Lungen sich nicht so deutlich aufdrücken der Permeosundimpfung in die Lebergegend erst nachdem 1/4 Pfd. Flüssigkeit eingelassen waren (thereminatund mit der Beobachtung von Seite und Ziemann).

Neben diesen Cadaverexperimenten habe ich aus dem Atlas von *Proffog* die einem Cadaver angehörigen Durchschnitte herausgesucht, welches rechtsseitiges Empyem mit Herzverschiebung nach links hatte, und in horizontaler Lage zum Gefrieren gebracht und dann durchgesägt worden war. Man findet sie *Proffog*, II, 6, 3, 9, 2, 11, 2, 15, 4. — Ferner suchte ich die Durchschnitte zusammen, welche einem Cadaver mit linksseitigem *Pneumothorax* angehören, *Proffog*, II, 7, 2, 10, 2, 12, 4, 16, 3, 17, 1.

Durch sorgfältiges Ausmessen wurde aus den verschiedenen Durchschnittszeichnungen das dislocierte Herz in seinen Contouren construiert.

und in durchbrochener Linie auf die Thoraxwand zu Fig. 5 und 6 aufgetragen, um so eine Vergleichung mit meinem durch Versuche gewonnenen Zeichnungen zu ermöglichen.

Da bei den *Piragopsis* diese Bestimmungen, so exakt sie auch sind, zur Angabe der Herzlage die dislozierende Flüssigkeitsmenge nicht gemessen werden konnte, so kann man auch nicht eine vollständig gleiche Herzverschiebung erwarten, die sich durch ein Decken der Contouren ausdrücken würde; abgesehen davon, dass ein künstlicher Erguss in die Pleurahöhle nie die gleichen Verhältnisse erzeugen kann, als ein allmählich entstandenes Exsudat. Aber das geht aus beiden Befunden mit Sicherheit hervor, und wird eben durch die Verschiedenheit der Methode erst recht erhärtet, dass bei solchen Herzdislokationen die Herzbasis nicht fixiert bleibt, sondern um ein messbares Stück verschoben wird, dass aber die Herzspitze bedeutend weiter rückt und zugleich eine Rotation um die Längsachse des Herzens stattfindet.

Topken hat in seiner Arbeit (*Ein Beitrag zur Lagebestimmung des Herzens beim Menschen, Archiv für Anatomie und Physiologie,*

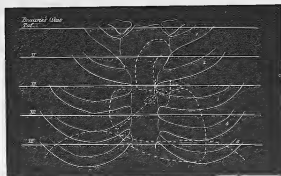


Fig. 7.

1885, p. 190) die Lage des Herzens in Bezug auf Sternum, Rippen und Wirbelkörper reconstruirt. Ich gebe die beiden Bilder in Fig. 7 und Fig. 8 hier bei.

Fig. 7 zeigt die Lage der Schnitte zu den Intercostalräumen wie sie auf den Tafeln X, XI, XII, XIII, XIV meines Atlas abgebildet sind; die Lage der Klappen der *Aorta* und *Pulmonalis* am Ansatz des linken dritten Rippenknorpels und Sternum, und den Gesamttumris

des Herzens. Durch Vergleich mit der Darstellung in Fig. 3 wird man erkennen, dass diese Umrisszeichnung nicht völlig identisch damit ist, was sie auch gar nicht sein kann, da sie nur eine von den vielen Grundlagen bildet, auf denen die Herzconstruction in Fig. 3 aufgebaut ist.

Die in Fig. 8 vorliegende Construction *Typen's*, nach den angelegten Tafeln des Zwisches, zeigt den *Thorax* von der linken Seite. Herz, Zwerchfell, Niere sind in das Skelettschema eingetragen, aber nicht perspectivisch, sondern mit wechselndem Augenpunkte behandelt. Hier hat man das Verhältniss der einzelnen Organe zu den Wirbeln vor sich. Es muss aber dabei im Auge behalten werden, dass durchaus nicht immer die gleichen Intercosträume oder Rippenkorper gleichen Wirbeln in der Höhe entsprechen, sondern sehr grosse Differenzen hierbei sich finden können, je nach dem Erhebungsgrad der vorderen Rippenenden. Man wird also bei Vergleichen verschiedener Bilder sehr vorsichtig zu Werke gehen müssen.

Ferner mag nochmals erwähnt sein, dass die Lage des Herzens an der vorderen Thoraxwand sehr stark vom Stande des Zwerchfells beeinflusst wird.

Töpkén hat ferner eine Reihe von Lagebestimmungen des Herzens an Individuen verschiedenen Alters gemacht und giebt als Resultate seiner Befunde (a. a. O. p. 203) folgendes an: Die Lage des

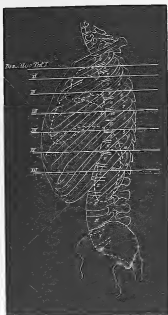


Fig. 8.

TAFEL XIII.

Die vorliegende Abbildung ist ebenso gehalten wie die übrigen. Man blickt von oben nach abwärts gleichsam in den eigenen Körper hinein, so dass man die rechte Hälfte zur rechten, die linke zur linken Hand hat. Die Dicke der Scheibe, deren obere Fläche hier vorliegt, betrug $3\frac{1}{2}$ Centimeter.

Der Schnitt geht durch beide Brustwarzen, den 3. Intercostralsraum, trifft beide Vorhöfe des Herzens mit ihren Klappen und tritt hinten am oberen Rande des 8. Brustwirbels aus, so dass noch ein Stückchen der nächst höher liegenden Bandscheibe getroffen wurde, und beiderseits die 8. Rippe zu sehen ist. Von den Schulterblättern wurde der untere Winkel abgeschnitten.

Das Wichtigste auf dieser Tafel ist der so glücklich geführte Schnitt durch das Herz. Dasselbe ist so getroffen worden, dass beide Vorhöfe und Ventrikel geöffnet sind. Das linke *Ostium atrio-ventriculare* ward nahezu halbiert, das rechte an seinem oberen Rande so geschnitten, dass man durch die Öffnung ein Stück weit in den Ventrikel hineinschauen kann.

Auf den ersten Anblick erscheint die Schnittfläche des Herzfleisches und der Raum, den das ganze Organ einnimmt, abnorm groß; und doch zeigen sich bei der späteren Untersuchung nur normale Verhältnisse. Man wird sich leicht in die Zeichnung hineinfinden und die Richtigkeit der Contouren erkennen, wenn man im Auge behält, dass bei einem Querschnitte des Körpers das schräg liegende Herz nicht quer, sondern schräg geschnitten worden ist, und deshalb seine Wandungen um so viel stärker erscheinen mussten.

Der linke Vorhof ist nicht weit von seinem Boden getroffen worden. Der hier abgebildete Theil desselben bildete eine flache, an der tiefsten Stelle $\frac{1}{2}$ Centimeter tiefe Mulde, welche nach rechts zu in die Höhe steigt und auf die Durchschnitte der Lungenvenen hinweist. Links sind die Venen weiter von ihm entfernt. Von der *Valvula mitralis* ist der Aortenzipfel bis auf ein kleines Stückchen hinweggenommen worden, welches auf der rechten Seite der Mitralföffnung gefunden wird. Von dem hinteren Zipfel ist der grösste Theil zurückgeblieben. Die doppelte Reihe von Sehnenfäden tritt deutlich in der Zeichnung hervor.

Hinter dem linken Vorhof tritt die *Vena magna cordis* in die Tiefe, um sich unter ihm hinweg zum rechten Atrium zu begeben, wo sie mit ihrer *Valvula tricuspidalis* von dem medialen Ende des dort sichtbaren Querwulstes (Bost der *Valvula bicuspidalis*) einmündete. Die Einmündungsstelle schiel lag zu tief vertieft, um sie auf der Zeichnung sichtbar machen zu können. Dagegen wurden unter sorgfältiger Entfernung der geflochtenen Blutmassen die Herzwandungen und Klappen noch im erstarrten Zustande genau abgezeichnet.

Während der linke Vorhof mehr nach hinten zu liegen kommt, erstreckt sich der rechte mehr nach vorn, so dass das *Septum atriorum* von links Ventrikel aus schräg nach hinten und rechts zieht und eine fast transversale Richtung erhält. Ausserdem liegt das linke Atrium nicht unbedeutend höher als das rechte.

Im Atrium dextrum steigt in der hinteren Hälfte die *Vena cava inferior* in die Höhe; vor derselben liegt der Querwulst der rudimentären *Valvula bicuspidalis*. Unmittelbar davor buckelte sich das Atrium nach abwärts zu einer Tiefe von 3 Centimeter aus, um weiter nach vorn wieder aufzusteigen und durch das *Ostium atrio-ventriculare* mit der *Valvula tricuspidalis* in den rechten Ventrikel zu führen. Vor der Tricuspidalklappe liegt der durch den Schnitt geöffnete rechte Ventrikel, von welchem mit der vorhergehenden Scheibe der *Conus arteriosus aortae-pulmonalis* abgehoben worden ist. Von der vorderen Ventrikelwand, deren Schnittfläche vorn zu sehen ist, geht ein Papillarmuskel nach rückwärts an das vordere Klappensegel. Hinter demselben erkennt man in der Tiefe der Ventrikelhöhlung die *Trabeculae carneae* der hinteren Wand.

Durch Vergleichung mit der unteren Fläche der nächst folgenden Scheibe liess sich bei dem vorliegenden Cadaver die Lage beider Atrien

genau bestimmen. Es fand sich, dass die Höhlung des Atrium dextrum eine Höhe hatte, die vom unteren Rande des 4. bis zur Mitte des 3. Rippenknorpels hinaufreichte; das dazu gehörige Herzohr aber reichte bis zum oberen Rande des 3. Rippenknorpels. Ihre grösste Breite erstreckte sich von der Mitte der linken Sternalhälfte bis $\frac{2}{3}$ Centimeter nach auswärts vom rechten Sternalrande.

Das Atrium sinistrum erstreckte sich in seiner Höhe vom oberen Rande des 4. linken Rippenknorpels bis zur Mitte des 2. Intercostralsraumes und hatte die Breite des 8. Brustwirbels sammt dem Gelenkapparat der dazu gehörigen Rippenköpfchen. Seine *Auricula* ragte bis zum untersten Rande des 2. Rippenknorpels hinauf.

Das *Ostium atrio-ventriculare dextrum* lag in der Höhe des 8. Brustwirbels und hinter den rechten zwei Dritttheilen des Sternum, so dass es also nur wenig in die linke Körperhälfte hinüberreichte, und war vom Sternum 5 Centimeter entfernt, ziemlich in der Mitte zwischen Wirbel und Brustbein. Nach vorn zu wurde seine Lage durch die Höhe der Papillarebene und die 4. Rippenknorpel markirt.

Das *Ostium atrio-ventriculare sinistrum* begann etwas links vom linken Sternalrande, reichte bis nahe zur Mittellinie, lag 7 Centimeter weit hinter dem Sternum, und hatte die Höhe des 4. Intercostralsraumes.

Eine Nadel hätte bei diesem Cadaver den Mittelpunkt der Mitralföffnung getroffen, wenn man sie 1 Centimeter vom linken Sternalrande entfernt, in der Mitte des 3. Intercostralsraumes eingestochen hätte.

Für die Tricuspidalöffnung hätte man in der Mitte der rechten Sternalhälfte in der Höhe des 4. Rippenknorpelsatzes einstochen müssen. Das *Ostium pulmonale* würde seinen Einstichpunkt am oberen Rande des 3. Rippenknorpels, $\frac{1}{2}$ Centimeter nach aussen vom linken Sternalrande erhalten; das *Ostium aorticum* in der Mitte der linken Sternalhälfte, in der Höhe des 3. Rippenknorpels. Ich habe wiederholt bei Leichen junger Männer an diesen Stellen eingestochen und mich von der Richtigkeit dieser Bestimmungen überzeugt. Jedoch bin ich weit entfernt, für alle Cadaver diese Lage der Theile zu statuiren, noch viel weniger würde ich sie ohne Weiteres auf den Lebenden übertragen. Ganz abgesehen von pathologischen Veränderungen, hat schon die Lage der Cadavers, je nachdem es auf dem Rücken, der einen Seite, dem Bauche liegt, Einfluss auf die Lage des Herzens, so wie ferner der Stand des Zwerchfells in dieser Beziehung von höchstem Einflusse ist. Das Herz ist so zwischen Lungen und Zwerchfell eingeschaltet, dass es fast auf allen Seiten, einige wenige Stellen ausgenommen, von Theilen umgeben ist, welche das Bestreben haben, sich zusammenzuziehen, und sich vom Herzen entfernen, sobald irgend etwas Anderes an ihre Stelle treten kann. Durch diese Anordnung ist die Lage des Herzens ebenso veränderliche als günstige. Dieses so empfindliche Organ ist dadurch nicht nur gegen Stöße geschützt, welche die vordere Brustwand treffen, sondern hat auch für seine Bewegungen einen freien Spielraum erhalten.

Bei Cadavern jugendlich kräftiger Individuen, wie bei dem vorliegenden, haben sich, wie schon oben bemerkt wurde, die Lungen auf einen Zustand der Expiration allmählich zusammengezogen, wie er im Leben nie zu Stande kommt. Die Folge davon ist, dass die Luft von aussen her auf die Bauchdecken in gleichem Masse drückt und das Zwerchfell um ein entsprechendes Stück in die Höhe treibt. Mit den sich contrahirenden Lungen rückt natürlich auch das zwischen ihnen wie eingeklemmt liegende Herz zugleich mit dem emporgetriebenen Zwerchfell nach aufwärts, und so findet man dann eine höhere Herzlage, als sie im Leben beobachtet wird. Fehlt aber den Lungen der hohe Elasticitätsgrad, wie dies bei älteren Leuten oder Individuen mit Erkrankungen des Lungengewebes der Fall ist, so findet man dann auch bei den Cadavern in Folge der krankhaften Veränderungen eine tiefere Herzlage.

Ich fand das *Ostium arteriae-pulmonalis* bei Cadavern jugendlich kräftiger Männer (Scheitelsnäher) durchschnittlich am oberen Rande des 3. linken Rippenknorpels, in der Höhe des 6. Brustwirbelkörpers; bei

älteren Leuten von 50–60 Jahren unter dem 4. Rippenknorpel, in der Höhe des 8. Wirbels.

Tritt Meteorismus auf, so treiben die mit Gas stark angefüllten Därme das Zwerchfell und das zwischen den nachgebenden und sich weiter contrahirenden Lungen liegende Herz weit in die Höhe, so dass man dann das *Ostium* der Pulmonalarterie unter dem 2. Rippenknorpel finden kann.

Topken hat in seiner oben citirten Arbeit (*Archiv für Anatomie und Physiologie* 1885 pag. 219) auch eine Reihe von Versuchen aufgeführt, welche darauf hinausgingen, am Cadaver den Einfluss nachzuweisen, den Anfüllung der Bauchhöhle auf den Stand des Zwerchfells und des Herzens hat. Aus diesen Versuchen, die an Ort und Stelle eingesehen werden müssen, geht hervor, dass durch Anfüllung der Bauchhöhle das Herz ziemlich hoch hinaufgetrieben werden kann. In dem einen Falle rückte die Herzspitze bis in den 4. Interostalraum hinauf (Fall 10 pag. 211). Aus diesen Versuchen ergab sich, wie *Topken* angibt, als praktische Konsequenz, dass nach reichlicher Mahlzeit sowie nach Genuss größerer Flüssigkeitsmengen, besonders wenn dazu noch eine Einschränkung des Raumes von Aussen her dakommt, das Herz in eine abnorme Lage nach oben gedrängt wird und dadurch einzelne Theile desselben nachtheilig wirkendem Drucke und störender Zerrung ausgesetzt werden. Daraus ist es einleuchtend, dass Soldaten, die sich auf dem Marsche befinden, und bei denen eine künstliche Aufreibung des Zwerchfells durch den Druck der Patronentaschen auf die Magengegend zu Stande kommt, leicht in Folge von Circulationsstörungen von Ohnmachten befallen werden können.

Dies gilt ganz besonders auch für Herzkranken, die sich vor Allen Anderen davor hüten sollten, durch Anfüllung des Magens das Herz zu belasten. Eine Reihe von Störungen am Herzen wird sicherlich vom Abdomen aus hervorgerufen, und ist demgemäß auch am Abdomen in Behandlung zu nehmen.

Die Durchmesser der Breite und Tiefe des Brustraumes haben von Tafel IX bis zu Tafel XII stetig zugenommen, und das Verhältnis von 1:3 so ziemlich beibehalten. Es wird sich zeigen, dass bei krankhaften Veränderungen dieses Verhältnis sich wesentlich ändert. Zum Zwecke der Vergleichung füge ich zwei Copieen in Linienzeichnung aus *Pirogoff's* Atlas bei.

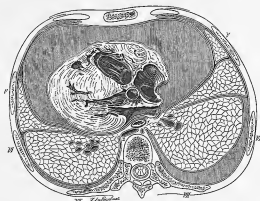


Fig. 1. Thorax viri adulti. Hydropneumothorax.

Pirogoff, II, 14, d. 1/2.

1. Oesophagus. 2. Aorta descendens. 3. Arteria descendens. 4. Venenstamm dexter. 5. Arteria descendens. 6. Venenstamm sinister.

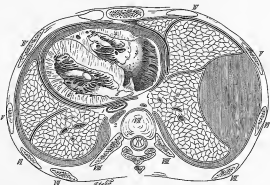


Fig. 2. Thorax viri adulti. Pyothorax partialis cavitatis lateris dextri.
Pirogoff, II, 11, 2. 1/2.

1. Oesophagus. 2. Aorta descendens. 3. Arteria descendens. 4. Venenstamm dexter. 5. Arteria descendens. 6. Venenstamm sinister.

Der Schnitt bei *Pirogoff's* Abbildung (Fig. 1) ist um einen Wirbelkörper höher geführt worden, als bei meiner Tafel; man erkennt deshalb auch am Herzen noch ein Stückchen des *Bulbus aortae* vor dem in ziemlicher Vollständigkeit erhaltenen linken Vorhofe. Der Aortenzipfel der *Valvula mitralis* ist noch deutlich zu sehen. Er liegt ziem-

lich platt ausgespannt über dem hinteren Klappenzipfel. Der rechte Vorhof, durch den Druck des pericardialen Exsudates etwas eingebogen, zeigt in seiner hinteren Hälfte die Eintrittsstelle der unteren Hohlvene, in seiner vorderen den Eingang zum rechten Ventrikel.

Vergleicht man die hier vorliegenden Verhältnisse mit den normalen, so fällt zunächst die veränderte Form des Thoraxraumes auf. Der Tiefendurchmesser ist bedeutend vergrößert; er beträgt die Hälfte des Querdurchmessers, von dem er doch nur den dritten Theil ausmachen sollte. Durch die starke Entfernung des Sternum von der Wirbelsäule ist Raum für das massenhafte Exsudat geliefert worden. Das Herz erscheint wie nach hinten zurückgedrängt, was in der That nicht der Fall ist, da die Theile zwischen Herz und Wirbelsäule, *Oesophagus* und *Aorta descendens*, noch reichlichen Raum haben. Dagegen ist es im Ganzen nach links zu herabgewälzt. Die Achse des linken Vorhofes und Ventrikels geht in transversaler Richtung auf die Schnittfläche der 5. Rippe los, während sie bei normalen Verhältnissen schräg nach vorn auf die linke Papille hinweist. Eine gleiche Lageveränderung zeigt das rechte Herz. Die Lungen erscheinen bedeutend zusammengefallen, wodurch weiterer Raum für das pericardiale Exsudat geschaffen wird. Während sie auf meiner Tafel das gesammte Herz einschlossen und sich mit ihren vorderen Rändern fast berühren, sind sie hier weit auseinander gewichen und zurückgesunken, trotzdem auch noch rechts ein pleuritisches Exsudat vorhanden ist. Dagegen sind die Pleurasäcke, was namentlich bei der Frage der Punction zu beachten wäre, in Folge ihrer Befestigung an die Brustwand nur wenig dislocirt. Sie lassen nur einen kleinen Raum neben dem Sternum frei, so dass man sich mit dem Troikart hart an den Sternalrand hätte halten müssen, um nicht die Pleuren zu treffen.

Der Schnitt auf Fig. 2 verläuft fast genau in derselben Höhe wie der von mir auf der Tafel abgebildete. Dem entsprechend sind auch die Herzensverhältnisse ähnliche. Das Herz selbst ist um ein messbares Stück nach links verschoben und zugleich um seine Längsachse nach links gedreht. Die linke Lunge ist beträchtlich verkleinert, so dass sie nicht mehr die vordere Herzfläche bedeckt. Die Pleuren reichen dagegen bis zum Sternum, und es bleibt nur ein sehr geringer Raum zwischen ihnen übrig; jedoch zeigten sich nach *Pirogoff's* Angabe so

viele Adhäsionen, dass die Höhlung des Pleurasackes vielfach unterbrochen war. Ausser der Herzsituation, welche dieselben Momente zeigt, wie die bei der vorhergehenden Tafel beschriebenen cadaverösen Dislocationen, ist namentlich die beträchtliche Verschiebung des *Oesophagus* nach links hinüber von Interesse. Leider findet sich darüber bei *Pirogoff* keine nähere Angabe.

TAFEL XIV.

Die Scheibe, deren obere Fläche hier abgebildet vorliegt, hatte eine Stärke von 5 Centimeter. Der Schnitt geht durch den untersten Theil des *Sternus*, durch die aufsteigenden Knorpel der 5. Rippe, trifft die Herzspitze, die Zwerchfellkuppel mit der Leber und tritt hinten durch den 9. Brustwirbelkörper über dem Rippenansatz aus, so dass erst in einiger Entfernung von der Wirbelsäule die dazu gehörigen Rippen getroffen wurden, an die sich dann im Bogen nach vorn die Schnittflächen der 9, 8, 7, 6, 5. Rippen anschliessen. Diese Abbildung, welche die Reihe der Brustdurchschnitte abschliesst, zeigt somit bereits die geöffnete Bauchhöhle und macht es auf den ersten Blick verständlich, warum Verletzungen der Leber so oft gleichzeitig die Lungen mit betreffen.

Wie man schon aus dem flachen Leberabschnitte der linken Seite erkennen kann, ist von der linken Zwerchfellkuppel sehr wenig abgeschnitten worden. Sie ragte mit ihrer höchsten Spitze bis zur Höhe des untersten Randes der 4. Rippe, von vorn aus gesehen; während die rechte Kuppel des Zwerchfells, von der bedeutend mehr hinweggenommen ward, bis zum oberen Rande der 4. Rippe, also eine ganze Rippenbreite höher hinaufreichte; sie erreichte also beinahe eine durch beide Papillen gelegte Horizontalebene. Es ist schon bei Besprechung der vorhergehenden Tafel auseinandergesetzt worden, dass dieser Zwerchfellstand nicht den Verhältnissen des Lebens entspricht, dass er nur bei Leichen normaler, jugendlich kräftiger Männer so gefunden wird, als eine Folge der kräftigen Lungencontraction.

In unmittelbarem Zusammenhange mit Zwerchfell und Leber steht die Lage des Herzens, dessen unterste Partie hinter dem linken 5. Rippenknorpel durchschnitten vorliegt. Die Höhe von der untersten Spitze des Herzens bis zur Durchschnittsfläche betrug 2 Centimeter. Man sieht rechts, in der Spitze des rechten Herzens noch den untersten Theil der Ventrikelhöhle mit Fleischtrabekeln ziemlich ausgefüllt. In der Spitze des linken Lössen sich nur Spalten in dem Wirbel, den die Fleischfasern bildeten, erkennen. Das Herz überragte die 5. Rippe nach abwärts nicht, sondern erreichte nur noch deren untersten Rand, dagegen ragte die Höhle des Herzbeutels noch 1 Centimeter tiefer hinauf und enthielt etwa einen Eßlöffel voll geforwener klarer Flüssigkeit.

Ueber die Lage der Herzspitze und des Zwerchfells im Allgemeinen füge ich hier noch Einiges aus der schon oben angegebenen Arbeit von *Töpkén* hinzu. *Töpkén* fand bei seinen Versuchen an Cadavern die Herzspitze 3 Mal hinter der 5. Rippe 4 Mal im 5. Intercostraräume. Von den letzteren 4 zeigten 2 Fälle im Alter von 35 bis 40 Jahren und 64 Jahren den tiefsten Stand der Herzspitze unter den 7 Fällen und zwar am unteren Rande des 5. Intercostrarraumes. Nach *Engel* (*Compendium* p. 301) ist die Herzspitze unter dem unteren Rande der 4. oder auf der 4. oder sogar auf der 5. Rippe zu finden. Nach *Luschka* (*Anatomie* Bd. I, 2 p. 413) entspricht die Herzspitze in der Leiche gewöhnlich der Mitte des 5. Intercostrarraumes und zwar unter dem lateralen Ende des Knorpels der 5. Rippe. Selten ist sie dieselbe hinter diesem Knorpel in die Höhe gerückt, häufiger tiefer gestellt, so dass sie hinter das laterale Ende des Knorpels der 6. Rippe zu liegen kommt.

Da aber die Befunde am Cadaver nicht allein massgebend sind für die Lage am lebenden Körper, habe ich oben bei der Darstellung des Thorax in Fig. 3 zu Tafel XII die klinischen Erfahrungen mit zu Hilfe gezogen und die Herzspitze dieselbe in den Raum zwischen 5. und 6. Rippe gezeichnet. Auch *Gerhardt* und *Weil* nehmen die Herzspitze als im 5. Intercostraräume liegend an; während *Guthmann* (*Lehrbuch der klinischen Untersuchungsverfahren*, Berlin 1881, p. 266)

angibt, dass die Herzspitze gerade hinter dem 6. Rippenknorpel nach innen vor der Papillarlinie liege.

Von praktischer Wichtigkeit sind die Verhältnisse des Pleuren vor dem Herzen. Sie stellen zusammengefaltete Säcke dar, welche von den vorderen Lungenrändern an noch weit nach der Mittellinie zu sich erstrecken, und lassen im vorliegenden Falle nur einen kleinen Raum zwischen linkem Sternalrand und 5. Rippenknorpel frei, durch den man ohne Verletzung mit dem Troikart zum Herzbeutel gelangen könnte. Man findet in dieser Beziehung vielfache Abweichungen bei den verschiedenen Cadavern, so dass es begreiflich erscheint, wie so verschiedene Angaben über diesen Punkt entstehen konnten. Auf jeden Fall aber hat *Luschka* Recht, wenn er behauptet, dass der Herzbeutel am unteren Ende des linken Sternalrandes eine Strecke weit frei von Pleuren gefunden werde, so dass man bei *Paracentesis pericardii* dieselben sicher vermeiden könne. Man wird, wie ich mich überzeugt habe, am sichersten operiren, wenn man mit einem feinen Troikart im oberen Winkel zwischen linkem Sternalrand und 5. Rippenknorpel einsticht. Es erscheint nicht gerechtfertigt, hierbei auf eine Verwundung der Pleuren zu rechnen, da selbst grosse Flüssigkeitsansammlungen im *Pericardium* längere Zeit ohne eine solche bestehen können.

Auffallend erscheint die Ausdehnung der Leber nach links hinüber, durch welche das Herz gänzlich vom linken Leberlappen getrennt erscheint. Man wagt versucht, eine abnorme Vergrößerung der Leber im vorliegenden Falle anzunehmen, und das vorliegende Bild nur für pathologische Zustände gültig zu erklären. Es ist aber schon oben bemerkt worden und mag hier nochmals gesagt sein, dass die Organe keine Abnormität zeigten, dass auch die Leber normales Gewicht und normale Struktur besass. Man muss im Auge behalten, erstens, dass der linke Leberlappen innerhalb der normalen Verhältnisse grosse Verschiedenheiten der Form zeigt, dass er mitunter bis zur Milz hinüber reicht, dass er aber stets unter dem Herzen liegt, welches nur mit einem Theile nach vorn und links zu über die Lebergrenze vorragt; zweitens ist zu betonen, dass man sich meistens deshalb falsche Vorstellungen von der Lebergestalt und -Lage macht, weil man sich gewöhnt hat, dieselbe von vorn her als auf eine Ebene projicirt zu betrachten, wobei bei Weitem nicht Alles übersehen wird. Eine vorzugswürdige gute Anschauung von der Lage und Ausdehnung der Leber bekommt man von oben, vom Zwerchfelle her, wo man auch am leichtesten das für die Untersuchung so wichtige Verhältnisse der Leber zur Milz, zum Magen und zum Herzen deutlich machen kann. Ich habe wiederholt nach Wegnahme des Brustkorbes das intakte Zwerchfell mit seinem Herzbeutel-Antheile von oben her abgezeichnet, und nach Wegnahme desselben dann die Leber in die Zeichnung eingetragen und immer ein gleiches Verhältnisse von Herz und Leber wie auf dieser Tafel gefunden, trotz wechselnder Ausdehnung des linken Leberlappens. Wenn man sich recht sorgfältig das Zwerchfell entfernt, so kann man das Bauchfell in grosser Ausdehnung erhalten und die einzelnen Organe in ihrer Lage zu einander durchschimmern sehen. Bringt man dabei den Rumpf in aufrechte Stellung, so vermindert man den Druck auf das Zwerchfell und vermeidet ein Einreissen des Bauchfellackes: Ich gebe drei Zeichnungen, die auf solche Weise von frischen Cadavern normaler, jugendlich kräftiger Männer (Selbstmörder, noch in Todtenstarre auf die Anatomie gebracht) genommen worden sind. Es ist keine Frage, dass bei einem solchen Verfahren die Zwerchfellstellung sich mehrfach ändert, dass mit dem Ablösen der oberen Thoraxhälfte namentlich die vordere und hintere Wand des Thoraxrestes sich einander etwas nähern und dadurch die Kuppel des Zwerchfells entsprechend höher steigt; jedoch hat diese

Veränderung des *Diaphragma* nur einen geringen Einfluss auf die relative Lage der darunter liegenden Organe. Man kann ein solches Präparat in Bauchlage oder in Rückenlage aus der aufrechten Stellung versetzen, ohne dass man eine nennenswerte Verschiebung der eingeschlossenen Eingeweide bemerkt.

Fig. 1 gibt die Lagerverhältnisse bei ziemlich starker Füllung des Magens. Der Magen überragt im gefüllten Zustande den linken Leberlappen nach aussen, liegt zum grössten Theile aber darunter versteckt. Das Zwerchfellstück des Herztheiles lässt noch die Lage des Herzens erkennen.

Wenn auch der linke Ventrikel im gefüllten Zustande nach links hin die Grenze überschritten haben mag, so ist doch ersichtlich, dass

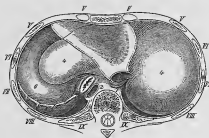


Fig. 1. Situs viscerum normalis sub diaphragmate. $\frac{1}{2}$.
1. Oesophagus. 2. Aorta. 3. Vena cava inferior. 4. Hepar. 5. Pericardium diaphragm. 6. Ventriculus.
7. Pleura costalis sinistra. 8. Latus.

das Herz nicht auf dem Magen, sondern auf der Leber lag, und nur mit seiner Spitze die Magenwand erreichte, und dass auf dem Querschnitte dieses Cadavers ein gleiches Bild wie auf Tafel XIII hätte zu Stande kommen müssen. Die linke Zwerchfellkuppel wurde somit vom linken Leberlappen, Magen und Milz angefüllt.

Fig. 2 gibt das Bild der Lage der Organe unter dem Zwerchfelle, bei mässiger Anfüllung des Magens. Man kann sich schon durch Betrachtung der Form des Leberumfanges davon überzeugen, dass dieser Abbildung ein anderes Cadaver zu Grunde lag, dass hier ein Cadaver benutzt wurde, bei welchem sich nachträglich eine nur mässige Anfüllung des Magens ergab, und nicht erst experimentell die Magenfüllung verändert wurde, wodurch leicht die Theile zu sehr aus der Lage gekommen wären. Das Cadaver wurde überhaupt so frisch, als es auf die Anatomie ankam, benutzt und sofort durchgetheilt, ohne dass vorher irgend ein Eingriff an denselben vorgenommen wurde.

Der nur mässig mit Speisebrei angefüllte Magen ragt nicht bis links hinüber, sondern hat neben sich noch das fettsackige Stück des Bauchfelles, welches zum linken Ende des *Colon transversum* hinüberzieht, um sich dann in das grosse Netz fortzusetzen.

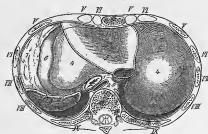


Fig. 2. Situs viscerum normalis sub diaphragmate. $\frac{1}{2}$.
1. Oesophagus. 2. Aorta. 3. Vena cava inferior. 4. Hepar. 5. Pericardium diaphragm. 6. Ventriculus.
7. Omentum majus. 8. Latus. 9. Leberz. 10. Splen.

Ebenso zeigt der linke Leberlappen eine andere Form als bei Fig. 1. Trotzdem ist aber sein Verhältnis zum Herzen dasselbe, höchstens insoweit abgeändert, dass auch die Spitze des Herzens in Folge der weiteren Ausbreitung des linken Leberlappens Lebersubstanz auf der abdominalen Seite des Zwerchfells unter sich hat. Bei den Versuchen, die ich an verschiedenen Cadavern anstellte, um durch Anfüllung des *Colon* vom After aus, oder des Magens vom *Oesophagus* aus, die Lagerveränderung der Organe bei einem und demselben Individuum zu demonstrieren, überzeugte ich mich, dass man dabei auch bei sorgfältiger Erklärung des Bauchfells keine unrichtigen Bilder erhält. Der Magen kann dabei so sehr aus der natürlichen Lage, und liess sich ebenso wie das *Colon*, so schwer wieder entzerren, dass ich verschiedene Cadaver zur Abklärung herbeiziehen musste, von denen dann diejenigen ausgewählt wurden, welche, wie sich nachträglich zeigte, die Organe im gewünschten Füllungsgrade darboten.

Im höchsten Grade auffallend war die Erscheinung, dass man bei einem solchen Rumpfstück an dem nur die untere Thoraxhälfte noch hing, durch den möglichst lang erhaltenen *Oesophagus* bei hohem Drucke grosse Mengen Wasser in den Magen hineinstreuen konnte, dass dieselben aber nicht wieder abflossen, trotzdem am *Oesophagus* keine Ligatur angebracht worden war. Beim Einbringen des Fingers durch das Oesophagustück in den Magen fühlte man zwischen *Cardia* und *Pundus* die Magenwand so scharf vorspringend, dass dadurch ein deutlich erkennbares Ventil gebildet wurde. Es muss weiteren Untersuchungen überlassen bleiben, in wie weit diese Verhältnisse am Cadaver auf den lebenden Körper übertragen werden dürfen.

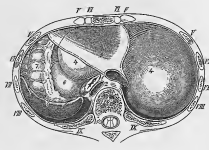


Fig. 3. Situs viscerum normalis sub diaphragmate. $\frac{1}{2}$.
1. Oesophagus. 2. Aorta. 3. Vena cava inferior. 4. Hepar. 5. Pericardium diaphragm. 6. Ventriculus.
7. Pleura costalis sinistra. 8. Latus.

Fig. 3 zeigt den Magen leer, eng zusammengezogen. Der dadurch freigewordene Raum auf der linken Seite wird durch die *Pleura coli sinistra* ausgefüllt. Die übrigen Verhältnisse sind wie bei den vorhergehenden Präparaten.

Es erhielt aus diesen Abbildungen, dass das Herz stets den linken Leberlappen zwischen sich und Magen hat und nur mit einem Theile seiner Spitze, der verschieden gross sein kann, auf dem Magen liegt. Man findet denselben Befund bei Frontalschnitten, wo man von vorn her die etagenartige Anordnung dieser Organe zu einander ganz besonders gut erkennt. Vergleiche Henke, *Atlas der top. Anatomie*, Tafel 35—37. — *Pirogoff*, fasc. I. A., II. A., II. B.

Dann aber sieht man auch, dass je nach dem Zustande des Magens die Lage der Eingeweide in der linken Zwerchfellkuppel wechseln muss. Die *Pleura coli sinistra* rückt in die Höhe, wenn sie mit Gas stark angefüllt ist, und der Magen im leeren Zustande sich befindet, und wird, da sie viel öfter Luft enthält als der Magen, vorzugsweise den tympanitischen vollen Percussionston in der linken unteren Brusthälfte be-

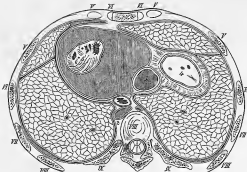


Fig. 4. Thorax viv. Hydropericardium. Pulmones sani.
Pirogoff, II. 15, 2. $\frac{1}{2}$.
1. Oesophagus. 2. Aorta. 3. Vena cava inferior. 4. Hepar. 5. Cor.

dingen, so wie sie auch bei starkem Drucke nach aufwärts einen störenden Einfluss auf die Funktion der Brustorgane gewinnen kann.

Die weiteren Abbildungen sind aus *Pirogoff's* Atlas entnommen, um die Veränderungen der Lage der Herzspitze zu demonstrieren, wie sie bei pleuritischen und pericardialen Exsudaten sich zeigt.

Fig. 4 erläutert die Lagerverhältnisse der Theile in gleicher Höhe bei mässiger Anfüllung des Herzbeutels. Der Schnitt ist fast in derselben Höhe wie der vorige geführt; die Herzspitze stark nach hinten und etwas nach links verschoben. Die Pleuren stossen vorn nahe an einander, und lassen nur einen schmalen Raum am linken Steralrande frei. Man hätte eine viel stärkere Abdringung der Pleuren von einander erwarten sollen, da die Menge der Flüssigkeit im Herzbeutel einen grösseren Raum in Anspruch nahm. Es ist deshalb für die Punction des Herzbeutels genau die Stelle charakteristisch, welche oben genauer angegeben wurde, um nicht die Pleurahöhlen mit zu eröffnen. Ueber das

Alter des Mannes finden sich bei *Pirogoff* keine weiteren Angaben, es ist nur notiert, dass die Lungen (und wahrscheinlich auch die Pleuren) keine Abnormitäten zeigten.

Fig. 5 bietet einen Durchschnitt, der die Lageverhältnisse der Organe bei *Pleuritis* und *Hydropericardium* erläutert. Der Schnitt wurde an dem Körper eines Mannes ausgeführt, der im mittleren Lebensalter stand, als er im Hospitale starb; er verlief um einen Wirbel tiefer als der meinige. Trotzdem ist in Folge der Exsudatmassen nur wenig von der Leber getroffen worden. Die Verschiebung des Herzens ist an der Stellung der Herzspitze, die nach rechts und hinten dislociert ist, zu erkennen. Die Ausdehnung des linken Pleurasacks ist so bedeutend, dass er vorn bis zur Mittellinie und hinten bis über dieselbe hinausragt.

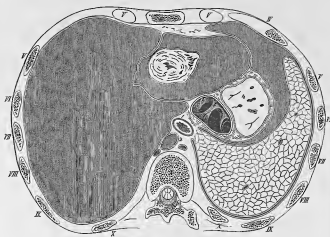


Fig. 5. Thorax viri. Exsudat pleurit. sin. Hydropericardium.
Pirogoff, II, 22, 2. $\frac{1}{10}$.

1. Oesophagus. 2. Aorta. 3. Vena cava inferior. 4. Hepar. 5. Cor.

Von den Rippen sind auf der linken Seite fast dieselben geschnitten worden wie bei meinem Cadaver, woraus ersichtlich ist, dass der Erguss in der linken Pleurahöhle ein beträchtlicher war und eine Erhebung der vorderen Rippenenden dieser Seite bedingt hatte. Auf der rechten Seite dagegen, die nach nach *Pirogoff's* Angabe nur wenig Flüssigkeit enthielt, hingen die Rippen tiefer herab, so dass noch die 4. Rippe von der Höhe mitgetroffen wurde.

Fig. 6 zeigt die Verhältnisse bei doppelseitigen pleuritischen Exsudat und *Hydropericardium*. Die Angaben dazu finden sich im Texte zu *Pirogoff's* Atlas, II, p. 54.

Der Schnitt, welcher einen Wirbel tiefer am Rücken hinausging, traf die 5. 6. 7. 8. 9. Rippe auf beiden Seiten, zeigt also fast dieselben Skeletverhältnisse wie auf Tafel XIII, und ergab eine symmetrische Stellung der beiden Thoraxhälften. Der Mann hatte ein abgesacktes Emphysem auf der rechten Seite. Die Lunge daselbst war stark comprimiert, und zeigte deshalb auf dem Durchschnitte das polygone Aussehen. Auf der linken Seite war die *Pleura* stark verdickt, vielfach

verwachsen, was freilich auf der Abbildung nicht im vollen Maasse erkennbar ist. Man erkennt die Verschiebung und Drehung des Herzens nach links auch hier aus dem Stande der Herzspitze. Die linke Lunge liegt weit nach hinten; der dazu gehörige Pleurasack ist in der ganzen Länge vor dem Herzen fest verwachsen, so dass eine Punction durch denselben hindurch nach dem Herzbeutel ohne Gefahr von seiten der Pleura gewesen wäre.

Es ist bei den Herzverschiebungen und Herzhypertrophien mehrfach die Beteiligung, resp. Knickung der *Vena cava inferior* von den Aorten ins Auge gefasst worden; vgl. *Luetcha*, *Anatomie*, I, 2, p. 445; *Bartels*, *deutsches Archiv*, IV, p. 269. Nach meinem Dafürhalten ist die Frage über diesen Gegenstand noch nicht entschieden, und könnte nur dadurch endgültig beantwortet werden, dass man ein hierzu geeignetes Cadaver frieren liesse, und von hinten her mit Hammer und Meissel noch im erstarrten Zustande so bearbeitete, dass das rechte Atrium mit seinen beiden Hohlvenen plastisch sichtbar würde. Einfache Querdurch-

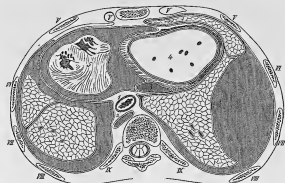


Fig. 6. Thorax viri. Emphyema partial. cystic. lat. dextr. Hydropericardium.
Pirogoff, II, 15, 4. $\frac{1}{10}$.

1. Oesophagus. 2. Aorta. 3. Vena cava inferior. 4. Hepar. 5. Cor.

schnitte, wie der vorliegende, wo die Hohlvene mit der Eintrittsstelle der Lebervenen unmittelbar unter dem *Foramen quadrilaterum*, durchgeschnitten sich zeigt, können nur wenig zur Aufklärung dieser Frage beitragen, wenn sie nicht so zahlreich sind, dass sie sich zu Constructionsbildern verwenden lassen.

Ebensowenig lässt sich durch das Experiment oder durch die klinische Beobachtung erwarten. Versuche an Thieren, die ich im *Ludwig'schen* Laboratorium angestellt habe und in den Akademie-berichten bekannt gemacht wurden, haben ergeben, dass eine Unterbindung der *Vena cava inferior* nur unbedeutende Circulationsstörungen setzt, da das Blut durch die Collateralwege der *Arroya* und der Spinalplexus weite Bahnen findet, auf denen es zum System der *Vena cava superior* hinüberfließen kann. Während die Unterbindungen der Pfortader zu den schwersten Störungen führen und das Blut in grosser Menge in der Abdominalhöhle anstauen, erfolgten nach Ligaturen der *Vena cava* unter der Leber keine schweren Symptome und sank der Druck in der *Carotis* nur um wenige Millimeter.

TAFEL XV.

Die auf dieser Tafel vorliegende Abbildung schneidet den Rumpf im *Epi-gastrium*, und legt Leber, Magen und Milz frei. Von den Lungen ist nichts mehr zu sehen, dagegen erkennt man noch innerhalb der Rippen die schwarze Linie, welche den Spalt der Pleurahöhle, nämlich den Complementarraum, wiedergibt, und daneben das Zwerchfell, welches sich auf diesem Durchschnitte als muskulöser Ring präsentirt. Was nach aussen davon liegt, gehört somit der Brusthöhle an; innerhalb des Zwerchfells hat man das Gebiet der Bauchhöhle vor sich.

Die Abbildung giebt die obere Fläche einer 5 Centimeter starken Scheibe wieder, welche denselben normalen Cadaver angehört wie die vorhergehenden und nachfolgenden Präparate.

Von den Skelettheilen zeigt sich der Körper des 11. Brustwirbels nahe an seinem unteren Rande geschnitten, so dass noch ein Stückchen der nächst-tiefen Bandscheibe zum Vorschein kommt. Der dahinter liegende Bogen gehört ebenfalls dem 11. Wirbel an; vor den hinter liegenden Gelenkspalten markiren sich aber bereits die Gelenkfortsätze des nächst folgenden Wirbels. Beiderseits ein Stück vom Wirbel entfernt liegen die Durchschnitte der 11., weiter nach aussen die der 10., dann die der 9., 8., 7., 6. Rippen. Die 7. und 6. Rippen sind zwei mal getroffen worden, der *Processus xiphoideus* dagegen nicht mehr. Er endete bereits oberhalb der Schnittfläche.

Es fällt gleich bei der ersten Betrachtung auf, dass die rechte Hälfte eine grössere Ausdehnung besitzt als die linke. Der Querdurchmesser beider Hälften differirt beim Cadaver um einen Centimeter. Der Grund dieser Ungleichheit lag aber nur zum Theil in einer Asymmetrie des Körpers an dieser Stelle, da beim Durchsägen das Sägebrett von der Mitte aus nach rechts etwas aus der Horizontalenebene abgewichen war.

Den grössten Raum nimmt auf dieser Abbildung die Leber ein, welche vollkommen normal in Struktur und Gewicht war. Der linke Lappen derselben verlängerte sich in eine dünne Platte, die sich wie ein Deckel über dem Magen his in die Nähe der Milz hin erstreckte. Daraus erklärt sich auch die verhältnissmässig grosse Ausbreitung der Leber in der linken Zwerchfellkuppel, wie sie sich auf der vorhergehenden Tafel repräsentirt.

An der Verbindungsstelle des rechten und linken Lappens, in der *Fossa longitudinalis sinistra*, erkennt man in einer Falte des Bauchfells das *Ligamentum teres*; rückwärts davon, am Zwerchfelle anliegend, den *Lobulus Spigelii* mit dem Netzbeutel. Rechts daneben liegt die untere Hohlvene; vor dieser, innerhalb der Leber, in der *Fossa transversa*, der Querschnitt der Pfortader, daneben der des *Ductus hepaticus*.

Der Magen enthielt ungefähr einen Tassenkopf voll gefrorenen Speisebrei. Nachdem derselbe vorsichtig herausgeschafft worden war, wurden die Wandungen noch im erstarrten Zustande in ihrer ursprünglichen Lage abgezeichnet. Es liess sich später feststellen, dass der *Fundus* des Magens die am höchsten gelegene Stelle eingenommen hatte, dass nach der dem Anfangstheil des Magens angehörigen Erweiterung eine Verengung folgte, an welcher die Faltungen der Schleimhaut am stärksten ausgesprägt waren, und dass darauf die Höhlung wieder weiter den sich nach rechts und unten hin fortsetzte. Es zeigte sich also, dass *Luscha* völlig recht hat, wenn er die platte Aneinanderlegung der vorderen und hinteren Magenwand bei leeren Organen bestreitet.

Auch hier, wo völlig normale Verhältnisse vorlagen, zeigte sich der Magen darmartig an den leeren Stellen kontrahirt; nirgends abgeplattet, wie er in älteren Zeichnungen dargestellt wird.

Die hinter dem Magen liegende Bauchfellspalte mit der sie umgrenzenden Membran gebürte, wie die am *Lobulus Spigelii*, dem kleinen Netze an. Beide Höhlungen hingen unmittelbar unter der Schnittfläche miteinander zusammen.

Weiter nach rückwärts liegt die normal-grosse Milz mit den ihr zugehörigen Gefässen. Sie entsprach dem Verlaufe der 9., 10. und 11. Rippe und hielt in ihrem grössten Durchmesser die Richtung dieser Rippen ein. Von der linken Leberlappenseite war noch nichts zu sehen, während die rechte zwischen Leber und Zwerchfell deutlich erkennbar in die Schnittfläche hereinragte.

Was die Verhältnisse des Bauchfells betrifft, so muss bemerkt werden, dass solche Querdurchschnitte durchaus nicht geeignet sind, dieselben zu erläutern. Man kann die Höhlungen nur als feine schwarze Linien, die Bauchfellplatten nur als dünne weisse Streifen wiedergehen, die das Auge leicht irreführen, wenn sie mehrfach auf einander zu liegen kommen. Will man in dieser Beziehung etwas Ersparliches leisten, so muss man Flächenansichten geben, oder Längs- und Schrägschnitte den Zeichnungen zu Grunde legen, bei denen dann hellschematisch die Höhlungen des Bauchfellsackes vergrössert erscheinen.

Dagegen sind solche Durchschnittszeichnungen, wie sie hier naturgetreu vorliegen, wichtig in chirurgischer Beziehung. Man übersieht sogleich, welche Stellen vom Bauchfell frei sind und welche nicht, und wird danach den Operationsplan einrichten können, der ja bei chirurgischen Eingriffen an der Bauchhöhle immer in erster Linie eine Schonung des *Peritonaeum* anstreben muss. Deshalb ward auch bei dieser Zeichnung so wie bei den folgenden mit grösster Gewissenhaftigkeit darauf gesehen, die Grenzen der Höhlungen und die Umschlagstellen des *Peritonaeum* genau wiederzugeben; und es ward in diesem Sinne auch nicht die Höhlung des Netzes mit dem *Lobulus Spigelii* bis zur hinteren Wand des Magens zusammengezogen, trotzdem beide Höhlungen unmittelbar unter der Schnittfläche mit einander zusammenhingen. Dieses vom Bauchfell nicht überzogene Stück des Magens, welches am Zwerchfell anliegt, stellt somit das Ende der bauchfellfreien hinteren *Regio cardiaca* dar.

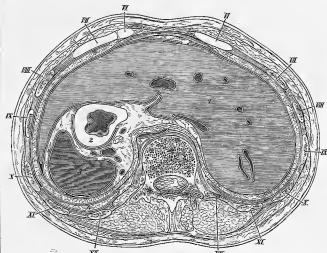


Fig. 1. Cadaver viri, 50 annorum. $\frac{1}{2}$.
2. Rippen. 3. Pfortader. 4. Lin. 6. Pfortader.

Man wird die Verhältnisse, trotzdem auf älteren Zeichnungen diese freie Stelle nicht so ausgedehnt wiedergegeben wird, doch für normal erkennen, wenn man die beigegebenen Querschnitte vergleicht; dieselben zeigen bei verschiedenen Individuen ganz das Nämliche.

Es ist bei der Betrachtung des Bauchfells im Auge zu behalten, dass dasselbe zwei mechanische Funktionen vornehmlich zu erfüllen hat: dass es die Organe an bestimmten Stellen in der Bauchhöhle fixirt, aber auch wieder gleich einem colossalen sinuösen Schleimbeutel die Verschiebung derselben gegeneinander bei dem wechselnden Stände ihrer Anfüllung ermöglicht. Eine solche Verschiebung wird überall da eintreten können, wo die schwarzen Linien, ähnlich den Gelenkspalten, die Höhlungen des *Peritonaeum* wiedergehen; an den Stellen dagegen, wo das *Peritonaeum* sich umschlägt und einen freien Raum an den Organen zum Eintritt der Gefässe übrig lässt, sind die Organe an ihre Umgebung fixirt.

Um die Verhältnisse zu zeigen, wie sie sich bei Individuen verschiedenen Alters darstellen, habe ich hier zwei Abbildungen im Holzschnitte beigefügt. Die eine Abbildung, Fig. 1, ist von dem Cadaver eines 50-jährigen Mannes genommen, der eine vergrösserte Leber und

Milz hatte; die andere, Fig. 2, von dem frischen Cadaver eines ausgehenden normalen Mädchens, welches wegen hochgradiger Beckenenge der Mutter nach vorausgegangener *Kephalotrypie* extirpirt ward, also zur Welt kam, ob es noch gestutzt hatte.

Der Cadaver des älteren Mannes ist derselbe, der Tafel IX zum Grunde liegt. Der Tod war durch Erhängen herbeigeführt; Magen und Därme leer. Die Abbildung ist in halber natürlicher GröÙe (linear) gehalten.

Der Schnitt bei Fig. 2 ging durch den 10. Brustwirbel, und vorn durch den *Processus xiphoides*. Der Magen war bis auf eine Spur von gefrorenem Schleim leer. Die Lungen, durchaus normales Gewebe, absolut frei von Luft. Die Leber den frühen Alter entsprechend, gross und fettreich. Nebennieren gross; ebenso die Milz.

Der gut entwickelte starke Körper des Kindes zeigte nirgends Abnormalitäten, kam im frischesten Zustande auf die Anatomie und ward sogleich zum Frieren gebracht.

Im höchsten Grade überraschend ist die fast zum Verwechseln grosse Aehnlichkeit der beiden Durchschnitte Fig. 1 und 2, also des mit Fettleber behafteten älteren Mannes und des neugeborenen Kindes. Auch die halbe GröÙe des erstern entspricht so überaus genau den kindlichen Verhältnissen, dass ich noch ganz besonders betonen muss, wie sorgfältig die Verkleinerung der ursprünglichen Zeichnung gemacht wurde, und wie genau der Zeichner zu Werke ging, als er mittels Pauspapiers auf den fest gefrorenen Präparaten die Zeichnungen anlegte und ausführte.

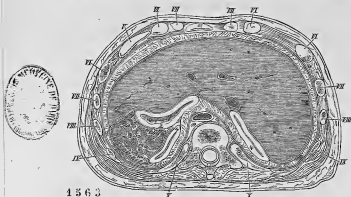


Fig. 2. Cadaver puella, 10 mensium, mortuae nativ. $\frac{1}{2}$.
1. Diaphrag. 2. Pericardium. 3. Lm. 4. Glacialis epigastrica.

Die Leber füllt bei beiden Figuren fast den ganzen Raum innerhalb des Zwerchfells und umgibt ein grosses Stück weit die Milz, welche in gleicher Weise nach hinten zu neben der Wirbelsäule liegt wie auf der Tafel XV. Nur der Magen zeigt eine bedeutsame Verschiedenheit. Er ist bei Beiden im leeren Zustande, hat auch dieselbe Lage zwischen linkem Leberlappen und Milz, und wendet bei Beiden dem Zwerchfell ein Stück Wandung zu, welche vom *Peritoneum* nicht überzogen ist; dagegen zeigt er eine sehr verschiedene Form. Während er bei dem älteren Manne eng contrahirt ist wie ein Darm, bildet er bei dem kindlichen Cadaver einen queren Spalt, so dass die vordere Wand wie erschlaft auf der hinteren aufliegt; eine Form, die ich bei erwachsenen Individuen nie beobachtete.

Vor der rechten Nebenniere liegt bei dem kindlichen Cadaver die *Vena cava inferior*, etwas tiefer unter dem *Lobulus Suprahepatis* eingebettet, als bei dem älteren Manne, bei dem die Nebennieren noch nicht auf der Schnittfläche zu sehen sind, trotzdem der Schnitt um 3 Wirbel tiefer gelegen ist. Dagegen ist, dem geringeren Contractionsvermögen der älteren Lunge entsprechend, bei Fig. 1 noch in der Höhe des ersten Lendenwirbels Lunge im Pleuraraume zu sehen, während bei dem 22jährigen Manne, Taf. XIV, die Pleurahöhlen schon am 11. Rückenwirbel leer sind, und bei dem neugeborenen Kinde, Fig. 2, gar schon beim 10. Wirbel. Bei dem neugeborenen Kinde ist eben der Thorax in den höchsten Grad der Expiration gestellt, in den er nie wieder zurückzukehren vermag, sobald die erste Inspiration erfolgt. Der gesammte Inhalt der Oberbauchgegend wird somit herrschen müssen, sobald das Zwerchfell bei der ersten Inspiration seinen hohen Stand verlässt, und das Bild, welches hier 3 Wirbelkörper höher liegt als bei dem älteren Manne, wird dann seine Stelle um ein Beträchtliches tiefer finden.

Da auf Tafel XV der Magen angestrichen erscheint, der doch nur einen geringen Grad von Füllung zeige, so drängt sich die Frage auf, wie das Bild sich wohl gestalten würde, wenn der Magen stärker angefüllt wäre. Man sieht leicht ein, dass, abgesehen von einer stärkeren Vortreibung der vorderen Bauchwand, die nach jeder reichlichen Mahlzeit wahrge-

nommen wird, auch die unteren Rippen Raum geben müssen, was bei dauernder Aufreibung des Banches sogar zu einer bleibenden Ausbiegung des unteren Thoraxsegmentes führt, wie sie sich namentlich bei überfütterten Kindern nachweisen lässt. Aber auch der linke Leberlappen wird den Bewegungen des Magens mehr oder weniger folgen müssen, da er ja wie ein Deckel über den Magen hingeliegt ist. Er wird mit dem aufgetriebenen Magen sich erheben und damit auch das Zwerchfell nach aufwärts drängen, und mit dem sich contrahierenden Magen, dessen Raum nun zum Theil die aufsteigende *Flexura coli sinistra* einnimmt, herabsinken. Die mesenteriumartige Gestaltung des *Ligamentum coronarium hepatis sinisterum* macht solche Bewegungen des linken Leberlappens möglich, die entweder mit einer Drehung der gesammten Leber verbunden sind, deren Achse am rechten Lappen zu suchen ist, entsprechend der festen und breiten Anheftung desselben an der rechten Zwerchfellhälfte, oder durch Verbiegung und Dehnung des weichen Gewebes zu Stande kommen.

Beifolgende Figur 3, in verkleinertem Massstabe aus *Pirogoff* entnommen, wird die Verhältnisse in etwas anschaulich machen, wenn man auch hieraus kein vollständig genaues Verständnis über Form und Lage des linken Leberlappens gewinnen wird.

Auch aus dieser Abbildung ist ersichtlich, dass die Milz so weit nach hinten liegt, dass eine Bestimmung ihrer hinteren Grenze durch

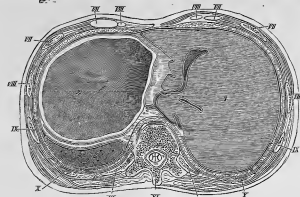


Fig. 3. Cadaver juvenis, 15 annorum. Ventriculus alive extensus.

Pirogoff, III, 3, 1. $\frac{1}{10}$.
1. Diaphrag. 2. Pericardium. 3. Lm. 4. Glacialis epigastrica. 5. Vena cava inferior.

Percussion nicht möglich ist. Man bekommt nun zwar beim Perkutiren in horizontaler Richtung um den Thorax herum nach der Wirbelsäule zu in der Milzhöhe einen Klangunterschied, wenn man sich der Wirbelsäule nähert, wird jedoch auf Grund vorliegender Abbildungen diesen Befund nicht auf ein zwischen Milz und Wirbelsäule liegendes lufthaltiges Organ beziehen können, sondern die Ursache dieser Erscheinung in der Aenderung der Rippenelasticität an dieser Stelle zu suchen haben. Man findet auch stets, wenn man in senkrechter Richtung am Rücken und in der Achselhöhle von oben nach abwärts perkutirt, den Beginn der Dämpfung in einer horizontalen Linie, die der Grenze der Lungenbasis entspricht, welche den obersten Theil der schräg nach vorn und abwärts gerichteten Milz verdeckt.

Von der relativ festen Lage der Milz, bedingt durch die Anheftung des Bauchfells, das sogenannte *Ligamentum phrenocolicae*, kann man sich leicht überzeugen, wenn man bei einem Cadaver den obersten Theil des Thorax entfernt und mit Erhaltung des Bauchfellsackes das Zwerchfell nur soweit abpräparirt, dass Leber, Magen, *Flexura coli sinistra* und oberer Band der Milz hindurchschimmern. Man kann den Magen aufblasen und wieder zusammenfallen lassen, dann von unten her das *Colon descendens* anfüllen und wieder entleeren; man wird stets den oberen Band der Milz (den nur soweit darf man das Zwerchfell hinwegnehmen) unveränderlich finden. Auch bei Umlegung des Cadavers auf den Bauch sieht die Milz nicht nach vorn, sondern bleibt in ihrer ursprünglichen Stellung.

Anders gestaltet sich dagegen das Verhältniss, wenn die Anheftungen der Milz an dem Zwerchfell spärlich oder leicht zerreislich, oder zu langen Bändern ausgeartet sind. Dann treten die Erscheinungen der sogenannten beweglichen Milz auf.

In dem reichhaltigen Atlas von *Pirogoff*, fasc. III B., findet sich eine Reihe plastischer Darstellungen, die durch Herausheben der Wandungen gewonnen wurden, so dass man Leber, Magen und Milz in ihrer ursprünglichen Lage abbilden konnte. Man erkennt aus diesen Blättern, dass die von mir angegebenen Verhältnisse über die Lage der Milz den *Pirogoff*'schen Befunden vollkommen entsprechen.

TAFEL XVI.

Die Abbildung zeigt den 1. Lendenwirbel in seiner Mitte getroffen. Daneben hat man rechts die Durchschnittsfächen der 12., 11., 10., 9., 8., 7., 6., 5. Rippe. Die 7. und 8. Rippe ward doppelt getroffen, weil vorn die aufsteigenden Knorpelbögen mit in die Schnittfläche heraufragten. Links neben dem Wirbel fehlt die 12. Rippe, da sie so kurz war, dass sie nicht einmal bis zur Schnittfläche herabging, sondern vollständig in der vorhergehenden Scheibe des Cadavers verborgen blieb. Man hat hier also nur die Durchschnittsfächen der 11., 10., 9., 8., 7., 6., 5. Rippe. Die 7. Rippe ist an der Umbiegungsstelle des Knorpels getroffen worden; die 8. Rippe dagegen, wie auf der rechten Seite, zweimal. Der Schnitt legte ebenfalls, wie der vorhergehende, die obere Partie der Bauchhöhle frei, mit einem Stückchen der Milz, des Magens und einem grösseren Theile der Leber. Das Zwerchfell ward vorn in seinem Ansatz an die 7. Rippe getroffen, gegenüber dem *M. transversus abdominis*, dann in seinem freien Theile, so dass noch ein Stück der Pleurahöhle zu sehen ist; und hinten in seinen Bogen und Schenkeln. Die Pleurahöhle, deren Complementärraum ganz deutlich erkennbar an der hinteren Wand des Rumpfes bedeutend weiter nach abwärts reicht als vorn, erstreckte sich links bis zum Durchschnitt der 9., rechts sogar bis zu dem der 7. Rippe. Sie zeigte sich nur als feiner, durchgängiger freier Spalt, der sich aber bei Pleuritis zu beträchtlicher Höhlung erweitern, und bereits ziemlich grosse Quantitäten Flüssigkeit beherbergen kann (bis über 1 Pfund), die dieselben diagnostisch nachweisbar werden. Eine normale Lunge vermag jedoch selbst bei tiefer Inspiration nicht bis hierher herabzukommen.

Ausser den Resten von Leber, Magen und Milz erkennt man in der vom Zwerchfell und vorn vom *M. transversus abdominis* umschlossenen Bauchhöhle die Nieren, das Pankreas und Därme. Die Scheibe, deren obere Fläche hier abgebildet ist, hatte eine Stärke von 9 Centimeter und ragte mit ihrer unteren Fläche bis zum Nabel.

Um die Darmhöhlungen sichtbar zu machen, wurde mit grösster Sorgfalt durch heisse Fincetten der gefüllte Inhalt von der Mitte aus losgebrochen, ehe noch die Darmwandungen aufgethaut waren, so dass man dieselben dann noch im erstarrten Zustande mit ihren Falten genau abzeichnen konnte. Man erkennt daher leicht an den regelmässigen und stark vorspringenden Kerkringschen Falten den Dünndarm, und an den unregelmässigen und flachen Schleimhautvorsprüngen den Dickdarm.

An der Leber, vorn, links nach innen zu, liegt in einer ähnlichen Aushöhlung wie hinten die Niere, das *Colon ascendens*, unmittelbar unter der *Pleura costalis dextra* quer durchgeschnitten, so dass man in seine Höhlung tief hineinsehen kann. Der Inhalt bestand aus grün gefärbten Fäkalmassen und enthielt nur wenig Luft. Zwischen dem *Colon ascendens* und der rechten Niere liegt das *Duodenum*, und zwar in seinem senkrechten Theile, da es um den Kopf des *Pancreas* sich herumwindet, quer abgeschnitten. Die Leber selbst erfüllt wie ein Ausguss den übrigen Raum nach aussen von diesen drei Organen bis zum Zwerchfell. Man erkennt an ihrer Oberfläche ganz deutlich die Abdrücke der Nachbartheile. Ihre convexe Oberfläche schliesst häufig an die Zwerchfellfläche an, nach innen dagegen wird der Leberumriss unregelmässig durch Vorsprünge und Vertiefungen; vorn durch die *Impressio colica*, hinten durch die *Impressio renalis*. Formen, die an den herausgenommenen Organen zwar auch noch zu erkennen sind, aber doch wegen der Ausdehnung des Druckes innerhalb der Peritonealhöhle mehr verschwinden müssen.

Von der Milz ist nur noch ein kleines Stückchen zu sehen, und zwar überall von Peritonealhöhle umgeben, also nirgends an dieser Stelle mit der Umgebung verwachsen. Sie ragt mit ihrem hinteren

Ende bis zum Querschnitt der 11. Rippe, entspricht also, wenn man die vorhergehende Tafel mit in Betracht zieht, in ihrer Lage dem Laufe und der Krümmung der 9., 10., 11. Rippe. Damit stimmt vollständig überein, was *Luscka* neuerdings über die Lage dieses Organs veröffentlicht hat (*Prager Vierteljahrsschrift*, Bd. CI, 1869, pag. 122).

Im Texte zu Tafel XIV habe ich drei Holzschnitte, Fig. 1, 2, 3, beigegeben, die ebenfalls die Lage der Milz erläutern, wenn sie auch nicht ursprünglich auf diesen Zweck gerichtet waren. Sie stellen die Lage der Organe der Oberbauchhöhle in den Kuppeln des Zwerchfells dar bei verschiedener Füllung des Magens, und wurden nach Präparaten angefertigt, die unter Erhaltung des *Peritoneum* bei Wegnahme der oberen Hälfte des *Thorax* und eines Theiles des Zwerchfells eine Einsicht von oben her gestatteten. Trotz der perspectivischen Zeichnung, die die Lage der Milz nicht völlig correct wiedergibt, geben sie ähnliche Resultate.

Es müssen ferner hierbei die Abbildungen von *Pirogoff*, fasc. III. B, verglichen werden, welche plastische Darstellungen enthalten, die durch Herausziehen der Organe aus dem gefrorenen Cadaver gewonnen wurden.

Aus allen diesen Darstellungen geht hervor, was auch *Luscka* angiebt, dass die Milz nicht den höchsten Punkt der linken Zwerchfellkuppel einnimmt, auch nicht mit ihrem *Hilus* an dem *Pundus* des Magens anliegt, sondern dass der *Pundus* des Magens, vom linken Leberlappen wie von einem Deckel überdeckt, am höchsten in der linken Zwerchfellkuppel liegt, und erst seitlich von ihm die Milz ihre Lage einnimmt.

Dieser Lage entsprechend wird auch die Milz nicht den grössten Excursionen des Zwerchfells ausgesetzt sein und weniger beim Athmen dislocirt werden als wenn sie hoch oben in der Kuppel des *Diaphragma* läge. Doch ist dieser Einfluss immerhin beträchtlich genug, um praktisch verwertet werden zu können. Man wird zwar nicht immer mit Sicherheit eine normal grosse Milz selbst bei tiefem Inspirium unter dem linken Rippenbogen fühlen, trotzdem sie beim Lebenden schon an und für sich durch das Zwerchfell tiefer gestellt ist, als beim Cadaver mit dem hohen Expirationszustand; man wird jedoch bei Vergrösserungen derselben fast stets im Stande sein, das voluminöse Organ mit dem Finger zu erreichen, wenn man nur das Individuum recht tief einathmen lässt. Die Grössebestimmungen der Milz durch Perkussion finden immer gewisse Schwierigkeiten, die nicht unterschätzt werden dürfen. Ich erinnere nur an die Nachbarschaft der Niere, und der *Pleura costalis sinistra*, welche bei Kothanhäufungen schon mehr als einmal einen Milztumor simulirt hat.

Vom Magen ist nur noch vorn am linken 7. Rippenknorpel ein Streifen zu sehen; der Zusammenhang mit dem zwischen Leber, Pankreas und rechter Niere liegenden *Duodenum* ist nicht mehr vorhanden. Man erkennt aber aus der Lage des *Duodenum*, dass der *Pylorus* nahe an der Mittellinie des Körpers gelegen haben muss, so wie das der Pfortertheil des Magens eine schräge Richtung von vorn nach hinten verfolgte, so dass die *Valvula pylori* nicht rein sagittal sondern mehr frontal, also schräg nach vorn gerichtet sein musste (*Luscka*). Im Atlas von *Pirogoff*, III. 2, Fig. 1, befindet sich ein Durchschnitt, der gerade durch den *Pylorus* des Magens geht, und dessen Lage genau wiedergibt. Nach dieser Abbildung lag der *Pylorus* in der vorderen Hälfte der Bauchhöhle, dem 11. Brustwirbelkörper gegenüber, unmittelbar rechts neben der Mittellinie des Körpers. Es stimmt also dieser Befund vollständig mit den Angaben von *Luscka* überein, wonach der *Pylorus* nicht im rechten *Hypochondrium* zu suchen ist, da er nicht einmal den rechten Rippenbogen erreicht. Man kann aus der vorhergehenden Abbildung erkennen, dass auch hier der *Pylorus* eine

ähnliche Lage gehabt haben musste. Es geht ferner aus demselben hervor, dass die *Pars horizontalis superior* des *Duodenum* nicht von links nach rechts in querer Richtung verläuft, sondern mehr sagittal von vorn nach hinten zu geht, zwischen *Ductus choledochus* und Gallenblase, bis in die Nähe der *Porta hepatis*.

Das *Duodenum* ist gerade an der Umbiegungsstelle des oberen Horizontaltheiles in den senkrecht absteigenden Theil getrennt. Zwischen der *Vena cava inferior* und dem *Pancreas* erkennt man den weiss gehaltenen Durchschnitte des *Ductus choledochus*, der an der linken Seite des *Duodenum* herabgekommen ist, um in den senkrechten Duodenaltheil am Kopfe des *Pancreas* einzumünden.

Wenn man in die Höhlung des *Duodenum* hineinsieht, so erkennt man, wie dasselbe um den Kopf des *Pancreas* sich herumbiegt, um dann nach links zu in die *Pars horizontalis inferior* einzumünden.

Bei der Beweglichkeit des Magens, ohne welche die verschiedenen Füllungsgrade grosse Störungen setzen müssten, lässt sich erwarten, dass die Lage des *Pylorus* und damit das obere Stück des *Duodenum* mit der Füllung und Entleerung des Magens wechselt. Ich habe nachgewiesen, dass während bei leerem Magen der *Pylorus* nahe der Mittellinie zu liegen kommt, derselbe bei starker Magenfüllung mehrere Centimeter weit nach rechts hinübertritt. Diesen Lageveränderungen folgt das obere Stück des *Duodenum*, welches in dem *Ligamentum hepatoduodenale* ein *Mesenterium* besitzt, das solche Ortsveränderungen möglich macht. Aber auch das mittlere senkrecht verlaufende Stück des *Duodenum* ist in seiner Lage nicht absolut fixirt. Es folgt den Bewegungen des daneben liegenden *Colon ascendens*. Es wird bei starker Anfüllung desselben nach links zur Mittellinie verschoben und rückt dann wieder nach rechts hinüber, wenn das *Colon* sich entleert hat.

Das *Pancreas* ist in ziemlicher Länge getroffen, jedoch schief geschnitten, so dass links nur wenig, rechts am Kopfe desselben ein bedeutend stärkerer Theil zurückgeblieben ist. Es entspricht dies Verhältniss der Lage des *Pancreas*. Dasselbe liegt nicht genau horizontal, sondern geht schräg von links nach rechts abwärts. Daher ist auch die *Vena lienalis*, welche unter dem *Pancreas* liegt, nur ein Stück weit aufgeschnitten worden, so dass man in die *Lamina* der in sie von unten her einmündenden Venen hineinblickt.

Die Vene, welche gerade in der Mittellinie des Körpers in die Milzvene einmündet, und von da an den Stamm der Pfortader mit bilden hilft, ist die *Vena mesenterica superior*. Sie ist in ihrer Lage so constant, dass sie bei Längsschnitten, welche die Mittellinie des Körpers innehalten, ein grosses Stück weit frei gelegt wird (cfr. Tab.

I u. II). Der Theil des *Pancreas*, welcher hinter der Vene liegt, gehört zum sogenannten *Pancreas parvum*.

Die Lage des *Pancreas* in der Höhe des ersten Lendenwirbelkörpers entspricht dem Befunde bei Tab. I u. II; jedoch wechselt die Breite dieser Drüse, so dass sie mitunter noch bis auf den Nuchalarwirbel sich erstreckt.

Hinter dem *Pancreas* liegt rechts die *Vena cava inferior*, mit der in sie einmündenden *Vena renalis sinistra*. Links daneben zeigt sich die *Aorta abdominalis*. Nach vorn geht von derselben die *Arteria mesenterica superior* ab, um unter dem *Pancreas* hinweg zur Wurzel des *Mesenterium* zu gelangen. Die *Aorta* hat nahezu schon die Mittellinie erreicht, in welcher sie sich bis zur Theilung in beide *Iliacae* unter dem 3. Lendenwirbel hält. Ihre Entfernung von der vorderen Bauchwand beträgt 9 Centimeter, während diese Entfernung auf der vorhergehenden Tafel, No. XV, in der Höhe des 11. Brustwirbels bei demselben Cadaver 10 Centimeter betrug. Auf der folgenden Tafel, No. XVII, dem oberen Rande des 4. Lendenwirbels entsprechend, beträgt diese Entfernung nur noch 7 Centimeter, so dass man deutlich erkennt, dass die sich nach vorn krümmende Lendenwirbelsäule die Arterie der Bauchwand immer näher bringt und so die Compression derselben von vornher endlich möglich macht.

Die Nieren sind so getroffen worden, dass die rechte Niere oberhalb des Hüfens durchschnitten ward, während bei der linken Niere der Schnitt durch denselben hindurchging. Die linke Niere lag somit um ein Stück höher als die rechte, ein Verhältniss, welches in der Mehrzahl der Fälle sich findet. Die Höhe der Nieren entsprach der Höhe von $3\frac{1}{2}$ Wirbelkörpern. Sie reichten vom oberen Rande des 12. Brustwirbels bis zur Mitte des 3. Lendenwirbels. Da sie oben an Milz und Leber anstossen, und nach hinten zu von Zwerchfell und Pleurahöhle begrenzt werden, so wird man erwarten müssen, dass sie bei Herabdrängung des Zwerchfells durch grosse pleuritische Exsudate ebenso verdrängt werden, wie Leber und Milz. Ebenso müssen Vergrößerungen der Leber und Milz dislocirend auf sie einwirken, eine Thatsache, die bei der nächsten Tafel noch genauer dargelegt werden wird.

Die Stellung der Nieren ist keine frontale, sondern mehr eine sagittale. Ihr *Hilus* ist mehr nach vorn gewendet, als nach innen zu. Nach *Laschka's* Angaben schneiden sich die Linien, welche durch den *Hilus* gehen und der grössten Breite der Nieren entsprechen, wenn man sie nach vorn verlängert, unter einem Winkel von 60° vor der Mitte des 1. Lendenwirbels; eine Angabe, die mit den Verhältnissen auf der vorliegenden Tafel so ziemlich übereinstimmt.

TAFEL XVII.

Der hier abgebildete Schnitt geht durch den Nabel, trifft die Weichen nahe über den Darmheischaukeln und trennt die Bandscheibe zwischen 3. und 4. Lendenwirbel. Von den Rippen ist nichts mehr zu sehen. Wir befinden uns also unterhalb des Thorax in der Mitte des Unterleibes. Die Wandungen der Unterleibshöhle sind vorn durch die geraden, seitlich durch die drei Schichten der schiefen Bauchmuskeln, hinten durch die *Quadrati lumborum* und die stark nach innen vorspringende Bandscheibe, mit dem beiderseitigen *Psoas*, gebildet. Die hintere Wand, an der keine *Processus transversi* zu sehen sind, da der Schnitt zwischen denselben hindurchgeht, erhält noch eine Verstärkung durch die starken Muskelbäuche der Rückenmuskeln. Der Inhalt der Bauchhöhle besteht ausser den grossen Gefässen und Ureteren (da wir uns bereits unterhalb der Nieren befinden), vornehmlich aus dem *Colon ascendens*, *Colon transversum*, *Colon descendens* und Dünndärmen. Auch bei Herstellung dieser Abbildung ward sorgfältig der Darminhalt herausgenommen, so dass die Darmwände in ursprünglicher Lage sich abzeichnen liessen.

Wie man aus der Bezeichnung schon erkennen kann, liegt auch hier die obere Fläche einer Scheibe vor. Dieselbe ward von demselben Cadaver genommen wie die übrigen, und hatte eine Stärke von $4\frac{1}{2}$ Centimeter.

Ehe ich auf die Beschreibung der einzelnen hier abgebildeten Theile eingehe, habe ich, wie schon im Texte zur vorigen Tafel erwähnt wurde, noch Einiges über die Nieren nachzutragen. Dieselben lagen vollständig oberhalb der Schnittfläche, endeten noch im Bereiche der Rippen, lagen also höher als man vielfach annimmt; denn Manche hat sich gewöhnt, vorzugsweise in dem Raume zwischen Thorax und Darmbein, beiderseits neben der Wirbelsäule, die Nieren zu suchen. Man hält damit im Zusammenhange auch ihre Lage für eine von den Bewegungen des Zwerchfells und den Vergrösserungen der Leber und Milz unabhängige. Ich glaube nachweisen zu können, dass nach beiden Beziehungen hin die Verhältnisse anders liegen, dass die Lage der Nieren eine veränderliche ist. Zunächst ist auch hier zu betonen, dass vollkommen normale Nieren gefunden wurden.

Beide Nieren nahmen die Höhe von $3\frac{1}{4}$ Wirbelkörpern ein, und reichten vom oberen Rande des 12. Brustwirbels bis zur Mitte des 3. Lendenwirbels herab; wobei noch zu bemerken ist, dass sie nicht genau in gleicher Höhe lagen, sondern dass die linke die rechte um etwas überragte. Nach *Luschka's* Angaben (*Anatomie*, II. 1. p. 289) sollen sie sich von der Mitte des 11. Brustwirbels bis zum unteren Rande des 2. Lendenwirbels herab. Ich will nicht diesen Unterschied betonen, sondern glaube, dass diese Angaben als mit den meining übereinstimmend angesehen werden können, da bei solchen Bestimmungen die halbe Höhe eines Wirbels nicht viel ausmacht. Der *Hilus* wäre demnach in die Höhe des 1. Lendenwirbels zu verlegen, und damit übereinstimmend zeigt sich die Lage der grossen Nierengefässe sowohl auf Tafel I wie auf Tafel II. Dieselben Befunde geben auch die schönen Tafeln im Atlas von *Pörgoff*, fasc. III, Tab. 4—9, soweit sie normale Individuen betreffen. Auch hier findet man den *Hilus renum* durchschneidend vor dem 1. Lendenwirbel. Die obere Grenze, innerhalb deren die Nieren geschnitten werden, ist durch den 11. Brustwirbel gegeben, und die untere durch das Aufhören der Ripperdurchschnitte, dem 3. Lendenwirbelkörper etwas entsprechend.

Anders gestaltet sich dagegen das Verhältnis, wenn man Senkungen des Zwerchfells oder Vergrösserungen von Leber und Milz vor sich hat. Dann werden die Nieren aus ihrer Lage verschoben und erfahren eine Dislokation, die mehrere Wirbelhöhen betragen kann. Bei einem pleuritischen Exsudat der rechten Seite zeigte sich in der Mitte des 12. Brustwirbels noch nichts von einer Niere (*Pörgoff*, III, 6, 3); und bei dem 50jährigen Manne, mit Leber- und Milzvergrösserung, den ich oben öfter erwähnt habe, fand sich der *Hilus*

renum, wie der Holzschnitt in Fig. 1 zeigt, erst in der Höhe des 4. Lendenwirbels. Die Nieren waren also hier recht eigentlich in die Weichteile herabgedrückt worden.

Die Nieren haben somit wohl bei normalen Verhältnissen eine ziemlich bestimmte Lage, sind aber in derselben nicht so fixirt, dass sie der von oben herabdringenden Leber und Milz bei Vergrösserungen ihres Volums oder bei Verdrängung durch das Zwerchfell Widerstand zu leisten vermöchten.

Von den Därmen liegt auf Tafel XVII vorn der unterste Theil des *Colon transversum* vor, links hinten das eng zusammengezogene *Colon descendens*, rechts hinten das mehr ausgedehnte *Colon ascendens*. Beide, aufsteigende wie absteigendes *Colon*, liegen in dem Winkel, den die neben der Wirbelsäule liegenden Fleischmassen des *Psoas* mit dem *Quadratus lumborum* bilden. Mehr im Innern der Bauchhöhle erkennt man Dünndarmschlingen, doch bei Weitem nicht soviel als man erwartet hatte. Vom *Colon descendens* an, an der Vorderseite des *Colon transversum* hinweg zieht sich bis zum *Colon ascendens* die Schnittfläche des grossen Netzes hindurch.

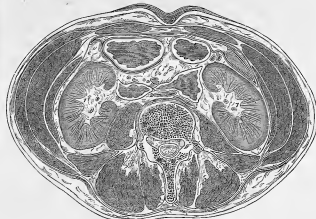


Fig. 1. Cadaver viri, 60 annorum. „Dislocatio renum.“ $\frac{1}{2}$.
1. 1. Nieren. 2. Psoas vasa inferior. 3. Aorta abdominalis.

Bemerkenswerth ist bei sämtlichen Därmen das so ausserordentlich verschiedene Caliber. Je nachdem sie leer oder durch Inhalt fester oder gasförmiger Beschaffenheit ausgedehnt sind, zeigen sie eine kleinere oder grössere Schnittfläche. Das aufsteigende *Colon* und das *Colon transversum* sind sehr gross, ebenso eine Dünndarmschlinge, die das Ende des letzteren beträchtlich comprimirt hat. Die übrigen Dünndarmpartien sind nur wenig ausgedehnt; das *Colon descendens* fast leer. Wenn daher Bilder ähnlicher Durchschnitte vorkommen, wie das im Atlas von *Pörgoff*, III, 10, 1, welches ich hierbei in halber Grösse wiedergebe, wo alle Därme prall angefüllt erscheinen, so entspricht das nicht der Norm, sondern rührt von einer künstlichen übermässigen und gleichartigen Anfüllung her. *Pörgoff* giebt an, dass er durch Luftblasen in die Därme eines sonst normalen Leichnams vor dem Gefrieren des Bauch so stark wie nur möglich aufgetrieben habe.

Entsprechend dieser künstlichen übermässigen und gleichartigen Anfüllung der Därme verläuft sich auch der äussere Contour der Bauchdecken, die an dieser Stelle übermässig beweglich sind, und bis auf den Wirbel nirgends Knochenmassen enthalten. Er zeigt nahezu die Gestalt eines Kreises, während die meingie, welche, wie sich schon aus der Betrachtung der Bauchwölbung ergibt, normalen Verhältnissen entspricht, ein flaches querüberiges Oval darstellt. Man erkennt aus der Länge, welche die schiefen Bauchmuskeln angenommen haben, wie bedeutend die Auftheilung des Unterleibes desselben ausgedehnt hatte, und kann sich aus dieser Verlängerung und Verflüchtigung berechnen, wie sich das Verhältnis bei Schwangerschaft, Ovarienentzündung und *Ameles* gestalten muss, was für die Tiefe der Schnitte zu beachten wäre.

Eine weitere Folge dieser Anfrühung des *Aldomen* ist die Lage der Wirbelsäule. Während auf Tafel XVII die Bandscheibe so ziemlich in der Mitte des Umraumes liegt, findet sich in der *Pirogoff'schen* Abbildung der Wirbel weit hinter dem Mittelpunkt. Die Entfernung der vorderen Banchwand von demselben beträgt auf Tafel XVII 7 Centimeter, bei dem Fig. 1 zu Grunde liegenden Durchschnitte nur 6, bei der *Pirogoff's* dagegen $14\frac{1}{2}$, wobei noch bemerkt sein möge, dass der dazu gehörige Durchschnitt fast in gleicher Höhe, nämlich unmittelbar über dem Nabel, angelegt wurde. Es findet sich übrigens gar nicht selten eine noch geringere Entfernung der Banchdecken von der Wirbelsäule vor, als auf Tafel XVII. Da dieselbe von dem Stande des Zwerchfells und der Contraction der Lungen einerseits, von der Anfüllung der Därme andererseits abhängig ist, so wird man leicht begreifen, wie bei normalen Lungen und leeren Därmen der Bauch an der Leiche so eingedrückt werden kann, dass die Lendenwirbelsäule durch die aufliegenden Banchdecken einen deutlich erkennbaren Vorsprung bildet; so dass also diese Distanz auf ein Minimum reducirt ist.

Man wird also bei der Compression der Bauchtaorta für einen hohen Stand des Zwerchfells und für möglichste Entleerung der Därme zu sorgen haben.

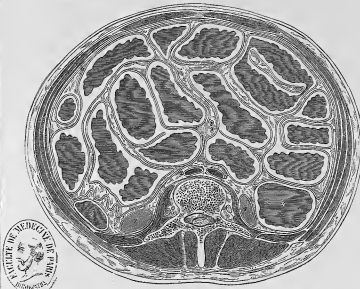


Fig. 2. Cadaver hominis adulti, robusti. Intestina, alve in situ, valde extensa. Pirogoff, III, 10, $\frac{1}{2}$.

1. *S. Stercoris inflexus reatus*. 2. *Aorta abdominalis*. 3. *Vena cava inferior*. 4. *Cela ascendens*. 5. *Cela descendens*.

Dass diese Compression, die z. B. für den glücklichen Verlauf der Exarticulation des Oberschenkels eine unerlässliche Bedingung ist, sich gut ausführen lässt, hat nicht nur die erfolgreiche Anwendung des *Lister'schen* Compressoriums bewiesen, sondern man kann sich auch jederzeit davon selbst durch Versuche am Lebenden überzeugen. Man muss nur darauf achten, dass man in unmittelbarer Nähe des Nabels den Druck anbringt, da bereits nahe unter der Nabelhöhe die Theilungstelle der *Aorta* in beide *Iliacae* liegt, und noch weiter unten der Finger in die Beckenhöhle hineinfallt.

Neben der in der Mittellinie liegenden *Aorta* und der mehr seitlich gelegenen *Vena cava inferior* erkennt man beiderseits auf dem *Psoas* die weisgelblichen Durchschnitte der Ureteren, und neben diesen, noch weiter nach aussen, die *Vena spermatica*. Hinter und zum Theil innerhalb des *Psoas* liegen die Durchschnitte der Lumbalerven.

Die schiefen Bauchmuskeln, deren Schichten sich deutlich von einander schieben, sind unmittelbar über dem Darmbeinkamm geschnitten worden. Das Verhältniss ihrer Sehnen zur Scheide des *Rectus* und *Quadratus lumbi* ist aus der Zeichnung ersichtlich, so dass darüber nichts weiter hinzuzufügen ist. Die *Spinae il. ant. sup.* springen als Kanten noch in dem äusseren Umrisse deutlich vor.

Zum Schlusse bleibt noch übrig, die Lage des *Colon descendens* zu besprechen und Einiges über die Eröffnung desselben hinzuzufügen, die an dieser Gegend ohne Verletzung des *Peritoneum* ausführbar ist, die Operation, die von *Callien* erwähnt, aber zuerst von *Amussat* 1859 ausgeführt wurde und deshalb den Namen der *Callien-Amussat'schen* klistischen Abführung trägt.

Da diese Operation von den meisten Chirurgen deshalb der Eröffnung des *Fleura vitrea* in den linken Inguinalgegend (nach *Littre*) vorgezogen wird, weil das *Colon descendens* eine fixirte Lage hat und

wegen des unvollständigen Peritonealüberzuges eine Incision ohne Bauchfellverletzung gestattet, so erscheint es zweckmässig, zunächst eine Bestimmung der Lage und dann Messungen der vom *Peritoneum* freien Wand des *Colon* auf Grund meiner und der *Pirogoff'schen* Durchschnitte vorzunehmen. Es wird für gewöhnlich angegeben, dass das *Colon descendens* am äusseren Rande des *Quadratus lumborum* liege, und demgemäss bei vertikaler Schnittführung die Wunde am äusseren Rande dieses Muskels angelegt. Es ergibt sich aber, dass diese Angabe nicht unter allen Verhältnissen das Richtige trifft. Am unteren Rande der Nieren liegt allerdings das *Colon* weiter nach aussen, als in der Nähe des Darms; ebenso hat der *Quadratus lumborum* oben eine geringere Breite als unten, so dass diese Regel allerdings für die Höhe des dritten Lendenwirbelskörpers gelten mag; für die tiefere Region dagegen ist sie nicht zutreffend. Hier, in der Höhe der Symphyse zwischen 3. und 4., und in der des 4. Wirbels, unterhalb der Nieren, also recht eigentlich im Operationsfelde, deckt geradezu der *Quadratus lumborum* von hinten her das *Colon* und muss somit zurechnen werden, wenn man sicher auf letzteres gelangen will. Nur bei übermässigen Ausdehnungen, die sich nicht so constant wie man erwarten könnte, bei der Operation gefunden haben, breitet sich der Darm so wie nach vorn und innen, auch nach aussen hin aus (*Pirogoff*, III, B. Tab. 14) und überragt um ein Stück den äusseren Rand des erwähnten Muskels.

Es wird somit der Schnitt, der am Rande des grossen Rumpfstreckers von dem Darmbeine an bis in die Gegend der 12. Rippe zu führen ist, die starke Sehne des *M. transversus abdominis* zu trennen haben, bis der *Quadratus lumborum* freiliegt, und dann wird man durch das Muskelfleisch des letzteren hindurchdringen müssen, bis in die retroperitoneal liegende Fettschicht hinein.

Nur in dem oberen Wandwinkel kann man sich neben diesem Muskel halten; oder überhaupt oben, entsprechend dem schrägen Laufe des *Colon*, den Schnitt mehr nach auswärts vor der Wirbelsäule führen, so dass die Wunde nicht genau vertikal liegt, sondern schräg nach oben und aussen geht.

Ist man durch die Fascie unter dem *Quadratus lumborum* vorsichtig hindurch bis in die Fettschicht gelangt, unter genauer Fortführung der Schnitte in gleicher Länge mit der ersten Incision, so dass man einen Wundrichter vermeidet, so gilt es, unter Schonung der Niere, die bei tiefem Stande (*cf. Fig. 1*) leicht das Operationsfeld verdecken kann und dann vorsichtig bei Seite geschoben werden muss, das *Colon* an seiner freien Wand mit Fäden zu fixiren und zu eröffnen. Bei der Unmöglichkeit, das Bauchfell von seiner Rückseite zu erkennen, wird man nur dann mit Sicherheit auf ein Gelingen rechnen können, wenn sich durch Messungen feststellen lässt, wie weit die Umschlängelungen des Bauchfells durchschnittlich auseinander liegen, und in wie weit ihre Lage zum *Colon* eine constante ist.

Es ergab sich zunächst für das *Colon descendens*, das ich hier immer vorzugsweise im Auge behalte, nach Messungen an Durchschnitten von gefrorenen Leichen erwachsener Männer, dass diese Distanz in gerader Entfernung, also nicht der Krümmung der Darmwand entsprechend, 20—25 Millimeter betrug, wenn der Darm leer und eng zusammengezogen war (in der Höhe zwischen 3. und 4. Lendenwirbel); ferner, dass die freie Seite des Darmes, wie auf Tafel XVII, nicht nach hinten, sondern etwas nach einwärts gewendet war, genau gegen den Winkel hin, den *Psoas* und *Quadratus lumborum* mit einander bilden. Sind die Dünndärme dagegen sehr aufgetrieben, dann wird allerdings auch das Bauchfell zwischen *Psoas* und *Colon* ein Stück weit herabgezogen, und das *Colon* durch den Zug der parietalen Bauchfellplatte ein Stück weit um seine Achse gedreht (*Fig. 2*), so dass seine freie Wand mehr nach auswärts gerichtet ist.

Ist das *Colon* dagegen selbst aufgetrieben, dann wird die vom Bauchfell freie Wand beträchtlich grösser; und kann eine Breite von 50—60 Millimeter gewinnen.

Aber auch auf das aufgetriebene *Colon* scheint der Meteorismus der Dünndärme drehend einzuwirken; bei Vergleichung der *Pirogoff'schen* Abbildungen ergibt sich wenigstens in gleicher Weise wie bei dem contrahirten *Colon*, dass seine freie Wand etwas nach aussen gewendet war (*cf. Pirogoff*, III, B. Tab. XIV, 2).

Da man bei Ausführung der Colotomie wohl oft einen aufgetriebenen Bauch vorfindet, so halte ich diese Bemerkungen nicht für überflüssig. Ich hoffe, dass sie mit dazu beitragen werden, die Vermeidung des Bauchfalls sicherer zu machen als bisher, wo dieselbe so sehr dem Zufall überlassen blieb, dass ein Drittel aller Fälle Bauchfellverletzungen zeigten und dadurch den Werth der *Amussat'schen* Methode sehr problematisch erscheinen lassen, wenn nicht aseptisch vorgegangen wird.

TAFEL XVIII.

Die Scheibe, deren obere Fläche hier abgebildet vorliegt, hatte eine Stärke von 3 Centimeter und gehörte demselben normal und kräftig gebauten Leichnam an, wie die vorhergehenden und nachfolgenden. Der Schnitt ging durch die Darmbeinschaufeln, knapp oberhalb der *Spinae anteriores superiores* und traf das Kreuzbein am *Promontorium*, so wie am oberen Ende seines Gelenkes mit dem Darmbeine. Die Gelenkspalte ward auf der linken Seite eben noch freigelegt. Die Bauchhöhle, an der Grenze zwischen *Mesogastrium* und *Hypogastrium* durchgeschnitten, zeigt das Convolut der Dünndärme im Zustande mittlerer Füllung, daneben rechts das *Cecum* mit dem dahinter liegenden zweimal getroffenen *Processus vermiformis*, links das *Colon descendens* an der Uebergangsstelle zur *Flexura iliaca*. Die Darmöffnungen, die auch hier noch im erstarrten Zustande gereinigt und naturgetreu abgebildet wurden, zeigen verschiedene Grösse und Form, je nach dem Grade ihrer Füllung. Sie haben fast nirgends die kreisförmige Gestalt, wie sie der aus seinen Verbindungen gelöste angefüllte Darm auf dem Durchschnitte darbietet, sondern ähneln mehr Durchschnitten von prismatischen Körpern; eine Folge der dichten Aneinanderlagerung im gegebenen Raume.

Im *Cecum*, welches unterhalb der Bauhin'schen Klappe durchgeschnitten wurde, erkennt man an der medialen Wand, die in ihren Linien der Krümmung des Psoas-Durchschnittes folgt, den Eingang zum *Processus vermiformis*, der in Folge seiner nach aufwärts gerichteten Windung in zwei Theile zerschnitten ward. Der Endsatz desselben liegt mit zwei Venen in seinem besonderen *Mesenterium*.

Die Spalten, welche die Bauchhöhle anzeigen, wurden erst sichtbar, nachdem sich die einzelnen Därme beim Anfrühen von einander abziehen liessen. Um sie auf der Zeichnung deutlich zu machen, mussten Doppellinien angelegt werden, welche auch hier wie auf den früheren Blättern eine übermässige Breite haben. Es ist von keinem Interesse, den Faltungen des Bauchfalls und den darzwischen liegenden Spalten zu folgen, die eben abgezeichnet wurden, wie sie sich am aufgethauten Präparate herausstellten. Zu bemerken ist nur, dass wir uns hier unterhalb der Wurzel des *Mesenterium* befinden, dass sich also kein solcher Streifen von fetthaltigen Längsgewebe, wie auf der vorigen Tafel, mehr findet, der die Gefässe zwischen den Spalten hindurch bis zu den Därmen selbst führt. Der Spalt zieht vielmehr quer vor dem *Promontorium* von einer Seite zur andern, so dass sich die Därme überall von der hinteren Bauchwand abheben liessen, bis auf eine kurze Stelle an der *Flexura iliaca*. Der Verlauf der Flexur selbst liess sich nicht weiter verfolgen, da mittlerweile die Massen durch das Anfrühen zusammengefallen waren.

Vom grossen Netze erkennt man vorn noch einen Abschnitt quer den Därmen vorgelagert.

Die Umgrenzungen der Bauchhöhle sind hier bereits bedeutend festere geworden, als bei dem vorhergehenden Schritte in der Höhe des Nabels. Dort waren es mit Ausnahme des grossen Lendenwirbels die platten Bauchmuskeln allein, welche die Därme umschlossen. Hier geben das breite Kreuzbein und die zungenartig vorspringenden Schaufeln der Darmbeine mit dem daran liegenden Muskelpolster in grosser Ausdehnung Schutz und Begrenzung. Die platten Bauchmuskeln, die bereits zum Theil sich an diese Knochenwandung inseriren, bilden nicht mehr die Krümmung, welche die Wirkung der Bauchpresse so verständlich macht, wie auf der vorigen Tafel, sondern laufen im flachen Bogen als vordere Wand von einem Knochenvorsprunge zum andern. Die Mächtigkeit ihres Muskelfleisches hat mit Ausnahme der *Recti* schon bedeutend abgenommen. Da wir uns hier unterhalb der *Lincae semicirculares Douglasii* befinden, so ist auch die frühere Scheide der *Recti* nicht mehr vollständig. Die Sehnen der *Obliqui* und des *Transversus* ziehen sämmtlich nach der vorderen Seite des *Rectus*, um sich dort in

der *Linca alba* zu einer festen Platte zu vereinigen. Die hintere Fläche des Muskels ist frei davon und nur durch zwei zarte Membranen noch vom Bauchfell geschieden. Diese Membranen, welche einen Raum für die aufsteigende Harnblase bei ihrer Füllung begrenzen und von *Retzius* als *Porta vesicae* bezeichnet wurden, inseriren sich an den Rand der Schenkelplatte an, welche die sogenannte *Linca semicircularis* bildet, sind aber so dünn, dass sie auf der Zeichnung keine Berücksichtigung finden konnten.

Die Muskulatur überhaupt, sowie das Knochengestell zeigen die Nähe der unteren Extremitäten an. Die Masse der eigentlichen Rumpfmuskulatur ist im Abnehmen, daneben treten aber neue Muskeln auf, welche zu den Extremitäten führen. Der grosse Rumpfstrecker, welcher noch auf dem vorhergehenden Schritte so mächtig war, ist sehr schwach geworden und liegt hinten eingeschüllt von der starken *Fascia lumbodorsalis*, seitlich von den hinteren Vorspringen der Darmbeine. Die beiden *Psoasmuskeln* haben sich bereits von der Wirbelsäule entfernt und treten den *Iliaci* näher, um sich mit ihnen weiter nach abwärts zu vereinigen. Letztere überkleiden die Darmbeine in deren ganzer Länge wie ein Muskelpolster und verlieren erst weiter unten diese Form, um dieselben kompakter Massen zu bilden. Die mächtig entwickelten *Gliedae*, wie sie den muskelstarken Mann charakterisiren, überkleiden mit ihrer breiten Durchschnittsfläche die äussere Seite der Darmbeine und ziehen dann in kräftiger Wölbung nach abwärts. Die Breite des Muskelfleisches und der daran liegenden Fettnasse gleicht übrigens nicht korrekt die Stärke beider Schichten wieder, da der Schnitt schräg durch beide hindurch gehen musste.

Vergleicht man in Beziehung auf Skelet und Muskulatur den vorliegenden Schnitt mit den Tafeln IX und X, auf denen die Schultertheile der oberen Extremitäten neben dem Rumpfe zu sehen sind, so sind zunächst gewisse Ähnlichkeiten nicht zu verkennen. Es zeigen sich neben dem Rumpfskelet flügelartige Knochendurchschnitte mit grossen Flächen und an diesen Flächen grosse Muskelmassen, so dass man die Möglichkeit einer doppelten Bewegung schon aus den Durchschnittebildern erkennt: die der Extremität am feststehenden Rumpfe, so wie die des Rumpfes an der feststehenden Extremität.

Zugleich aber auch zeigen beide Bilder charakteristische Verschiedenheiten: hier am Becken Alles einfach, fest aneinander gefügt, massig; oben an der Schulter zahlreiche schwer zu entwirrende Muskelgruppen und Knochenlinien, grössere Mannigfaltigkeit und daraus resultirende grössere Beweglichkeit.

Das Kreuzbein, welches hart am *Promontorium* geschnitten wurde, lag, da die *Spinae anteriores superiores* der Darmbeine sich direkt unter der Schnittfläche befanden, mit den letzteren also so ziemlich in einer Horizontalebene, ein Verhältnis, welches normaler Beckenmeinung entspricht. Feste Bandmassen verbinden dasselbe mit den Darmbeinen, welche vorn und hinten bedeutende Breite, in der Mitte dagegen nur eine Stärke von etwa 4 Millimeter besitzen. Es ist nicht selten, dass die dünne Partie dieser Knochen noch bedeutend schwächer ausfällt und auch nicht sicher, ob wirklich hier gerade die schwächste Stelle getroffen wurde. Jedemfalls hat sie aber dann in nächster Nähe gelegen, so dass man auf Grund dieses Schnittes sagen kann: diejenige Stelle an der Darmbeinschaukel, die vermöge ihrer Schwäche Abheben oder traumatischen Gewalten am leichtesten den Durchtritt nach der Bauchhöhle gestattet, liegt in einer Ebene mit dem *Promontorium* und den vorderen oberen Darmbeinhaken.

Die Form des Kreuzbeins ähneln nicht sehr dem Durchschnitte eines wahren Wirbels. Körper und Fortsätze lassen sich deutlich von einander unterscheiden. Die Lage desselben zur Masse des Rumpfes ist aber wesentlich verändert gegenüber der des Lendenwirbels, wie die

Vergleichung der vorhergehenden Tafeln zeigt. Während nämlich die Lendenwirbel ziemlich beträchtlich in die vordere Hälfte des Durchschnitts hineintragen, erreicht das *Promontorium* auf dieser Tafel nicht einmal die Grenze zwischen beiden Hälften, ragt also nicht bis zur Mitte der Rumpfhälfte vor, ein Verhältnis, welches davon abhängt, dass die Convexität der Lendenwirbelkrümmung hier bereits zu Ende ist und der Übergang zur Concavität des Kreuzbeines angebahnt wird. Rechnet man nun noch hinzu, dass wir hier das veränderte Verhältnisse vor uns haben, wo die Bauchdecken nicht den Grad der Wölbung hatten, den sie während des Lebens besaßen, so wird dieses Verhältnis noch prägnanter. Man wird daher das *Promontorium* beim lebendigen Manne unter normalen Verhältnissen stets hinter der Mitte, in der hinteren Hälfte des Körpers, aufzusuchen haben.

Der Inhalt der von Muskeln und Knochen eingeschlossenen Abdominalhöhle sei noch nach einigen physiologischen und klinischen Beziehungen betrachtet. Bei einer Muskelaction, welche diesen Raum zu verkleinern strebt, mag sie nun entstehen wie sie will, also bei der sogenannten Bauchpresse, müssen die grossen Gefässe ebenso getroffen werden, wie die Därme.

Die prall gefüllten Arterien werden den Druck ohne wesentliche Beeinflussung aushalten, anders dagegen die Venen und Lymphgefässe, welche letztere auf der Zeichnung nicht wieder gegeben werden konnten. Ihr Inhalt wird ähnlich wie der der Därme ausgedrückt werden. Der Weg und die Richtung ist aber hierbei gegeben, und kann nicht wie beim Darminhalt nach oben und nach unten hin abwechselnd führen. Die an der Grenze befindlichen Klappen werden eine Stauung hervorbringen, welche das Blut jedesmal nach der Richtung der Brusthöhle hinauf treibt. Erst beim Nachlassen des Druckes wird ein neues Einstromen von unten her erfolgen können.

Die darmähnlichen grossen Kaliber der beiden *Venae iliacae communes* sind auf der Abbildung nicht leicht zu verfehlen. Die linke ist ihres schrägen Verlaufes wegen durch den Querschnitt viel weiter geöffnet worden, als die mehr steil nach abwärts ziehende rechte; Richtungsverschiedenheiten, die durch die rechtsseitige Lage der unteren Hohlvene bedingt sind, in gleicher Weise, wie dies bei den *Venae azygosae* oben am Halse der Fall ist.

Vor beiden Venen liegen die gleichnamigen Arterien. An der linken ist bereits die Theilung in die *A. iliacae externa* und *interna* a. *hypogastrica* sichtbar. Wir sind auf diesem Schnitt noch nicht weit unterhalb des Nabels, $4\frac{1}{2}$ Centimeter, also noch nicht 2 Zoll rhein, und bereits liegen beide Arterien 6 Centimeter weit von einander entfernt. Wie effectlos muss demnach eine Compression der Abdominalsorta ausfallen, die mehrere Centimeter unter dem Nabel angelegt wird, und wie erklärlich ist es daher bei der meist zu tief angelegten Compression, dass dieselbe für so unsicher und so schwierig ausgegeben wird.

Die Ureteren, welche auf dem vorhergegangenen Schnitte lateral von den grossen Gefässen lagen, haben sich bereits mit denselben gekreuzt. Man findet die *Lamina* derselben, die im Colorit weiss gehalten wurden, links einwärts von der Arterie, rechts unmittelbar davor. Weiter lateral von ihnen, auf der Höhe der mächtigen Muskelfleischwülste des *Psoas* liegen die *Vasa spermatica* mit dem *Nervus genito-cervicalis*. Innerhalb der *Psoasflächen*, von hinten her wie in sie hineingeschoben, erkennt man bereits den *Nervus cruralis*.

Die Mächtigkeit des weit in die Bauchhöhle vorspringenden *Psoas* zeigt am deutlichsten, wie muskelkräftig das vorliegende Individuum war.

Man braucht nur die Abbildungen von *Pirogoff*, a. a. O. Fasc. 3, Tab. XII, 2 damit zu vergleichen, um zu sehen, welch ein Unterschied zwischen einer abgemagerten Spitalleiche und der eines gesunden Selbstmörders in dieser Beziehung besteht. Dort, wo auch erwachsene Männer benutzt worden waren, ist von solchen Wülsten gar nichts zu sehen; die Masse des *Psoas* beengt kaum den Raum der Abdominalhöhle.

Die Lage der *Arteria iliacae* zu Vene und *Nervus cruralis* ist noch nicht so angeordnet, dass die Arterie wie weiterhin nach abwärts in der Mitte liegt, aber bereits so bestimmt, dass das bekannte Verhältnis in der Nähe des *Ligamentum Poupartii* daraus resultiren muss. Der innere Rand des *M. psoas* bleibt der Leiter für die Aufsuchung der Arterie sowohl unten als hier oben. Der *Nervus cruralis* liegt so in den *Psoas* eingepackt, von dessen äusserer Seite her, dass auch weiterhin, wo er der Arterie nahe rückt, die den *Psoas* umhüllende Fascie ihn von derselben trennen muss.

Betrachtet man die Arterie mit Rücksicht auf ihre Unterbindung, so erscheint es an dieser Stelle besonders schwierig, sie ohne Verletzung des Bauchfells zu erreichen. Die Ausdehnung des Bauchfells am *Colon descendens* wie am *Caecum* lassen es fast unmöglich erscheinen, das Gefäss ohne Verletzung desselben zu erreichen. Nach Ablösung der schiefen Bauchmuskeln von den Darmbeinen hätte man sich zunächst auf der *Fascia des Iliaes* nach rückwärts zu wenden, um dann die wallartigen Vorsprünge des *Psoas* noch zu überwinden; ein langer, vielfach gewundener Weg, dessen glückliche Durchlaufung noch durch jede irgendwie beträchtliche Darmauftreibung bedeutend erschwert werden muss. Es ist deshalb von dieser Abbildung schon ersichtlich, dass alle Methoden, welche in dieser Höhe die Bauchmuskeln trennen lassen, um in transversaler Richtung auf das Gefäss zu führen, bedeutende Schwierigkeiten bereiten, dass es daher besser ist, analog zu verfahren, wie bei der Aufsuchung der *Iliaea externa*, um so von unten her kommend am Rande des *Psoas* bis zur Theilungsstelle hinaufzulegen. Dass es überhaupt möglich ist, die Arterie zu erreichen ohne Verletzung des Bauchfells durch die Operation selbst, beweisen die glücklich verlaufenen Fälle der Ligatur der *Iliaea communis*, von denen Günther allein über 21 angibt.

Die Theilung der *Iliaea communis* in den äusseren und inneren Ast erfolgt auch hier, wie in den Lehrbüchern angegeben wird, in der Höhe der *Articulatio sacro-iliaca*, und zwar so genau dieses bekannte Verhältnis hier einhaltend, dass links, wo schon die Gelenkhöhle eröffnet ist, auch die Theilung bereits sichtbar im Gefässlumen erscheint, während rechts, wo das Gelenk noch nicht getroffen wurde, das Gefäss noch einfach vorliegt. Jedoch darf man nicht erwarten, die Arterie auch unmittelbar auf dem Gelenk aufliegend zu finden, wie mehrfach angegeben wurde. Ebenso wenig liegt die Arterie einfach lateral zur Vene; Angaben, die vielleicht nur von dem Verzerren der einzelnen Organe beim Präpariren herrühren. Die Arterie liegt vielmehr gerade vor der Vene und durch diese und den Wulst des *Psoas* noch ein beträchtliches Stück weit vom Gelenke selbst entfernt. Erst die *A. hypogastrica* nähert sich dem Gelenke, und zwar um so mehr, je mehr der *Psoas* an Mächtigkeit nach unten abnimmt, dadurch Platz macht und sich mehr an den *Iliaes* anlehnend nach aussen rückt. Ist der *Psoas* schwach angelegt, hat man es also mit einem herabgekommenen Individuum zu thun, so wird man allerdings die Arterie auch mehr in der Nachbarschaft des Gelenkes antreffen, jedoch auch dann immer noch die Vene nicht einfach neben, sondern mehr hinter ihr zu suchen haben, wie dies gerade die Pirogoff'schen Zeichnungen so schön deutlich machen. —

TAFEL XIX.

Der hier vorliegende Schnitt verlief 3 Centimeter unterhalb des vorigen und 5 Centimeter über dem folgenden, ging unter den *Spinac anteriores superiores* durch das Darmbein und öffnete das Gelenk zwischen diesem und dem Kreuzbeine. Die mit ihren oberen Fläche abgebildete Scheibe hatte demnach eine Stärke von 5 Centimeter. Sie enthielt unter ihrer Oberfläche, also für den Beschauer nicht sichtbar, einen Abschnitt der Harnblase, der Schenkelköpfe, die *Inciura ischiadica major*, welche bis $\frac{1}{4}$ Centimeter unter die Schnittfläche hineinragte, die *Spinac tci anteriores inferiores*, welche hart an die Schnittfläche angränzten, und die Hauptmassen der *Musculi glutaci*, die beiderseits nach aufwärts wie nach abwärts in den Schnitt selbst hineinfielen.

Das Ansehen im Allgemeinen hat sich zum vorigen Schnitte nicht unwesentlich verändert. Die Knochen sind nicht so gracil und treten nicht so weit an die Peripherie mit ihren geschwungenen Linien, wie bei dem vorhergehenden Bilde, sondern sind dicker, massiger, mehr in die Tiefe der Weichtheile eingepackt. Die Muskeln treten viel grösseren Fleischmassen auf, und sind zu kompakten Gruppen vereinigt, fest um die Knochen gelagert. Die Abdominalhöhle hat durch das Zurücktreten des Kreuzbeins an Tiefe gewonnen. Därme sind noch in grosser Anzahl vorhanden. Bei der Betrachtung der Abdominalhöhle hat man aber im Auge zu behalten, dass der Schnitt bereits ein Stück in die kleine Beckenhöhle hineinfällt in Folge der schrägen Richtung ihrer Achse, dass also, wenn man die Beckenhöhle als letztes Ende der Abdominalhöhle ansieht, dieselbe sich nicht einfach senkrecht nach abwärts erstreckt, sondern unter einem nahezu rechten Winkel nach hinten abbiegt. Deshalb ist der Transversalschnitt hier nicht mehr ein einfacher Querschnitt der Abdominalhöhle, sondern ein Schrägschnitt und somit die Entfernung der vorderen Bauchwand vom Kreuzbeine nicht das einfache Mass für die Tiefe derselben.

Die Därme, welche in derselben Weise behandelt wurden wie bei den vorhergehenden Schnitten, bieten im Allgemeinen dieselben Verhältnisse der Formen, wie auf Tafel XVII, so dass das dort Gesagte nicht hier wiederholt zu werden braucht. Sie gehören grösstentheils dem *Neum* an, wie man schon an der Beschaffenheit ihrer Schleimhaut, aus dem Mangel der Kerkzingschen Falten, erkennt. Ausserdem findet sich links oben der Durchschnitt der *Flexura iliaca*, deren weiterer Verlauf sich nicht mit Sicherheit bestimmen liess, und das *Rectum* mit seinem bekannten Verhältnisse zum Bauchfell. Es liegt dasselbe ziemlich eng zusammengezogen vor der Mitte des Kreuzbeines, und es brauchten nur geringe Quantitäten Koth herausgenommen zu werden, um eine innere Ansicht desselben zu gewinnen.

War es schon beim vorhergehenden Schnitte schwer, aus dem Verhältnisse der Muskelveränderung das Zustandekommen einer Bauchpresse abzuleiten, was doch bei Tafel XVII so leicht erschien, wo die platten Bauchmuskeln wie Ringe sich um die Abdominalhöhle legten, so ist dies erst recht hier unten der Fall, wo dieselben ein noch kleineres und beschränkteres Stück an der vorderen Wand einnehmen. Wir sind ihren Ansätzen oder Ursprüngen am vorderen Theile des Beckenringes und dem *Ligamentum Pospartii* sehr nahe gekommen. Die *Recti* mit den dahinter liegenden Öffnungen der *A. epigastrica inferior* erscheinen zwar noch mit ganz statthafter Durchschnittsfläche; dieselbe ist aber doch bedeutend schmaler und dicker geworden als auf der vorhergehenden Tafel und bereutet sich entschieden auf die rundliche Endsehne vor. Die fibröse vordere Wand der Scheide ist mächtig vorhanden, und ihr Ursprung aus den Sehnen der *Obliqui* und der *Transversi*, die sehr schwach geworden sind, gut ersichtlich. Die Sehnenmasse lateral von diesen Muskeln, vor dem *Iliacus*, reicht bis zum Knochen, und nimmt sich wie eine schräge Verengung des Knochengerüsts aus. Sie gehört zum Theile schon dem *Ligamentum Pospartii* an. Der äussere Theil desselben an der *Lacuna vasculorum* ist nämlich bereits in Folge seines schrägen Verlaufs in den Schnitt hineingefallen. An dieser Stelle erkennt man auch, dem *Mus. iliacus* aufsteigend, die Öffnungen der *A. circumflexa iliaca*.

Hinter der *Lacuna alba* zwischen den *Recti*, da wo das Bauchfell unter

Bildung eines kleinen *Mesenterium*, eine rundliche, nach innen vorspringende Falte bildet, liegt der obliterirte *Urachus*, das *Ligamentum vesicae medium*, daneben zwei Stränge, die obliterirten Nabelarterien, *Ligamenta lateralia vesicae*. Weiter nach rückwärts, innerhalb der Bauchhöhle selbst, in der ganzen Breite vor den Därmen hinziehend, liegt der immer noch ansehnliche Durchschnitt des grossen Netzes, welches mit seinen Ausläufern ziemlich weit nach rückwärts die Spalten und Räume zwischen den Därmen ausfüllt. Die Breite des Netzes, welche hier wie auf der vorhergehenden Tafel auffallend gross erschien, ist nicht abnorm. Man hat sich nur durch die Betrachtung des ausgebreiteten und ausgefalteten Netzes gewöhnt, seine Stärke in der natürlichen Lage zu unterschätzen.

Der *Mus. psoas*, welcher auf der vorigen Tafel wie ein isolirter Wall in die Abdominalhöhle hineinragte, zeigt sich hier in völlig veränderter Gestalt und Lage. Er ist weiter nach vorn gerückt und mit dem *Iliacus* zu einer scheinbar gleichmässigen Muskelmasse vereinigt, eingeschlossen in eine beiden Muskeln gemeinsame Fascie; nur der *Nervus cruralis* giebt noch die Grenze zwischen beiden Muskeln an. Dagegen hat der *Psoas* seine Eigenschaft als Führer zur *Arteria iliaca externa* tra bei behalten. Das Gefäss liegt immer noch an seinem inneren Rande wie höher oben, und hat direkt hinter sich die grosse gleichnamige Vene. Dieses Verhältnisse ist so constant, dass ich es auf allen Durchschnitten, die ich an verschiedenen Leichen machte, wieder fand. Man wird auch bei dem Holzschnitt weiter unten, der die Gelenkverhältnisse sehr schön wiedergibt, und von einem meiner Durchschnitte des älteren Mannes stammt wie Tafel IX, das gleiche Lagenverhältnisse erkennen, ebenso ferner bei dem Frontalschnitt auf Tafel XXI, sowie bei dem letzten Leberwundbilde bis zur Höhe der Schenkelköpfe herab. Weiter nach abwärts in der Nähe der *Lacuna vasculorum*, am *Ligamentum Pospartii*, liegen beide Gefässe wieder neben einander in gleicher Weise wie *Aorta* und untere Hohlvene vor ihrer Theilung.

Fragt man nach den Bedingungen dieser constanten Lage, so kommt zunächst das Verhältnisse der unteren Hohlvene zur *Aorta* in Betracht. Die Vene liegt rechts zur Arterie und muss bei der Theilung sich mit derselben kreuzen. Schon hierbei läuft die Vene constant unter den Zweigen der Arterie weg. Auf dem Wege durch das Becken bis zum Schenkel liegen beide Gefässe an der Wand des *Psoas*. Sie müssen hier in einer Sagittalebene verlaufen, das eine Gefäss hinter dem andern, nicht neben einander, wenn nicht eine für die Circulation höchst un günstige Lage zu Stande kommen soll. Das eine Gefäss, also hier die Vene, würde sonst wie in das Innere der Beckenhöhle vorpringen und bei jeder Veränderung der Lage oder Füllung der Därme ungünstig beeinflusst werden, während sie dagegen im Winkel zwischen *Psoas* und Arterie ebenso wie oben an der Kreuzungsstelle durch das pralle Arterienrohr einen gewissen Schutz erhält. Trotzdem ist sie aber dadurch den Einwirkungen der sogenannten Bauchpresse nicht völlig entzogen, ebenso wenig wie die grossen Venen an der *Inciura ischiadica* und am Kreuzbeine. Sämmtliche Venen werden vielmehr dadurch, namentlich bei der Gewalt der Kohtentleerung, mehr oder weniger zusammenge drückt werden und ihren Inhalt wegen der an der Beckengrenze befindlichen Klappen nach kurzer Stauung aufwärts führen.

Die Unterbindung der *A. iliaca externa*, zuerst von Abernethy eingeführt, wird für gewöhnlich nicht unter diesem Durchschnitt vorgenommen, jedoch gelangt man meistens im Verlaufe der Operationen bis in diese Höhe hinauf. Wir befinden uns hier nur wenige Centimeter über der Kreuzungsstelle der Arterie mit dem *Ligamentum Pospartii*, und sind daher auch ebenso weit von der Ursprungsstelle der *Epigastrica inferior* und *Circumflexa iliaca* entfernt, während die *Hypogastrica* ziemlich ebenso weit nach aufwärts von dem Gefässstamme abgeht. Wir haben also gerade hier eine aussergewöhnlich günstige Stelle in Beziehung auf die Thrombusbildung, Verhältnisse, die in ähnlicher Weise sich nur noch an dem astlosen Stücke der *Carotis communis* befinden. Es fragt sich nun, ob

Eine weitere Folge dieser Aufreibung des *Abdomen* ist die Lage der Wirbelsäule. Während auf Tafel XVII die Bandscheile so ziemlich in der Mitte des Umrisses liegt, findet sich in der *Pirogoff'schen* Abbildung der Wirbel weit hinter dem Mittelpunkt. Die Entfernung der vorderen Bandscheilwand von demselben beträgt auf Tafel XVII 7 Centimeter, bei dem Fig. 1 zu Grunde liegenden Durchschnitte nur 6, bei der *Pirogoff's* dagegen $14\frac{1}{2}$; wobei noch bemerkt sein möge, dass der dann gehörige Durchschnitt fast in gleicher Höhe, nämlich unmittelbar über dem Nabel, angelegt wurde. Es findet sich übrigens gar nicht selten eine noch geringere Entfernung der Bandscheilen von der Wirbelsäule vor, als auf Tafel XVII. Da dieselbe von dem Stande des Zwerchfells und der Contraction der Lungen einseitig, von der Anfüllung der Därme andererseits abhängig ist, so wird man leicht begreifen, wie bei normalen Lungen und leeren Därmen der Bauch an der Leiche so eingedriekt werden kann, dass die Lendenwirbelsäule durch die aufliegenden Bauchdecken einen deutlich erkennbaren Vorsprung bildet; so dass also diese Distanz auf ein Minimum reducirt ist.

Man wird also bei der Compression der Bauchorgane für einen hohen Stand des Zwerchfells und für mögliche Entleerung der Därme zu sorgen haben.

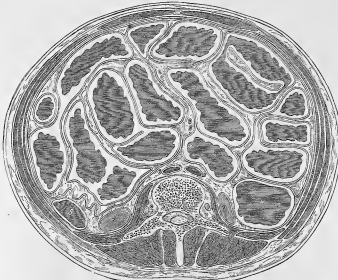


Fig. 2. Cadaver hominis adulti, robusti. Intestina, ante et post, valde extensa. Pirogoff, III. 10, 1. $\frac{1}{2}$.

1. A. Morgagni'sche Pfortader. 2. Aorta abdominalis. 3. Vena cava inferior. 4. Colon ascendens. 5. Colon descendens.

Dass diese Compression, die z. B. für den glücklichen Verlauf der Exarticulation des Oberschenkels eine unerlässliche Bedingung ist, sich gut ausführen lässt, hat nicht nur die erfolgreiche Anwendung des *Lister'schen* Compressorium bewiesen, sondern man kann sich auch jederzeit davon selbst durch Versuche am Lebenden überzeugen. Man muss nur darauf achten, dass man in unmittelbarer Nähe des Nabels den Druck anbringt, da bereits nahe unter der Nabelhöhe die Theilungsstelle der *Aorta* in beide *Iliacae* liegt, und noch weiter unter der Finger in die Beckenhöhle hineinfallt.

Neben der in der Mittellinie liegenden *Aorta* und der mehr seitlich gelegenen *Vena cava inferior* erkennt man beiderseits auf dem *Psoas* die weissgelblichen Durchschnitte der Uretoren, und neben diesen, noch weiter nach aussen, die *Vena spermatica*. Hinter und zum Theil innerhalb des *Psoas* liegen die Durchschnitte der Lumbalnerven.

Die schiefen Bauchmuskeln, deren Schichten sich deutlich von einander abheben, sind unmittelbar über dem Scheide des *Rectus* und vordern. Das Verhältniss ihrer Sehnen zur Scheide des *Rectus* und *Quadrat. hum.* ist aus der Zeichnung ersichtlich, so dass darüber nichts weiter hinzuzufügen ist. Die *Spinae il. ant. sup.* springen als Kanten noch in dem äusseren Umriss deutlich vor.

Zum Schlusse bleibt noch übrig, die Lage des *Colon descendens* zu besprechen und Einiges über die Eröffnung desselben hinzuzufügen, die an dieser Gegend ohne Verletzung des *Peritoneum* ausführbar ist, eine Operation, die von *Callisen* erwähnt, aber zuerst von *Amussat* 1839 ausgeführt wurde und deshalb den Namen der *Callisen-Amussat'schen* künstlichen Afterbildung trägt.

Da diese Operation von den meisten Chirurgen deshalb der Eröffnung der *Fleura ilica* in der linken Inguinalgegend (nach *Littre*) vorgezogen wird, weil das *Colon descendens* eine fixirte Lage hat und

wegen des mittelständigen Peritonealüberzuges eine Incision ohne Bauchfellverletzung gestattet, so erscheint es zweckmässig, zunächst eine Bestimmung der Lage und dann Messungen der vom *Peritoneum* freien Wand des *Colon* auf Grund meiner und der *Pirogoff'schen* Durchschnitte vorzunehmen. Es wird für gewöhnlich angegeben, dass das *Colon descendens* am äusseren Rande des *Quadratus lumborum* liege, und demgemäss bei vertikaler Schnittführung die Wunde am äusseren Rande dieses Muskels angelegt. Es ergibt sich aber, dass diese Angabe nicht unter allen Verhältnissen das Richtige trifft. Am unteren Rande der Nieren liegt allerdings das *Colon* weit nach aussen, als in der Nähe des Darmbeins; ebenso hat der *Quadratus lumborum* oben eine geringere Breite als unten, so dass diese Regel allerdings für die Höhe des dritten Lendenwirbels gelten mag; für die tiefere Region dagegen ist sie nicht zutreffend. Hier, in der Höhe der Symphyse zwischen 3. und 4., und in der des 4. Wirbels, unterhalb der Nieren, also recht eigentlich im Operationsfelde, deckt geradezu der *Quadratus lumborum* von hinten her das *Colon* und muss somit zerschnitten werden, wenn man sicher an letzteres gelangen will. Nur bei übermässigen Ausdehnungen, die sich nicht so constant wie man erwarten könnte, bei der Operation gefunden haben, breitet sich der Darm so wie nach vorn und innen, dass nach aussen hin aus (*Pirogoff*, III. B. Tab. 14) und übertrag um ein Stück den äusseren Rand des erwähnten Muskels.

Es wird somit der Schnitt, der am Rande des grossen Rumpf-streckers von dem Darmbein an bis in die Gegend der 12. Rippe zu führen ist, die starke Sehne des *M. transversus abdominis* zu trennen haben, bis der *Quadratus lumborum* freiliegt, und dann wird man durch das Muskelfleisch des letzteren hindurchdringen müssen, in die retroperitoneal liegende Fettschicht hinein.

Nur in dem oberen Wundwinkel kann man sich neben diesem Muskel halten; oder überhaupt oben, entsprechend dem schrägen Laufe des *Colon*, den Schnitt mehr nach auswärts vor der Wirbelsäule führen, so dass die Wunde nicht genau vertikal liegt, sondern schräg nach oben und aussen geht.

Ist man durch die Fascie unter dem *Quadratus lumborum* vorsichtig hindurch bis in die Fettschicht gelangt, unter genauer Fortführung der Schnitte in gleicher Länge mit der ersten Incision, so dass man einen Wundtrichter vermeidet, so gilt es, unter Schonung der Niere, die bei tiefem Stande (*vfr. Fig. 1*) leicht das Operationsfeld verdecken kann und dann vorsichtig bei Seite geschoben werden muss, das *Colon* an seiner freien Wand mit Fäden zu fixiren und zu eröffnen. Bei der Unmöglichkeit, das Bauchfell von seiner Rückseite zu erkennen, wird man nur dann mit Sicherheit auf ein Gelingen rechnen können, wenn sich durch Messungen feststellen lässt, wie weit die Umschlagentellen des Bandschiffs durchschnittlich auseinander liegen, und in wie weit ihre Lage zum *Colon* eine constante ist.

Es ergab sich zunächst für das *Colon descendens*, das ich hier immer vorzugsweise im Auge behalte, nach Messungen an Durchschnitten von gefrorenen Leichen erwachsener Männer, dass diese Distanz in gerader Entfernung, also nicht der Krümmung der Darmwand entsprechend, 20–25 Millimeter betrug, wenn der Darm leer und eng zusammengezogen war (in der Höhe zwischen 3. und 4. Lendenwirbel); ferner, dass die freie Seite des Darmes, wie auf Tafel XVII, nicht nach hinten, sondern etwas nach einwärts gewendet war, genau gegen den Winkel hin, den *Psoas* und *Quadratus lumborum* mit einander bilden. Sind die Dünndärme dagegen sehr aufgetrieben, dann wird allerdings auch das Bandschiff zwischen *Psoas* und *Colon* ein Stück weit herabgezogen, und das *Colon* durch den Zug der parietalen Bauchfellplatte ein Stück weit um seine Achse gedreht (*Fig. 2*), so, dass seine freie Wand mehr nach auswärts gerichtet ist.

Ist das *Colon* dagegen selbst aufgetrieben, dann wird die vom Bandschiff freie Wand beträchtlich grösser; und kam eine Breite von 50–60 Millimeter gewinnen.

Aber auch auf das aufgetriebene *Colon* scheint der Meteorismus der Dünndärme äusserlich einzuwirken; bei Vergleichung der *Pirogoff'schen* Abbildungen ergibt sich wenigstens in gleicher Weise wie bei dem contrahirten *Colon*, dass seine freie Wand etwas nach aussen gewendet war (*vfr. Pirogoff* III. B. Tab. XIV, 2).

Da man bei Ausführung der Colotomie wohl oft einen aufgetriebenen Bauch vorfindet, so halte ich diese Bemerkungen nicht für überflüssig. Ich hoffe, dass sie mit dazu beitragen werden, die Vermeidung des Bandschiffs sicherer zu machen als bisher, wo dieselbe so sehr dem Zufall überlassen blieb, dass ein Drittheil aller Fälle Bandschiffverletzungen zeigen und dadurch den Werth der *Amussat'schen* Methode sehr problematisch erscheinen lassen, wenn nicht aseptisch vorgegangen wird.

TAFEL XVIII.

Um die Verhältnisse der Beckenorgane zur Ansicht zu bringen, wurde der letzte Querschnitt des Rumpfes hart oberhalb der *Symphysis osseus pubis* angelegt und nach dem unteren Ende des Kreuzbeins durch den Leichnam hindurchgeführt. Auf diesem Wege schnitt die Säge die Inguinalgegend, die äussere Schenkelmuskulatur und die Schenkelköpfe nahe ihrer Mitte ausserhalb des Beckens, innerhalb desselben Blase, Mastdarm und eine im Douglas'schen Raume liegende Dünndarmschlinge. Die Sitzbeine wurden in der *Spina ischii* getroffen, so dass der Schnitt dem *Ligamentum spinosacrum* ziemlich genau folgte.

Das vorliegende Bild zeigt uns also zwei Partien; in der Mitte, eingeschlossen von den Beckenknochen, *M. obturator internus* und dem *Levator ani*, den untersten Abschnitt der Abdominalhöhle; seitlich davon die Gelenkapparate der Oberschenkel mit den dazu gehörigen Muskelmassen und den grossen Gefässen.

Betrachten wir zunächst das Mittelstück, begrenzt durch Schambeine, Sitzbeine, *Levator ani*, *Ligamentum spinosacrum* und letzten Kreuzbeinwirbel. Die Harnblase, welche etwa 100 Gramm geforenen Urin, daneben aber keine Spur Luft enthielt, zeigte sich fest um ihren Inhalt zusammengezogen, so dass ihre Form nicht durch den Druck der Nachbarorgane bedingt war, wie dies bei zahlreichen *Pirogoff'schen* Abbildungen sich vorfindet, bei denen die obere Blasenwand vielfach eingebogen und zusammengefallen erscheint. Das Cadaver war eben ganz frisch von mir zum Gefrieren gebracht worden, nicht erst nachdem durch die Fäulniss sich Gase gebildet hatten, welche die Formen der Höhlungen veränderten. Die Eismasse wurde vorsichtig herausgelöst und die Wandungen noch im erstarrten Zustande abgezeichnet. Man erkennt deutlich das *Orificium urethrae internum* inmitten eines Kranzes von Schleimhautfaltungen. Weiter nach vorn hebt sich die vordere Blasenwand aus der Tiefe heraus und bildet beim Ueberschreiten der Schambeinsymphyse eine flache Convexität nach innen. Dieser Buckel ist durch die lichte Stelle in der Zeichnung wiedergegeben worden, auf welche gerade die Harnblase bezeichnende Strich hinführt. Die Dicke der Blasenwandungen selbst war dem geringen Grade ihrer Anfüllung entsprechend nicht unbedeutend. Die scheinbar kolossale Stärke der hinteren Wand entspricht aber nicht dem wirklichen Querschnitt. Gerade an dieser Stelle war die Wand sehr schräg getroffen worden. Um die Lage und Form der Blase mit dem auf Tafel I. gegebenen Durchschnitte vergleichen zu können, ward der Eisklumpen sorgfältig herausgenommen und im Profil abgezeichnet. Es liess sich dies um so leichter ausführen, da mit der vorhergehenden Scheibe nur ein Stück der oberen Blasenwand entfernt worden war mit einem sehr kleinen und flachen Abschnitt des Inhaltes. Beim Vergleichen dieser Zeichnung mit dem auf Tafel I. befindlichen Sagittalschnitte, zeigte sich eine grosse Uebereinstimmung der Form. Nur darin differirten beide, dass in Tafel I. der Stand des *Orificium urethrae internum* ein etwas höherer war als der hier vorliegende. Auf jeden Fall aber ist eben damit die Form und Lage der Blase bei jugendlichen und kräftigen Männern bestimmt, wie man sich auch durch Talgausgüsse überzeugen kann, mag man nun dieselben durch den Ureter oder durch die *Urethra* ausführen. Sicher ist wenigstens die von *Kohrausch* abgebildete Kugelform nicht eine den natürlichen Verhältnissen entsprechende. Von einem Blasenhalbe, als von einer trichterförmigen Verjüngung der Blase nach der Harnröhre zu, ist auch hier keine Rede.

Für eine weitere Ausdehnung der Blase ist, wie auch die Abbildung lehrt, genügend Platz vorhanden. Das fettreiche Bindegewebe zu beiden Seiten kam gut auszuweichen, ebenso wie die Dünndarmschlingen mit dem *Peritonaeum* leicht von der anschwellenden Blase erhaben und verschoben werden. Ferner wird Raum geschafft durch Abplattung des *Rectum*, sowie durch Entleerung der grossen Venenplexus, bis schliesslich die Blase die Beckenhöhle fast allein ausfüllt. Mit diesen Volumsveränderungen ändern sich auch die Verhältnisse des Bauchfeldes zur Blase. Schon bei dem geringen Grade der Anfüllung, wie er hier vorliegt, war nur die obere Wand und ein kleiner Theil der Rückseite vom Bauchfelde überzogen, so dass bereits ein Zugang auch oberhalb der *Symphysis osseus pubis*, wenn gleich ein schmaler, vorhanden war. Es liegt auf der Hand, dass dieser Zugang unterhalb des Bauchfeldes mit der zunehmenden Füllung und Erhebung der Blase

an Breite gewinnen muss. Im Text zu Tafel I. ist ausführlich besprochen worden, welchen Werth die Ausdehnung des *Rectum* in dieser Beziehung hat. Ein in das *Rectum* eingestochter Colpenterer hebt bei seiner Füllung bis zur Grösse einer Mannesstülpe Blase und *Peritonaeum* weit über die *Symphyse* empor und macht sie dem hohen Steinschnitt sehr gut zugänglich. Geräumiger ist der Zugang an den vom *Peritonaeum* freien Stellen von dem *Perinaeum* aus. Man braucht sich nur die Spitze des Messers im *Orificium urethrae* heraufsteigend zu denken, um die Möglichkeit grosser Blaseschnitte nach vorn, den Seiten und hinten hin verstehen zu können.

Hinter der Blase liegt ein facher Abschnitt des Bauchfellackes mit einigen durch den Schnitt hallirten Schlingen des *Ileum*. Dahinter die Douglas'sche Falte, und ferner die bekannte Ausbuchtung des Bauchfeldes, der sogenannte Douglas'sche Raum. Derselbe zog sich in schräger Richtung nach vorn und unten, und besass eine Tiefe von $1\frac{1}{2}$ Centimeter. Er enthielt etwa 20 Gramm geforenen Wassers, eine so geringe Quantität, dass schon heraus der frische Zustand des Cadavers erkannt werden konnte.

Die Samenbläschen, welche unmittelbar am Schnittrande lagen, wurden durch Wegnahme von etwas umgebendem Bindegewebe auch völlig freigelegt. Medianwärts von ihnen liegen unter scharfer Krümmung die *Vasa deferentia* nach vorn und oben zu ab, bis sie mit freier langer Schnittfläche endigen. Man erkennt ihr feines Lumen und die Stärke ihrer Wandung. An ihrem vorderen Ende etwas nach auswärts markiren sich die weiss gehaltenen Querschnitte der Ureteren.

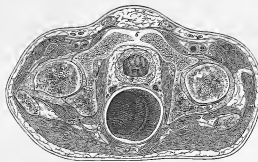


Fig. 1. Querschnitt durch das Becken eines 15-jährigen Knaben.

Pirogoff, Fasc. III. Tab. 16. Fig. 1.

1. 1. Oberschenkelhüfte. 2. 2. Grosser Trochanter. 3. Beckenring. 4. Mastdarm, stark durch Luft aufgebläht. 5. Harnblase. 6. Ureter. 7. Ureter. 8. Ureter. 9. Ureter. 10. 10. Ureter. 11. 11. Ureter. 12. 12. Ureter. 13. 13. Ureter. 14. 14. Ureter. 15. 15. Ureter. 16. 16. Ureter. 17. 17. Ureter. 18. 18. Ureter. 19. 19. Ureter. 20. 20. Ureter. 21. 21. Ureter. 22. 22. Ureter. 23. 23. Ureter. 24. 24. Ureter. 25. 25. Ureter. 26. 26. Ureter. 27. 27. Ureter. 28. 28. Ureter. 29. 29. Ureter. 30. 30. Ureter. 31. 31. Ureter. 32. 32. Ureter. 33. 33. Ureter. 34. 34. Ureter. 35. 35. Ureter. 36. 36. Ureter. 37. 37. Ureter. 38. 38. Ureter. 39. 39. Ureter. 40. 40. Ureter. 41. 41. Ureter. 42. 42. Ureter. 43. 43. Ureter. 44. 44. Ureter. 45. 45. Ureter. 46. 46. Ureter. 47. 47. Ureter. 48. 48. Ureter. 49. 49. Ureter. 50. 50. Ureter. 51. 51. Ureter. 52. 52. Ureter. 53. 53. Ureter. 54. 54. Ureter. 55. 55. Ureter. 56. 56. Ureter. 57. 57. Ureter. 58. 58. Ureter. 59. 59. Ureter. 60. 60. Ureter. 61. 61. Ureter. 62. 62. Ureter. 63. 63. Ureter. 64. 64. Ureter. 65. 65. Ureter. 66. 66. Ureter. 67. 67. Ureter. 68. 68. Ureter. 69. 69. Ureter. 70. 70. Ureter. 71. 71. Ureter. 72. 72. Ureter. 73. 73. Ureter. 74. 74. Ureter. 75. 75. Ureter. 76. 76. Ureter. 77. 77. Ureter. 78. 78. Ureter. 79. 79. Ureter. 80. 80. Ureter. 81. 81. Ureter. 82. 82. Ureter. 83. 83. Ureter. 84. 84. Ureter. 85. 85. Ureter. 86. 86. Ureter. 87. 87. Ureter. 88. 88. Ureter. 89. 89. Ureter. 90. 90. Ureter. 91. 91. Ureter. 92. 92. Ureter. 93. 93. Ureter. 94. 94. Ureter. 95. 95. Ureter. 96. 96. Ureter. 97. 97. Ureter. 98. 98. Ureter. 99. 99. Ureter. 100. 100. Ureter. 101. 101. Ureter. 102. 102. Ureter. 103. 103. Ureter. 104. 104. Ureter. 105. 105. Ureter. 106. 106. Ureter. 107. 107. Ureter. 108. 108. Ureter. 109. 109. Ureter. 110. 110. Ureter. 111. 111. Ureter. 112. 112. Ureter. 113. 113. Ureter. 114. 114. Ureter. 115. 115. Ureter. 116. 116. Ureter. 117. 117. Ureter. 118. 118. Ureter. 119. 119. Ureter. 120. 120. Ureter. 121. 121. Ureter. 122. 122. Ureter. 123. 123. Ureter. 124. 124. Ureter. 125. 125. Ureter. 126. 126. Ureter. 127. 127. Ureter. 128. 128. Ureter. 129. 129. Ureter. 130. 130. Ureter. 131. 131. Ureter. 132. 132. Ureter. 133. 133. Ureter. 134. 134. Ureter. 135. 135. Ureter. 136. 136. Ureter. 137. 137. Ureter. 138. 138. Ureter. 139. 139. Ureter. 140. 140. Ureter. 141. 141. Ureter. 142. 142. Ureter. 143. 143. Ureter. 144. 144. Ureter. 145. 145. Ureter. 146. 146. Ureter. 147. 147. Ureter. 148. 148. Ureter. 149. 149. Ureter. 150. 150. Ureter. 151. 151. Ureter. 152. 152. Ureter. 153. 153. Ureter. 154. 154. Ureter. 155. 155. Ureter. 156. 156. Ureter. 157. 157. Ureter. 158. 158. Ureter. 159. 159. Ureter. 160. 160. Ureter. 161. 161. Ureter. 162. 162. Ureter. 163. 163. Ureter. 164. 164. Ureter. 165. 165. Ureter. 166. 166. Ureter. 167. 167. Ureter. 168. 168. Ureter. 169. 169. Ureter. 170. 170. Ureter. 171. 171. Ureter. 172. 172. Ureter. 173. 173. Ureter. 174. 174. Ureter. 175. 175. Ureter. 176. 176. Ureter. 177. 177. Ureter. 178. 178. Ureter. 179. 179. Ureter. 180. 180. Ureter. 181. 181. Ureter. 182. 182. Ureter. 183. 183. Ureter. 184. 184. Ureter. 185. 185. Ureter. 186. 186. Ureter. 187. 187. Ureter. 188. 188. Ureter. 189. 189. Ureter. 190. 190. Ureter. 191. 191. Ureter. 192. 192. Ureter. 193. 193. Ureter. 194. 194. Ureter. 195. 195. Ureter. 196. 196. Ureter. 197. 197. Ureter. 198. 198. Ureter. 199. 199. Ureter. 200. 200. Ureter. 201. 201. Ureter. 202. 202. Ureter. 203. 203. Ureter. 204. 204. Ureter. 205. 205. Ureter. 206. 206. Ureter. 207. 207. Ureter. 208. 208. Ureter. 209. 209. Ureter. 210. 210. Ureter. 211. 211. Ureter. 212. 212. Ureter. 213. 213. Ureter. 214. 214. Ureter. 215. 215. Ureter. 216. 216. Ureter. 217. 217. Ureter. 218. 218. Ureter. 219. 219. Ureter. 220. 220. Ureter. 221. 221. Ureter. 222. 222. Ureter. 223. 223. Ureter. 224. 224. Ureter. 225. 225. Ureter. 226. 226. Ureter. 227. 227. Ureter. 228. 228. Ureter. 229. 229. Ureter. 230. 230. Ureter. 231. 231. Ureter. 232. 232. Ureter. 233. 233. Ureter. 234. 234. Ureter. 235. 235. Ureter. 236. 236. Ureter. 237. 237. Ureter. 238. 238. Ureter. 239. 239. Ureter. 240. 240. Ureter. 241. 241. Ureter. 242. 242. Ureter. 243. 243. Ureter. 244. 244. Ureter. 245. 245. Ureter. 246. 246. Ureter. 247. 247. Ureter. 248. 248. Ureter. 249. 249. Ureter. 250. 250. Ureter. 251. 251. Ureter. 252. 252. Ureter. 253. 253. Ureter. 254. 254. Ureter. 255. 255. Ureter. 256. 256. Ureter. 257. 257. Ureter. 258. 258. Ureter. 259. 259. Ureter. 260. 260. Ureter. 261. 261. Ureter. 262. 262. Ureter. 263. 263. Ureter. 264. 264. Ureter. 265. 265. Ureter. 266. 266. Ureter. 267. 267. Ureter. 268. 268. Ureter. 269. 269. Ureter. 270. 270. Ureter. 271. 271. Ureter. 272. 272. Ureter. 273. 273. Ureter. 274. 274. Ureter. 275. 275. Ureter. 276. 276. Ureter. 277. 277. Ureter. 278. 278. Ureter. 279. 279. Ureter. 280. 280. Ureter. 281. 281. Ureter. 282. 282. Ureter. 283. 283. Ureter. 284. 284. Ureter. 285. 285. Ureter. 286. 286. Ureter. 287. 287. Ureter. 288. 288. Ureter. 289. 289. Ureter. 290. 290. Ureter. 291. 291. Ureter. 292. 292. Ureter. 293. 293. Ureter. 294. 294. Ureter. 295. 295. Ureter. 296. 296. Ureter. 297. 297. Ureter. 298. 298. Ureter. 299. 299. Ureter. 300. 300. Ureter. 301. 301. Ureter. 302. 302. Ureter. 303. 303. Ureter. 304. 304. Ureter. 305. 305. Ureter. 306. 306. Ureter. 307. 307. Ureter. 308. 308. Ureter. 309. 309. Ureter. 310. 310. Ureter. 311. 311. Ureter. 312. 312. Ureter. 313. 313. Ureter. 314. 314. Ureter. 315. 315. Ureter. 316. 316. Ureter. 317. 317. Ureter. 318. 318. Ureter. 319. 319. Ureter. 320. 320. Ureter. 321. 321. Ureter. 322. 322. Ureter. 323. 323. Ureter. 324. 324. Ureter. 325. 325. Ureter. 326. 326. Ureter. 327. 327. Ureter. 328. 328. Ureter. 329. 329. Ureter. 330. 330. Ureter. 331. 331. Ureter. 332. 332. Ureter. 333. 333. Ureter. 334. 334. Ureter. 335. 335. Ureter. 336. 336. Ureter. 337. 337. Ureter. 338. 338. Ureter. 339. 339. Ureter. 340. 340. Ureter. 341. 341. Ureter. 342. 342. Ureter. 343. 343. Ureter. 344. 344. Ureter. 345. 345. Ureter. 346. 346. Ureter. 347. 347. Ureter. 348. 348. Ureter. 349. 349. Ureter. 350. 350. Ureter. 351. 351. Ureter. 352. 352. Ureter. 353. 353. Ureter. 354. 354. Ureter. 355. 355. Ureter. 356. 356. Ureter. 357. 357. Ureter. 358. 358. Ureter. 359. 359. Ureter. 360. 360. Ureter. 361. 361. Ureter. 362. 362. Ureter. 363. 363. Ureter. 364. 364. Ureter. 365. 365. Ureter. 366. 366. Ureter. 367. 367. Ureter. 368. 368. Ureter. 369. 369. Ureter. 370. 370. Ureter. 371. 371. Ureter. 372. 372. Ureter. 373. 373. Ureter. 374. 374. Ureter. 375. 375. Ureter. 376. 376. Ureter. 377. 377. Ureter. 378. 378. Ureter. 379. 379. Ureter. 380. 380. Ureter. 381. 381. Ureter. 382. 382. Ureter. 383. 383. Ureter. 384. 384. Ureter. 385. 385. Ureter. 386. 386. Ureter. 387. 387. Ureter. 388. 388. Ureter. 389. 389. Ureter. 390. 390. Ureter. 391. 391. Ureter. 392. 392. Ureter. 393. 393. Ureter. 394. 394. Ureter. 395. 395. Ureter. 396. 396. Ureter. 397. 397. Ureter. 398. 398. Ureter. 399. 399. Ureter. 400. 400. Ureter. 401. 401. Ureter. 402. 402. Ureter. 403. 403. Ureter. 404. 404. Ureter. 405. 405. Ureter. 406. 406. Ureter. 407. 407. Ureter. 408. 408. Ureter. 409. 409. Ureter. 410. 410. Ureter. 411. 411. Ureter. 412. 412. Ureter. 413. 413. Ureter. 414. 414. Ureter. 415. 415. Ureter. 416. 416. Ureter. 417. 417. Ureter. 418. 418. Ureter. 419. 419. Ureter. 420. 420. Ureter. 421. 421. Ureter. 422. 422. Ureter. 423. 423. Ureter. 424. 424. Ureter. 425. 425. Ureter. 426. 426. Ureter. 427. 427. Ureter. 428. 428. Ureter. 429. 429. Ureter. 430. 430. Ureter. 431. 431. Ureter. 432. 432. Ureter. 433. 433. Ureter. 434. 434. Ureter. 435. 435. Ureter. 436. 436. Ureter. 437. 437. Ureter. 438. 438. Ureter. 439. 439. Ureter. 440. 440. Ureter. 441. 441. Ureter. 442. 442. Ureter. 443. 443. Ureter. 444. 444. Ureter. 445. 445. Ureter. 446. 446. Ureter. 447. 447. Ureter. 448. 448. Ureter. 449. 449. Ureter. 450. 450. Ureter. 451. 451. Ureter. 452. 452. Ureter. 453. 453. Ureter. 454. 454. Ureter. 455. 455. Ureter. 456. 456. Ureter. 457. 457. Ureter. 458. 458. Ureter. 459. 459. Ureter. 460. 460. Ureter. 461. 461. Ureter. 462. 462. Ureter. 463. 463. Ureter. 464. 464. Ureter. 465. 465. Ureter. 466. 466. Ureter. 467. 467. Ureter. 468. 468. Ureter. 469. 469. Ureter. 470. 470. Ureter. 471. 471. Ureter. 472. 472. Ureter. 473. 473. Ureter. 474. 474. Ureter. 475. 475. Ureter. 476. 476. Ureter. 477. 477. Ureter. 478. 478. Ureter. 479. 479. Ureter. 480. 480. Ureter. 481. 481. Ureter. 482. 482. Ureter. 483. 483. Ureter. 484. 484. Ureter. 485. 485. Ureter. 486. 486. Ureter. 487. 487. Ureter. 488. 488. Ureter. 489. 489. Ureter. 490. 490. Ureter. 491. 491. Ureter. 492. 492. Ureter. 493. 493. Ureter. 494. 494. Ureter. 495. 495. Ureter. 496. 496. Ureter. 497. 497. Ureter. 498. 498. Ureter. 499. 499. Ureter. 500. 500. Ureter. 501. 501. Ureter. 502. 502. Ureter. 503. 503. Ureter. 504. 504. Ureter. 505. 505. Ureter. 506. 506. Ureter. 507. 507. Ureter. 508. 508. Ureter. 509. 509. Ureter. 510. 510. Ureter. 511. 511. Ureter. 512. 512. Ureter. 513. 513. Ureter. 514. 514. Ureter. 515. 515. Ureter. 516. 516. Ureter. 517. 517. Ureter. 518. 518. Ureter. 519. 519. Ureter. 520. 520. Ureter. 521. 521. Ureter. 522. 522. Ureter. 523. 523. Ureter. 524. 524. Ureter. 525. 525. Ureter. 526. 526. Ureter. 527. 527. Ureter. 528. 528. Ureter. 529. 529. Ureter. 530. 530. Ureter. 531. 531. Ureter. 532. 532. Ureter. 533. 533. Ureter. 534. 534. Ureter. 535. 535. Ureter. 536. 536. Ureter. 537. 537. Ureter. 538. 538. Ureter. 539. 539. Ureter. 540. 540. Ureter. 541. 541. Ureter. 542. 542. Ureter. 543. 543. Ureter. 544. 544. Ureter. 545. 545. Ureter. 546. 546. Ureter. 547. 547. Ureter. 548. 548. Ureter. 549. 549. Ureter. 550. 550. Ureter. 551. 551. Ureter. 552. 552. Ureter. 553. 553. Ureter. 554. 554. Ureter. 555. 555. Ureter. 556. 556. Ureter. 557. 557. Ureter. 558. 558. Ureter. 559. 559. Ureter. 560. 560. Ureter. 561. 561. Ureter. 562. 562. Ureter. 563. 563. Ureter. 564. 564. Ureter. 565. 565. Ureter. 566. 566. Ureter. 567. 567. Ureter. 568. 568. Ureter. 569. 569. Ureter. 570. 570. Ureter. 571. 571. Ureter. 572. 572. Ureter. 573. 573. Ureter. 574. 574. Ureter. 575. 575. Ureter. 576. 576. Ureter. 577. 577. Ureter. 578. 578. Ureter. 579. 579. Ureter. 580. 580. Ureter. 581. 581. Ureter. 582. 582. Ureter. 583. 583. Ureter. 584. 584. Ureter. 585. 585. Ureter. 586. 586. Ureter. 587. 587. Ureter. 588. 588. Ureter. 589. 589. Ureter. 590. 590. Ureter. 591. 591. Ureter. 592. 592. Ureter. 593. 593. Ureter. 594. 594. Ureter. 595. 595. Ureter. 596. 596. Ureter. 597. 597. Ureter. 598. 598. Ureter. 599. 599. Ureter. 600. 600. Ureter. 601. 601. Ureter. 602. 602. Ureter. 603. 603. Ureter. 604. 604. Ureter. 605. 605. Ureter. 606. 606. Ureter. 607. 607. Ureter. 608. 608. Ureter. 609. 609. Ureter. 610. 610. Ureter. 611. 611. Ureter. 612. 612. Ureter. 613. 613. Ureter. 614. 614. Ureter. 615. 615. Ureter. 616. 616. Ureter. 617. 617. Ureter. 618. 618. Ureter. 619. 619. Ureter. 620. 620. Ureter. 621. 621. Ureter. 622. 622. Ureter. 623. 623. Ureter. 624. 624. Ureter. 625. 625. Ureter. 626. 626. Ureter. 627. 627. Ureter. 628. 628. Ureter. 629. 629. Ureter. 630. 630. Ureter. 631. 631. Ureter. 632. 632. Ureter. 633. 633. Ureter. 634. 634. Ureter. 635. 635. Ureter. 636. 636. Ureter. 637. 637. Ureter. 638. 638. Ureter. 639. 639. Ureter. 640. 640. Ureter. 641. 641. Ureter. 642. 642. Ureter. 643. 643. Ureter. 644. 644. Ureter. 645. 645. Ureter. 646. 646. Ureter. 647. 647. Ureter. 648. 648. Ureter. 649. 649. Ureter. 650. 650. Ureter. 651. 651. Ureter. 652. 652. Ureter. 653. 653. Ureter. 654. 654. Ureter. 655. 655. Ureter. 656. 656. Ureter. 657. 657. Ureter. 658. 658. Ureter. 659. 659. Ureter. 660. 660. Ureter. 661. 661. Ureter. 662. 662. Ureter. 663. 663. Ureter. 664. 664. Ureter. 665. 665. Ureter. 666. 666. Ureter. 667. 667. Ureter. 668. 668. Ureter. 669. 669. Ureter. 670. 670. Ureter. 671. 671. Ureter. 672. 672. Ureter. 673. 673. Ureter. 674. 674. Ureter. 675. 675. Ureter. 676. 676. Ureter. 677. 677. Ureter. 678. 678. Ureter. 679. 679. Ureter. 680. 680. Ureter. 681. 681. Ureter. 682. 682. Ureter. 683. 683. Ureter. 684. 684. Ureter. 685. 685. Ureter. 686. 686. Ureter. 687. 687. Ureter. 688. 688. Ureter. 689. 689. Ureter. 690. 690. Ureter. 691. 691. Ureter. 692. 692. Ureter. 693. 693. Ureter. 694. 694. Ureter. 695. 695. Ureter. 696. 696. Ureter. 697. 697. Ureter. 698. 698. Ureter. 699. 699. Ureter. 700. 700. Ureter. 701. 701. Ureter. 702. 702. Ureter. 703. 703. Ureter. 704. 704. Ureter. 705. 705. Ureter. 706. 706. Ureter. 707. 707. Ureter. 708. 708. Ureter. 709. 709. Ureter. 710. 710. Ureter. 711. 711. Ureter. 712. 712. Ureter. 713. 713. Ureter. 714. 714. Ureter. 715. 715. Ureter. 716. 716. Ureter. 717. 717. Ureter. 718. 718. Ureter. 719. 719. Ureter. 720. 720. Ureter. 721. 721. Ureter. 722. 722. Ureter. 723. 723. Ureter. 724. 724. Ureter. 725. 725. Ureter. 726. 726. Ureter. 727. 727. Ureter. 728. 728. Ureter. 729. 729. Ureter. 730. 730. Ureter. 731. 731. Ureter. 732. 732. Ureter. 733. 733. Ureter. 734. 734. Ureter. 735. 735. Ureter. 736. 736. Ureter. 737. 737. Ureter. 738. 738. Ureter. 739. 739. Ureter. 740. 740. Ureter. 741. 741. Ureter. 742. 742. Ureter. 743. 743. Ureter. 744. 74

Es ist wenig zur Erläuterung hinzuzufügen. Die grosse Ähnlichkeit der einzelnen Formen mit meiner Abbildung wird das Verständnis wesentlich erleichtern. Ueber die Hälfte der Beckenhöhle wird von dem stark ausgedehnten Mastdarm ausgefüllt. Letzterer ist zwei Zoll über dem *Auss* durchschnitten und vorher durch Luft gewaltsam ausgefüllt worden. Die halbkugelförmige Falte ist auch bei dieser Ausdehnung nicht ausgeglichen worden, sondern springt von der rechten Seite aus deutlich in die Höhle hineinlich vor.

Besonderswerth ist die Begrenzung des Beckenraumes. Der Schnitt geht durch die *Spina ischi* und theilweise durch das *Ligamentum spinosacrum*, verläuft also zwischen dem *Foramen ischiadicum majus* und *minus*. Dem entsprechend ragt vom Körper des Sitzbeines leiterseits ein Knochenzacken ziemlich weit nach hinten vor und an denselben schliesst sich in der ganzen Länge das *Ligamentum spinosacrum* an bis zum Kreuzbein. Rechts ist dieses Band nur eine Strecke weit vom Kreuzbein an zu verfolgen und reicht nicht bis zur Spitze des Sitzbeines wie links. Da das *Ligamentum spinosacrum* eine horizontale Richtung hat, das *Ligamentum tuberoso-sacrum* in mehr verticaler Richtung aufsteigt, so ist auch von letzterem nur ein kleines Stück zu sehen. Man findet es am Kreuzbein nach dem Rande des *Os pubis* hin, wo es dann von anderen Bänden abweichend sich in die Tiefe verliert. Zwischen beiden Bändern liegen links die *Vasa pudenda* mit dem zugehörigen Nerven; rechts sind dieselben bereits weiter davon entfernt, und in der Nähe der *Spina ischi* zu suchen.

Beiderseits nach innen zu vom *Lig. spinosacrum* markirt sich ein dunkler Streifen, der theils nach der *Spina ischi* in Verbindung steht. Es ist dies der oberste Theil des *Levator ani*, m. *coccygeus*. Der *Levator ani* schliesst wie ein muskulöser Trichter die Beckenhöhle nach abwärts und wird deshalb nicht unweckmässig mit dem Zwerchfell verglichen. — Alle Schnitte, die noch weiter nach abwärts die Blase schneiden, müssen somit in den Bereich dieses Muskels fallen und denselben als einen die Beckenorgane begrenzenden muskulösen Ring zur Ansicht bringen. Einen solchen tiefer angelegten Querschnitt zeigt die hier folgende Figur:

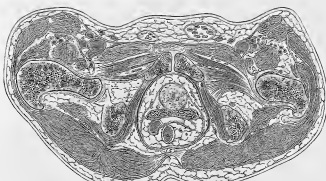


Fig. 2. Querschnitt durch den untersten Theil der Beckenhöhle. Cadaver eines älteren Mannes.
1. 1. Oberschenkelkopf, 2. Mastdarm, 3. Harnblase, 4. Kreuzbein, 5. Sitzbein, 6. Kreuzbein.

Figur 2 stellt einen Querschnitt vor, den ich durch das Becken eines Mannes anlegte. Er schnitt die Symphyse, ging links durch das *Foramen ischiadicum minus*, rechts noch etwas darunter durch den Sitzknochen; hinten verlief er in der Höhe der Steissbeinspitze. Man erkennt sofort die durch den *Levator ani* umgrenzte Beckenhöhle, welche hinten Mastdarm, eine Dünndarmschlinge, Samenbläschen und den Anfangstheil der Blase mit der Harnrohre enthält.

Da hier beträchtlich tiefer geschnitten wurde, so sieht man auch links den *Genellus inferior* in völliger Zusammenhänge mit dem winkligen *Obturator internus* verlaufen. Trotzdem ist noch Douglas'scher Raum mit Bauchfell vorhanden. Es ergibt sich hieraus, dass der Stand des Bauchfellackes ein tieferer war, als bei den jugendlichen Cadavern in vorliegender Tafel und Tafel I. Nimmt man dazu, dass bei neugeborenen Kindern ein besonders hoher Stand des Bauchfells zum Becken vorhanden ist, so wird sich dieses Verhältniss als ein normales, dem Alter entsprechendes, bezeichnen lassen, und daraus die Regel ergeben, bei alten Leuten ganz besonders vorsichtig bei Mastdarmoperationen zu verfahren, um nicht das hier tiefer kühnreichende Bauchfell zu treffen.

Fig. 3 ist aus dem Atlas von *Pirogoff* entnommen und verkleinert wiedergegeben worden. Nach *Pirogoff's* Angaben (*Text*, fasc. III, p. 58) war der Cadaver eines erwachsenen Mannes durch Frost gehärtet worden, bei dem eine gefüllte Harnblase und gefüllter Mastdarm vorlagen. Der Schnitt ging durch den unteren Theil der Symphyse, 7 Linien

unterhalb des oberen Randes derselben, durch das *Foramen ovale*, die Tuberosität des Sitzbeins, nahe an der *Incisura ischiadica minor* und der Insertion des *Ligamentum tuberoso-sacrum*, und trat in der Höhe der Schwanzbeinspitze hinten aus. Es ward die untere Fläche des Schnittes abgebildet, so dass man wie bei der Tafel von oben nach abwärts in den Körper hineinklickt.

Ueber den *Levator ani* selbst können natürlich solche Durchschnitte keine klare Anschauung geben, da nur ein geringer Theil seiner Fasern getroffen wird. Man wird ihn also nicht auf Grund solcher Abbildungen hin, als Zusammenschneider der unteren Beckeneingeweide auffassen dürfen.

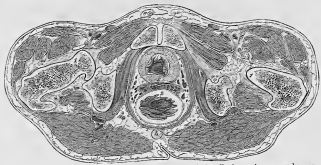


Fig. 3. Durchschnitte durch den untersten Theil des Beckens eines erwachsenen Mannes mit gefülltem Mastdarm. *Pirogoff* III, 16, 2.
1. 1. Oberschenkelkopf, 2. Mastdarm, 3. Harnblase, 4. Kreuzbein, 5. Sitzbein, 6. Kreuzbein.

Vergleicht man diesen Durchschnitte, der in gleicher Höhe wie der bei Fig. 2 genommen ist, so sieht man, in welcher Weise der Raum für den gefüllten Mastdarm gewonnen wurde. Man erkennt aber auch deutlich, dass zugleich mit der Mastdarmausdehnung eine Erhebung des Douglas'schen Raumes und der untersten Dünndarmschlingen verbunden war; denn von all diesen Theilen ist auf diesem Schnitte nichts mehr vorhanden. Zwischen Blase und Mastdarm zeigen sich nur die Schnitte der Samenbläschen, die also mit dem erhobenen Blasengrunde auch weiter hinauf über die Schnittfläche getreten sind.

Ausserhalb der Beckenhöhle hat man beiderseits die am Hals geschnittenen Oberschenkelknochen mit den Gelenkflächen, und daneben die Muskelgruppen mit den grossen Gefässen. Da die Körper aus nach innen und oben eine Kugelform zeigen, so wird jeder Transversalschnitt der in der Nähe ihrer Mitte durchgeht, auch ein Stück des Halses mit treffen, und daher je weiter nach abwärts auch unweckmässiger von der Kugelform abweichende Formen hervorbringen. Nur der innere Contour wird noch einen Kreisabschnitt darstellen, nämlich da, wo das *Ligamentum teres* aus der Tiefe heraustritt und sich in die Grube am Kopfe selbst inserirt. Weiter hinauf zeigen sich die Gelenktheile besser.

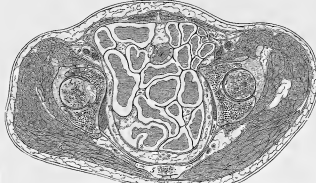


Fig. 4. Querschnitt durch das Becken eines älteren Mannes in der Höhe des *Ligamentum spinosacrum*.
1. 1. Oberschenkelkopf, 2. Mastdarm, 3. Harnblase, 4. Kreuzbein, 5. Sitzbein, 6. Kreuzbein.

Fig. 4 stammt von der Reihe von Durchschnitten, die an dem Körper eines älteren Mannes von mir ausgeführt wurden. Der Schnitt ist zwar etwas höher geführt als der auf der Tafel abgebildete, ist aber deshalb gut vergleichbar, weil er die ganze Länge des *Ligamentum spinosacrum* trifft.

Man erkennt die Köpfe des Oberschenkelknochen in ihren Pfannen nahezu halbrund. Von der *Symphysis ossium pubis*, die in Folge der stärkeren Beckenverengung beträchtlich tiefer lag, ist noch nichts zu sehen. Dagegen zeigt sich sehr gut das Verhältniss des Samenstranges zu den grossen Schenkelflagellen. Entsprechend der schon oben erwähnten tieferen Lage der Eingeweide bei älteren Leuten hat man hier eine Menge von Darmschlingen vor sich, da wo auf der Tafel nur noch ein flacher Abschnitt vom *Ileum* vorhanden war.

TAFEL XIX.

Es erschien mir wünschenswerth, der Reihe von Querschnitten noch einen Frontaldurchschnitt des Beckens hinzuzufügen und zwar einen solchen, der die Verhältnisse der Hüftgelenke möglichst gut zur Anschauung brächte. Nach mehrfachen Versuchen überzeugte ich mich, dass dazu eine bestimmte Haltung der Beine nothwendig sei, da bei der Rückenlage des Cadavers die Beine gewöhnlich so nach auswärts gerollt sind, dass die oberen Theile beider Oberschenkel, nämlich Kopf, Hals und Schaft nicht in der frontalen Ebene des Körpers liegen und auch keine gemeinsame Ebene mit einander bilden. Nur dann, wenn man die Schenkel so weit nach einwärts rollt, dass die medialen Ränder beider Füße sich in ihrer ganzen Länge berühren, liegen beide Oberschenkelknochen mit Schaft, Hals und Kopf in einer gemeinsamen Frontalebene.

Ich band daher die Füße des frischen Cadavers eines muskelkräftigen 35jährigen Handarbeiters, der seinem Leben durch Erhängen ein Ende gemacht hatte, vor dem Frieren fest an einander und führte nach dem völligen Erstarren des Körpers den Frontaldurchschnitt aus, welcher der vorliegenden Abbildung zu Grunde liegt.

Der Schnitt durch das Becken und die Hüftgelenke gelang in befriedigender Weise; die Symmetrie beider Seiten ist nahezu eine vollkommene zu nennen. Nur der Schaft des rechten Oberschenkelknochen ist nicht in seiner gesammten Länge getroffen worden; der grosse Trochanter nur zum Theile sichtbar, der Anfang der Diaphyse darunter noch stellenweise von Weichtheilen bedeckt. Kopf und Hals der Oberschenkel dagegen wurden ziemlich genau halbt. Am Becken ging der Schnitt durch die Mitte der Pfannen und verlief durch die Länge des *Ligamentum teres* auf beiden Seiten. Ausserdem ging er durch das *Foramen obturatorium* und die Darmlöcher. Das *Promontorium* und die Sitzknorren blieben unberührt in der hinteren Hälfte des Präparates liegen. Man sieht somit von vorn nach hinten in die Beckenhöhle hinein und hat also zur linken Hand die rechte Seite des Cadavers, zur rechten Hand die linke.

Die Abbildung zeigt das untere Ende der Abdominalhöhle, begrenzt oben durch die Durchschnitte der drei platten Bauchmuskeln, weiter nach abwärts durch den nach innen zu ziemlich stark vorspringenden Wall des *Hiopsoas*, der lateralwärts von seiner centralen Sehne den *Nervus cruralis* in sich birgt.

Zwischen diesen muskulösen Wandungen liegen die Därme, und reichen bis zur Harnblase herab, deren vorderes Ende so getroffen worden ist, dass die Höhlung gerade noch eröffnet wurde. An den Darmdurchschnitten, die oben mehr dem *Jejunum*, unten mehr dem *Ileum* angehören, wie man leicht aus der Beschaffenheit der Schleimhaut erkennen kann, ist ersichtlich, dass die Darmadlingen vielfach ihrer Länge nach getroffen wurden. Man hat viel weniger einfache Querschnitte vor sich als dies bei den vorhergehenden Abbildungen des Rumpfes der Fall war. Es müssen somit die Darmschlingen eine mehr der Längsachse des Körpers parallele Richtung verfolgt haben.

Von den einzelnen Darmtheilen erkennt man am oberen Rande des rechten *Psoas* den querschnittenen *Processus vermiformis*, an der medialen Seite der linken *Vena illica* den Querschnitt des Mastdarmes. Letzterer wurde nach Vollendung der Zeichnung noch im erstarrten Zustande in Beziehung auf seinen Verlauf besonders untersucht. Er stieg hinter dem Douglas'schen Raume in der linken Körperhälfte nahe an der Mittellinie in die Höhe, bog dann am linken *Psoas* scharf nach vorn ab, so dass er in die Schnittebene fiel, und zog sich dann unter Bildung eines grossen nach vorn gerichteten Bogens etwas in die rechte Körperhälfte hinüber, um sich dann nach links und hinten an das *Colon descendens* anzuschliessen, welches mit seiner Schnittfläche oben an den linken platten Bauchmuskeln zu erkennen ist. Er zeigte somit in seinem unteren Theile eine Abweichung von dem gewöhnlichen Verlaufe, wie er auch im Atlas von *Pirogoff*, fasc. III. B.

Tab. XV, Fig. 1 abgebildet ist; stimmt also auch nicht vollständig mit den Verhältnissen auf Tafel I und II überein.

Man kann sich durch Ausgüsse mit erstarrenden Massen leicht davon überzeugen, dass in einzelnen nicht gar zu seltenen Fällen die S-förmige Krümmung des *Rectum* in frontaler Richtung am Kreuzbeine nicht scharf ausgeprägt ist; Varietäten, die durch die verschiedene Länge des *Mesorectum* bedingt sind. Ist letzteres stark ausgebildet und weit hinreichend, so ist die Lage des *Rectum* dadurch freier und von dem Zustand der Nachbarorgane abhängiger. Kürze und Straffheit dieses *Mesenterium* bedingen eine festere und constanter Lage des Darmes.

Ebenso ist der Einfluss seiner Anfüllung und der Festigkeit seiner Wandungen hierbei im Auge zu behalten. Starke Kothanhäufungen und grosse Schlaffheit seiner Wände vermögen die ursprünglichen Krümmungen beträchtlich auszugleichen.

Es lässt sich durch Versuche nachweisen, wie es auch die klinischen Beobachtungen am Krankenbette ergeben, dass man im Stande ist, mit voluminösen und langen Instrumenten die Krümmungen des Mastdarmes so weit auszugleichen, um sogar bis in die *Flexura ilica* hinauf zu gelangen. Man kann auch nur auf diese Weise fremde Körper, die von aussen hineingeschlüpft sind und sich in den Krümmungen festgeklebt haben, mit der Zange fassen und glücklich herausziehen.

Die Harnblase enthält nur wenig Urin und war fest um ihren Inhalt zusammengezogen. Sie liegt nur durch wenig Fett getrennt über den Querschnitten des *Levator ani*. Auf beiden Seiten des letzteren schliessen sich die Durchschnitte des *Obturator internus* an, der seine Begrenzung nach abwärts durch die *Membrana obturatoria*, seitlich durch die Beckenknochen erhält. Verfolgt man den Raum zwischen Därmen und Becken beiderseits von der Blase nach aufwärts, geht man also unter dem Bauchfelle in die Höhe, so kommt man zunächst auf zwei wohl weissgehaltene Querschnitte, welche die *Ligamenta lateralia vesicae* darstellen. Sie liegen von der Blase weit entfernt, weil dieselbe klein und contrahirt war. Eine angefüllte Blase würde sie an ihrer oberen Fläche tragen und zugleich den ganzen Raum in der unteren Beckensperre einnehmen, wie verschiedene Abbildungen von *Pirogoff* zeigen.

Weiter nach aufwärts in dem gleichen Raume zwischen Bauchfell und Becken liegt das querschnittene *Vas deferens* und darüber die *Vena obturatoria*, *Nervus obturatorius* und eine kleine Arterie. Die Hauptarterie zum *Foramen obturatorium* ging von der *A. epigastrica* ab.

Endlich gelangt man auf dem begangenen Wege zur *Vena* und *Arteria illica*. Beide Gefässe liegen an der inneren Wand des *Psoas*, wie es auch die vorhergehenden Querschnitte des Rumpfes zeigen, aber



Fig. 1. Frontalschnitt eines mit Theil injicirten gefrorenen Hüftgelenkes. $\frac{1}{2}$.

1. Oberschenkelkopf. 2. Sehne des *M. rectus*. 3. *M. obturator internus*. 4. *M. pectineus*. 5. Seiten des Hüftgelenks. 6. *M. gluteus maximus*.

auch die Arterie für den Operateur leicht zu erreichen ist, ob namentlich die Verhältnisse des Bandfalls eine gefahrlose Unterbindung gestatten.

Man hat sich vielfach durch die Nähe des Bauchfalls beeinflussen lassen, um bei Blutungen hoch am Oberschenkel die leicht erreichbare *Femoralis* am Poupartischen Bande anstatt der *Iliaca* zu unterbinden, ohne jedoch zu bedenken, dass gerade an der *Femoralis* die Menge der abgehenden Aeste äusserst nützlich für die Herstellung eines Thrombus ist. Bei keiner Ligatur sind in Folge dessen so viele und so heftige Nachblutungen beobachtet worden. Nun sind aber die Gefäße von Seiten des Bauchfalls in der That nicht so gross, und lassen sich auch für den Ungeübten sicher umgehen, wenn nur der erste Einschnitt nahe am *Ligamentum Poupartii* gemacht wird. Man hat nach Abtrennung des *Obliquus internus* und *Transversus* die *Fascia transversa* einzuschneiden, um dann leicht mit den eingesetzten Fingern das Bauchfell im lockeren Bindegewebe nach aufwärts schieben zu können. Eine kleine Lymphdrüse pflegt direkt auf der Arterie zu liegen und deren Lage zu markieren. Nur zweierlei ist zu vermeiden, was in den Lehrbüchern nicht genügend betont wird; nämlich das Eindringen unter die *Fascia iliaca* und die Verletzung der starken *Vena circumflexa iliaca* die quer nach aussen über die Arterie hinwegläuft. Gerade weniger Gefährte dringen leicht aus Angst vor Verletzung des Bauchfalls zu tief ein und wühlen dann, vergeblich die Arterie suchend, in dem Muskelgewebe des *Iliacus* und *Psoas*.

Man wird die Ligatur der *Iliaca externa* gerader an Stelle der der *Femoralis* unter dem Poupartischen Bande zu setzen haben.

Auch die Statistik spricht entschieden zu Gunsten dieser Operation. Norris hat über 100 Operationsfälle verzeichnet, von denen 73 einen günstigen Ausgang hatten.

Die *Arteria hypogastrica*, an deren Abgangsstelle wir uns auf der vorhergehenden Tafel befinden, ist auf dieser Abbildung bereits in ihre Aeste zerfallen, welche sich durch ihre Lage zum Durchtritt durch die *Incurva ischiadica* nach aussen vorbereiten. Letztere liegt nahe, $\frac{1}{2}$ Centimeter unter der Schnittlinie. Man erkennt auch die Gefässe ausserhalb des Beckens zum Theil wieder, da eine Anzahl der nach oben stehenden Aeste, wie der *Glutaea*, doppelt geschnitten wurden. Weiter nach rückwärts von den Stämmen der *Glutaea* und *Iliadica* zeigen sich die mächtigen Durchschnitte der gleichnamigen Venen und zwischen diesen die Theile des *Plexus sacralis*, die sich weiter unten zum *Nervus ischiadicus* vereinigen, der mit seiner grossen Schnittfläche bereits auf dem nächsten Durchschnitte erscheint.

Je nach dem Grade der Beckenverengung wird bei Transversalschnitten auch das Iliosacralgelenk verschiedentlich geschnitten. Es kann daher nicht Wunder nehmen, dass die Formen dieses Gelenks bei Querschnitten des ganzen Körpers so verschieden ausfallen. Vergl. *Protopf.* a. a. O. Fasc. III. Tab. 13. Fig. 3 u. ff.

Dass man hier ein wirkliches Gelenk vor sich hat, ist schon aus der Betrachtung dieses Durchschnittes ersichtlich. Man erkennt deutlich die Gelenkhöhle, die dieselbe umgebenden Knorpelflächen, und den das Gelenk fixirenden Bandapparat. Der Gelenkspalt ist ziemlich ausgedehnt, und links durch den constant vorkommenden Vorsprung des Hüftbeins winklig gebogen. Die Knorpelfläche am Kreuzbein ist die stärkere, was auf der rechten Seite vom Zeichner übersehen worden ist.

Vorn liegt das *Ligamentum sacrotuberale anterius*, eine schwache Bandmasse, welche nicht viel zu tragen hat, und sich mehr wie eine Verstärkung des Periostrages ausnimmt, der vom Kreuzbein nach dem Hüftbein über das Gelenk weg hinüberzieht. Hinten dagegen findet sich das mächtige *Ligamentum sacrotuberale posterius* (Bischof), eingepackt in den Winkel des Kreuzbeins und Hüftbeinbuckers; und unmittelbar darauf liegend, und kaum von ihm zu trennen, die Furche ansehend, aus welcher die Streckmuskeln der Wirbelsäule entspringen, das *Ligamentum iliocacrale posterius*. An diesem kolossalen Bandapparat, der einen ähnlichen Gegensatz zu den Bändern auf der Vorderseite bildet, wie die Bänder der Fusssohle zu denen des Fussrückens, ist das Kreuzbein an den Hüftbeinen aufgehängt.

Vergleicht man den beim aufgerichteten Körper nahezu aufrecht stehenden Beckenring mit einem Gefäßbogen, in welchen die Wirbelsäule mit ihrer Basis, dem Kreuzbein, eingefügt ist, so bildet allerdings das Kreuzbein den Schlussstein, insofern es die Lücke zwischen den Hüftbeinen schliesst. Es verhält sich aber gerade entgegengesetzt wie ein das Gefäß von oben her schliessender und deshalb dasselbe auseinander pressender Schlussstein. Es richtet seine breite Fläche nach abwärts, seine schmale nach aufwärts, ist demnach von unten her in den Gefäßbogen hineingeschlitten und durch die starken Bänder darin aufgehängt, so dass der Körper mittelst der Wirbelsäule nicht die Hüftbeine drückend auseinanderstrebt, sondern wie in einem festeren Apparat befestigt, durch

die Bänder getragen wird, welche die Hüftbeine nach hinten zusammenziehen und an das Kreuzbein anpressen müssen. Alle Süssse somit, die von unten her kommen, werden durch diesen Gelenkapparat gehoben, so dass sie nur abgeschwächt auf die Wirbelsäule und deren Inhalt übertragen werden.

In beifolgender Figur gebe ich eine Copie eines meiner früheren Durchschnitte, der besonders schön diese Gelenkverhältnisse wiedergibt. Das Bild stammt von dem älteren Manne, dem auch Tafel IX entnommen ist.

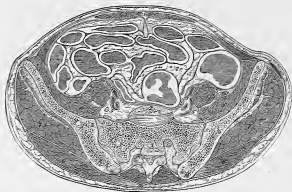


Fig. 1.
1. Kreuzbein. 2. Abchnitt des letzten Lendenwirbels. 3. Hüftbein. 4. Arterie nach 5. Vena iliacus. 6. Iliac plexus nach 7. Iliac plexus nach 8. Iliac plexus nach 9. Iliac plexus nach 10. Iliac plexus nach 11. Iliac plexus nach 12. Iliac plexus nach 13. Iliac plexus nach 14. Iliac plexus nach 15. Iliac plexus nach 16. Iliac plexus nach 17. Iliac plexus nach 18. Iliac plexus nach 19. Iliac plexus nach 20. Iliac plexus nach 21. Iliac plexus nach 22. Iliac plexus nach 23. Iliac plexus nach 24. Iliac plexus nach 25. Iliac plexus nach 26. Iliac plexus nach 27. Iliac plexus nach 28. Iliac plexus nach 29. Iliac plexus nach 30. Iliac plexus nach 31. Iliac plexus nach 32. Iliac plexus nach 33. Iliac plexus nach 34. Iliac plexus nach 35. Iliac plexus nach 36. Iliac plexus nach 37. Iliac plexus nach 38. Iliac plexus nach 39. Iliac plexus nach 40. Iliac plexus nach 41. Iliac plexus nach 42. Iliac plexus nach 43. Iliac plexus nach 44. Iliac plexus nach 45. Iliac plexus nach 46. Iliac plexus nach 47. Iliac plexus nach 48. Iliac plexus nach 49. Iliac plexus nach 50. Iliac plexus nach 51. Iliac plexus nach 52. Iliac plexus nach 53. Iliac plexus nach 54. Iliac plexus nach 55. Iliac plexus nach 56. Iliac plexus nach 57. Iliac plexus nach 58. Iliac plexus nach 59. Iliac plexus nach 60. Iliac plexus nach 61. Iliac plexus nach 62. Iliac plexus nach 63. Iliac plexus nach 64. Iliac plexus nach 65. Iliac plexus nach 66. Iliac plexus nach 67. Iliac plexus nach 68. Iliac plexus nach 69. Iliac plexus nach 70. Iliac plexus nach 71. Iliac plexus nach 72. Iliac plexus nach 73. Iliac plexus nach 74. Iliac plexus nach 75. Iliac plexus nach 76. Iliac plexus nach 77. Iliac plexus nach 78. Iliac plexus nach 79. Iliac plexus nach 80. Iliac plexus nach 81. Iliac plexus nach 82. Iliac plexus nach 83. Iliac plexus nach 84. Iliac plexus nach 85. Iliac plexus nach 86. Iliac plexus nach 87. Iliac plexus nach 88. Iliac plexus nach 89. Iliac plexus nach 90. Iliac plexus nach 91. Iliac plexus nach 92. Iliac plexus nach 93. Iliac plexus nach 94. Iliac plexus nach 95. Iliac plexus nach 96. Iliac plexus nach 97. Iliac plexus nach 98. Iliac plexus nach 99. Iliac plexus nach 100. Iliac plexus nach 101. Iliac plexus nach 102. Iliac plexus nach 103. Iliac plexus nach 104. Iliac plexus nach 105. Iliac plexus nach 106. Iliac plexus nach 107. Iliac plexus nach 108. Iliac plexus nach 109. Iliac plexus nach 110. Iliac plexus nach 111. Iliac plexus nach 112. Iliac plexus nach 113. Iliac plexus nach 114. Iliac plexus nach 115. Iliac plexus nach 116. Iliac plexus nach 117. Iliac plexus nach 118. Iliac plexus nach 119. Iliac plexus nach 120. Iliac plexus nach 121. Iliac plexus nach 122. Iliac plexus nach 123. Iliac plexus nach 124. Iliac plexus nach 125. Iliac plexus nach 126. Iliac plexus nach 127. Iliac plexus nach 128. Iliac plexus nach 129. Iliac plexus nach 130. Iliac plexus nach 131. Iliac plexus nach 132. Iliac plexus nach 133. Iliac plexus nach 134. Iliac plexus nach 135. Iliac plexus nach 136. Iliac plexus nach 137. Iliac plexus nach 138. Iliac plexus nach 139. Iliac plexus nach 140. Iliac plexus nach 141. Iliac plexus nach 142. Iliac plexus nach 143. Iliac plexus nach 144. Iliac plexus nach 145. Iliac plexus nach 146. Iliac plexus nach 147. Iliac plexus nach 148. Iliac plexus nach 149. Iliac plexus nach 150. Iliac plexus nach 151. Iliac plexus nach 152. Iliac plexus nach 153. Iliac plexus nach 154. Iliac plexus nach 155. Iliac plexus nach 156. Iliac plexus nach 157. Iliac plexus nach 158. Iliac plexus nach 159. Iliac plexus nach 160. Iliac plexus nach 161. Iliac plexus nach 162. Iliac plexus nach 163. Iliac plexus nach 164. Iliac plexus nach 165. Iliac plexus nach 166. Iliac plexus nach 167. Iliac plexus nach 168. Iliac plexus nach 169. Iliac plexus nach 170. Iliac plexus nach 171. Iliac plexus nach 172. Iliac plexus nach 173. Iliac plexus nach 174. Iliac plexus nach 175. Iliac plexus nach 176. Iliac plexus nach 177. Iliac plexus nach 178. Iliac plexus nach 179. Iliac plexus nach 180. Iliac plexus nach 181. Iliac plexus nach 182. Iliac plexus nach 183. Iliac plexus nach 184. Iliac plexus nach 185. Iliac plexus nach 186. Iliac plexus nach 187. Iliac plexus nach 188. Iliac plexus nach 189. Iliac plexus nach 190. Iliac plexus nach 191. Iliac plexus nach 192. Iliac plexus nach 193. Iliac plexus nach 194. Iliac plexus nach 195. Iliac plexus nach 196. Iliac plexus nach 197. Iliac plexus nach 198. Iliac plexus nach 199. Iliac plexus nach 200. Iliac plexus nach 201. Iliac plexus nach 202. Iliac plexus nach 203. Iliac plexus nach 204. Iliac plexus nach 205. Iliac plexus nach 206. Iliac plexus nach 207. Iliac plexus nach 208. Iliac plexus nach 209. Iliac plexus nach 210. Iliac plexus nach 211. Iliac plexus nach 212. Iliac plexus nach 213. Iliac plexus nach 214. Iliac plexus nach 215. Iliac plexus nach 216. Iliac plexus nach 217. Iliac plexus nach 218. Iliac plexus nach 219. Iliac plexus nach 220. Iliac plexus nach 221. Iliac plexus nach 222. Iliac plexus nach 223. Iliac plexus nach 224. Iliac plexus nach 225. Iliac plexus nach 226. Iliac plexus nach 227. Iliac plexus nach 228. Iliac plexus nach 229. Iliac plexus nach 230. Iliac plexus nach 231. Iliac plexus nach 232. Iliac plexus nach 233. Iliac plexus nach 234. Iliac plexus nach 235. Iliac plexus nach 236. Iliac plexus nach 237. Iliac plexus nach 238. Iliac plexus nach 239. Iliac plexus nach 240. Iliac plexus nach 241. Iliac plexus nach 242. Iliac plexus nach 243. Iliac plexus nach 244. Iliac plexus nach 245. Iliac plexus nach 246. Iliac plexus nach 247. Iliac plexus nach 248. Iliac plexus nach 249. Iliac plexus nach 250. Iliac plexus nach 251. Iliac plexus nach 252. Iliac plexus nach 253. Iliac plexus nach 254. Iliac plexus nach 255. Iliac plexus nach 256. Iliac plexus nach 257. Iliac plexus nach 258. Iliac plexus nach 259. Iliac plexus nach 260. Iliac plexus nach 261. Iliac plexus nach 262. Iliac plexus nach 263. Iliac plexus nach 264. Iliac plexus nach 265. Iliac plexus nach 266. Iliac plexus nach 267. Iliac plexus nach 268. Iliac plexus nach 269. Iliac plexus nach 270. Iliac plexus nach 271. Iliac plexus nach 272. Iliac plexus nach 273. Iliac plexus nach 274. Iliac plexus nach 275. Iliac plexus nach 276. Iliac plexus nach 277. Iliac plexus nach 278. Iliac plexus nach 279. Iliac plexus nach 280. Iliac plexus nach 281. Iliac plexus nach 282. Iliac plexus nach 283. Iliac plexus nach 284. Iliac plexus nach 285. Iliac plexus nach 286. Iliac plexus nach 287. Iliac plexus nach 288. Iliac plexus nach 289. Iliac plexus nach 290. Iliac plexus nach 291. Iliac plexus nach 292. Iliac plexus nach 293. Iliac plexus nach 294. Iliac plexus nach 295. Iliac plexus nach 296. Iliac plexus nach 297. Iliac plexus nach 298. Iliac plexus nach 299. Iliac plexus nach 300. Iliac plexus nach 301. Iliac plexus nach 302. Iliac plexus nach 303. Iliac plexus nach 304. Iliac plexus nach 305. Iliac plexus nach 306. Iliac plexus nach 307. Iliac plexus nach 308. Iliac plexus nach 309. Iliac plexus nach 310. Iliac plexus nach 311. Iliac plexus nach 312. Iliac plexus nach 313. Iliac plexus nach 314. Iliac plexus nach 315. Iliac plexus nach 316. Iliac plexus nach 317. Iliac plexus nach 318. Iliac plexus nach 319. Iliac plexus nach 320. Iliac plexus nach 321. Iliac plexus nach 322. Iliac plexus nach 323. Iliac plexus nach 324. Iliac plexus nach 325. Iliac plexus nach 326. Iliac plexus nach 327. Iliac plexus nach 328. Iliac plexus nach 329. Iliac plexus nach 330. Iliac plexus nach 331. Iliac plexus nach 332. Iliac plexus nach 333. Iliac plexus nach 334. Iliac plexus nach 335. Iliac plexus nach 336. Iliac plexus nach 337. Iliac plexus nach 338. Iliac plexus nach 339. Iliac plexus nach 340. Iliac plexus nach 341. Iliac plexus nach 342. Iliac plexus nach 343. Iliac plexus nach 344. Iliac plexus nach 345. Iliac plexus nach 346. Iliac plexus nach 347. Iliac plexus nach 348. Iliac plexus nach 349. Iliac plexus nach 350. Iliac plexus nach 351. Iliac plexus nach 352. Iliac plexus nach 353. Iliac plexus nach 354. Iliac plexus nach 355. Iliac plexus nach 356. Iliac plexus nach 357. Iliac plexus nach 358. Iliac plexus nach 359. Iliac plexus nach 360. Iliac plexus nach 361. Iliac plexus nach 362. Iliac plexus nach 363. Iliac plexus nach 364. Iliac plexus nach 365. Iliac plexus nach 366. Iliac plexus nach 367. Iliac plexus nach 368. Iliac plexus nach 369. Iliac plexus nach 370. Iliac plexus nach 371. Iliac plexus nach 372. Iliac plexus nach 373. Iliac plexus nach 374. Iliac plexus nach 375. Iliac plexus nach 376. Iliac plexus nach 377. Iliac plexus nach 378. Iliac plexus nach 379. Iliac plexus nach 380. Iliac plexus nach 381. Iliac plexus nach 382. Iliac plexus nach 383. Iliac plexus nach 384. Iliac plexus nach 385. Iliac plexus nach 386. Iliac plexus nach 387. Iliac plexus nach 388. Iliac plexus nach 389. Iliac plexus nach 390. Iliac plexus nach 391. Iliac plexus nach 392. Iliac plexus nach 393. Iliac plexus nach 394. Iliac plexus nach 395. Iliac plexus nach 396. Iliac plexus nach 397. Iliac plexus nach 398. Iliac plexus nach 399. Iliac plexus nach 400. Iliac plexus nach 401. Iliac plexus nach 402. Iliac plexus nach 403. Iliac plexus nach 404. Iliac plexus nach 405. Iliac plexus nach 406. Iliac plexus nach 407. Iliac plexus nach 408. Iliac plexus nach 409. Iliac plexus nach 410. Iliac plexus nach 411. Iliac plexus nach 412. Iliac plexus nach 413. Iliac plexus nach 414. Iliac plexus nach 415. Iliac plexus nach 416. Iliac plexus nach 417. Iliac plexus nach 418. Iliac plexus nach 419. Iliac plexus nach 420. Iliac plexus nach 421. Iliac plexus nach 422. Iliac plexus nach 423. Iliac plexus nach 424. Iliac plexus nach 425. Iliac plexus nach 426. Iliac plexus nach 427. Iliac plexus nach 428. Iliac plexus nach 429. Iliac plexus nach 430. Iliac plexus nach 431. Iliac plexus nach 432. Iliac plexus nach 433. Iliac plexus nach 434. Iliac plexus nach 435. Iliac plexus nach 436. Iliac plexus nach 437. Iliac plexus nach 438. Iliac plexus nach 439. Iliac plexus nach 440. Iliac plexus nach 441. Iliac plexus nach 442. Iliac plexus nach 443. Iliac plexus nach 444. Iliac plexus nach 445. Iliac plexus nach 446. Iliac plexus nach 447. Iliac plexus nach 448. Iliac plexus nach 449. Iliac plexus nach 450. Iliac plexus nach 451. Iliac plexus nach 452. Iliac plexus nach 453. Iliac plexus nach 454. Iliac plexus nach 455. Iliac plexus nach 456. Iliac plexus nach 457. Iliac plexus nach 458. Iliac plexus nach 459. Iliac plexus nach 460. Iliac plexus nach 461. Iliac plexus nach 462. Iliac plexus nach 463. Iliac plexus nach 464. Iliac plexus nach 465. Iliac plexus nach 466. Iliac plexus nach 467. Iliac plexus nach 468. Iliac plexus nach 469. Iliac plexus nach 470. Iliac plexus nach 471. Iliac plexus nach 472. Iliac plexus nach 473. Iliac plexus nach 474. Iliac plexus nach 475. Iliac plexus nach 476. Iliac plexus nach 477. Iliac plexus nach 478. Iliac plexus nach 479. Iliac plexus nach 480. Iliac plexus nach 481. Iliac plexus nach 482. Iliac plexus nach 483. Iliac plexus nach 484. Iliac plexus nach 485. Iliac plexus nach 486. Iliac plexus nach 487. Iliac plexus nach 488. Iliac plexus nach 489. Iliac plexus nach 490. Iliac plexus nach 491. Iliac plexus nach 492. Iliac plexus nach 493. Iliac plexus nach 494. Iliac plexus nach 495. Iliac plexus nach 496. Iliac plexus nach 497. Iliac plexus nach 498. Iliac plexus nach 499. Iliac plexus nach 500. Iliac plexus nach 501. Iliac plexus nach 502. Iliac plexus nach 503. Iliac plexus nach 504. Iliac plexus nach 505. Iliac plexus nach 506. Iliac plexus nach 507. Iliac plexus nach 508. Iliac plexus nach 509. Iliac plexus nach 510. Iliac plexus nach 511. Iliac plexus nach 512. Iliac plexus nach 513. Iliac plexus nach 514. Iliac plexus nach 515. Iliac plexus nach 516. Iliac plexus nach 517. Iliac plexus nach 518. Iliac plexus nach 519. Iliac plexus nach 520. Iliac plexus nach 521. Iliac plexus nach 522. Iliac plexus nach 523. Iliac plexus nach 524. Iliac plexus nach 525. Iliac plexus nach 526. Iliac plexus nach 527. Iliac plexus nach 528. Iliac plexus nach 529. Iliac plexus nach 530. Iliac plexus nach 531. Iliac plexus nach 532. Iliac plexus nach 533. Iliac plexus nach 534. Iliac plexus nach 535. Iliac plexus nach 536. Iliac plexus nach 537. Iliac plexus nach 538. Iliac plexus nach 539. Iliac plexus nach 540. Iliac plexus nach 541. Iliac plexus nach 542. Iliac plexus nach 543. Iliac plexus nach 544. Iliac plexus nach 545. Iliac plexus nach 546. Iliac plexus nach 547. Iliac plexus nach 548. Iliac plexus nach 549. Iliac plexus nach 550. Iliac plexus nach 551. Iliac plexus nach 552. Iliac plexus nach 553. Iliac plexus nach 554. Iliac plexus nach 555. Iliac plexus nach 556. Iliac plexus nach 557. Iliac plexus nach 558. Iliac plexus nach 559. Iliac plexus nach 560. Iliac plexus nach 561. Iliac plexus nach 562. Iliac plexus nach 563. Iliac plexus nach 564. Iliac plexus nach 565. Iliac plexus nach 566. Iliac plexus nach 567. Iliac plexus nach 568. Iliac plexus nach 569. Iliac plexus nach 570. Iliac plexus nach 571. Iliac plexus nach 572. Iliac plexus nach 573. Iliac plexus nach 574. Iliac plexus nach 575. Iliac plexus nach 576. Iliac plexus nach 577. Iliac plexus nach 578. Iliac plexus nach 579. Iliac plexus nach 580. Iliac plexus nach 581. Iliac plexus nach 582. Iliac plexus nach 583. Iliac plexus nach 584. Iliac plexus nach 585. Iliac plexus nach 586. Iliac plexus nach 587. Iliac plexus nach 588. Iliac plexus nach 589. Iliac plexus nach 590. Iliac plexus nach 591. Iliac plexus nach 592. Iliac plexus nach 593. Iliac plexus nach 594. Iliac plexus nach 595. Iliac plexus nach 596. Iliac plexus nach 597. Iliac plexus nach 598. Iliac plexus nach 599. Iliac plexus nach 600. Iliac plexus nach 601. Iliac plexus nach 602. Iliac plexus nach 603. Iliac plexus nach 604. Iliac plexus nach 605. Iliac plexus nach 606. Iliac plexus nach 607. Iliac plexus nach 608. Iliac plexus nach 609. Iliac plexus nach 610. Iliac plexus nach 611. Iliac plexus nach 612. Iliac plexus nach 613. Iliac plexus nach 614. Iliac plexus nach 615. Iliac plexus nach 616. Iliac plexus nach 617. Iliac plexus nach 618. Iliac plexus nach 619. Iliac plexus nach 620. Iliac plexus nach 621. Iliac plexus nach 622. Iliac plexus nach 623. Iliac plexus nach 624. Iliac plexus nach 625. Iliac plexus nach 626. Iliac plexus nach 627. Iliac plexus nach 628. Iliac plexus nach 629. Iliac plexus nach 630. Iliac plexus nach 631. Iliac plexus nach 632. Iliac plexus nach 633. Iliac plexus nach 634. Iliac plexus nach 635. Iliac plexus nach 636. Iliac plexus nach 637. Iliac plexus nach 638. Iliac plexus nach 639. Iliac plexus nach 640. Iliac plexus nach 641. Iliac plexus nach 642. Iliac plexus nach 643. Iliac plexus nach 644. Iliac plexus nach 645. Iliac plexus nach 646. Iliac plexus nach 647. Iliac plexus nach 648. Iliac plexus nach 649. Iliac plexus nach 650. Iliac plexus nach 651. Iliac plexus nach 652. Iliac plexus nach 653. Iliac plexus nach 654. Iliac plexus nach 655. Iliac plexus nach 656. Iliac plexus nach 657. Iliac plexus nach 658. Iliac plexus nach 659. Iliac plexus nach 660. Iliac plexus nach 661. Iliac plexus nach 662. Iliac plexus nach 663. Iliac plexus nach 664. Iliac plexus nach 665. Iliac plexus nach 666. Iliac plexus nach 667. Iliac plexus nach 668. Iliac plexus nach 669. Iliac plexus nach 670. Iliac plexus nach 671. Iliac plexus nach 672. Iliac plexus nach 673. Iliac plexus nach 674. Iliac plexus nach 675. Iliac plexus nach 676. Iliac plexus nach 677. Iliac plexus nach 678. Iliac plexus nach 679. Iliac plexus nach 680. Iliac plexus nach 681. Iliac plexus nach 682. Iliac plexus nach 683. Iliac plexus nach 684. Iliac plexus nach 685. Iliac plexus nach 686. Iliac plexus nach 687. Iliac plexus nach 688. Iliac plexus nach 689. Iliac plexus nach 690. Iliac plexus nach 691. Iliac plexus nach 692. Iliac plexus nach 693. Iliac plexus nach 694. Iliac plexus nach 695. Iliac plexus nach 696. Iliac plexus nach 697. Iliac plexus nach 698. Iliac plexus nach 699. Iliac plexus nach 700. Iliac plexus nach 701. Iliac plexus nach 702. Iliac plexus nach 703. Iliac plexus nach 704. Iliac plexus nach 705. Iliac plexus nach 706. Iliac plexus nach 707. Iliac plexus nach 708. Iliac plexus nach 709. Iliac plexus nach 710. Iliac plexus nach 711. Iliac plexus nach 712. Iliac plexus nach 713. Iliac plexus nach 714. Iliac plexus nach 715. Iliac plexus nach 716. Iliac plexus nach 717. Iliac plexus nach 718. Iliac plexus nach 719. Iliac plexus nach 720. Iliac plexus nach 721. Iliac plexus nach 722. Iliac plexus nach 723. Iliac plexus nach 724. Iliac plexus nach 725. Iliac plexus nach 726. Iliac plexus nach 727. Iliac plexus nach 728. Iliac plexus nach 729. Iliac plexus nach 730. Iliac plexus nach 731. Iliac plexus nach 732. Iliac plexus nach 733. Iliac plexus nach 734. Iliac plexus nach 735. Iliac plexus nach 736. Iliac plexus nach 737. Iliac plexus nach 738. Iliac plexus nach 739. Iliac plexus nach 740. Iliac plexus nach 741. Iliac plexus nach 742. Iliac plexus nach 743. Iliac plexus nach 744. Iliac plexus nach 745. Iliac plexus nach 746. Iliac plexus nach 747. Iliac plexus nach 748. Iliac plexus nach 749. Iliac plexus nach 750. Iliac plexus nach 751. Iliac plexus nach 752. Iliac plexus nach 753. Iliac plexus nach 754. Iliac plexus nach 755. Iliac plexus nach 756. Iliac plexus nach 757. Iliac plexus nach 758. Iliac plexus nach 759. Iliac plexus nach 760. Iliac plexus nach 761. Iliac plexus nach 762. Iliac plexus nach 763. Iliac plexus nach 764. Iliac plexus nach 765. Iliac plexus nach 766. Iliac plexus nach 767. Iliac plexus nach 768. Iliac plexus nach 769. Iliac plexus nach 770. Iliac plexus nach 771. Iliac plexus nach 772. Iliac plexus nach 773. Iliac plexus nach 774. Iliac plexus nach 775. Iliac plexus nach 776. Iliac plexus nach 777. Iliac plexus nach 778. Iliac plexus nach 779. Iliac plexus nach 780. Iliac plexus nach 781. Iliac plexus nach 782. Iliac plexus nach 783. Iliac plexus nach 784. Iliac plexus nach 785. Iliac plexus nach 786. Iliac plexus nach 787. Iliac plexus nach 788. Iliac plexus nach 789. Iliac plexus nach 790. Iliac plexus nach 791. Iliac plexus nach 792. Iliac plexus nach 793. Iliac plexus nach 794. Iliac plexus nach 795. Iliac plexus nach 796. Iliac plexus nach 797. Iliac plexus nach 798. Iliac plexus nach 799. Iliac plexus nach 800. Iliac plexus nach 801. Iliac plexus nach 802. Iliac plexus nach 803. Iliac plexus nach 804. Iliac plexus nach 805. Iliac plexus nach 806. Iliac plexus nach 807. Iliac plexus nach 808. Iliac plexus nach 809. Iliac plexus nach 810. Iliac plexus nach 811. Iliac plexus nach 812. Iliac plexus nach 813. Iliac plexus nach 814. Iliac plexus nach 815. Iliac plexus nach 816. Iliac plexus nach 817. Iliac plexus nach 818. Iliac plexus nach 819. Iliac plexus nach 820. Iliac plexus nach 821. Iliac plexus nach 822. Iliac plexus nach 823. Iliac plexus nach 824. Iliac plexus nach 825. Iliac plexus nach 826. Iliac plexus nach 827. Iliac plexus nach 828. Iliac plexus nach 829. Iliac plexus nach 830. Iliac plexus nach 831. Iliac plexus nach 832. Iliac plexus nach 833. Iliac plexus nach 834. Iliac plexus nach 835. Iliac plexus nach 836. Iliac plexus nach 837. Iliac plexus nach 838. Iliac plexus nach 839. Iliac plexus nach 840. Iliac plexus nach 841. Iliac plexus nach 842. Iliac plexus nach 843. Iliac plexus nach 844. Iliac plexus nach 845. Iliac plexus nach 846. Iliac plexus nach 847. Iliac plexus nach 848. Iliac plexus nach 849. Iliac plexus nach 850. Iliac plexus nach 851. Iliac plexus nach 852. Iliac plexus nach 853. Iliac plexus nach 854. Iliac plexus nach 855. Iliac plexus nach 856. Iliac plexus nach 857. Iliac plexus nach 858. Iliac plexus nach 859. Iliac plexus nach 860. Iliac plexus nach 861. Iliac plexus nach 862. Iliac plexus nach 863. Iliac plexus nach 864. Iliac plexus nach 865. Iliac plexus nach 866. Iliac plexus nach 867. Iliac plexus nach 868. Iliac plexus nach 869. Iliac plexus nach 870. Iliac plexus nach 871. Iliac plexus nach 872. Iliac plexus nach 873. Iliac plexus nach

TAFEL XX.

Um die Verhältnisse der Beckenorgane zur Ansicht zu bringen, wurde der letzte Querschnitt des Rumpfes hart oberhalb der *Symphysis ossium pubis* angelegt und nach dem unteren Ende des Kreuzbeins durch den Leichnam hindurchgeführt. Auf diesem Wege schnitt die Säge die Inguinalgegend, die äussere Schenkelmuskulatur und die Schenkelköpfe nahe ihrer Mitte ausserhalb des Beckens, innerhalb desselben Blase, Mastdarm und eine im Douglas'schen Raume liegende Dünndarmschlinge. Die Sitzbeine wurden in der *Spina ischia* getroffen, so dass der Schnitt dem *Ligamentum spinosum-sacrum* ziemlich genau folgte.

Das vorliegende Bild zeigt uns also zwei Partien: in der Mitte, eingeschlossen von den Beckenknochen, *M. obturator internus* und dem *Levator ani*, den untersten Abschnitt der Abdominalhöhle; seitlich davon die Gelenkapparate der Oberschenkel mit den dazu gehörigen Muskelmassen und den grossen Gefässen.

Betrachten wir zunächst das Mittelstück, begrenzt durch Schambeine, Sitzbeine, *Levator ani*, *Ligamentum spinosum-sacrum* und letzten Kreuzbeinwirbel. Die Harnblase, welche etwa 100 Gramm geforenen Urin, daneben aber keine Spur Luft enthielt, zeigte sich fest um ihren Inhalt zusammengezogen, so dass ihre Form nicht durch den Druck der Nachbarorgane bedingt war, wie dies bei zahlreichen *Pirogoff'schen* Abbildungen sich vorfindet, bei denen die obere Blasenwand vielfach eingebogen und zusammengefallen erscheint. Das Cadaver war eben ganz frisch von mir zum Gefrieren gebracht worden, nicht erst nachdem durch die Fäulnis sich Gase gebildet hatten, welche die Formen der Höhlungen veränderten. Die Eismasse wurde vorsichtig herausgelöst und die Wandungen noch im erstarrten Zustande abgezeichnet. Man erkennt deutlich das *Orificium urethrae internum* inmitten eines Kranzes von Schleimhautfaltungen. Weiter nach vorn hebt sich die vordere Blasenwand aus der Tiefe heraus und bildet beim Überschreiten der Schambeinsymphyse eine flache Convexität nach innen. Dieser Buckel ist durch die lichte Stelle in der Zeichnung wiedergegeben worden, auf welche gerade die Harnblase bezeichnender Strich hinführt. Die Dicke der Blasenwandungen selbst war dem geringen Grade ihrer Anfüllung entsprechend nicht unbedeutend. Die scheinbar kolossale Stärke der hinteren Wand entspricht aber nicht dem wirklichen Querschnitt. Gerade an dieser Stelle war die Wand sehr schräg getroffen worden. Um die Lage und Form der Blase mit dem auf Tafel I. gegebenen Durchschnitt vergleichen zu können, ward der Eisklumpen sorgfältig herausgenommen und im Profil abgezeichnet. Es liess sich dies um so leichter ausführen, da mit der vorhergehenden Scheibe nur ein Stück der oberen Blasenwand entfernt worden war mit einem sehr kleinen und flachen Abschnitt des Inhaltes. Beim Vergleichen dieser Zeichnung mit dem auf Tafel I. befindlichen Sagittalschnitt, zeigte sich eine grosse Uebereinstimmung der Form. Nur darin differirten beide, dass in Tafel I. der Staud des *Orificium urethrae internum* ein etwas höherer war als der hier vorliegende. Auf jeden Fall aber ist eben damit die Form und Lage der Blase bei jugendlichen und kräftigen Männern bestimmt, wie man sich auch durch Talgtaugnisse überzeugen kann, mag man nun dieselben durch den Ureter oder durch die *Urethra* ausführen. Sicher ist wenigstens die von *Kohlrausch* abgebildete Kugelform nicht eine den natürlichen Verhältnissen entsprechende. Von einem Blasen-halse, als von einer trichterförmigen Verjüngung der Blase nach der Harnröhre zu, ist auch hier keine Rede.

Für die weitere Ausdehnung der Blase ist, wie auch die Abbildung lehrt, genügend Platz vorhanden. Das fettreiche Bindegewebe zu beiden Seiten kam gut ausweichen, ebenso wie die Dünndarmschlingen mit dem *Peritonaeum* leicht von der anschwellenden Blase erhoben und verschoben werden. Ferner wird Raum geschafft durch Abplattung des *Rectum*, sowie durch Entleerung der grossen Venenplexus, bis schliesslich die Blase die Beckenhöhle fast allein ausfüllt. Mit diesen Volumsveränderungen ändern sich auch die Verhältnisse des Bauchfells zur Blase. Schon bei dem geringen Grade der Anfüllung, wie er hier vorliegt, war nur die obere Wand und ein kleiner Theil der Rückseite vom Bauchfelle überzogen, so dass bereits ein Zugang auch oberhalb der *Symphysis ossium pubis*, wenn gleich ein schmaler, vorhanden war. Es liegt auf der Hand, dass dieser Zugang unterhalb des Bauchfells mit der zunehmenden Füllung und Erhebung der Blase

an Breite gewinnen muss. Im Text zu Tafel I. ist ausführlich besprochen worden, welchen Werth die Ausdehnung des *Rectum* in dieser Beziehung hat. Ein in das *Rectum* eingebrachter Colpeuryter hebt bei seiner Füllung bis zur Grösse einer Mannesfaust Blase und *Peritonaeum* weit über die *Symphysis* empor und macht sie dem hohen Steinschnitt sehr gut zugänglich. Geräumiger ist der Zugang an den vom *Peritonaeum* freien Stellen von dem *Perinaeum* aus. Man braucht sich nur die Spitze des Messers im *Orificium urethrae* heraufsteigend zu denken, um die Möglichkeit grosser Blasenentzünfte nach vorn, den Seiten und hinten hin verstehen zu können.

Hinter der Blase liegt ein flacher Abschnitt des Bauchfellsackes mit einigen durch den Schnitt halbirten Schlingen des *Ileum*. Dahinter die Douglas'sche Falte, und ferner die bekannte Ausbuchtung des Bauchfells, der sogenannte Douglas'sche Raum. Derselbe zog sich in schräger Richtung nach vorn und unten, und besserte eine Tiefe von 1½ Centimeter. Er enthielt etwa 20 Gramm geforener Flüssigkeit, eine so geringe Quantität, dass schon hieraus der frische Zustand des Cadavers erkannt werden konnte.

Die Samenbläschen welche unmittelbar am Schnittrande lagen, wurden durch Wegnahme von etwas umgebenden Bindegewebe noch völlig freigelegt. Medianwärts von ihnen liegen unter scharfer Krümmung die *Vasa deferentia* nach vorn und oben zu ab, bis sie mit freier langer Schnittfläche endigen. Man erkennt ihr feines Lumen und die Stärke ihrer Wandung. An ihrem vorderen Ende etwas nach auswärts markieren sich die weiss gehaltenen Querschnitte der Uretren.

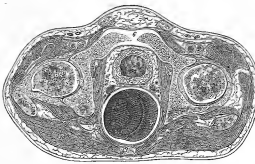


Fig. 1. Querschnitt durch das Becken eines 15-jährigen Knaben.

Pirogoff, Fasc. III, Tab. 16, Fig. 1.

1. L. Grossschenkelfuge. 2. G. Grosser Trochanter. 3. Beckenring. 4. Mittlere, stark nach Luft ausgefüllte. 5. Harnblase. 6. Oberer Theil der Harnröhre. 7. Samenbläschen. 8. H. Grosse Schenkelfuge. 9. H. G. Oberer Trochanter. 10. H. G. Mittlere Schenkelfuge.

Der Mastdarm, der durch wenig Koth angefüllt war, ward kurz vor seiner letzten Endkrümmung getroffen. An ihm liess sich ganz nachmassen, dass die Entfernung bis zur Auföffnung reichlich 9½ Centimeter betrug. Vergleicht man hiermit das Verhältniss des Bauchfells, welches bereits von der vorderen Fläche des Mastdarmes sich gänzlich entfernt hat, und unter Bildung des Douglas'schen Raumes noch 1½ Centimeter herabsteigt, so ergibt sich, dass dasselbe von der Auföffnung reichlich 7½ Centimeter entfernt war, dass man also in dieser Höhe an Mastdarm Operationen hätte unternehmen können, ohne eine Verletzung des Bauchfellsackes befürchten zu müssen. Es stimmt dieses Verhältniss mit dem auf Tafel I. völlig überein. Jedoch ist auch hier zu bemerken, wie sehr die Verhältniss mit der Füllung des *Rectum* wechselt. Mit der Füllung wird der vom *Peritonaeum* freie Theil länger, mit der Entleerung steigt das Bauchfell herab.

Für den Mastdarm tritt in ähnlicher Weise sowie für die Blase die Frage auf, welche Veränderung des Bildes durch die verschiedenen Volumsveränderungen zu Stande kommen würde. Und zwar kann es sich auch hier um Volumenschiede bedeutender Grössen handeln, wie die Erfahrung lehrt und auch das Experiment der Injectionen am Cadaver zeigt. Der Raum der hierbei erforderlich ist, wird in ähnlicher Weise geschafft wie bei der Blase. Das Bindegewebe und das Fett werden verdrängt, der Douglas'sche Raum mit den Därmen gehoben und bei sehr starker Anfüllung des Mastdarmes auch die Blase nach vorn und oben gedrückt. Obige Abbildung aus *Pirogoff's Atlas*, Fig. 1, ist in dieser Beziehung besonders instructiv.

Es ist wenig zur Erläuterung hinzuzufügen. Die grosse Aehnlichkeit der einzelnen Formen mit meiner Abbildung wird das Verständnis wesentlich erleichtern. Ueber die Hälfte der Beckenhöhle wird von dem stark ausgehenden Mastdarm ausgefüllt. Letzterer ist zwei Zoll über dem *Aus* durchgeschnitten und vorher durch Luft gewaltsam ausgehöhlt worden. Die halbmondförmige Falte ist auch bei dieser Ausdehnung nicht ausgeglichen worden, sondern springt von der rechten Seite aus deutlich in die Höhle sichelähnlich vor.

Beachtenswerth ist die Begrenzung des Beckenraumes. Der Schnitt geht durch die *Spina ischii* und theilweise durch das *Ligamentum spinoso-sacrum*, verläuft also zwischen dem *Foramen ischiadicum majus* und *minus*. Dem entsprechend ragt vom Körper des Sitzbeines beiderseits ein Knochenzacken ziemlich weit nach hinten vor und an denselben schliesst sich in der ganzen Länge das *Ligamentum spinoso-sacrum* an bis zum Kreuzbeinverlauf. Rechts ist dieses Band nur eine Strecke weit vom Kreuzbein an zu verfolgen und reicht nicht bis zur Spitze des Sitzbeines wie links. Da das *Ligamentum spinoso-sacrum* eine horizontale Richtung hat, das *Ligamentum tuberoso-sacrum* in mehr vertikaler Richtung aufsteigt, so ist auch von letzterem nur ein kleines Stück zu sehen. Man findet es am Kreuzbein nach dem Rande des *Gluteus* hin, wo es dann vom anderen Bande abweichend sich in die Tiefe verliert. Zwischen beiden Bändern liegen links die *Vasa pudenda* mit dem zugehörigen Nerven; rechts sind dieselben bereits weiter davon entfernt, und in der Nähe der *Spina ischii* zu suchen.

Beiderseits nach innen zu vom *Lig. spinoso-sacrum* markirt sich ein dunkler Streifen, der theils nach der *Spina ischii* sich hinzieht, theils mit der Fascie des *M. obturator internus* in Verbindung steht. Es ist dies der an den *Levator ani* anschliessende *M. coccygeus*. — Alle Schnitte, die noch weiter nach abwärts die Blase schneiden, müssen sein in den Bereich dieses Muskels fallen und denselben als einen die Beckenorgane begrenzenden muskulösen Ring zur Ansicht bringen. Einen solchen tiefer angelegten Querschnitt zeigt die hier folgende Figur.

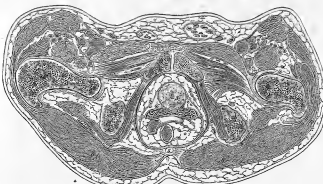


Fig. 2. Querschnitt durch den untersten Theil der Beckenhöhle. Cadaver eines älteren Mannes.

1. 1. Oberschenkelköpfe. 2. Mastdarm. 3. Harnblase. 4. 4. Schenkelgefässe. 5. Steissdarm. 6. 6. Grosse Glutendarmblase.

Figur 2 stellt einen Querschnitt vor, den ich durch das Becken eines älteren Mannes anlegte. Er schnitt die Symphyse, ging links durch das *Foramen ischiadicum minus*, rechts noch etwas darunter durch den Steissknorren; hinten verlief er in der Höhe der Steissbeinspitze. Man erkennt sofort die durch den *Levator ani* umgrenzte Beckenhöhle, welche hinten Mastdarm, eine Dünndarmschlinge, Samenbläschen und den Anfangstheil der Blase mit der Harnröhre enthält.

Da hier beträchtlich tiefer geschnitten wurde, so sieht man auch links den *Gemellus inferior* in völliger Zusammenziehung mit dem winkligen *Obturator internus* verlaufen. Trotzdem ist noch Douglas'scher Raum mit Bauchfell vorhanden. Es ergibt sich hieraus, dass der Stand des Bauchfelles eines tieferen war, als bei den jugendlichen Cadavern in vorliegender Tafel und Tafel I. Nimmt man dazu, dass bei neugeborenen Kindern ein besonders hoher Stand des Bauchfells zum Becken vorhanden ist, so wird sich dieses Verhältniss als ein normales, dem Alter entsprechendes, bezeichnen lassen, und daraus die Regel ergeben, verfahren, um nicht das hier tiefer hinreichende Bauchfell zu treffen.

Fig. 3 ist aus dem Atlas von *Proffoy* entnommen und verkleinert wiedergegeben worden. Nach *Proffoy's* Angaben (*Text, Fasc. III, p. 58*) war der Cadaver eines erwachsenen Mannes durch Frost getödtet worden, den ein gefüllte Harnblase und gefüllter Mastdarm vorlagen. Der Schnitt ging durch den unteren Theil der Symphyse, 7 Linien unterhalb des oberen Randes derselben, durch das *Foramen ovale*, die

Tuberosität des Sitzbeines, nahe an der *Incisura ischiadica minor* und der Insertion des *Ligamentum tuberoso-sacrum*, und trat in der Höhe der Schwanzbeinspitze hinten aus. Es ward die untere Fläche des Schnittes abgebildet, so dass man wie bei der Tafel von oben nach abwärts in den Körper hineinsieht.

Ueber den *Levator ani* selbst können natürlich solche Durchschnitte keine klare Anschauung geben, da nur ein geringer Theil seiner Fasern getroffen wird. Man wird ihn also nicht auf Grund solcher Abbildungen hin, als Zusammenschneider der unteren Beckeneingeweide auffassen dürfen.

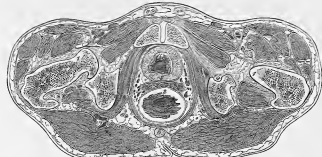


Fig. 3. Durchschnitt durch den untersten Theil des Beckens eines erwachsenen Mannes mit gefülltem Mastdarm. *Proffoy* III. Bd. S. 5.

1. 1. Oberschenkelköpfe. 2. Mastdarm. 3. Harnblase. 4. 4. Schenkelgefässe. 5. Steissdarm. 6. 6. Grosse Glutendarmblase.

Vergleicht man diesen Durchschnitt, der in gleicher Höhe wie der bei Fig. 2 genommen ist, so sieht man in welcher Weise der Raum für den gefüllten Mastdarm gewonnen wurde. Man erkennt aber auch deutlich, dass zugleich mit der Mastdarmaufüllung eine Erhebung des Douglas'schen Raumes und der untersten Dünndarmschlingen verbunden war; denn von all diesen Theilen ist auf dem Schnitt nichts mehr vorhanden. Zwischen Blase und Mastdarm zeigen sich nur die Schnitte der Samenbläschen, die also mit dem erhobenen Blasenrande auch weiter hinauf über die Schnittfläche getreten sind.

Ausserhalb der Beckenhöhle hat man beiderseits die im Halse geschnittenen Oberschenkelknochen mit den Gelenkbinden; und daneben die Muskelgruppen mit den grossen Gefässen. Da die Köpfe nur nach innen und oben eine Kugelform zeigen, so wird jeder Transversalschnitt der in der Nähe ihrer Mitte durchgeht, auch ein Stück des Halses mit treffen, und daher je weiter nach abwärts auch umso mehr von der Kugelform abweichende Formen hervorbringen. Nur der innere Contour wird noch einen Kreisabschnitt darstellen, nämlich da, wo das *Ligamentum teres* aus der Tiefe heraussteigt und sich in die Grube am Kopfe selbst inserirt. Weiter hinauf zeigen sich die Gelenkhöhle besser.

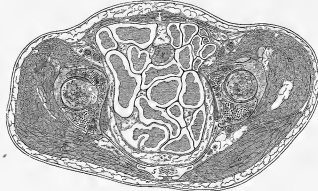


Fig. 4. Querschnitt durch das Becken eines älteren Mannes in der Höhe des *Ligamentum spinoso-sacrum*.

1. 1. Oberschenkelköpfe. 2. Mastdarm. 3. Harnblase. 4. 4. Schenkelgefässe. 5. Fächer des Kienblutes. 6. 6. Grosse Glutendarmblase.

Fig. 4 stammt von der Reihe von Durchschnitten, die an dem Körper eines älteren Mannes von mir ausgeführt wurden. Der Schnitt ist zwar etwas höher geführt als der auf der Tafel abgebildete, ist aber deshalb gut vergleichbar, weil er die ganze Länge des *Ligamentum spinoso-sacrum* traf.

Man erkennt die Köpfe des Oberschenkelknochen in ihren Pfannen nahezu halbiert. Von der *Symphysis ossium pubis*, die in Folge der stärkeren Beckenverengung beträchtlich tiefer lag, ist noch nichts zu sehen. Dagegen zeigt sich sehr gut das Verhältniss des Samenstranges zu den grossen Schenkelgefässen. Entsprechend der schon erwähnten tieferen Lage der Eingeweide bei älteren Leuten hat man hier eine Menge von Darmanschlingen vor sich, da wo auf der Tafel nur noch ein flacher Abschnitt vom *Necum* vorhanden war.

TAFEL XXI.

Es erschien mir wünschenswerth, der Reihe von Querschnitten noch einen Frontaldurchschnitt des Beckens hinzuzufügen und zwar einen solchen, der die Verhältnisse der Hüftgelenke möglichst gut zur Anschauung bräute. Nach mehrfachen Versuchen überzeugte ich mich, dass dazu eine bestimmte Haltung der Beine notwendig sei, da bei der Rückenlage des Cadavers die Beine gewöhnlich so nach auswärtig gerollt sind, dass die oberen Theile beider Oberschenkel, nämlich Kopf, Hals und Schaft nicht in der frontalen Ebene des Körpers liegen und auch keine gemeinsame Ebene mit einander bilden. Nur dann, wenn man die Schenkel so weit nach einwärts rollt, dass die medialen Ränder beider Füsse sich in ihrer ganzen Länge berühren, liegen beide Oberschenkelknochen mit Schaft, Hals und Kopf in einer gemeinsamen Frontalebene.

Ich band daher die Füße des frischen Cadavers eines muskulkraftigen 35jährigen Handarbeiters, der seinem Leben durch Erhängen ein Ende gemacht hatte, vor dem Frieren fest an einander und führte nach dem völligen Erstarren des Körpers den Frontaldurchschnitt aus, welcher der vorliegenden Abbildung zu Grunde liegt.

Der Schnitt durch das Becken und die Hüftgelenke gelang in befriedigender Weise; die Symmetrie beider Seiten ist nahezu eine vollkommene zu nennen. Nur der Schaft des rechten Oberschenkelknochen ist nicht in seiner gesammten Länge getroffen worden; der grosse Trochanter nur zum Theile sichtbar, der Anfang der Diaphyse darunter noch stellenweise von Weichtheilen bedeckt. Kopf und Hals der Oberschenkel dagegen wurden ziemlich genau halirt. Am Becken ging der Schnitt durch die Mitte der Pfannen und verlief durch die Länge des *Ligamentum teres* auf beiden Seiten. Ausserdem ging er durch das *Foramen obturatorium* und die Darmblase. Das *Promontorium* und die Sitzknorren blieben unberührt in der hinteren Hälfte des Präparates liegen. Man sieht somit von vorn nach hinten in die Beckenhöhle hinein und hat also zur linken Hand die rechte Seite des Cadavers, zur rechten Hand die linke.

Die Abbildung zeigt das untere Ende der Abdominalhöhle, begrenzt oben durch die Durchschnitte der drei platten Bauchmuskeln, weiter nach abwärts durch den nach innen zu ziemlich stark vorspringenden Wall des *Iliopsoas*, der lateralwärts von seiner centralen Sehne den *Nervus cruralis* in sich birgt.

Zwischen diesen muskulösen Wandungen liegen die Därme, und reichen bis zur Harnblase herab, deren vorderes Ende so getroffen worden ist, dass die Höhlung gerade noch eröffnet wurde. An den Darmdurchschnitten, die oben mehr dem *Jejunum*, unten mehr dem *Ileum* angehören, wie man leicht aus der Beschaffenheit der Schleimhaut erkennen kann, ist ersichtlich, dass die Darmschlingen vielfach ihrer Länge nach getroffen wurden. Man hat viel weniger einfache Querschnitte vor sich als dies bei den vorhergehenden Abbildungen des Rumpfes der Fall war. Es müssen somit die Darmschlingen eine mehr der Längsachse des Körpers parallele Richtung verfolgt haben.

Von den einzelnen Darmtheilen erkennt man am oberen Rande des rechten *Psoas* den querschnittlichen *Processus vermiformis*, an der medialen Seite der linken *Vena ilioaca* den Querschnitt des Mastdarmes. Letzterer wurde nach Vollendung der Zeichnung noch im erstarrten Zustande in Beziehung auf seinen Verlauf besonders untersucht. Er stieg hinter dem Douglas'schen Raume in der linken Körperhälfte nahe an der Mittellinie in die Höhe, bog dann am linken *Psoas* scharf nach vorn ab, so dass er in die Schnittebene fiel, und zog sich dann unter Bildung eines grossen nach vorn gerichteten Bogens etwas in die rechte Körperhälfte hinüber, um sich dann nach links und hinten an das *Colon descendens* anzuschliessen, welches mit seiner Schnittefläche oben an den linken platten Bauchmuskeln zu erkennen ist. Er zeigte somit in seinem unteren Theile eine Abweichung von dem gewöhnlichen Verlaufe, wie er auch im Atlas von *Pirogoff*, *Fasc. III. B.*

Tab. XV. Fig. 1 abgebildet ist; stimmt also auch nicht vollständig mit den Verhältnissen auf Tafel I und II überein.

Man kann sich durch Abgüsse mit erstarrenden Massen leicht davon überzeugen, dass in einzelnen nicht gar zu seltenen Fällen die S-förmige Krümmung des *Rectum* in frontaler Richtung am Kreuzbeine nicht scharf ausgeprägt ist; Varietäten, die durch die verschiedene Länge des *Mesorectum* bedingt sind. Ist letzteres stark ausgebildet und weit hinreichend, so ist die Lage des *Rectum* dadurch freier und von dem Zustand der Nachbarorgane abhängig. Kürze und Straffheit dieses *Mesenterium* bedingen eine festere und constanter Lage des Darmes.

Ebenso ist der Einfluss seiner Anfüllung und Festigkeit seiner Wandungen hierbei im Auge zu behalten. Starke Kothanhäufungen und grosse Schaffheit seiner Wände vermögen die ursprünglichen Krümmungen beträchtlich auszugleichen.

Es lässt sich durch Versuche nachweisen, wie es auch die klinischen Beobachtungen am Krankenbette ergeben, dass man im Stande ist, mit voluminösen und langen Instrumenten die Krümmungen des Mastdarmes so weit auszugleichen, um sogar bis in die *Fleura iliaca* hinauf zu gelangen. Man kann auch nur auf diese Weise fremde Körper, die von aussen hineingeschlüpft sind und sich in den Krümmungen festgeklebt haben, mit der Zange fassen und glücklich herausziehen.

Die Harnblase enthält nur wenig Urin und war fest um ihren Inhalt zusammengezogen. Sie liegt nur durch wenig Fett getrennt über den Querschnitt des *Leator ani*. An beiden Seiten des letzteren schliessen sich die Durchschnitte des *Obturator internus* an, der seine Begrenzung nach abwärts durch die *Membrana obturatoria*, seitlich durch die Beckenknochen erhält. Verfolgt man den Raum zwischen Därmen und Becken beiderseits von der Blase nach aufwärts, geht man also unter dem Bauchfelle in die Höhe, so kommt man zunächst auf zwei ovale weissgehaltene Querschnitte, welche die *Ligamenta lateralia vesicae* darstellen. Sie liegen von der Blase weit entfernt, weil dieselbe klein und contrahirt war. Eine angefüllte Blase würde sie an ihrer oberen Fläche tragen und zugleich den ganzen Raum in der unteren Beckenapertur einnehmen, wie verschiedene Abbildungen von *Pirogoff* zeigen.

Weiter nach aufwärts in dem gleichen Raume zwischen Bauchfell und Becken liegt das querschnittliche *Vas deferens* und darüber die *Vena obturatoria*, *Nervus obturatorius* und eine kleine Arterie. Die Hauptarterie zum *Foramen obturatorium* ging von der *A. epigastrica* ab.

Endlich gelangt man auf dem begangenen Wege zur *Vena* und *Arteria ilioaca*. Beide Gefässe biegen an der inneren Wand des *Psoas*, wie es auch die vorhergehenden Querschnitte des Rumpfes zeigen, aber



Fig. 1. Frontalschnitt eines mit Talg injicirten gefrorenen Hüftgelenks. $\frac{1}{2}$.

1. Oberschenkelkopf. 2. Schaft des *Sc. ossis*. 3. *Sc. obturator internus*. 4. *Sc. pubis*. 5. Seiten des *Aligamentum*. 6. *Sc. gluteus maximus*.

TAFEL XXII.

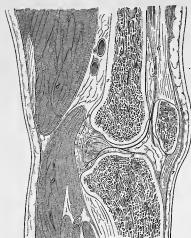
Figur I.

Um die Formen der Kniegelenkhöhle und die Ausbuchtungen der Kapsel recht anschaulich zu machen, spritzte ich unter starkem Drucke durch eine Pravaz'sche Hohlzahnadel Wasser in das Gelenk ein und liess dann erst die Extremität, der ich im Knie eine leichte Beugstellung gegeben hatte, frieren. Sie gehörte zu einem normalen, jugendlichen weiblichen Körper, der seines frischen und normalen Zustandes wegen sich für die Durchschnitte besser eignete als die übrigen gerade vorhandenen männlichen Cadaver. Der Schnitt verlief ziemlich genau in der Mitte und theilte die Extremität somit in zwei nahezu gleiche Theile, von denen der rechte zur Abbildung benutzt wurde, nachdem das gefrorene Wasser aus der Gelenkhöhle herausgenommen worden war.

Während bei dem normalen Gelenke die Patella den Oberschenkelknochen nur mit einem kleinen Theile ihrer Knorpelfläche berührt, ist die Berührung bei dem angefüllten Kniegelenke vollständig aufgehoben. Die Patella schwebt, getragen von der Flüssigkeit, wie ein Bret auf dem Wasser, und muss deshalb bei der Untersuchung dem drückenden

Finger so lange nachgeben, bis sie den dahinterliegenden Oberschenkelknochen erreicht.

Die Geräumigkeit der Gelenkhöhle ist gut ersichtlich. Während auf dem Holzschnitte, der ein normales Knie im Medianschnitte wiedergibt, der Schleimbeutel des Streckmuskels wie getrennt davon erscheint, weil die breite Communicationsöffnung, die ihn mit der oberen Ausbuchtung der Kapsel verbindet, nicht durch den Schnitt getroffen wurde, ist bei dem injicirten Gelenke auf der Tafel XXII nichts von einer solchen Trennung zu sehen. Die eingetriebene Flüssigkeit ist in alle Theile und Buchten



Längsdurchschnitt durch das gefrorene Kniegelenk eines erwachsenen kräftigen Mannes. $\frac{1}{2}$.

1. Femur. 2. Tibia. 3. Patella. 4. Lig. cruc. post. distans. 5. Bursa synov. 6. M. vastus medialis. 7. Lig. patellae. 8. M. vastus lateralis. 9. M. gastrocnemius.

der Gelenkhöhle gelangt, und hat selbst die hintere Kapsel so weit abgehoben, dass die Rückfläche des lateralen Condylus femoris sichtbar geworden ist. Das Ligamentum mucosum patellae und das Ligamentum cruciatum anticum fielen gerade in die Schnittfläche.

Es ist bekannt, dass Bonnet der erste war, welcher Injektionsversuche an Gelenken anstellte, und durch dieselben nachwies, welche Stellung des Gelenkes der grössten Geräumigkeit der Synovialhöhle entspricht. Es zeigte sich, dass es bei allen Gelenken die Beugstellung war, die die grösste Flüssigkeitsmenge in die Gelenkhöhle eintreten liess, und dass bei starkem Injektionsdrucke alle Gelenke, mochten sie nun vorher irgend welche andere Stellung innegehabt haben, die Beugstellung einnahmen und in derselben beharrten, so lange der Druck anhält. Der Gedanke lag nun nahe, dass auch bei den Erkrankungen der Gelenke, die mit Flüssigkeitserguss in die Synovialhöhle verbunden sind, die Beugstellung, welche die Kranken dem Gelenke unwillkürlich dabei zu geben pflegen, durch den Druck der Flüssigkeit direkt hervorgerufen werde.

Wenn eine solche Auffassung sprechen aber bei dem Kniegelenke mehrere Momente, die sich gerade durch die Betrachtung vorliegender Abbildung gut erläutern lassen. Die Geräumigkeit der Gelenkhöhle hängt grösstentheils mit davon ab, dass die in die Strecksehne eingewinkelte Kniechse von der Condylenfläche sich entfernen lässt. Dies ist aber nur dann in weiter Ausdehnung möglich, wenn die Strecksehne erschlafft ist, also im Zustande der Streckung oder der nur schwachen Beugung des Gelenkes. Bei jedem höheren Grade von Beugung muss durch die dadurch bedingte Spannung des M. quadriceps die Kniechse

gegen die Condylen angedrückt werden, dadurch also eine Einschränkung des Kapselraumes entstehen. Man wird deshalb am Kniegelenke zu erwarten haben, dass in Folge der Ausbreitung des Synovialraumes weit unter die Strecksehne hinauf, auch bei der gestreckten Lage, sich ziemlich grosse Mengen Flüssigkeiten injiciren lassen, und die höheren Beuggrade geradezu ungünstig auf eine solche Injektion einwirken müssen. Es erschien mir daher angezeigt, eine Wiederholung der Bonnet'schen Versuche am Kniegelenk vorzunehmen; und zwar an ganzen Cadavern, mit möglichster Schonung der Theile am Kniegelenk. Die Methode, welche ich hierbei anwendete, war folgende:

Der normale, möglichst frische Leichnam wurde nach gewaltsamer Lösung der Todtenstarre der unteren Extremitäten mit dem Rücken auf einen horizontal stehenden Tisch gelegt; der Unterschenkel hing über den freien Tischrand herab und wurde während des Versuches von einem Gehülfen durch Unterstützung der Ferse in der nöthigen Lage fixirt. In die Tibia wurde an deren oberem Drittel eine Schraube eingetrieben, an deren freiem Ende eine Holzplatte befestigt war, die zum Festhalten einer Scheibe diente, welche einen mit Gradtheilung versehenen Halbkreis darstellte; diese Scheibe wurde in der Weise gestellt, dass ein im Mittelpunkte des Kreises befestigtes Senkblei bei vollständiger Streckung des Beines auf dem Nullpunkt stand, so dass man sofort die Grade der Beugung direct ablesen konnte. Auf die Rotation des Unterschenkels bei der Beugung wurde dabei keine Rücksicht genommen. Zur Injektion wurde, eine entsprechende Kochsalzlösung benutzt, die sich in einer 150 Centimeter langen, graduirten Röhre befand, an deren unterem Ende ein kurzer Kautschukschlauch, welcher eine starke Pravaz'sche Nadel trug, befestigt war. Die Röhre wurde in schräger Lage auf einen auf dem Tisch verschiebbaren gabelförmigen Halter so gelegt, dass die Höhenunterschied der Einstichpunktes und des Niveaus der Flüssigkeit abgehende senkrechte Linie immer dieselbe blieb, was durch das Schieben des Halters unter den jedesmaligen Stand des Meniscus erreicht wurde. Dadurch ward also der Druck, den die gleichbleibende Höhe des Halters angab, constant erhalten. Es bildete somit der Apparat ein rechtwinkliges Dreieck, dessen Hypotenuse durch die schräg liegende Röhre, dessen eine Kathete durch ein Stük des Halters, dessen andere Kathete durch eine horizontale Linie gebildet wurde, welche parallel der Tischplatte lief und vom Einstichspunkt bis zum Halter reichte. Da der Einstichspunkt möglichst nahe der Drehaxe gelegt ward, so blieb derselbe bei den Beugungen des Knies nahezu unverändert und man konnte nun bequem bei dem wechselnden Wasserspiegel in der Röhre nach Kubikcentimetern die Verringerung oder Vermehrung der Flüssigkeit in der Röhre ablesen. Der Halter musste natürlich um stets unter dem Meniscus der Flüssigkeit zu stehen, hin- und hergeschoben werden bei den verschiedenen Beugstellungen, während der Nullpunkt der Glasröhre in unveränderter Lage zum Einstichspunkt gehalten wurde. Während also die Kathete des Dreiecks, die den Druck angab, immer dieselbe blieb, änderte sich die Länge der Hypotenuse und die Länge der anderen Kathete, sie wurden grösser bei Verminderung des Volumens des Synovialraumes, kleiner im umgekehrten Falle.

Durch diese Untersuchungsmethode war es möglich, was die Bonnet'schen Versuche nicht leisten konnten, folgende Punkte genau zu bestimmen. Zunächst konnte man die Abhängigkeit der Capacität des Synovialraumes von der Winkelstellung des Beines erforschen, da der Druck der Flüssigkeit auf die Kapselwandungen immer ein und derselbe blieb, und diese bei der Intactheit des Leiche und der Extremität ihr ursprüngliches Verhältnis in Bezug auf die Bedeckungen mit Haut, Fett, Muskeln u. s. w. darboten. Sodann konnte der Grad der Beugung, bei welchem die Synovialhöhle das Maximum ihrer Capacität erreicht und der von Bonnet als Mittelweg zwischen Beugung und Streckung bezeichnet wird, genau angegeben werden. Endlich konnte man das Volumen des Synovialraumes bei den verschiedenen Stellungen des Beines nach Kubikcentimetern messen.

Die folgenden Zahlen, welche die Winkelgrade der jedesmaligen Beugung angeben, sind nach der obigen Beschreibung leicht zu verstehen: 0° entspricht der vollständigen Streckung des Beines, 10° der

Beugung um diese Zahl von Graden, sodass nun der Oberschenkel mit dem Unterschenkel einen Winkel von 170° bildet n. s. v. Die Volumzahlen geben die je demalige Flüssigkeitsmenge in der Kapsel nach Kubikcentimetern an; die Zahlen des Druckes den Höhenunterschied der besprochenen Punkte.

I. Versuch. Leichnam eines etwa 50jährigen Mannes, der noch ziemlich frisch war. Muskulatur und Ernährungszustand verhältnismässig gut. Die Todtenstarre des Schenkels wurde gewaltsam geloben. Der Druck der Injectionsflüssigkeit betrug 19 Ctm.

Winkel $0^\circ, 10^\circ, 20^\circ, 30^\circ, 40^\circ, 50^\circ, 60^\circ, 70^\circ, 80^\circ, 90^\circ, 100^\circ$
 Volumen 312, 338, 532, 531, 536, 524, 516, 503, 283, 265, 255

Nachherige Controlversuche ergaben ganz geringe Differenzen, so dass die Diffusion der Flüssigkeit durch die Kapsel minimal war.

II. Versuch. Cadaver noch ganz frisch. Keine Todtenstarre. Der Leichnam war der eines abgemergerten Zuchtstutträflings. Der Druck betrug 23 Ctm.

Winkel $0^\circ, 10^\circ, 20^\circ, 30^\circ, 40^\circ, 50^\circ, 60^\circ, 70^\circ, 80^\circ, 90^\circ, 100^\circ, 110^\circ$
 Volumen 114, 129, 137, 141, 141, 140, 135, 125, 112, 95, 86, 73

III. Versuch. Dasselbe Cadaver wie bei dem vorigen Versuch, aber das andere Knie. Der Druck betrug 34 Ctm.

Winkel $0^\circ, 10^\circ, 20^\circ, 30^\circ, 40^\circ, 50^\circ, 60^\circ, 70^\circ, 80^\circ, 90^\circ, 100^\circ, 110^\circ$
 Volumen 85, 95, 104, 111, 110, 109, 107, 93, 91, 83, 66, 54

IV. Versuch. Mütterlicher Leichnam, 50 Jahr alt, Zuchtstutträfling aus Waldheim. Cadaver 8 Tage alt. Schlechter Ernährungszustand. Todtenstarre gewaltsam geloben. Der Druck betrug 42 Ctm.

Winkel $0^\circ, 10^\circ, 20^\circ, 30^\circ, 40^\circ, 50^\circ, 60^\circ, 70^\circ, 80^\circ, 90^\circ$
 Volumen 143 $\frac{1}{2}$, 149 $\frac{1}{2}$, 151 $\frac{1}{2}$, 146 $\frac{1}{2}$, 139, 130, 118, 102, 88, 78

V. Versuch. Frischer, muskulöser Leichnam eines wohlgebildeten 36jährigen Mannes; die starke Todtenstarre ward gewaltsam geloben. Kniegelenk normal.

Winkel $0^\circ, 10^\circ, 20^\circ, 30^\circ, 40^\circ, 50^\circ, 60^\circ, 70^\circ, 80^\circ, 90^\circ, 100^\circ$
 Volumen 79, 90, 98, 104, 101, 98, 82, 91, 67, 50, 32

Controlversuche ergaben, dass die Fehler durch Diffusion der Flüssigkeit fast null waren.

VI. Versuch. Mann in den 30er Jahren, gut genährt. Das Knie war sehr steif und konnte nur mit grosser Gewalt gebeugt und beweglich gemacht werden. Der Druck betrug 52 Ctm.

Winkel $0^\circ, 10^\circ, 20^\circ, 30^\circ, 40^\circ, 50^\circ, 60^\circ, 70^\circ, 80^\circ$
 Volumen 108 $\frac{1}{2}$, 118 $\frac{1}{2}$, 125, 123 $\frac{1}{2}$, 124 $\frac{1}{2}$, 114, 108, 101, 95

Die Resultate, welche aus diesen Versuchen hervorgehen, fasse ich in folgende Sätze zusammen:

1. Die Kniegelenke zeigen bei gleichem Grade der Beugung an verschiedenen Individuen eine sehr grosse Differenz der Capacität des Synovialraumes.

Die Verschiedenheit des Druckes kommt hierbei nicht in Betracht, da ja gerade beim niedrigsten Druck das Volumen der Flüssigkeit im Gelenk am grössten war. Es ist vielmehr der Zusammenhang der Gelenkhöhle mit benachbarten Schleimbeuteln, der diese Erscheinung bedingt.

2. Die Capacität des Synovialraumes erreicht bei einem bestimmten Grade der Beugung ihr Maximum, und zwar beträgt der Winkel, bei welchem diese geschieht, durchschnittlich zwischen 20° – 30° .

Dieser Satz lehrt uns, dass die Angabe Bonnet's nach der das Capacitätsmaximum in der halbgebogenen Stellung eintrete, unrichtig ist; denn wir sehen, dass vielmehr die beginnende Beugung diejenige Lage ist, in der die Synovialhöhle das grösste Volumen zeigt.

Aber noch ein zweites nicht minder interessantes Verhältniss ist aus den vorstehenden Versuchen ersichtlich. Es zeigt sich nämlich, dass die Zunahme der Capacität von der völligen Streckung bis zu 10° Beugung am stärksten ist, geringer die Zunahme von 10° – 20° , und noch geringer in den betreffenden Fällen von 20° – 30° . Hieraus folgt die praktisch wichtige Thatsache, dass schon eine ganz geringe Beugung, wie die von 10° ist, die relativ höchste Capacitätszunahme der Kapsel bedingt.

Endlich: ist das Gelenk in der Stellung, in welcher es am meisten Flüssigkeit zu fassen vermag, vollständig angefüllt, so lässt es sich, ohne Gefahr einer Ruptur der Kapsel, leicht in die gestreckte Lage zurückführen. Auch in diesem Punkte differiren meine Resultate von denen Bonnet's.

3. Mit dem Maximum der Beugung fällt das Minimum der Capacität der Synovialhöhle zusammen.

Hierdurch ist die bei Gelegenheit der Therapie der penetrierenden Gelenkverwunden ausgesprochene Ansicht Bonnet's widerlegt, dass die Extension des Beines diejenige Lage sei, welche die Capacität der Kapselhöhle am meisten verkleinere. Zwar werden bei gestreckter Lage, wie Durchschnitte durch gefüllte Kniegelenke zeigen, die Gelenkflächen durch die straff gespannten Seitenbänder dicht aneinander gehalten, trotzdem aber ist die Geräumigkeit der Kapsel in dieser Lage eine

verhältnissmässig bedeutende, und zwar ist sie grösser, als bei halber, beträchtlich grösser, als bei vollendeter Beugung. Beugt man das Knie gewaltsam aus der gestreckten Lage, so tritt, wenn das Gelenk in dieser Lage mit Flüssigkeit ganz erfüllt war, wegen der mit der Beugung zunehmenden Verringerung des Kapselvolumens ein Grad der Beugung ein, bei welchem die Kapselwand Gefahr läuft zu zerreissen, so dass die Flüssigkeit in die umliegenden Gewebe tritt.

Aber auch die klinischen Verhältnisse lassen gegen die Richtigkeit der mechanischen Theorie Bonnet's am Kniegelenk Zweifel erheben. Gerade diejenigen Fälle von *Arthrorrhoea acuta serosa*, welche am wenigsten die Bandapparate des Gelenkes in Mitleidenschaft ziehen, und vorzugsweise durch reichlichen Erguss in die Gelenkhöhle ausgezeichnet sind, zeichnen sich durch eine oft vollkommene Streckung des Kniegelenkes während der ganzen Dauer der Erkrankung aus, eine Beobachtung, die ich wiederholt gemacht habe, die auch ihre Bestätigung bei Volkmann (*Krankheiten der Bewegungsorgane*, 1835, p. 195) findet. Ebenso können selbst reichliche Blutergüsse in das Kniegelenk eine gestreckte Lagerung der Extremität recht gut vertragen lassen.

Figur II.

Der hier vorliegende Längsdurchschnitt eines normalen rechten Fusses stammt von demselben weiblichen Cadaver, welcher der anderen Abbildung auf dieser Tafel zu Grunde liegt. Der Schnitt lief in der Nähe des inneren Fussrandes und traf der Reihe nach *Thibia*, *Talus*, *Calcaneus*, *Os naviculare*, *Os cuneiforme primum*, *Os metatarsi primum* und die erste *Phalanx* der grossen Zehe. Bei der zweiten *Phalanx* trat die Zehle heraus, da die Zehe etwas nach aussen abgelenkt war in der Weise, wie es beim Tragen eines Schuhwerkes vorzukommen pflegt. Man sieht daher beim Betrachten des Fussdurchschnittes von innen her das Nagelglied der grossen Zehe nahe neben den anderen liegen.

Der Schnitt ging näher dem inneren Fussrande durch die Länge des Fusses als er von Weber (*Gewerkezeuge*, Tab. XI), Vols (*Reitroz zur chirurgischen Anatomie*, Tab. X), Henle (*Gelenke*, Fig. 136, 137) angedeutet wurde. Aber auch nur dadurch war es möglich, das Würfel- und dritte Keilbein zu vermeiden, welche so weit nach innen vorspringen, dass sie bei den weiter nach aussen angelegten Längsschnitten mit getroffen werden und dadurch das Verständniss des Bildes erschweren. Die Knochen des Fusses liegen nicht einfach so neben einander, dass sie nur eine Wölbung in der Richtung von vorn nach hinten bilden, sondern schieben sich zugleich so unter einander, dass ausser der Längswölbung eine Querröhrung zu Stande kommt. Es lässt sich leicht durch Messung nachweisen, dass durch den Druck der Körperlast bei aufrechter Stellung die Krümmung des Fussgerüsts in doppelter Weise abgedacht wird, und der Fuss sich nicht nur verflacht, sondern auch verbreitert.

Aus der Abbildung ist recht gut ersichtlich, wie der *Talus*, der gerade in seiner Gelenkverbindung mit dem *Calcaneus* getroffen wurde, als Schlussstein in das Gewölbe eingesetzt ist. Er kelt sich so zwischen das *Os naviculare* und den *Calcaneus* hinein, dass er beide Knochen auseinander presst, und somit eine Annäherung beider zu einander verhindert.

Entsprechend dem Gewölbeaufbau, den die einzelnen Knochen des Fusses herstellen, verhalten sich auch die Bänder. Dieselben sind verhältnissmässig schwach an der convexen Rückenfläche, wo sie sich senkrecht auf das Gewölbe pressende Druck die einzelnen Stücke in ihrer Lage erhält, ausserordentlich stark dagegen an der Hohlflächenseite angelegt, wo sie das Auseinanderweichen der Knochen zu verhindern haben. Die Form der Knochen allein ist es nicht, welche den kunstvollen Bau sichert: derselbe müsste auseinanderfallen, wenn nicht die kolossalen Bandapparate der Fusssohle, die noch durch die *Fascia plantaris* mit ihren Anheftungen an die vorderen Theile des Knochengerüsts verstärkt werden, und die von hinten nach vorn ziehenden Muskeln der Fusssohle die Spannung erhielten.

Ich habe nicht nötig, die Aufzählung der einzelnen Theile hier zu wiederholen. Die genaue Bezeichnung auf der Abbildung selbst erläutert die Bedeutung der Weichtheile genügend. Dagegen sei noch mit einem Worte auf das Fesselposter aufmerksam gemacht, welches gerade an den Hauptdruckstellen der Fusssohle besonders stark entwickelt erscheint, so dass dadurch eine möglichst grosse Vertheilung des Druckes auf verschiedene Punkte gegeben ist und dadurch den Druck weniger empfindlich macht. Die Stärke desselben beträgt an der Ferse über 1 Centimeter und in der Gegend des Ballens, da wo man das eine Sensum der grossen Zehe durchschimmern sieht, nahezu zehnmal; so dass wir auf einer weichen Unterlage, wie auf einer dicken Filzhöhle, einhergehen.

TAFEL XXIII.

Die zwei Oberschenkeldurchschnitte, welche auf der vorliegenden Tafel abgebildet sind, wurden von einem vollständig normalen kräftigen Individuum genommen, denselben, welcher im Durchschnitte auf Taf. I A und I B vorliegt.

Die Schnitte wurden so geführt, dass der erste (Taf. XXIII Figur I) unmittelbar unter dem *Ligamentum Poupardii* parallel denselben, also schräg zur Richtung des Oberschenkels angelegt ward. Er stellt demnach den Scharpschen Schnitt dar und ist zu vergleichen mit dem von *Legendre* gegebenen (*Anatomie homologique, Pl. XXIII*), und dem von *Volz* abgebildeten (*Chirurg. Anatomie der Extremitäten, Taf. VI, Fig. 3*).

Der zweite Schnitt (Taf. XXIII Figur II) ward nicht parallel dem ersten, sondern rechtwinklig zur Achse des Oberschenkels nahe dem *Perinaeum* geführt, so dass beide Schnitte einen Keil mit nach außen liegender Basis und nach innen gelegener Spitze aus dem Oberschenkel herausnehmen.

Die folgenden Schnitte liefen einander parallel, so dass sie Scheiben bildeten, von denen jede vier bis fünf Centimeter Stärke hatte. Sämtliche auf dieser und den folgenden Tafeln abgebildete Schnitte gehören demnach zu einem muskeltreuen Oberschenkel und schlossen sich der Reihe nach von oben nach unten an einander an. Die übrigen Durchschnitte, welche von der Kniegegend an bis zum Fusse herabführen, sind von einem anderen normalen, männlichen Cadaver genommen, welcher fast gleiche Verhältnisse zeigte.

Auch bei diesen Durchschnitten wurde denselben Principe gefolgt wie bei den übrigen. Es wurde jedesmal die obere Fläche der Scheibe abgebildet, so dass man bei der Uebertragung auf den eigenen Körper gleichsam von oben in das Bein hineinsehen, und zwar in das der linken Seite.

Bei dem symmetrischen Baue der Extremitäten können die Abbildungen aber auch zugleich für den rechten Schenkel gelten, nur in umgekehrter Richtung, so dass man die untere Fläche der Scheiben wie bei den Amputationsstümpfen vor sich hat.

Stellt man einen Spiegel vertikal rechts neben jede Abbildung, so bekommt man im Spiegelbilde gleichsam einen Durchschnitt des anderen Beines, und man kann dann leicht erkennen wie der Durchschnitt durch beide Schenkel geführt von oben und von unten her betrachtet sich ausnehmen würde.

Aus diesem Grunde unterliess ich es auch, beide Schenkel zugleich zu durchziehen und paarige Abbildungen zu geben, welche die Orientierung ganz bedeutend erleichtern; denn wenn auch die Symmetrie nicht so strict in der Natur durchgeführt ist, dass nicht einzelne Abweichungen von derselben vorkommen, so sind sie doch zu unbedeutend um einen solchen Aufwand an Arbeit und Material zu rechtfertigen.

Was zunächst die Knochenverhältnisse auf Taf. XXIII Figur I betrifft, so erkennt man leicht den kreisförmigen Durchschnitt des Oberschenkelkopfes, allseitig mit einer dünnen Knorpelschicht umkleidet, und von der dunklen Gelenkspalte umgeben. Er wird umgriffen von einem Theile der Pfanne, an den sich der durchschnitene Körper des Sitzbeins, oder vielmehr dessen oberer Ast der in der *Incisura ischiadica minor* getroffen wurde, anschliesst. Der Schnitt traf dann das *Foramen obturatorium* und trat schräg durch den unteren Schambeinast, mit welchem auch die Wurzel eines Schwellkörpers getroffen wurde, hernus. Ausser der *Membrana obturatoria* wurde daher auch das *Ligamentum tuberoso-sacrum* mit getroffen.

Oberhalb der Hüftgelenkspalte erkennt man, durch einen Schleimbeutel davon getrennt, den *M. psoas* und damit verwachsen den Antheil des *M. iliacus*.

Unter dem äusseren Ende dieses Muskels liegt die durchschnitene Sehne des *M. rectus femoris*. Der zweite Ansatz dieses Muskels ist mit der Bandmasse am Rande des *Acetabulum* verwachsen, und kommt in der Zeichnung nicht davon getrennt werden.

Oberhalb des *M. iliopsoas* sieht man die Fascie über den platten *Nervus cruralis* herab an die Gefässe laufen bis sie unten mit der Fascie des *Pectineus* zusammenstösst und an die Hüftgelenkspalte sich ansetzt. Man hat somit hier den Anfang der Schenkelgefässscheide bereits vor sich und sieht, wie dieselbe einen prismatischen Raum bildet, dessen äussere Wand bis zum *Mus. sartorius* führt. Der Verschluss dieses Raumes nach oben wird durch ein einfaches Fascienblatt gebildet, an welches sich weiter unten der *M. sartorius* anlegt.

Nach auswärts vom *M. sartorius* liegt der mit seiner Umgebung selbigher verwachsene Ansatz des *Tensor fasciae*, und zwischen beiden der *Nerv. cut. fem. externus*. Darauf kommt der *M. gluteus medius*, schon an der stark schiefen Fascie knoschig, von der er einen Theil seiner Fasern entspringen lässt. Die schräge Durchschnitensfläche seiner Fasermasse ist in der Zeichnung nicht ganz deutlich wiedergegeben worden. Denselben Mangel zeigt auch die Fläche des mehr nach innen gelegenen *M. gluteus minimus*. An letzteren schliesst sich dem weiter die Sehne des *M. pyramidalis* an und der ebenfalls schräg geführte *Gemellus superior* mit dem *Obturator internus*. Derselbe war in seinem Verlaufe sehr kenntlich; ebenso klar sichtbar war der darunter gelegene mächtige Schleimbeutel, welcher durch einen schwarzen Strich auf der Abbildung wiedergegeben ist. Die eben erwähnte Reihe von Muskeln bildet die obere Grenze für den Gefäss- und Nervenraum, während die untere vom *Gluteus maximus* gegeben wird. Man wird den *Nervus ischiadicus* leicht als solchen auf der Abbildung erkennen.

Die Fascie, welche vom *M. gluteus medius* kommt, um den *M. gluteus maximus* zu überziehen, wird auf diesem letzteren bedeutend schwächer; sie umgibt dann dessen medialen Randwulst, um sich theils an das *Ligam. tuberoso-sacrum* zu inseriren, theils auf die Fascie des *M. obturator internus* überzugehen.

Vor der Adductorgruppe erkennt man die durchschnittenen *Mm. pectineus, add. longus und brevis*. Der *Adductor magnus* ist nicht mit berührt worden, weil der Schnitt oberhalb seines Ansatzes durch das Becken gegangen ist.

Vom *M. gracilis* ward nur der schräge Ansatz durchschnitten. Die *Arteria acetabuli*, welche in den vorliegenden Falle von der *A. circumflexa femoris interna* entspringt, liegt hart an Hüftgelenk.

Sowie in der Zeichnung der Muskeln auf die Richtung der Fasern Rücksicht genommen wurde, so ist auch die Stärke der Faserbündel möglichst genau wiedergegeben worden. Vor allen andern springen die groben Bündel des *Gluteus maximus* deutlich in die Augen.

Man wird man freilich aus der vorliegenden Zeichnung nicht viel entnehmen können, um daraus allein die Formation des Schenkelröhrens und die anatomischen Beziehungen der Schenkelbrüche zu verstehen, sondern sich damit zu begnügen haben, die Stärke der einzelnen Lagen und ihre Schichtung zu einander an der vorliegenden Region in ihrem natürlichen Verhältnisse vor Augen zu haben. Ich glaube aber auch nicht, dass man mehr gewonnen haben würde, wenn man den Schnitt etwas weiter hinauf gelegt hätte. Schon *Lissart* bemerkt mit Recht, dass zur Darstellung der Bruchverhältnisse tiefschneidende Durchschnitte nicht genügen und so hat denn auch die Abbildung von *Volz*, Tab. VI, Fig. 3, welche besonders darauf gerichtet zu sein scheint, wenig Fugen in Bezug auf diesen Gegenstand, abgesehen davon dass sie die Gefässscheide und die Sehne des *Rectus femoris* nicht völlig naturgetreu wiedergibt.

Taf. XXIII. Figur II zeigt einen rechtwinklig auf die Axe des Oberschenkels geführten Querschnitt, unmittelbar unter dem *Trochanter minor*. Man sieht noch die unterste Partie des *M. iliacus* sich breit an die innere Fläche des Oberschenkelknochens ansetzen; daneben nach einwärts den *M. pectineus*, nach aussen den *Cruralis*. Die *Arteria femoralis* hat schon die *Profunda* abgegeben, welche auch bereits durch ein Fascienblatt vom Hauptstamme geschieden wird.

Die drei Adductoren liegen auf der inneren Seite übereinander; ober- und unterhalb des *Add. brevis* die beiden Aeste des *Nervus obturatorius*, in der Zeichnung fälschlich etwas zu stark angegeben; neben ihnen die Aeste der *Arteria circumflexa fem. interna*. Weiter nach innen an dieser Muskelgruppe liegt der bereits fleischig gewordene *M. gracilis*.

Der *Sartorius* ist mehr in die Mitte herübergetreten, und schiebt sich bereits an, die *Arteria fem.*, welche auch schon eine mehr oberflächliche Lage zur begleitenden Vene angenommen hat, als ein muskulöser Deckel zu überlagern. Der *M. rectus femoris* mit seinem inneren Sehnenstreifen liegt auf dem *Cruralis* und *Vastus externus*; neben ihm der *Tensor fasciae latae*, welcher von der Sehne des *Gluteus maximus* förmlich umfasst wird.

Bemerkenswerth ist das starke Fascienblatt, welches unter ihm vom *Gluteus maximus* kommt und sich zwischen *Vastus externus* und *Rectus femoris* nach einwärts wendet.

Der *Gluteus maximus* hat noch nicht seine Anheftung an dem Knochen genommen, sondern setzt sich in dieser Höhe durchaus an den schrägen Streifen an, welchen *Welcher* als *Maissia'schen* Streifen in die Literatur eingeführt hat, dessen Stärke auf der äusseren Fläche des Oberschenkels in dieser Höhe besonders bedeutend ist. Von ihm bedeckt, aber durch einen feinen Fascienstreifen in der ganzen Länge von ihm getrennt, nach der Tiefe zu, liegt der gemeinsame Kopf des *M. biceps* und *semitendinosus*; darüber die starke Sehne des *M. semimembranosus*. Zwischen ihnen und dem *Adductor magnus* erkennt man den *Nervus ischiadicus* und eine mässig starke Arterie, einen Verbindungsast der *A. ischiadica* mit der *Perforans prima* von der *A. profunda*.

Die Scheibe, deren obere Fläche hier abgebildet wurde, hatte eine Stärke von fünf Centimeter.

Vergleicht man die Arterienquerschnitte auf beiden Abbildungen miteinander, so zeigt sich, dass die Schenkelarterie ihre Lage zum Knochen und zur begleitenden Vene in ihrem Verlaufe nach abwärts ändert. Je weiter nach abwärts, um so mehr entfernt sich der Knochen des Oberschenkels von der Arterie. In der Höhe des horizontalen Schambeinastes lag sie so nahe dem darunter liegenden Knochen, dass die Ausführbarkeit einer Compression des Gefässes gegen die feste Unterlage leicht erkennbar war. Noch auf Figur I der vorliegenden Tafel ist die Entfernung der Arterie vom Schenkelkopfe so unbedeutend, dass sie das Andrücken des Gefässes gut ermöglicht, aber bereits in Figur II wird der Raum zwischen beiden so gross, dass ein starker Druck nothwendig erscheint, um Gleiches zu erreichen, mag er mit dem Finger oder einer Gummischlinge ausgeführt werden. Ausser dieser Entfernung des Gefässes vom Knochen tritt aber auch eine Veränderung der Richtung auf. Während auf Figur I die Arterie oberhalb des Knochens liegt, so dass eine senkrecht von vorn einwirkende Gewalt Gefäss und Knochen gleichzeitig zerschmettern kann, liegt sie weiter nach abwärts, bei Figur II, bereits so weit seitlich von dem sich nach auswärts wendenden Femur, dass bei gleicher Richtung einer traumatischen Einwirkung die Arterienverletzung ohne Knochenverletzung möglich wird, oder auch umgekehrt, dass der Knochen durchbrochen werden kann, ohne gleichzeitige Gefässverletzung.

Aber auch die Lage der Arterie zur Vene verändert sich im weiteren peripherischen Verlaufe. Von der Abdominalhöhle angefangen, legen sich die Hauptgefässe abwechselnd zu einander in sagittaler und frontaler Ebene. Auf der Lendenwirbelsäule liegt die *Aorta abdominalis* unmittelbar neben der *Vena cava*. In der Beckenhöhle liegt die *Arteria iliaca* vor der *Vena iliaca*, am inneren Rande des *Psoas*, um sich dann weiter bei der Passage des Schenkelringes auf die laterale Seite der Vene zu legen. Aber bald verlassen die Gefässe auch dieses Verhältniss wieder. Bereits unter der *Fossa ovalis*, ist wie Figur II zeigt, die Vene unter die Arterie getreten und bedeckt sie von hinten her bis zur Kniekehle hinab, so dass bei der Aufsuchung der *Arteria poplitea* von hinten her erst die Vene dem Messer entgegentritt, und hinweggeschoben werden muss, um die Arterie zugänglich zu machen.



TAFEL XXIV.

Figur I auf der vorliegenden Tafel giebt einen Durchschnitt des Oberschenkels etwas unter dem oberen Drittel. Der Schnitt fiel nämlich, da die Scheibe der vorhergehenden Abbildung eine Dicke von fünf Centimeter hatte, etwa sechs Centimeter unterhalb des *Trochanter minor*.

Man erkennt die einzelnen Portionen des *M. quadriceps femoris*, deutlich durch Fascien von einander gesondert. Am hinteren Rande des *Vastus externus*, der von der durch die Sehne des *Tensor fasciae* verstärkten mächtigen Fascie umkleidet wird, liegt das Ende des *M. glutaeus maximus*. Derselbe geht mit einer stark sehnigen Masse an den Oberschenkelknochen, und grenzt an dieser Stelle die Beugemuskeln von lateralen Theile des Streckmuskels ab.

Von den Beugemuskeln, welche den *Nervus ischiadicus* bedecken, haben sich der *Biceps* und *Semitendinosus* fast vollständig von einander getrennt. Der *Semimembranosus* hat auch bereits Fleischmasse gewonnen. Ueber ihnen liegen die drei Adductoren; zunächst der mächtige *Adductor magnus*, auf welchem der *Adductor* erkennt man die *Arteria profunda* und *N. obturator*. Auf der andern Seite des *Adductor longus*, zwischen ihm und dem *Vastus internus*, befindet sich der Raum für die *Arterie* und *Vena femoralis*. Man erkennt deutlich die Form der Gefäßscheide, ihre Bildung durch die Fascienblätter und den Verschluss durch den *M. sartorius*, welcher immer mehr auf die Innenseite des Oberschenkels rückt. Dadurch kommt derselbe auch dem *Gracilis*, welcher eine ganz ähnliche Form hat, immer näher, bis endlich im weiteren Verlaufe beide Muskeln sich theilweise decken.

Figur II repräsentirt einen Durchschnitt durch die Mitte des Oberschenkels, da wo *Sartorius* und *Gracilis* an einander stoßen, und der kurze Kopf des *Biceps* die Stelle des *Glutaeus* im *Ligam. intermusculare externum* zwischen *Vast. externus* und den Flexoren einzunehmen beginnt. Ausser dem *Rectus femoris* liessen sich die einzelnen Theile des *Quadriceps* nicht mehr vollständig durch Fascien isolirt abzeichnen, dagegen behielt der *Rectus* mit seiner centralen Sehne immer noch seine isolirte Lage bei.

Die Arterie, welche bedeutend mehr seitwärts zum Knochen zu liegen kommt als auf den vorhergehenden Abbildungen, liegt noch in derselben Fasciescheide, zwischen *Adductor longus* und *Vastus internus*, bedeckt vom *Sartorius*. Dagegen hat der *Adductor longus* schon bedeutend an Mächtigkeit verloren, und der *Adductor brevis* fehlt bereits in dieser Höhe gänzlich.

Die *Arteria profunda* ist an der Stelle getroffen worden, wo sie hart am Knochen den *Adductor magnus* durchbohrt, so dass dieser Muskel auf dem vorliegenden Durchschnitt den Knochen gar nicht berührt.

Die drei Beugemuskeln sind vollständig von einander isolirt und so an die Rückseite gelagert, dass der *Nervus ischiadicus* seine Stelle

bereits in einer Furché zwischen dem langen Kopfe des *Biceps* und des *Semitendinosus* einnimmt.

In Bezug auf die Lage der auf den Tafeln XXIII und XXIV gegebenen Durchschnitte ist noch hinzuzufügen, dass der Schenkel in etwas nach aussen gerollter Stellung durchschnitten und abgebildet wurde.

Auf beiden Figuren ist der *Maissia'sche* Streifen nicht deutlich zu erkennen, da er einen zu schwachen Querschnitt besitzt um ihn gesondert darstellen zu können. Es ist dies dieselbe Bildung, welche *Meyer* als *Ligamentum iliofibiale* bezeichnet, eine Benennung die ich deshalb nicht anwende, weil sie die Befestigungen nur zum Theil angiebt. Der sehnige Streifen beginnt an der *Crista ilei* da, wo der Rand durch den Zug dieses *Ligamentes* nach aussen gebogen ist, so dass eine *Spina* entsteht, welche man *Spina ilei externa* nennen könnte, die bei keinem Becken vermisst wird; mit einem tiefen Ansatz befestigt er sich ausserdem am Knochen neben dem *Acetabulum*. Unten setzt er an *Femur*, *Patella*, namentlich aber am äusseren *Condylus* der *Tibia* an. Er ist ein mächtiger Hilfsapparat für das Stehen auf einem Beine, wie schon *Welcher* richtig bemerkt hat. Er streckt das Kniegelenk, und verhindert das Herabsinken des Beckens, unterstützt also durch diese Adductionsbeschränkung die Wirkung des *Ligamentum teres*.

An diesen starken sehnigen Streifen, der sich auch am Lebenden gut durchführen lässt, wenn man die Aussenseite des Kniegelenks von der Bicipsehne an abtastet, befestigen sich die Muskelmassen des *Tensor fasciae* und ein Theil des *Glutaeus maximus*. Sie unterstützen also die Wirkung dieses Gelenkapparates. Ausserdem aber heben sie durch diese Verbindung das im Knie gestreckte Bein nach aussen, kommen also in Thätigkeit wenn man sich mit gestrecktem Beine in den Sattel schwingt.

An die *Fascia lata* setzt sich also der *Tensor* gar nicht an. Dieselbe liegt völlig getrennt von dem Streifen darunter, so dass derselbe sich auf der Fascie leicht verschieben lässt. Es ist auch gar nicht abzusehen, was eine Spannung der *Fascia lata* durch einen besonderen Muskel für Effect haben sollte.

Ferner ist über beide Schnitte zu bemerken, dass in dem Kanal der grossen Schenkelgefässe, welcher auch als *Hunter'scher* Kanal bezeichnet wird, besondere Druckverhältnisse vorherrschen. Die Spannung des *M. sartorius*, der in der ganzen Länge die Gefässe deckt, wird die Gefässe gegen äusseren Druck in gewissem Grade sichern. Ob dadurch ein negativer Druck entsteht, muss noch untersucht werden. Jedenfalls hängt damit die Venenentwicklung zusammen. Die ursprünglich paarig angelegte *Vena femoralis* hat nur die eine Hauptbahn entwickelt. Die Nebenbahn, als *Vena comitans* (*Langer*) vorhanden, ist so gering im Kaliber, dass sie für die Fortschaffung des Blutes nur wenig leistet. Auf den Abbildungen ist sie nicht mit angegeben.

TAFEL XXV.

Die auf dieser und den folgenden Tafeln abgebildeten Querschnitte der unteren Extremität stammen von einem anderen Cadaver als die vorhergehenden. Aber sie schliessen sich gut an dieselben an, da sie ebenfalls von einem kräftigen, normal gebauten Mann mittleren Alters herrühren. Die Arterien wurden injiziert, der Körper in Rückenlage zum Gefrieren gebracht und die Beine in ihrer Lage unverändert gelassen, in der sie etwas nach aussen gerollt waren.

Figur I.

Der Schnitt verläuft bei dieser Figur durch das untere Drittel des Oberschenkels, reichlich eine Hand breit über dem oberen Rande der Kniekehle, an der Durchtrittsstelle der Schenkelarterie durch den *M. adductor magnus*. Man hat den linken Oberschenkel vor sich, und zwar die obere Fläche des unteren Stückes, so dass man auch hier von oben nach abwärts gleichsam in den eigenen Oberschenkel hineinblickt, und somit links die laterale, rechts die mediale Seite der Extremität vor sich hat.

Der *M. adductor longus* ist nicht mehr zu sehen. Knapp oberhalb des Schnittes hat er seine Endigung gefunden. Von den Adductoren ist nur noch der *Adductor magnus* vorhanden; seine Durchschnitte fläche legt sich von unten her an die grossen Gefässe an. Er steht aber nicht mehr in Verbindung mit der *Linea aspera* des Femur, sondern Alles was hier von Fleischfasern zu sehen ist, setzt sich in die Endsehne fort, welche am *Condylus internus femoris* endigt. Es ist also hier gerade die Stelle getroffen worden, wo die Arterie durch die Adductorlücke hindurch geht, um an die Rückseite des Oberschenkelknochens zu gelangen. Die Arterie selbst liegt von einem Venenstamm umgeben, das durch seine vielfachen Anastomosen die Ligatur erschweren muss. An der Knochenfläche der Arterie liegt die grosse Vene mit zwei einmündenden kleineren Venen, an der gegenüberliegenden zwei *Venae comitantes*, die sich zwischen Arterie und *Nervus saphenus major* einschoben. Will man in dieser Höhe die Arterie unterbinden, so muss man zwischen *Sartorius* und *Vastus internus*, also auf der äusseren Seite des *Sartorius* einschneiden, die stark schräge Fascie unter dem *Sartorius* trennen und *Nervus saphenus* wie *Venae comitantes* bei Seite schieben. Man hat somit mehr Schwierigkeiten auf die Arterie zu gelangen und sie zu isolieren, als weiter oben, wie die Betrachtung der Tafeln XXIII und XXIV zeigt.

Es ist nicht richtig, der Arterie einen Spiralgang zuzuschreiben, wenn man ihre Lage zum Knochen bestimmt. Sie liegt allerdings oben vor dem Knochen, weiter unten medial vom Knochen, in der Kniegegend endlich gerade hinter denselben. Man kann sich aber an jedem Präparate, mögen nun die Arterien injiziert sein oder nicht, leicht davon überzeugen, dass die Arterie in ziemlich gerader Richtung nach abwärts zieht, der Knochen dagegen eine Windung um das Gefäss beschreibt. Das Verhältnis der Arterie zum *M. sartorius* aber bleibt fast in der ganzen Länge des Oberschenkels mehr constant.

In ähnlicher Weise wie die Arterie hat auch der *Nervus ischiadicus* seine Lage gegen die oberen Schnitte geändert. Während er weiter oben hinter dem *M. adductor magnus* zu liegen kam, befindet er sich hier neben demselben, hinter dem kurzen Kopf des *Biceps*.

Ueber die Muskeln selbst ist nichts weiter zu bemerken. Die Beschreibung lässt die einzelnen leicht erkennen. Man erkennt an dem stärkeren Hervortreten der centralen Sehnenstrümpfe, dass sie sich ihrem Insertionspunkt nähern. Ebenso ist man ausser Stande, scharf Grenzen zwischen den einzelnen Bestandtheilen des *Quadriceps* zu ziehen, die weiter oben durch Fascienzüge deutlich von einander geschieden waren.

Wenn man die Fascien im Gebiete des Oberschenkels zu beiden Seiten des *Quadriceps* als *Ligamentum intermusculare* bezeichnet, wie dies *Edvard Weber* in seinen Vorlesungen zu thun pflegte, so würde durch das Anelanderücken der Fascien der *Adductores* und des *Vastus internus* das *Lig. intermusculare internum* gebildet werden, und dieses würde die grossen Gefässe in sich schliessen. Es ist schon oben erwähnt worden, dass man den durch diese Fascien gebildeten Raum auch den *Hunter'schen Kanal* nennt. Das *Lig. intermusculare externum* würde dagegen am *Vastus externus* zu liegen kommen, und den Ansatz des *Gluteus maximus* sowie den kurzen Kopf des *Biceps* enthalten. Gilt es also, die grossen Gefässe freizulegen, so hat man in das *Lig. intermusculare internum* einzuhängen. Handelt es sich aber um Frei-

legung des *Perios* am Femur in grösserer Ausdehnung, so hätte man das *Lig. intermusculare externum* aufzuschneiden. Die Stelle dieses Einschnittes ist stets durch eine erkennbare Längsfurche bezeichnet, die auch auf den Querschnitten des Oberschenkels als eine seichte Einkerbung am medialen Rande des *Vastus externus* gut erkennbar ist. Man trifft dabei die *Arteriae perforantes*, die durch Anastomosen die Collateralbahn für die Schenkelarterie bilden, und kann von da aus auch leicht den *Nervus ischiadicus* erreichen, wenn man sich in der Tiefe der Wunde etwas medianwärts unter dem langen Kopf des *Biceps* wendet.

Figur II.

Die vorliegende Figur stellt einen Querschnitt durch das linke normale Kniegelenk in der Höhe der Mitte der Patella dar. Der Mann, von dem die Extremität genommen wurde, war wahrscheinlich Maurer gewesen, wie mehrere Merkmale am Cadaver vermuten liessen, und hatte als solcher viel knien müssen. Dem entsprach auch die starkwunde und weite *Dorsa praepatellaris*, welche vor der Patella durch einen breiten und weit herumschlingenden schwarzen Strich in ihrer queren Ausdehnung wiedergegeben ist. Die Patella liegt mit dem äusseren Theile ihrer hinteren Gelenkfläche dem *Condylus externus* des Femur so dicht an, dass nur ein schmaler Spalt beide trennt. Von dem *Condylus internus* hebt sie sich dagegen weiter ab. Der Synovialraum theilt sich durch das hereinragende *Ligamentum mucosum* in zwei Abtheilungen, von denen die eine, der Patellarfurche folgend, nach oben und innen zieht, während die andere auf dem *Condylus internus femoris* hinfällt.

Diese Lage der Patella zu den Condylis macht es erklärlich, warum sie bei Luxationen vorzugsweise über den *Condylus externus* hintergestellt. Die Lage selbst ist bedingt durch die Krümmung des Femur nach einwärts, so dass der Zug der starken Streckmuskeln an sich schon die Patella zum Abgleiten nach aussen von der flachen Grube zwischen beiden Condylis bringen müsste, wenn nicht seitliche Bandmassen dieselbe in ihrer Lage sicherten. Diese Bandmassen sind als flüchtige Fasern in die seitlichen Sehnenplatten eingewebt, die vom grossen Streckmuskel herab zum Unterschenkel gehen und die Streckwirkung ausser der Patella und dem *Ligamentum patellare* mit fortzuführen helfen. Sie sind es auch, welche bei Zerschmetterung der Patella die Bruchstücke in ihrer Lage erhalten, und welche beim Querbruche der Patella zugleich mit dieser zerrissen werden. Sägt man am Cadaver die Patella quer durch, unter Erhaltung dieser Seitenplatten, so weichen auch bei der Bewegung des Knies die Patellahälften wenig auseinander, schneidet man sie aber noch nachträglich durch, so erfolgt sofort eine bedeutende Entfernung beider Knochenstücke von einander. Daraus erklärt es sich, warum Sternbrüche der Patella relativ gut heilen. Hier wird die Patella meist allein getroffen und zerschmettert, während bei Querbrüchen, welche durch Zerreissung zu Stande kommen, auch die Bänder zerrissen werden und somit der Streckmuskel völlig frei wird, und die dislocirende Wirkung auf das obere Bruchstück ausüben kann.

Man sieht auf der Abbildung von der Patella aus die breiten Bandmassen nach beiden Seiten zum Femur herabziehen, und wie eine Kappe das gesammte Kniegelenk vorn und seitlich umgeben.

Hinter den Knochenflächen der Condylis des Femur erkennt man die Ausbreitung der Synovialhöhle, zwischen beiden die starke Bandmasse der Kreuzbänder.

Nerv, Vene, Arterie liegen dicht hinter einander, vor aussen nach innen; der *Ischiadicus* ist getheilt in den nach aussen unter dem *Biceps* gelegerten *N. peroneus* und den mehr nach der Mitte und nach innen zu gelegenen *N. tibialis*.

Die Muskeln, welche noch auf der ersten Figur so grosse Fleischmassen zeigten, sind in ihrer räumlichen Ausdehnung sehr zusammengesunken. Sie sind zum Theil schon völlig in ihre Endsehnen übergegangen und gestatten dadurch die Formbestimmung des Contours durch die Knochenheile, wie dies für alle Gelenkregionen charakteristisch ist.

Bei Kniegelenkhydrops wird, wie schon oben auseinander gesetzt wurde, die Patella von der Gelenkfläche des Oberschenkels abgehoben; die Ausdehnung der Kapsel erfolgt vornehmlich nach vorn. Die hinteren Partien sind wenig nachgiebig und können deshalb auch nur wenig von der Hinterfläche der Condylis sich entfernen.

TAFEL XXVI.

Figure 1.

Die hier vorliegende Abbildung gibt einen Querschnitt durch das obere Drittel des linken Unterschenkels eines kräftigen Mannes, desselben, von dem auch die auf den vorhergehenden und folgenden Tafeln abgebildeten Schnitte genommen waren.

Ähnliche Abbildungen, welche hierbei verglichen werden mögen, findet man bei Vois (a. a. O. *Tafel IX, Fig. 1*) und im Atlas von Pirogoff (*Fasc. 4, Tab. VIII, Fig. 8*).

Piriform (Fasc. 4, Tab. VIII, Fig. 5).
Das feste Gerüst, von dem die Muskeln entspringen, wird von *Tibia* und *Fibula* nebst dem zwischen ihnen ausgespannten *Ligamentum interosseum* gebildet. Dazu kommt das von der *Fibula* schräg nach vorn und aussen ziehende starke *Ligamentum intermusculare fibulare*, welches zwischen Peroneen und Streckmuskeln gefunden wird; ferner die mächtige, um die Gesamtmuskulatur ziehende Fascie, an welcher namentlich der *Tibialis anticus* mit vielen Faserzügen entspringt.

Diese middle Ligata stellt ein äusseres Bindegewebeskelet dar, welches eine Fortsetzung des Knochen skeletes bildet und die Muskulatur des Unterschenkels an der Vorderseite eine Röhre einhüllt. Sie erstreckt sich in ziemlicher Stärke bis herab in die Nähe des Fussgelenkes und enthält dort eingewebt die Binden des *Ligamentum transversum cruris* sowie einen Theil des *Ligamentum cruciatum*, welche die Muskeln in ihrer Lage sichern, so dass sie bei ihrer Contraction am Vorrücken behindert werden.

Diese Fascie ist somit vergleichbar mit dem äusseren Skelet, wie es sich bei wirbellosen Thieren findet.

Die stark entwickelte Muskulatur zerfällt in drei Gruppen. Nach vorn zu liegen die Extensoren, *Tibialis anticus* und *Extensor digitorum communis longus*, begrenzt nach rückwärts vom *Ligamentum interosseum*. Der *Extensor longus hallucis* ist noch nicht zu sehen; er entspringt erst ein Stück weiter nach abwärts, vom *Ligamentum interosseum*. Nach aussen, der *Fibula* aufliegend, findet man den *M. peroneus longus*, welcher zu der zweiten Muskelgruppe gehört, vom grossen Zehenstrecker getrennt durch das *Ligamentum intermusculare fibulare*.

Nach rückwärts von beiden Knochen finden sich die dritte Gruppe, die an Masse bedeutend übergewiegenden Flexoren, die ungefahr auf dem Durchschnitte den doppelten Raum einnehmen als die beiden anderen Gruppen zusammengekommen. Ihre tief Schicht zeigt analog der Extensorenreihe nur zwei Muskeln. Der *Tibialis posticus* liegt sich zwischen *Tibia* und *Fibula* an das *Ligamentum interosseum*; der *Flexor digitorum*, von dem noch wenig zu sehen ist, an die *Tibia*. Hinter ihnen breiten sich die grossen Flächen des *Soleus* und *Gastrocnemius* aus, so wie auch noch an der hinteren Wand der *Tibia* ein Streif vom *Popliteus* zu sehen ist, dessen unterster Ansatz oben noch getroffen wurde. Dieser Muskel lag somit fast völig zwischen diesem und dem vorhergehenden Schnitte durch das Kniegelenk (Tafel XXV).

Die zu den drei Gruppen gehörigen Nerven sind weiss markirt. Der *Nervus peroneus superficialis* liegt zwischen *M. peroneus* und *Fibula*. Nur durch das *Ligamentum intermusculare fibulare* davon getrennt, liegt auf der *Fibula* und dem *Ligamentum interosseum* der *Nervus peroneus profundus*. Der *Nervus tibialis posterior* wird zwischen *Flexor longus hallucis* und *Soleus* gefunden.

Die drei Arterien, *Tibialis antica*, *Tibialis postica* und *Peronea* sind nebst ihren Venen leicht zu erkennen. Die beiden letzteren Arterien liegen dicht neben einander, da der Schnitt unmittelbar unter ihrem Ursprünge geführt ward, von dem *Ligamentum interosseum* durch den *Tibialis posticus* getrennt, und scheiden die tiefe Schicht der Flexorgruppe von der Wadenmuskulatur, welche die oberflächliche Schicht ausmacht. Die *A. tibialis antica* liegt dagegen direkt auf dem *Liga-*

mentum interosaeum, und zwar auf dessen Vorderseite. Der zwischen *M. tibialis anticus* und *Extensor digitorum* laufende Spalt führt direkt auf das Gefäß, so dass die Aufsuchung leicht vorgenommen werden kann und nur Schwierigkeiten findet wegen der Tiefe des Weges, den das Messer zu nehmen hat, bei stark entwickelter Muskulatur.

Figure 11.

Der hier vorliegende Durchschnitt durch die Mitte des linken Unterschenkels kann verglichen werden mit den Abbildungen bei *Henle (Mittelteil, Fig. 142)* und *Volz (a. o. Tab. IX, Fig. 2)*. Die Verhältnisse der Muskeln, Gefässe und Nerven sind leicht ersichtlich, so dass nur wenig zur ihrer Erläuterung hinzugefügt zu werden braucht. Nur die Stellung des Durchschnittelements erfordert eine besondere Bemerkung. Man hat als vordere Spitze in der Zeichnung die *Crista tibiae*, und nach hinten zu die Masse der Wadenmuskulatur. Dieselbe schiebt sich aber so nach der innern Seite hin, dass man meinen könnte, die Weichteile seien vor dem Gefässen gewaltsam aus ihrer ursprünglichen Lage gebracht worden. Es ist auch keine Frage, dass bei der Rückenlage des Cadavers, welche als die einfachste, der Willkür am wenigsten ausgesetzt, beim Frieren beizubehalten wurde, die Weichteile auf der Beugeseite einen Druck erliden; und ich will nicht in Abrede stellen, dass dieser Druck eine Bestimmung hat, in wie weit derselbe den *Soleus* und *Gastrocnemius* in die Lage bringt, die die Abweichungen von der Lage hervorzuheben, die beide Muskeln auf den Bildern *Henle's* und *Volz's* zeigen. Von einer abnormen Muskelagerung ist aber keine Rede. Man hat zu erwarten, dass auch am lebenden Körper die Lage der Rückenlage die ruhenden Muskeln ähnliche Verhältnisse zeigen werden. Bei der Stellung der ganzen Zeichnung, welche die nach auswärts gerollte Haltung des Beines absichtlich beibehalten, da dieselbe der mittleren Stellung der Beine im Zustande der Ruhe entspricht.

Unter den Wadenmuskeln sind hier die Flexoren sämtlich zu erkennen. Der *Flexor digitorum* hat an Stärke bedeutend zugenommen. Der *Flexor longus hallucis* ist zwar noch schwach, hat aber bereits die *Arteria peroneae* zwischen sich und *Fibula* genommen und dadurch von der *A. tibialis postica* abgesondert.

Ebenso ist auf der Vorderseite der *Extensor longus hallucis* erschienen, so dass nun die *A. tibialis antica* zwischen ihm und dem *Tibialis anticus* zu liegen kommt. Die Lage der Arterie ist aber immer noch eine so tiefe, dass auch an dieser Stelle die Aufsuchung und Unterbindung zwar ausführbar, aber nicht empfehlenswerth ist. Erst weiter unten, nach dem Fussgelenke zu, wird mit dem Abnehmen der Fleischmasse der Weg zur Arterie kürzer, und dieselbe dadurch besser erreichbar.

Auch die Peronäen sind nun vollständig vorhanden, und der *Nervus peroneus superficialis* schon so weit an die Oberfläche vorgedrückt, dass er sich bereits zum Durchschnitte durch die Fascie vorzubereiten scheint.

Vergleicht man beide Durchschnitte, welche die Lage der einzelnen Theile in der oberen Hälfte des Unterschenkels wiederlegen, so erkennt man zunächst die oberflächliche und der Untersuchung leicht zugängliche Lage der Tibia. Veränderungen dieses Knochens durch Erkrankung werden sich leicht diagnostizieren lassen, ebenso wie traumatische Veränderungen. Die Fibula dagegen liegt in dieser Beziehung ungünstiger. Die dicken Massen der sie umgebenden Muskeln gestalten eine Untersuchung im Gelenkgebiet sehr schwierig. Wird daher eine Fibulitis festgestellt, so muß man, wie bei der Untersuchung des Kniegelenks, die Constataction des eigentlichen Schmerzes bei Druck an entfernter Stelle, um Verletzungen des Knochens in dieser Höhe bei erhöhten Weichtheilen nachzuweisen.

Der Weg, den das Messer zu nehmen hat, wenn es sich darum handelt die Fibula freizulegen, ist durch das *Ligamentum intermusculare fibulare* vorgezeichnet. Die Muskeln, welche dieses Ligament begrenzen, *Peronaeus* und *Extensor longus hallucis*, sind leicht an der Aussenseite des Beines zu bestimmen; ebenso wie die Abbildungen die Tiefe abmessen lassen, welche der Wunde zu geben ist bei kräftigen Individuen. Gefässe grösseren Calibers wird man hierbei nicht treffen, wohl aber wird Rücksicht zu nehmen sein auf den *Nervus peronaeus*, welcher in den Schnitt fallen muss. Die oberflächliche Lage der Tibia erfordert auch eine Berücksichtigung, wenn es sich um Behandlung von Geschwüren handelt. Gerade hier ist eine Betheiligung des Periostes um so eher zu erwarten, als das Fettpolster ganz besonders spärlich entwickelt ist. Fast an allen übrigen Stellen der Peripherie findet sich mehr Fettmasse und dadurch die umgebende Haut

weiter von den darunter liegenden Fascien entfernt als unmittelbar über der Tibia.

Die Arterienstämme mit ihren begleitenden Venen sind in dieser Höhe des Unterschenkels noch ziemlich nahe ihrem Ursprunge aus der *Poplitea*, und dem zu Folge auch noch nicht weit auseinander gerückt. Sie liegen in dem Innern des Durchschnittes so nahe dem *Ligamentum interosseum*, und so geschützt gegen Druck von Aussen durch die beiden Unterschenkelknochen, dass sie weniger den Verletzungen ausgesetzt sind, als weiter nach abwärts und aufwärts. Zugleich entziehen sie sich aber auch durch diese Lage zum Skellet einer Compression. Es ermangelt die feste Unterlage gegen die sie erfolgreich angedrückt werden können, so dass man bis über das Knie hinaufgehen muss, um eine Compressionsschlinge anzulegen, wenn Amputationen oder sonst grössere blutige Operationen an dieser Stelle auszuführen wären.

TAFEL XXVII.

Figur I.

Wir haben hier den Durchschnitt durch den linken Unterschenkel im unteren Drittel vor uns. Der Schenkel ist derselbe wie auf dem vorhergehenden und dem nachfolgenden Bilde. Die Nähe des Gelenkes macht sich stark bemerklich. Durch das Abnehmen der Fleischmassen und das Zunehmen der sehnigen Partien ist das gesammte Bild beträchtlich kleiner geworden. Wenn auch einzelne Muskeln wie *Extensor* und *Flexor longus hallucis* nebst *Peroneus brevis* stärker geworden sind als auf der vorhergehenden Abbildung, so wiegt dies doch nicht das Abnehmen der Wadenmuskeln auf, deren Durchschnitt die Hauptmasse des Gesammthildes am Unterschenkel bildet. *Soleus* und *Gastrocnemius* lassen sich nicht mehr von einander trennen. Eine langgezogene sehnige Masse überzieht die hintere Fläche des *Soleus*; sie ist das Ende des *Gastrocnemius* und nimmt schliesslich auch die Fasern des *Soleus* mit auf, bis endlich die starke, auf dem Durchschnitt einem halben Orale gleichende Achillessehne beide Muskeln an den Fersenhöcker anheftet.

Die grösste Fläche zeigt der *Flexor longus hallucis*, der gerade in seiner grössten Stärke getroffen wurde. Bei der Bedeutung der Beugung der grossen Zehe für die Ortsbewegung ist auch der Muskel, der dieselbe ausführt, gewaltig angelegt, so dass er an Mächtigkeit den gesammten Zehenbeuger nebst *Tibialis posticus* bedeutend übertrifft. Der *Flexor digitorum* hat seine Lage zur vorhergehenden Abbildung schon verändert. Er tritt auf diesem Bilde ein Stück zurück, um dann weiter unten den *Tibialis posticus* vorzulassen, so dass derselbe in der Malleolargegend nach vollendeter Kreuzung mit dem *Tibialis posticus* am weitesten nach innen zu liegen kommt.

Die Lage der tiefen Flexoren unterscheidet sich von der der Extensoren wesentlich. Während bei letzteren der *Tibialis anticus* am nächsten der *Tibia* liegt und ohne Kreuzung mit seinen Nachbarn an den inneren Fussrand herabsinkt, so dass alle drei parallel neben einander verlaufen, liegt der *Tibialis posticus* in der Mitte am *Ligamentum interosum*, der grosse Zehenheber an der *Fibula*, der Beuger der vier kleinen Zehen an der *Tibia*. Die Muskeln müssen sich somit auf ihrem Wege zu ihren Endigungsstellen mit einander kreuzen. Diese Lage hängt zusammen mit ihrer Passage am *Malleolus internus*. Da sie durch den stark nach hinten vorspringenden *Calcaneus* auf die Seite gedrängt werden, würden sie einen sehr ungenügenden Halt unter dem kurzen *Malleolus internus* finden, wenn der grosse Zehenheber und der *Tibialis posticus* am inneren Rand des Unterschenkels lägen, und der Beuger der kleinen Zehen würde grosse Winkel machen müssen, wenn er an der *Fibula* entspringe, um zu den äusseren Zehen zu gelangen. Diesen Uebelständen ist durch die gekreuzte Lagerung, wie sich leicht übersehen lässt, abgeholfen.

Die Arterien haben dieselben Muskelinterstitien inne wie höher oben, trotzdem die beiden *Tibiales* ihre Lage zur *Tibia* nicht unwesentlich geändert haben. Sie liegen aber infolge der Verringerung der Muskelmasse der Oberfläche bedeutend näher, so dass ihre Erreichung und Ligatur nicht mehr die Schwierigkeiten bietet, wie höher oben. Die *Arteria tibialis antica* wird erreicht, wenn man von oben her zwischen *Tibialis anticus* und *Extensor longus hallucis* eingibt. Die *Tibialis postica* wird gefunden, wenn man den Rand des *Soleus* vom *Flexor digitorum* abblät und zurücknimmt. Am ungünstigsten liegt die *A. peronea*. Ihre Ligatur erfordert ein Eingehen hinter den Peroneus und Abheben des *Flexor longus hallucis* von der *Fibula*. Hinter dem Knochen kann dann die Arterie hervorgezogen werden.

Figur II.

Der hier abgebildete Querschnitt des Unterschenkels in der Malleolargegend schliesst die Reihe der Schenkeldurchschnitte ab. Er schneidet die *Tibia* unmittelbar über dem *Talus*; daher denn auch die Schnittfläche der *Tibia* so gross erscheint. An ihrer äusseren Seite liegt der untere Abschnitt der *Fibula*. Beide sind durch Bandmassen fest mit einander verbunden, nur nach vorn zu ist ein Spalt offen, der in die Höhle des Fussgelenkes hineinführt.

Die Muskeln sind fast sämmtlich sehnig geworden; nur der äussere Theil des Zehenstreckers, der *Peroneus tertius*, der Streckter der grossen Zehe, deren Beuger, sowie der *Peroneus brevis* zeigen noch Fleisch. Mit dem Auftreten der Endsehnen erscheinen auch die schwarzen Spalten der Schleimbeutel und die Apparate der fibrösen Bänder, welche die Lage der Sehnen am Fussgelenke sichern. Vom *Ligamentum cruciatum* ist der obere Theil getroffen, welcher das mediale Ende der Schlingen an die *Tibia* befestigt; der Ausgangspunkt desselben von dem *Calcaneus* liegt noch in der Tiefe und ist deshalb nicht sichtbar. Unter der mittleren Schlinge, welche den *Extensor longus hallucis* einschliesst, liegt die *Arteria tibialis antica*, leicht von der Oberfläche aus zu erreichen, wenn man den *Extensor l. hallucis* frei legt und bei Seite schiebt, aber nicht zu isoliren ohne weitgehende Zerstörung des *Ligamentum cruciatum* und der Schleimbeutel. Günstiger ist die Lage der *A. tibialis postica*, welche bei der Freilegung nur eines Zerschneidens eines Schenkels vom *Ligamentum laciniatum* notwendig macht und deshalb gut an dieser Stelle aufgesucht und unterbunden werden kann. Man findet sie zwischen *Flexor digitorum* und *Flexor longus hallucis* und kann die Schleimbeutel beider Muskeln beim Isoliren der Arterie vollständig vermeiden. Ziemlich weit davon entfernt liegt nach hinten in isolirter Lage die Achillessehne, deren Zerschneidung daher ohne Arterienverletzung gut ausführbar ist.

Die beiden hier abgebildeten Schnitte genügen, um das hauptsächlichste der Theile in der unteren Hälfte des Unterschenkels zur Anschauung zu bringen. Unzureichend sind dagegen die Verhältnisse des Fusses wiedergegeben, von dem man vielleicht noch eine weitere Serie von Querschnitten hinzugefügt haben möchte. Durch eine Menge von Schnitten, die ich angefertigt und abgebildet vor mir habe, ebenso auch durch die Betrachtung der von *Pirogoff* publicirten Bilder, bin ich aber zu der Ueberzeugung gekommen, dass gerade am Fasse Querschnitte für das Verständnis des Baues wenig leisten. Man wird durch sie zwar eine klare Einsicht gewinnen über den Bau und die Form des knöchernen Gewölbes, für das Verständnis der Anordnung der Weichteile aber sind sie nur von untergeordneter Bedeutung. Flächenpräparate leisten in dieser Beziehung weit mehr und sind gerade hier für die Beschreibung unerlässlich. Die Menge von kleinen Muskelbüscheln in der Fusssohle, die nur durch sehr dünne Fascien und Bindegewebszüge von einander getrennt sind, die Menge der Sehnen auf dem Fussrücken, die sich nur undeutlich von den Bändern auf Durchschnittsabbildungen unterscheiden lassen, geben stets undeutliche und verwirrende Bilder. Ebenso wird der so wichtige Apparat des *Ligamentum cruciatum* absolut unverständlich, wenn man ihn nur auf Durchschnittsn und wären dieselben auch noch so zahlreich, studiren wollte. Die Arterien, welche auf Fig. I, wie schon oben erwähnt wurde, viel näher nach der Oberfläche des Unterschenkels gerückt sind, als dies auf der vorhergehenden Tafel der Fall war, die demnach also auch hier viel bessere Verhältnisse zur Aufsuchung und Unterbindung geben als in der oberen Hälfte des Unterschenkels, bilden ein Dreieck mit zwei nahezu gleichen Seiten. Die Basis dieses Dreiecks wird durch eine Linie gebildet, welche von der *Arteria tibialis antica* nach der *Peronea* sich ziehen lässt und ist bei Fig. I ziemlich direct nach aussen gerichtet. Dieses Arterien-dreieck findet sich in Folge des Endes der *Peronea* auf Fig. II nicht mehr, so wie es auf Tafel XXVI Fig. I noch nicht vorhanden war. Es ist dagegen deutlich sichtbar auf Fig. II, Tafel XXVI. Vergleicht man beide Arterien-dreiecke auf dieser und der vorhergehenden Tafel mit einander, so findet man, dass die Richtung ihrer Basis ebenso wie die Länge ihrer Seiten, fast ganz gleich geblieben sind. Es haben somit die drei Arterien in ihrem Verlaufe an der unteren Hälfte des Unterschenkels ihre Lage zu einander fast unverändert beibehalten; sie ziehen als parallele Gefässreihen herab und treten somit nicht in Folge einer Lageveränderung theilsweise näher an die Oberfläche, sondern nur in Folge der nach abwärts immer schwächer werdenden Muskelmassen.

TAFEL XXVIII.

Zu dem vorliegenden Frontalschnitte des *Thorax* in der Ebene der Schultergelenke wurde die frische Leiche eines sehr muskelstarken grossen Mannes benutzt, der sich erhängt hatte. Die Organe zeigten ausser der beträchtlich vergrösserten Schilddrüse normale Verhältnisse. Bei der Lagerung des Cadavers musste besondere Rücksicht auf die oberen Extremitäten genommen werden, da es wünschenswerth erschien, den *Humerus* in der ganzen Länge zu schneiden. Zu dem Zwecke wurde durch Unterlagen in der Gegend des Ellenbogengelenkes dafür gesorgt, dass die Oberarme parallel zur Längsachse des Körpers blieben, wie dies in aufrechter Stellung bei hängenden Armen der Fall ist. Ausserdem wurde der *Humerus* beiderseits so weit nach aussen gerollt, dass der *Sulcus intertubercularis* gerade nach vorn gerichtet ward. Nachdem das Cadaver in dieser Stellung fest geforen war, wurde zunächst der Kopf durch einen Sägchnitt unterhalb des Kehlkopfes entfernt, und die untere Körperhälfte in der Ebene der Brustwarzen abgenommen. Dann erst wurde der Frontalschnitt ausgeführt und zwar in der Weise, dass er durch die Mitte der Oberschenkelköpfe ging und im Schafte des *Humerus* blieb.

Es muss ferner bemerkt werden, dass vor dem Gefrieren die Arterien mit Harzmasse von der *Cervicalis* aus injicirt wurden. Nach der Injektion wurden die unteren Extremitäten abgenommen, sonst aber nichts vom Cadaver entfernt, um den Stand des Zwerchfells und die Krümmung der Wirbelsäule nicht zu stören.

Die Kuppel der Lungen sind bei diesem Schnitte nicht an ihrem höchsten Punkte getroffen worden. Es ist bekannt, dass beide *Arteriae subclaviae* über die Lungenskuppeln hinwegziehen und dabei eine flache Impression an der Pleura hervorbringen, die bei der Betrachtung des inneren Thoraxraumes als fischer Wulst hervortritt. Die Arterien überschreiten aber nicht die Kuppeln an ihrem höchsten Punkte. Derselbe liegt vielmehr hinter denselben unter dem *Plexus brachialis* in der Gegend des Köpfchens der ersten Rippe. Da nun der Schnitt nur den Bogen der rechten *A. subclavia* getroffen hat, von der linken aber nichts berührt, sondern vor derselben verläuft, so ist schon aus der Abbildung ersichtlich, was auch das Präparat bei späterer Untersuchung zeigte, dass die Lungen und Pleurahöhlen sich nach rückwärts noch bedeutend weiter hinauf erstreckten. Die erste Rippe war an ihrem vorderen Ende geschnitten worden. Die rechte hinter dem Ansatz des *M. scalenus anticus*, die linke gerade im Ansatz dieses Muskels. Die Lungenwurzeln liegen hinter der Schnittfläche und zwar die linke noch weiter davon entfernt als die rechte. Dem entsprechend zeigt sich noch weiter davon entfernt auf der linken Seite die Unterbrechung der Pleuralnuten, während rechts (also links vom Beobachter) die Umschlagsstelle der Pleura in den Schnitt hineinfällt. Durch den dazu tretenden Sägchnitt compliciren sich die Verhältnisse. Man hat zwischen Herzbeutel und Herz je zwei Spalten, die Spalte der Herzbeutelhöhle und Pleurahöhle, und somit je zwei Linien, die zwei Blätter des Herzbeutels und der Pleura. Die Ausdehnung dieser Höhlen war nicht anders, als dass die Linien des Herzbeutels und der Pleuren wiederzugeben, als dass die Linien des Herzbeutels und der Pleuren geseichnet wurden als die in der Natur sind, so dass ein Missverständniss der Zeichnung resultirt, welches bei der Betrachtung wieder corrigirt werden muss.

Vom Herzen ist der linke Ventrikel geöffnet und ein Stück des rechten Vorhofes zu sehen. Im Zusammenhange damit erscheint die *Vena cava superior* und *Aorta ascendens* halbrund. Die *Vena cava superior* ist in ihrer ganzen Länge freigelegt, so dass man die Eintrittsstelle der von hinten her in sie einmündenden *Vena azygos* vor sich hat. In der Verlängerung der oberen Hohlader ist auch die mehr steil verlaufende *Vena anonyma dextra* geschnitten bis zu ihrem Ende, an dem zwei *zarte* nach oben abschliessende Klappenventile zu sehen sind. Die mehr schräg herabziehende *Vena anonyma sinistra* ward mit der vorderen Hälfte des Präparates entfernt. Nur ihr Ende an der Einmündungsstelle der *Vena subclavia sinistra* markirt sich als ein grosses Venenlumen unmittelbar über der ersten Rippe linker Seite.

Die aufsteigende *Aorta* ist bis zum horizontalen Theile ihres Bogens freigelegt, und nach Entfernung der Injektionsmasse in natürlicher Lage abgebildet. Sie zeigt an ihrem Ursprunge die mächtigen Ausbuch-

ungen des Bulbus, hervorgebracht durch den starken Injektionsdruck an den Semilunarklappen, von denen zwei, die eine nahezu halbrund, zu sehen sind. Unter den Klappen, im geöffneten linken Ventrikel präsentirt sich der Aortenzipfel der Mitralklappe. Die Pericardialtasche hatte sich im oberen Theile des Herzbeutels gesammelt. Man erkennt an der grauen Fläche, welche das angeschnittene linke Herzohr oberhalb des linken Ventrikels umgibt, dass dort die beiden Blätter des Herzbeutels nicht unbedingt von einander absteigen, während sie an allen übrigen Stellen direkt aneinander liegen, so dass alle anderen Partien der Herzbeutelhöhle nur als Spalten sich markiren. Zwischen linkem Ventrikel und aufsteigender Aorta zeigt sich der grosse Querschnitt der Pulmonalarterie, die ihrer nahezu horizontalen Lage wegen auch ziemlich quer geschnitten werden musste. Man blickt in ihr Lumen von vorn nach hinten hinein und erkennt das Lumen des rechten Astes, der scharf hinter der Aorta umbiegt, um zur rechten Lungenwurzel zu gelangen, während der linke Ast schräg nach aufwärts und aussen geht, um über den linken *Bronchus* hinweg die linke Lungenwurzel zu erreichen.

Die Lage der von der Aorta abgehenden grossen Arterien ist durch die stark angeschwollene Schilddrüse ziemlich bedeutend alterirt. Dieselbe hatte, wie es auch die Zeichnung wiedergibt, die *Trachea* von beiden Seiten her comprimirt und wahrscheinlich auch den dahinter liegenden *Oesophagus* beim Schlucken gehindert. Sie lagerte sich wie ein mächtiger Knollen in die Gabel, welche beide Carotiden mit der Aorta bilden und bog sie auseinander. An der linken Carotis, die in sehr grosser Ausdehnung geschnitten wurde, ist dies noch deutlich zu erkennen, während von der rechten Carotis nur ein Stück vom Ursprunge an der *Anonyma* getroffen ward. Die rechte Carotis blieb also fast vollständig in der Vorderhälfte des Präparates.

Die linksseitige *A. subclavia* ist auf der Abbildung nicht zu sehen. Da sie aus dem Aortenbogen hinter der Carotis ihren Ursprung nimmt, so lag sie auch in dem Präparate hinter der Schnittfläche, gedeckt durch den grossen Muskelschnitt des *Pectoralis minor*. Erst ihre Fortsetzung, die *A. brachialis* an der Innenseite des linken Armes, kam in den Schnitt und ist zwischen den begleitenden Nerven auf der Abbildung zu sehen.

Rechts dagegen (also links vom Beobachter) kann man die Fortsetzung der *A. anonyma* und *Subclavia* und *Axillaris* gut verfolgen. Nach dem Abgange der flach abgeschnittenen Carotis zieht sich der Bogen der *Subclavia* unter der *Vena anonyma dextra* über die rechte Lungenskuppel hinaus, giebt nach vorn zu die quer abgeschnittene *Mammaria interna* ab, nach oben die geschnittene *Thyroidea inferior*, deren Ende von der Schilddrüse verdeckt wird, und wendet sich dann über die erste Rippe hinweg nach aussen, um endlich als *Axillaris* hinter der Schnittfläche des *M. coracobrachialis* zu verschwinden. Auf diesem Wege ist ein grosses Stück der vorderen Arterienwand hinweggenommen worden, so dass man eine Strecke weit in das Innere des Gefässes hineinblicken kann.

Diesem verschiedenen Verhalten der *Arteriae subclaviae* auf beiden Seiten, entsprechen auch die sie begleitenden Nerven. Die rechte *Vena subclavia* ist oberhalb der 2. Rippe kurz abgeschnitten, während die linke zwischen *M. scalenus anticus* und *Pectoralis minor* weit geöffnet ist. Letztere, welche mehrere kleine Venen aufnimmt, zeigt ein mächtiges Kaliber, und zieht sich mit ihrer inneren Wand ein Stück weit nach aufwärts, der an der Aussenseite der linken Carotis heranziehenden *Vena jugularis* entgegen, von welcher auf der rechten Seite gar nichts zu sehen ist, da sie mit der vorderen Hälfte des Präparates vollständig hinweggenommen wurde. Die *Vena subclavia* der rechten Seite liegt demnach weiter vorn als die der linken.

Der *Plexus brachialis dexter* ist in seiner gesammten Länge getroffen und freiliegend, während der linke noch verdeckt ist und nur in seinen Wurzeln unter dem *M. scalenus anticus* sich zeigt.

Die Theile am Halse gruppirn sich um die getroffenen Körper des 5., 6. und 7. Halswirbels. Der Beginn der *Conservata* an der Brustwirbelsäule führte die folgenden Wirbel von der Oberfläche nach der Tiefe und entzog sie dadurch dem Schnitte. Am unteren Ende des

7. Wirbels legen sich die Schnittflächen des *M. longus colli* an und lagern sich zwischen Knochen und Schilddrüse. Oberhalb beider Muskeln sieht man zu beiden Seiten der Wirbelkörper die geschnittenen *Arteriae vertebrales*, von denen die linke ein bedeutend stärkeres Kaliber zeigt als die rechte. Hinter diesen Arterien kommen die Wurzeln des *Plexus brachialis* aus dem Spinalkanale hervor, um weiter nach aussen das Geflecht zu bilden, welches links vollständig, rechts nur zum Theil durch die Schnittflächen der *Scalen* bedeckt ist.

Am weitesten nach aussen und oben liegen die Abschnitte der *Sternocleidomastoidei* mit dem Streifen des *Platysma*; darunter beiderseits das Lumen der *V. jugularis externa*.

Von Nerven ist die *Phrenicus* rechts (also links vom Beobachter) vollständig mit hinweggenommen worden, links ist er zwischen *Carotis* und Lunge zu sehen. Die kleine Arterie, welche hier in seiner Begleitung herabsteigt, ist die *Mammaria interna*.

Der *Vagus* dagegen ist auf der linken Seite des Präparates nur angeschnitten worden, an der Stelle wo er vor dem Aortenbogen vorbeizieht, um unter demselben seinen *Bamus recurrens* nach aufwärts zu senden; auf der rechten Seite dagegen ist er quer abgeschnitten, da wo er in die Tiefe zur Lungenwurzel sich begibt.

Die Schultergelenke sind so getroffen worden, dass die Säge auf beiden Seiten vor der *Cavitas glenoidica* herabging, somit von der knöchernen Pfanne des Schulterblattes nichts zur Ansicht kam. Die knöchernen Theile der Pfannen liegen hinter einer Frontalebene, welche die Mittelpunkt der Humerkapfelseidet. Auf der linken Seite des Präparates war die Schulterpfanne noch $\frac{1}{2}$ Centimeter weit von der Schnittfläche entfernt; auf der rechten Seite dagegen lag sie derselben näher, so dass der *Limbus cartilagineus* mit in den Schnitt fiel. Der Kopf des *Humerus* nach innen und hinten gerichtet ist, der *Cavitas glenoidica* entgegen, und rechts also der Schnitt etwas tiefer ging als links, so ist auch rechts das *Tuberculum majus* fast vollständig mit weggenommen. Man hat dasselbe fast nur die Rundung des Kopfes vor sich, während links das *Tuberculum majus* als eckiger Vorsprung sich deutlich markiert. Dem entsprechend ist ferner rechts auch ein Stückchen vom *Acromion* zu sehen, und die Kapsel des Gelenks zwischen *Clavicula* und *Acromion* freigelegt, während links der Schnitt hart vor dem *Acromion* vorbeiging und nur das *Ligamentum coraco-acromiale* traf. Bei normalen Verhältnissen ragt das *Acromion* nur wenig über die Mitte des *Humerus* vor, so dass nach vorn zu ein ziemlich grosser Theil des letzteren vom knöchernen Dache unbedeckt bleibt. Der *Processus coracoideus* ist beiderseits querschnitts und auf der Abbildung zwischen *Caput humeri* und *Clavicula* leicht zu finden. Er ist hinter den Muskellansätzen abgeschnitten. Trotzdem ist beiderseits der *Pectoralis minor* nicht getroffen, und zeigt namentlich an der linken Thoraxseite eine mächtige Schnittfläche. Diese Erscheinung ist nur dadurch zu erklären, dass bei der Unterstützung und Vorwärtshaltung der Schulter der erschaffte Muskel sich stark füllte, so dass er mit seinem hinteren Rand nach rückwärts auslag.

Die stark gebogenen Schlüsselbeine sind auf beiden Seiten verschieden getroffen worden. Das rechte, weiter nach vorn ragende Schlüsselbein zeigt ausser dem Durchschnitte noch das ganze Acromiale, von dem links nichts zu sehen ist. Hier liegt sich die Durchschnitte der *Clavicula* von *M. deltoideus* vor. Rechts ist dagegen der vordere Upprump des *Deltoideus* vollständig hinweggenommen worden. Nur in seiner äusseren Ausbreitung am *Humerus* ist der Muskel beiderseits gleichmässig geschnitten worden; ebenso erkennt man auf beiden Seiten den zwischen ihm und der Schulterkapsel liegenden Schleimbeutel als gebogene schwarze Linie wiedergegeben.

Ueber die Verhältnisse der Kapsel selbst ist Folgendes zu bemerken. Da das Schultergelenk wie alle übrigen Gelenke unter dem Druck der äusseren Luft steht, und im Innern luftleer ist, so wird der Arm ausser durch denselben gegen die Gelenkpfanne angepresst, und somit kann auch die Gelenkhöhle trotz ihrer Geräumigkeit und trotz der Schlaffheit der Kapsel bei mittlerer Ruhelage nur als Spalt bei Durchschnittdarstellungen erscheinen. Diesen Spalt erkennt man dicht am Knorpelüberzug des Humerkopfes. Die denselben umgebende Bandmasse, die ihre Endigung am Halse des *Humerus* findet, ist die durch die Sehnen der Rulmuskeln verstärkte Kapsel. Während dieselbe am linken *Humerus* wie ein starker Ring vom *Tuberculum majus* an den Kopf umkreist und auf der Höhe desselben die schräg abgeschnittene

Sehne des *Biceps* mit einschliesst, stellt sich das Verhältniss am rechten Schultergelenk etwas anders dar. Zunächst zeigt sich hier ein Stück des *Limbus cartilagineus*, oben mit scharfer Ecke endigend, um die sich der Gelenkspalt ein Stück weit herumzieht. Nach aussen davon aber präsentirt sich der abgeschnittene *M. supraspinatus*, und im Anschluss daran weiter nach aussen die Sehnen des *Infraspinatus* und *Teres minor* so dicht mit der Kapsel verwachsen, dass keine Trennungslinie angegeben werden konnte. An der inneren Seite des Halses schlägt sich die Kapsel locker um, so dass bei der Erhebung des *Humerus* die dort liegende Falte ausgeglichen wird.

Die Begrenzung der Kapsel nach der Mittellinie zu wird vom *M. subscapularis* gegeben, der auf beiden Seiten getroffen wird und ziemlich grosse Schnittflächen zeigt. Unter ihm liegt ein Schleimbeutel, der also hier zwischen ihm und der Kapsel zu suchen wäre. Derselbe steht regelmässig mit der Gelenkhöhle in Verbindung, eine Communication, die bei dem vorliegenden Durchschnitte nicht getroffen wurde. Jedoch erkennt man am linken Schultergelenke die Aussensseite des *Subscapularis* durch eine schwarze Linie scharf abgegrenzt, welche den Schleimbeutel auf dem Durchschnitte wiedergeben soll. Die Linie läuft bogenförmig mit der *Concavität* nach aussen und geht dem Contour des Humerkopfes ziemlich parallel.

Um die Geräumigkeit der Kapselhöhle zu zeigen, die am Schultergelenk eine beträchtliche Entfernung des *Humerus* von der *Scapula* gestattet, wenn eine Flüssigkeit vorhanden ist, welche den Gelenkraum ausfüllen kann, machte ich an mehreren frischen normalen Gelenken Talpinjectionen, die ich dann frieren liess und durchsagte. Eins dieser Präparate liegt in der folgenden Abbildung in halber Grösse vor.



Frontalschnitt durch ein mit Talg injiziertes rechtes Schultergelenk, vordere Hälfte. $\frac{1}{2}$.

1. Caput humeri, 2. Deltoides major, 3. M. pectoralis minor, 4. Clavicula, 5. M. deltoideus, 6. M. coraco, 7. M. teres major, 8. M. teres minor, 9. M. infraspinatus, 10. M. supraspinatus, 11. M. subscapularis.

Die Abbildung zeigt das nahezu in der Mitte geschnittene rechte Schultergelenk von hinten her betrachtet. Der *Humerus* befindet sich in halb erhobener und etwas einwärtsgeogelter Stellung, die er in Folge des starken Injectionsdruckes angenommen hatte, die also der grössten Capacität seiner Gelenkhöhle entspricht. Die Injektion war von der *Fossa supraspinata* durch die *Cavitas glenoidica* vorgenommen und der Oberarm vorher an seinem unteren Ende amputirt worden, um nicht durch seine schwere Bewegung im Gelenke zu hindern. Es zeigte sich, dass die grösste Entfernung des Humerkopfes von der Pfanne etwas über 1 Centimeter betrug. Es kann also auch bei Entzündungen, die mit Erguss in die Gelenkhöhle verbunden sind, eine nicht unbedeutende Verlängerung der Extremität zu Stande kommen.

Um die Verhältnisse des Herzens vollständiger zur Anschauung zu bringen, wäre es wünschenswerth gewesen, die Schnittfläche noch weiter nach abwärts zu verlängern als dies bei diesem Präparate möglich war. Nach Vollendung der Abbildung habe ich deshalb auch eine Reihe von Präparaten angefertigt, welche diesem Mangel abhelfen sollten. Leider lässt sich aber keins von diesen Präparaten dazu benutzen, die vorliegende Abbildung nach abwärts zu ergänzen. Man trifft bei verschiedenen Cadavern so vollkommene gleiche Verhältnisse, dass sich eine Schnittfläche aus der andern ergänzen liess. Auch die Benutzung der *Pirogoff'schen* Abbildungen, sowie der von *Hensle* (*Einige Beiträge*, p. 547, Fig. 420) gegebene Frontalschnitt, waren zu diesem Zwecke nicht zu gebrauchen.

Furchen, welche auch bei der Ausgieichung der Wülste als quere Linien sichtbar sind, nicht den Gelenkspalten an allen Stellen entsprechen, ist sofort ersichtlich. Die Furchen an der Volarseite der Fingerwurzel liegt beträchtlich weiter nach abwärts als das dazu gehörige Metacarpophalangalgelenk, ebenso überragt die zweite Furchen, wenn auch nicht so bedeutend, das Gelenk zwischen erster und zweiter Phalanx. Man wird daher bei der Exartikulation der Finger von der Volarseite aus nicht das Gelenk treffen, wenn man direkt auf diese Furchen einschneidet. Man wird überhaupt die Fingergelenke sicherer erreichen, wenn man von der Streckseite aus einght und bei schwacher Biegung des Fingers ein Stück unter der Hervorragung, welche das Köpfchen der nächst höheren Phalanx bildet, den Schnitt führt.

Entsprechend der beträchtlichen Ausdehnung des Knorpelüberzuges nach der Volarseite hin, erstreckt sich auch die Kapselhöhle an der Volarseite weiter nach aufwärts als an der Streckseite. Die Kapsel selbst ist auch daselbst ziemlich bedeutend verstärkt durch die Sehnenrollen, *Ligamenta glenoidalia*, welche die beiden *Ligamenta lateralia* mit einander vereinigen und einer übermässigen Streckung der Finger Widerstand leisten. Unmittelbar darauf, nur durch Schleimbeutel davon getrennt, liegen die Sehnen der Fingerbeuger, von denen der oberflächliche an der ersten Phalanx unter die Schnittfläche tritt, um sich zur zweiten Phalanx zu begeben, während die Sehne des tiefen Beugers hart an der zweiten Phalanx hincicht, um bis zur Endphalanx zu gehen. Nach aufwärts lassen sich die Sehnen beider Muskeln unter der Schnittfläche des *Ligamentum carpi volare proprium* hinweg bis in ihre Fleischmassen gut verfolgen. Sie bilden hier die Hauptmasse des Muskel fleisches, welches an Stärke die der Streckmuskeln um ziemlich das Doppelte übertrifft.

Die Zahl der Schnitte, welche an der Hand mit Nutzen ausgeführt

werden können, möchte man beinahe unendlich nennen, da bei jeder Veränderung der Stellung neue und interessante Bilder zum Vorschein kommen. Ganz besonders gilt dies für die Regionen des Daumens, wo Schnitte ausserordentlich gut geeignet sind, die für die Luxationen so wichtigen Gelenkverhältnisse klar zu stellen. Leider gestattet es der Raum nicht, noch mehr Abbildungen zu geben und ich muss deshalb auf den Atlas von *Pirogoff* verweisen, wo *Pasc. IV. B. Tab. 5 u. 6* sehr schöne Frontalschnitte der Hand bietet, und *Pasc. IV. A. Tab. 4 u. 5* durch Sagittalschnitte die Anatomie des normalen und luxierten Daumens in ausgezeichnete Weise illustriert.

Da der *Radius* mit der daran befestigten Hand seine Bewegungen um die *Ulna* so ausführen kann, dass wir bei jeder Beugstellung des Vorderarmes im Ellenbogengelenk die Hand um beinahe 180° drehen können, so dass sich die *Vola* beliebig nach vorn und rückwärts stellen lässt, kann das *Ligamentum laterale externum* des Ellenbogengelenkes nicht an den *Radius* gehen; er würde sonst fixirt werden. Es setzt sich dasselbe gegenüber dem *Ligamentum laterale internum* ebenfalls an die *Ulna* an, hat aber einen Schlitz durch den der *Radius* hindurchgesteckt bis in die Höhle des Centralgelenkes hineinreicht. Das *Lig. annulare radii* ist demnach nicht eine selbstständige Bildung, sondern hängt innig und untrennbar mit dem *Lig. laterale externum* zusammen, dessen Schlitz durch eine Anzahl Bogenfasern abgerundet wird.

Verwächst der *Radius* mit der *Ulna*, wie es nach Amputationen des Vorderarmes die Regel ist, so wird dadurch jede Rotation um die *Ulna* aufgehoben und eine Reihe von Veränderungen in den Gelenken hervorgerufen, deren hauptsächlichste darin besteht, dass das *Lig. laterale externum* schliesslich mit dem *Radius* verwächst, an demselben inserirt als ob derselbe ein Fortsatz, ein Theil der *Ulna* wäre, was er in Folge seiner Verwachsung mit der *Ulna* functionell auch wirklich geworden ist.

TAFEL XXX.

Die Reihe der Querschnitte, welche auf dieser und der folgenden Tafel abgebildet sind, wurde an dem linken Arm eines etwa 40jährigen, äusserst muskelkräftigen Mannes gemacht, desselben, von dem auch der Frontalschnitt des Thorax und der Schultergelenke auf Taf. XXVIII stammt. Die Arterien waren vor dem Gefrieren des Körpers gut injicirt worden. Der Arm selbst blieb in der Haltung wie sie am Leichnam vorlag, nämlich in schwacher Beugung und Pronation. Um an den einzelnen Scheiben Orientierungspunkte zu haben, ward vorher eine Linie gezogen, welche von der Mitte des *Biceps* über die Höhe des *M. supinator longus* herab zum Daumen verlief. Nach dieser Linie wurden die einzelnen Scheiben gerichtet, so dass diese Marke an jeder Scheibe und jeder Figur den obersten Punkt bildete. Demgemäss findet sich an den Abbildungen des Unterarms der *Radius* über der *Ulna* stehend, rechts von beiden Knochen der Beugeseite, links davon die Streckseite. Die Bezeichnungen rechts und links gelten hierbei für den Beschauer. Ohne eine solche Orientierung hat man an den Schnitten des Vorderarms grosse Schwierigkeit sich in den einzelnen Muskelabschnitten zurecht zu finden.

Figur I.

Der hier vorliegende Schnitt ging durch die Mitte des Oberarms. Man blickt von oben nach abwärts gleichsam in den eigenen linken Arm hinein. Bei der Symmetrie beider Extremitäten hat man aber auch die Fläche des Amputationsstumpfes eines rechten Armes vor sich, wie schon oben bei Besprechung der unteren Extremität erwähnt worden ist. Der Schnitt ist unter dem Ansatz des *M. deltoideus* geführt; *M. biceps* und *M. triceps* nehmen die Hauptfelder ein. Auf der Vorderseite des Knochens liegen ausserdem noch Theile vom *Brachialis internus* und *Coraco-brachialis*. Auf der medialen Seite, also rechts vom Beschauer, liegen zwischen Beuge- und Streckmuskeln die grossen Gefässe und Nerven. Nur der *N. radialis* hat sich bereits auf seinem Spinalgange an die hintere Seite des *Humerus* begeben, begleitet von der *Arteria profunda*. Diese Lage des Nerven bedingt es, dass Stösse oder Schläge von hinten her kommend, ihn so stark gegen den Knochen quetschen können, dass eine Lähmung die Folge davon ist.

Die Scheidung der Muscular der Beuge- und Streckseite ist bereits in dieser Höhe des Oberarms soweit eingeleitet, dass die *Ligamenta intermuscularia* sich in eine frontale Ebene eingestellt haben. Das Verständniss der einzelnen Muskelgruppen wird dadurch so sehr erleichtert, dass die Schnitte dieser Gegend kaum noch einer weiteren Erläuterung bedürfen.

An dieser Stelle, ebenso wie weiter unten, lässt sich die Arterie leicht comprimiren, da der Knochen eine feste Unterlage abgibt, gegen die das Gefäss leicht angedrückt werden kann. Will man ein Touriquet anlegen, um einen weiteren Transport des Kranken zu ermöglichen, so empfiehlt sich hier die Benützung des *Voelkeri'schen* Knüttel-touriquets, welches einen Theil der Venen unberührt lässt und deshalb nicht so beträchtliche Gefässstaunungen veranlasst wie der schnitrende Gurt eines gewöhnlichen Touriquets. Zwei Stäbe, z. B. Trommelstöcke, werden parallel zu einander und rechtwinklig zur Längsachse des *Humerus* an beiden Seiten angelegt und durch feste Schnürung mit einander verbunden. Der äussere Stab, der am Deltoideusanstätze direkt auf dem Knochen zu liegen kommt, gibt den Gegendruck, der hier keine nennenswerthen Gefässe oder Nerven trifft.

Figur II.

In dieser Figur liegt ein Querschnitt des linken Oberarms in der Mitte des unteren Drittels vor. Die Beuge- und Streckmuskeln haben sich auf beide Seiten des *Humerus* so gelagert, dass

rechts und links die *Ligamenta intermuscularia* in dieser Gegend noch viel deutlicher als bei dem vorhergehenden Schnitte eine Grenzscheide abgeben. Im *Ligamentum intermusculare externum* liegt der *N. radialis*, der seine halbe Umkreisung des *Humerus* vollendet hat, und hinter ihm der Anfang des *M. supinator longus*. Auf der inneren Seite hat sich der *Nervus ulnaris* bereits von dem grossen Gefäss- und Nervenbündel abgesondert. Die *A. brachialis* befindet sich am inneren Rande des *Biceps*, bedeckt vom *N. medianus* und den begleitenden Venen. So leicht ihre Lage zu bestimmen und ihre Compression auszuführen ist, so grosse Schwierigkeiten kann ihre Isolirung und Unterbindung geben, wenn dabei nicht die richtige Methode eingeschlagen wird. Man darf nicht, wie schon die Abbildung an sich lehrt, direkt auf das Gefäss einschneiden, man würde sonst durch Nerv und Venen, die gerade hier oft vielfache Anastomosen zeigen, sehr gehindert werden, und, wie die Erfahrung gezeigt hat, leicht die Arterie verfehlen können. Man muss vielmehr auf den *Biceps* selbst eingehen, ein Stück nach vorwärts von den Gefässen, und dann seine Scheide von innen her einschneiden, wodurch man direkt auf die Arterie gelangt.

Die Entfernung der Arterie vom Knochen wird durch die Entwicklung des *Brachialis internus* bedingt. Mit seiner hier beträchtlich stärker gewordenen Masse hängt es daher zusammen, dass das Gefäss auf dieser Abbildung weiter vom Knochen absteht als auf den Abbildungen der höher oben angelegten Querschnitte. Man vergleiche Figur I dieser Tafel, sowie die Tafeln XI und XII.

Im vorliegenden Falle zeigte der *Humerus* keinen *Processus supracondylaroides*. Dieser Fortsatz, welcher wie ein Rest des Knochenhinges aussieht, der bei manchen Thieren z. B. bei den Katzen regelmässig vorhanden ist, darf nicht mit der pathologischen Bildung eines *Osteophyten* verwechselt werden. Bei uns zu Lande scheint er seltener vorzukommen als anderwärts. Wenigstens war es mir auffällig, dass Herr *Struthers* in Aberdeen eine sehr reiche Serie dieser Bildung besitzt, während ich bei dem sehr reichlichen Material, und trotz emsigem Suchens bis jetzt nur zwei Fälle davon habe ausfindig machen können.

Figur III.

Der Schnitt auf dieser Figur geht durch den *Processus cubitalis* des *Humerus* und das *Olecranon*. Man hat links den Anfang der *Rotula* mit dem Ende des *Epicondylus lateralis*; rechts die *Trochlea* mit dem weit vorspringenden *Epicondylus medialis*. Hinten liegt das weit nach aufwärts greifende *Olecranon* in der *Fossa supra-trochlearis posterior*. Die Ausbreitung der Gelenkhöhle und Kapsel ist durch eine dunkle Linie wiedergegeben. Hinter dem *Olecranon* liegt ein grosser Schleimbeutel, zwischen der Haut und dem schiefen Ansatz des *Triceps*. Rechts davon, in der Furchung zwischen *Olecranon* und *Epicondylus medialis*, der *Nervus ulnaris*. Links vom *Olecranon* der spaltförmige *M. anconaeus quartus*. Die Muskeln des Oberarms sind in ihrer Flächenausdehnung sehr reducirt, da sie sich ihren Ansatzpunkten sehr nahe befinden. Dafür treten die Köpfe der Flexoren und Extensoren der Hand und Finger, *Pronator teres* und *Supinator longus* auf, von denen die letzteren in Folge ihres höheren Ursprunges am *Humerus* auch stärker entwickelt sind. Man hat somit nur auf der Vorderseite des Skeletes Muskelmassen vor sich, auf der Rückseite nur Bandmassen und schmale Theile, welche das Rollen der Knochen deutlich hervorheben lassen. Dieses Verhältniss der Muskelmassen, sowie die Lage der Gefässe auf dem Muskelhauche des *Brachialis internus* macht es selbst dem Anfänger sofort klar, dass alle Schritte, welche in das Gelenk hineinführen sollen, ohne Gefahr einer grösseren Blutung und nur auf den *Nervus ulnaris* Rücksicht zu nehmen hat.

Der *Nervus ulnaris* lässt sich übrigens bei den Resektionen des Ellenbogengelenkes leicht vermeiden. Hat man den Längsschnitt hart am *Olecranon* gemacht, und geht man nun mit Schnitt die immer hart bis auf den Knochen gehen, nach der medialen Seite hin vorwärts, so lassen sich mit der Haut sämtliche Weichtheile und mit ihnen auch der Nerv so um die Prominenz des medialen *Epicondylus* herumlegen, dass man den Nerven gar nicht zu Gesicht bekommt. Der Nerv ist übrigens an dieser Stelle so beweglich, dass er bei vielen Individuen schon bei einfacher Biegung deutlich fühlbar aus seiner Knochenrinne herausrückt und über den *Epicondylus* sich hinüberlegt.

Figur IV.

Der hier vorliegende Durchschnitt geht durch den Unterarm in der Höhe des Kopfchens vom *Radius*, dessen kreisrunde Circumferenz mit dem *Ligamentum annulare* gut sichtbar ist, und durch das obere Ende der *Ulna*, welche mit der *Fossa sigmoidea minor* dicht an dem *Radius* anliegt. Der *Brachialis internus* ist zum grossen Theile bereits sehnig und an die *Ulna* noch jenseits ihrer Tuberosität breit angeheftet. Die Sehne des *Biceps* ist, nahe gerückt, auch der Schleimbeutel in der Nähe der Insertion durch die schwarze Linie angedeutet. Die *Arteria brachialis* liegt in der Mitte, vor dem Gelenke, eingeschlossen von den Köpfen der Flexoren und Extensoren. Ihre Theilung in *Radialis* und *Ulnaris* ist bereits sichtbar. Vor derselben liegt die Communication der oberflächlichen Venen mit den tiefen, wodurch der Aderlass an dieser Stelle so ergiebig wird, wenn Contractionen der tieferen

Venen umgebenden Muskeln eingeleitet werden. Es ist auf Durchschnitten nicht möglich diese Verhältnisse genau klarzulegen. Es mag aber hierbei erwähnt werden, dass das System der *Vena mediana* nicht nur die Venenstämme der *Cephalica* und *Basilica* mit einander verbindet, sondern auch mit den tiefen Begleitvenen der *Arteria radialis* und *ulnaris* in Communication setzt. Der sehr unregelmässig ausgebildete und meist nur schwache Venenstamm, der in der Mitte der Biegungsseite des Vorderarms von der Handfläche nach der *Plica cubiti* heraufzieht, verdient keine besondere Bezeichnung, da er keine grössere Bedeutung besitzt, als die Stämme, welche oft neben *Basilica* und *Cephalica* in der ganzen Länge des Vorderarms heraufziehen. Es ist deshalb wünschenswerth mit den Namen *Vena mediana* nur den Stamm zu bezeichnen, welcher nach der Tiefe führt und von *Arnold* *Vena mediana profunda* genannt wurde, und die queren Verbindungsäste zwischen *Cephalica* und *Basilica* als *Vena mediano-cephalica* und *mediano-basilica* davon abzuzweigen.

Die Masse der Flexoren ist schon in dieser Höhe stärker entwickelt als auf dem vorhergehenden Durchschnitt. Sie überwiegen die der Extensoren, was auf den tieferen Durchschnitten des Vorderarms noch deutlicher werden wird.

Bei der Biegung des Vorderarms faltet sich die *Arteria cubitalis* an dieser Stelle sehr beträchtlich und wird bei zunehmender Biegung so zwischen die Muskelmassen zusammengestreckt, dass die Lichtung des Gefässes völlig geschlossen wird. Man hat also hier in der spitzwinkligen Biegung im Ellenbogengelenk ein Mittel an der Hand, um Blutungen im Gebiete des Vorderarms mit Erfolg zu bekämpfen.

TAFEL XXXI.

Figur I.

Der hier vorliegende Schnitt geht durch das obere Drittel des linken Vorderarmes. Die *Ulna* und der *Radius* zeigen fast gleichgrosse Durchschnitte. Nur liegt die *Ulna* mit ihrem zugeschärften Rande nach unten der Oberfläche näher, als der tief in Muskelmassen eingebettete *Radius*. Man kann die *Ulna* in der ganzen Länge des Vorderarmes gut durchfühlen; den *Radius* dagegen nur an seinem Köpfchen und an seinem unteren Ende. Die *Ulna* gibt dadurch eine leicht zu bestimmende Grenze zwischen Flexoren und Extensoren. Der *Flexor carpi ulnaris* bildet auf der Beugenseite den Grenzmuskel. Er setzt sich mit seinem Rand sehnig an die *Ulna* an, und bedeckt mit dieser sehnigen Ausbreitung den darunter liegenden tiefen Fingerbeuger. Auf der gegenüberliegenden Seite der *Ulna* liegt der Anfang des *Ligamentum interosseum* und im Anschluss daran Fascien, welche direkt nach aufwärts ziehen und dadurch eine Trennung der beiden Muskelgruppen herstellen. Links davon (vom Beschauer aus gerechnet) liegen die Supinatoren und Strecker; rechts der *Pronator teres* und die Beuger. Zwischen beiden Muskelgruppen erkennt man die Gefässe; in der Tiefe die *A. ulnaris* und die davon abgehengene *Interossea communis*, weiter nach aufwärts die *Radialis*. Man braucht nur am inneren Rande des *Supinator longus* die umhüllende Fascie einzuschneiden und den Muskel zur Seite zu schieben, so liegt die *Arteria radialis* frei. Die tiefe Lage der *Ulnaris* erschwert an dieser Stelle ihre Aufsuchung und Unterbindung. Von den Nerven wird der oberflächliche Ast der *Radialis* unter dem *Supinator longus* gefunden, der tiefe Ast liegt im *Supinator brevis*. Der *Medianus* liegt zwischen *Pronator teres* und *Flexor dig. sublimis*; der *Ulnaris* zwischen diesem und dem *Flexor carpi ulnaris*. Besonders Interesse bietet der *M. supinator brevis*, dessen Funktion leicht an diesem Durchschnitt begriffen werden kann. Von der *Ulna* ausgehend (seine obere Binde am *Epicondylus* sind hier nicht zu sehen) wickelt er sich so um den *Radius* herum, dass er bei seiner Kontraktion denselben nach aussen herumrollen muss. Der Raum, den er am *Radius* übrig lässt, wird vom Ansatz des *Biceps* eingenommen, der bei seiner Kontraktion ebenfalls mit supinieren hilft.

Figur II.

Beträchtlich grössere Schwierigkeiten für das Verständnis der einzelnen Theile als der vorhergehende, liefert der hier abgebildete Durchschnitt, welcher die Mitte des linken Vorderarmes traf. Und zwar liegt diese Schwierigkeit sowohl in der Menge der einzelnen Muskelabschnitte als in dem Mangel stärkerer Fascienzüge, welche die einzelnen Gruppen abgrenzen. Nur das *Ligamentum interosseum* mit dem Skelet bildet eine sichtbare Abgrenzung und auch diese geht nicht durch die ganze Breite der Schnittfläche. *Ulna* und *Radius* wenden einander zugehörte Ränder zu und sind mit einander durch das *Ligamentum interosseum* verbunden. Rechts davon hat der Beschauer die Masse der Flexoren, links die Strecker. Nach oben zu vom *Radius* werden beide Muskelgruppen durch einen sehr schwachen Fascienzug getrennt, welcher am *Radius* ansetzt und die *A. radialis* mit ihren Venen einschliesst. Die Arterie wird unter dem inneren Rande des *Supinator longus* auch in dieser Höhe des Vorderarmes leicht gefunden. *A. ulnaris* mit dem *Nervus ulnaris* ist näher an die Oberfläche getreten als bei dem vorhergehenden Schnitt. Man braucht nur zwischen *Flexor carpi ulnaris* und *Flexor dig. sublimis* einzudringen, um sie zu erreichen. Der vor ihr zum *N. medianus* gehende Fascienzug, welcher sich unter dem Ansatz des *Pronator teres* bis zum *Radius* hinzieht, trennt die tiefe Schichte des *Flexor dig. profundus* und *Flexor pollicis longus* von der oberflächlichen Flexorenschichte, in welche sich der *Flexor dig. sublimis* ausgedrängt hat. In schon sehnig gewordenen *Palmaris longus* liegt eingedrängt das *Lig. interosseum* der Strecker in eine oberflächliche und tiefere Schicht getheilt, da hier bereits der lange Abductor und die Strecker des Daumens hinzugegetreten sind.

Vergleicht man die Beugenseite mit der Streckseite in Bezug auf die Masse der Muskeln, so erkennt man auf den ersten Blick, dass die Flexoren die Extensoren beträchtlich überwiegen, dass ferner die Hauptgefässe und Nerven auf der Beugenseite sich befinden. Handelt es sich also um die Wahl eines Lappens bei Amputation des Vorderarmes in dieser Gegend, so wird man, wenn sonst nichts dagegen spricht, für die Lappenbildung hauptsächlich die Beugenseite benutzen müssen, sowohl wegen der Menge der Weichtheile als der ernährten Gefässe. Die Bildung grösserer Lappen aus der Streckseite ist schon an sich durch die grössere Nähe des Knochens zur Oberfläche schwieriger ausführbar.

Figur III.

Hier liegt das untere Drittel des linken Vorderarmes im Querschnitt vor. Der *Radius* ist beträchtlich stärker geworden. Seine Fläche ist bedeckt von dem sich breit anheftenden *M. pronator quadratus*, der sich an die Spitze der *Ulna* inserirt, um bei seiner Kontraktion den beweglichen *Radius* gegen die feststehende *Ulna* heranzuziehen. Unter ihm, also links vom Beschauer, liegt das *Lig. interosseum*; zu beiden Seiten desselben die *Vasa interossea*. Die Nähe des Handgelenkes zeigt sich durch das Sehngeworden der Muskeln an. Die Flexoren und Extensoren der Hand sind bis auf den *Flexor carpi ulnaris* vollständig sehnig geworden. In Folge dessen liegt die *A. radialis* frei, nur von Haut und Fascie bedeckt, so dass sie sich zum Pulsfühlen und Unterbinden wie kein anderes Gefäss eignet. Die *A. ulnaris* dagegen ist noch vom sehnigen Rande des *Flexor carpi ulnaris* bedeckt, den man erst bei Seite ziehen muss, wenn man die Arterie erreichen will. Auf der Streckseite überschreiten die langen Muskeln des Daumens, aus der tiefen Schichte hervortretend, die *Extensores carpi radiales*. An ihrer Kreuzungsstelle sind Schleimbeutel angebracht, welche die Reibung vermindern. Angestrenger Gebrauch dieser Muskeln, wie er beim Mähen des Getreides stattfindet, kann diese Schleimbeutel zur Entzündung bringen und eine Geschwulst an dieser Stelle hervorbringen, die unter dem Namen der Schnitterkrankheit bekannt ist. Die Menge der Muskeln auf der Beugenseite überwiegt auch auf diesem Schnitte immer noch die auf der Streckseite, wenzgleich bei weitem nicht mehr in dem Grade, wie bei dem vorhergehenden Querschnitt. Im Ganzen hat sich aber die Masse der Muskeln so sehr verringert, dass die Bildung einer Manschette bei Amputation des Vorderarmes an dieser Stelle recht wohl thunlich ist, wie die Abbildung an sich schon genügend erläutert.

Figur IV.

Der Schnitt in dieser Figur geht durch das Handgelenk. Man hat eine schwere Arbeiterhand vor sich. Die Bezeichnung der zahlreichen Sehnen in der Abbildung wird das Zurechtfinden erleichtern. Die Muskeln haben fast sämtlich ihr Fleisch in dieser Gegend verloren und sind an ihren Sehnen mit Schleimbeuteln versehen, deren zahlreiches Vorhandensein durch die schwarzen Linien angedeutet ist, welche die Sehnenabschnitte umgeben. Die einzige Fleischpartie, welche getroffen worden ist, gehört der Ballenmuskulatur des kleinen Fingers an. Von den Unterarmknochen ist nur ein Stüchken des *Radius* getroffen, die Wurzel des *Proc. styloideus*. Von den Handwurzelknochen liegen das *Os naviculare*, *lunatum* und *triquetrum* frei. Das nach vorn zu auf dem letzteren artikulierende *Os pisiforme* erkennt man noch an seiner in die Gelenkhöhle vorragenden Knorpelfläche.

Die drei Knochen des ersten Handwurzeltheils stellen einen gegliederten und dadurch in seinen einzelnen Theilen etwas beweglichen Gelenkkopf dar, mit dem die Hand in der Platte des *Radius* und der *Cartilago triangularis* frei articulirt. Der Durchschnitt dieses Gelenkkopfes liegt vor uns; er zeigt nicht die Form einer Ellipse, sondern ähnelt einem Parallelogramm mit Abrundung an den kleinen Seiten. Der Gelenkkopf der Hand nähert sich der Form einer Kugel, welche von einer ovalen Platte aufgenommen wird, in ähnlicher Weise, wie der Kopf des *Humerus*.